

COMMITTENTE:



DIREZIONE LAVORI:



APPALTATORE:



PROGETTAZIONE:	PROGETTISTA:	DIRETTORE DELLA PROGETTAZIONE
RAGGRUPPAMENTO TEMPORANEO PROGETTISTI	Prof. Ing. MARCO PETRANGELI	Ing. PIETRO MAZZOLI Responsabile integrazione fra le varie prestazioni specialistiche

PROGETTO ESECUTIVO

ITINERARIO NAPOLI-BARI RADDOPPIO TRATTA CANCELLO-BENEVENTO I° LOTTO FUNZIONALE CANCELLO-FRASSO TELESINO E VARIANTE ALLA LINEA ROMA-NAPOLI VIA CASSINO NEL COMUNE DI MADDALONI PONTI E VIADOTTI DI LINEA

Tratta Canello-Frasso Telesino - VIADOTTO dal km 10+326 al km 11+737: Viadotto S. Michele
Pila 10: Relazione di calcolo

APPALTATORE		SCALA:
CONSORZIO CFT IL DIRETTORE TECNICO Geom. C. Bianchi 13/09/2018		-

COMMESSA LOTTO FASE ENTE TIPO DOC. OPERA/DISCIPLINA Progr. REV.

I	F	1	N	0	1	E	Z	Z	C	L	V	I	0	6	0	5	0	0	8	B
---	---	---	---	---	---	---	---	---	---	---	---	---	---	---	---	---	---	---	---	---

Rev.	Descrizione	Redatto	Data	Verificato	Data	Approvato	Data	Autorizzato Data
A	Emissione	L. Gasperoni	11/07/2018	M. Petrangeli	11/07/2018	P.Mazzoli	11/07/2018	M. Petrangeli 13/09/2018
B	Rev. Istruttoria ITF 29/08/18	L. Gasperoni	13/09/2018	M. Petrangeli	13/09/2018	P.Mazzoli	13/09/2018	

  	ITINERARIO NAPOLI – BARI RADDOPPIO TRATTA CANCELLO – BENEVENTO I° LOTTO FUNZIONALE CANCELLO - FRASSO TELESINO E VARIANTE ALLA LINEA ROMA-NAPOLI VIA CASSINO NEL COMUNE DI MADDALONI – PROGETTO ESECUTIVO												
Pila 10: Relazione di calcolo	<table border="1"> <thead> <tr> <th>COMMESSA</th> <th>LOTTO</th> <th>CODIFICA</th> <th>DOCUMENTO</th> <th>REV.</th> <th>FOGLIO</th> </tr> </thead> <tbody> <tr> <td>IF1N</td> <td>01 E ZZ</td> <td>CL</td> <td>VI0605 008</td> <td>B</td> <td>3 di 137</td> </tr> </tbody> </table>	COMMESSA	LOTTO	CODIFICA	DOCUMENTO	REV.	FOGLIO	IF1N	01 E ZZ	CL	VI0605 008	B	3 di 137
COMMESSA	LOTTO	CODIFICA	DOCUMENTO	REV.	FOGLIO								
IF1N	01 E ZZ	CL	VI0605 008	B	3 di 137								

Indice

1	PREMESSA	6
2	NORMATIVA E DOCUMENTI DI RIFERIMENTO.....	7
2.1	NORMATIVE.....	7
2.2	ELABORATI DI RIFERIMENTO.....	8
3	MATERIALI.....	9
3.1	CALCESTRUZZO PER FUSTO PILA E PULVINO.....	9
3.2	CALCESTRUZZO PER PLINTO DI FONDAZIONE.....	10
3.3	CALCESTRUZZO PER PALI DI FONDAZIONE.....	11
3.4	ACCIAIO PER BARRE DI ARMATURA	12
4	CARATTERIZZAZIONE GEOTECNICA.....	13
4.1	CARATTERIZZAZIONE GEOTECNICA	13
5	DESCRIZIONE DELLA STRUTTURA	14
6	ANALISI DEI CARICHI	19
6.1	PERMANENTI STRUTTURALI (G1).....	19
6.1.1	PESO PROPRIO IMPALCATI.....	19
6.1.2	PESO PROPRIO PILA	21
6.2	PERMANENTI NON STRUTTURALI (G2).....	21
6.2.1	BALLAST (G21).....	21
6.2.2	PERMANENTI NON STRUTTURALI GENERICI (G22).....	23
6.2.3	RIEMPIMENTO PILA E TERRENO DI RICOPRIMENTO	24
6.3	CARICHI DA TRAFFICO	25
6.3.1	CARICHI VERTICALI DA TRAFFICO (Q1).....	34
6.3.2	AZIONI DI AVVIAMENTO E FRENATURA (Q2).....	48
6.3.3	FORZA CENTRIFUGA (Q3).....	63
6.3.4	SERPEGGIO (Q4).....	78
6.4	CARICHI VARIABILI (Q5).....	85
6.4.1	AZIONI DEL VENTO (Q51).....	85
6.5	AZIONI INDIRETTE (Q6).....	94
6.5.1	RESISTENZE PARASSITE NEI VINCOLI (Q61).....	94
6.6	EFFETTI D'INTERAZIONE (Q7).....	95
6.6.1	VARIAZIONI TERMICHE DELL'IMPALCATO (Q71).....	95
6.6.2	AZIONI DI FRENATURA E AVVIAMENTO	96
6.6.3	INFLESSIONE DELL'IMPALCATO DOVUTA AI CARICHI VERTICALI DA TRAFFICO	96

  	ITINERARIO NAPOLI – BARI RADDOPPIO TRATTA CANCELLO – BENEVENTO I° LOTTO FUNZIONALE CANCELLO - FRASSO TELESINO E VARIANTE ALLA LINEA ROMA-NAPOLI VIA CASSINO NEL COMUNE DI MADDALONI – PROGETTO ESECUTIVO												
Pila 10: Relazione di calcolo	<table border="1"> <thead> <tr> <th>COMMESSA</th> <th>LOTTO</th> <th>CODIFICA</th> <th>DOCUMENTO</th> <th>REV.</th> <th>FOGLIO</th> </tr> </thead> <tbody> <tr> <td>IF1N</td> <td>01 E ZZ</td> <td>CL</td> <td>VI0605 008</td> <td>B</td> <td>4 di 137</td> </tr> </tbody> </table>	COMMESSA	LOTTO	CODIFICA	DOCUMENTO	REV.	FOGLIO	IF1N	01 E ZZ	CL	VI0605 008	B	4 di 137
COMMESSA	LOTTO	CODIFICA	DOCUMENTO	REV.	FOGLIO								
IF1N	01 E ZZ	CL	VI0605 008	B	4 di 137								

6.7	AZIONI SISMICHE (E)	97
6.7.1	SPETTRI DI PROGETTO ALLO SLV	98
7	COMBINAZIONI DI CARICO	101
8	ANALISI DELLE SOLLECITAZIONI.....	105
8.1	MODELLO DI CALCOLO E.F.	105
8.2	MASSE E FORZE SISMICHE.....	105
8.3	CARICHI ELEMENTARI	110
8.3.1	RIEPILOGO DEGLI SCARICHI DALL'IMPALCATO	110
8.4	SOLLECITAZIONI DI CALCOLO	114
8.4.1	SOLLECITAZIONI ALLA BASE DEL FUSTO PILA	114
8.4.2	SOLLECITAZIONI ALL'INTRADOSSO DEL PLINTO DI FONDAZIONE.....	117
8.4.1	SOLLECITAZIONI DISTRIBUITE IN TESTA AI PALI DI FONDAZIONE	117
9	VERIFICHE STRUTTURALI DEL FUSTO PILA.....	118
9.1	GEOMETRIA DELLA SEZIONE DI VERIFICA E ARMATURA.....	118
9.1.1	ARMATURA LONGITUDINALE	118
9.1.2	ARMATURA TRASVERSALE	118
9.1.3	VERIFICA DELL'ARMATURA MINIMA.....	119
9.2	VERIFICA SLU A FLESSIONE	122
9.3	VERIFICA SLU A TAGLIO	124
9.4	VERIFICA SLE TENSIONALE	125
9.5	VERIFICA SLE A FESSURAZIONE.....	125
9.6	VERIFICA DEGLI SPOSTAMENTI.....	125
10	VERIFICHE STRUTTURALI DEI PALI DI FONDAZIONE	126
10.1	GEOMETRIA DELLA SEZIONE DI VERIFICA E ARMATURA.....	126
10.2	VERIFICA SLU A PRESSOFLESSIONE	126
10.3	VERIFICA SLU A TAGLIO	128
10.4	VERIFICA SLE TENSIONALE	129
10.5	VERIFICA SLE A FESSURAZIONE.....	129
11	VERIFICHE STRUTTURALI DEL PLINTO DI FONDAZIONE	130
11.1	VERIFICHE SLU-SLE CON MECCANISMO TIRANTE-PUNTONE	130
11.1.1	GEOMETRIA DEL TIRANTE-PUNTONE	132
11.1.2	SEZIONE DEL TIRANTE DI ARMATURA E DELLA BIELLA COMPRESSA.....	133
11.1.3	VERIFICHE SLU DELLE TENSIONI NORMALI.....	134
11.1.4	VERIFICHE SLE DELLE TENSIONI NORMALI.....	134
11.2	VERIFICA SLU A PUNZONAMENTO	135

  	ITINERARIO NAPOLI – BARI RADDOPPIO TRATTA CANCELLO – BENEVENTO I° LOTTO FUNZIONALE CANCELLO - FRASSO TELESINO E VARIANTE ALLA LINEA ROMA-NAPOLI VIA CASSINO NEL COMUNE DI MADDALONI – PROGETTO ESECUTIVO												
Pila 10: Relazione di calcolo	<table border="1"> <thead> <tr> <th>COMMESSA</th> <th>LOTTO</th> <th>CODIFICA</th> <th>DOCUMENTO</th> <th>REV.</th> <th>FOGLIO</th> </tr> </thead> <tbody> <tr> <td>IF1N</td> <td>01 E ZZ</td> <td>CL</td> <td>VI0605 008</td> <td>B</td> <td>5 di 137</td> </tr> </tbody> </table>	COMMESSA	LOTTO	CODIFICA	DOCUMENTO	REV.	FOGLIO	IF1N	01 E ZZ	CL	VI0605 008	B	5 di 137
COMMESSA	LOTTO	CODIFICA	DOCUMENTO	REV.	FOGLIO								
IF1N	01 E ZZ	CL	VI0605 008	B	5 di 137								

11.3	VERIFICA SLE A FESSURAZIONE.....	136
12	INCIDENZE.....	137

  	ITINERARIO NAPOLI – BARI RADDOPPIO TRATTA CANCELLO – BENEVENTO I° LOTTO FUNZIONALE CANCELLO - FRASSO TELESINO E VARIANTE ALLA LINEA ROMA-NAPOLI VIA CASSINO NEL COMUNE DI MADDALONI – PROGETTO ESECUTIVO												
Pila 10: Relazione di calcolo	<table border="1"> <tr> <td>COMMESSA</td> <td>LOTTO</td> <td>CODIFICA</td> <td>DOCUMENTO</td> <td>REV.</td> <td>FOGLIO</td> </tr> <tr> <td>IF1N</td> <td>01 E ZZ</td> <td>CL</td> <td>VI0605 008</td> <td>B</td> <td>6 di 137</td> </tr> </table>	COMMESSA	LOTTO	CODIFICA	DOCUMENTO	REV.	FOGLIO	IF1N	01 E ZZ	CL	VI0605 008	B	6 di 137
COMMESSA	LOTTO	CODIFICA	DOCUMENTO	REV.	FOGLIO								
IF1N	01 E ZZ	CL	VI0605 008	B	6 di 137								

1 PREMESSA

Nell'ambito dell'*Itinerario Napoli-Bari* si inserisce il *Raddoppio della Tratta Cancello – Benevento - 1° Lotto Funzionale Cancello-Frasso Telesino e Variante alla Linea Roma-Napoli Via Cassino nel Comune di Maddaloni* (compreso il *Collegamento Merci con lo scalo di Marcianise - Collegamento Benevento-Marcianise*) oggetto della Progettazione Esecutiva in esame.

Oggetto della presente relazione è il dimensionamento degli elementi in elevazione e fondazione costituenti la Pila P10 del *Viadotto S. Michele_VI06*.

Nella presente relazione sono riportati in forma sintetica i risultati della analisi delle sollecitazioni e delle verifiche strutturali del fusto pila, del plinto di fondazione e dei pali di fondazione, con riferimento alla pila avente la maggiore altezza di fusto tra quelle indicate.

Pila	H fusto [m]	H tot [m]
P10	5.5	7.4

Nell'allegato 2 alla presente relazione sono riportati in forma completa i risultati delle analisi delle sollecitazioni e delle verifiche strutturali della pila avente altezza maggiore tra quelle appartenenti al gruppo di pile preso in considerazione.

Nel seguito si procede al calcolo dello stato di sollecitazione ed alle verifiche dei vari elementi costituenti la pila, nei confronti degli Stati Limite Ultimi strutturali di presso-flessione e taglio e degli stati limite di esercizio di fessurazione e tensionale.

Si esegue inoltre la determinazione delle azioni massime sui pali di fondazione e la verifica del plinto di fondazione nei confronti degli stati limite ultimi e di esercizio strutturali.

Sono eseguite infine le verifiche strutturali dei pali di fondazione nei confronti degli stati limite ultimi e di esercizio strutturali.

  	ITINERARIO NAPOLI – BARI RADDOPPIO TRATTA CANCELLO – BENEVENTO I° LOTTO FUNZIONALE CANCELLO - FRASSO TELESINO E VARIANTE ALLA LINEA ROMA-NAPOLI VIA CASSINO NEL COMUNE DI MADDALONI – PROGETTO ESECUTIVO												
Pila 10: Relazione di calcolo	<table border="1"> <thead> <tr> <th>COMMESSA</th> <th>LOTTO</th> <th>CODIFICA</th> <th>DOCUMENTO</th> <th>REV.</th> <th>FOGLIO</th> </tr> </thead> <tbody> <tr> <td>IF1N</td> <td>01 E ZZ</td> <td>CL</td> <td>VI0605 008</td> <td>B</td> <td>7 di 137</td> </tr> </tbody> </table>	COMMESSA	LOTTO	CODIFICA	DOCUMENTO	REV.	FOGLIO	IF1N	01 E ZZ	CL	VI0605 008	B	7 di 137
COMMESSA	LOTTO	CODIFICA	DOCUMENTO	REV.	FOGLIO								
IF1N	01 E ZZ	CL	VI0605 008	B	7 di 137								

2 NORMATIVA E DOCUMENTI DI RIFERIMENTO

2.1 NORMATIVE

Sono state prese a riferimento le seguenti Normative nazionali ed internazionali vigenti alla data di redazione del presente documento:

- [1] *Ministero delle Infrastrutture, DM 14 gennaio 2008, «Approvazione delle nuove norme tecniche per le costruzioni»*
- [2] *Ministero delle Infrastrutture e Trasporti, circolare 2 febbraio 2009, n. 617 C.S.LL.PP., «Istruzioni per l'applicazione delle Nuove norme tecniche per le costruzioni di cui al decreto ministeriale 14 gennaio 2008»*
- [3] *Istruzione RFI DTC INC PO SP IFS 001 - Specifica per la progettazione e l'esecuzione dei ponti ferroviari e di altre opere minori sotto binario*
- [4] *Istruzione RFI DTC INC CS SP IFS 001 - Specifica per la progettazione geotecnica delle opere civili ferroviarie*
- [5] *Istruzione RFI DTC INC PO SP IFS 002 - Specifica per la progettazione e l'esecuzione di cavalcavia e passerelle pedonali sulla sede ferroviaria*
- [6] *Istruzione RFI DTC INC PO SP IFS 003 - Specifica per la verifica a fatica dei ponti ferroviari*
- [7] *Istruzione RFI DTC INC PO SP IFS 004 - Specifica per la progettazione e l'esecuzione di impalcati ferroviari a travi in ferro a doppio T incorporate nel calcestruzzo*
- [8] *Istruzione RFI DTC INC PO SP IFS 005 - Specifica per il progetto, la produzione, il controllo della produzione e la posa in opera dei dispositivi di vincolo e dei coprigiunti degli impalcati ferroviari e dei cavalcavia*
- [9] *Eurocodice 1 – Azioni sulle strutture, Parte 1-4: Azioni in generale – Azioni del vento (UNI EN 1991-1-4)*
- [10] *Regolamento (UE) N.1299/2014 della Commissione del 18 Novembre 2014 relativo alle specifiche tecniche di interoperabilità per il sottosistema “infrastruttura” del sistema ferroviario dell'Unione europea*

  	ITINERARIO NAPOLI – BARI RADDOPPIO TRATTA CANCELLO – BENEVENTO I° LOTTO FUNZIONALE CANCELLO - FRASSO TELESINO E VARIANTE ALLA LINEA ROMA-NAPOLI VIA CASSINO NEL COMUNE DI MADDALONI – PROGETTO ESECUTIVO												
Pila 10: Relazione di calcolo	<table border="1"> <thead> <tr> <th>COMMESSA</th> <th>LOTTO</th> <th>CODIFICA</th> <th>DOCUMENTO</th> <th>REV.</th> <th>FOGLIO</th> </tr> </thead> <tbody> <tr> <td>IF1N</td> <td>01 E ZZ</td> <td>CL</td> <td>VI0605 008</td> <td>B</td> <td>8 di 137</td> </tr> </tbody> </table>	COMMESSA	LOTTO	CODIFICA	DOCUMENTO	REV.	FOGLIO	IF1N	01 E ZZ	CL	VI0605 008	B	8 di 137
COMMESSA	LOTTO	CODIFICA	DOCUMENTO	REV.	FOGLIO								
IF1N	01 E ZZ	CL	VI0605 008	B	8 di 137								

2.2 ELABORATI DI RIFERIMENTO

Vengono presi a riferimento tutti gli elaborati grafici progettuali di pertinenza.

  	ITINERARIO NAPOLI – BARI RADDOPPIO TRATTA CANCELLO – BENEVENTO I° LOTTO FUNZIONALE CANCELLO - FRASSO TELESINO E VARIANTE ALLA LINEA ROMA-NAPOLI VIA CASSINO NEL COMUNE DI MADDALONI – PROGETTO ESECUTIVO												
Pila 10: Relazione di calcolo	<table border="1"> <thead> <tr> <th>COMMESSA</th> <th>LOTTO</th> <th>CODIFICA</th> <th>DOCUMENTO</th> <th>REV.</th> <th>FOGLIO</th> </tr> </thead> <tbody> <tr> <td>IF1N</td> <td>01 E ZZ</td> <td>CL</td> <td>VI0605 008</td> <td>B</td> <td>9 di 137</td> </tr> </tbody> </table>	COMMESSA	LOTTO	CODIFICA	DOCUMENTO	REV.	FOGLIO	IF1N	01 E ZZ	CL	VI0605 008	B	9 di 137
COMMESSA	LOTTO	CODIFICA	DOCUMENTO	REV.	FOGLIO								
IF1N	01 E ZZ	CL	VI0605 008	B	9 di 137								

3 MATERIALI

3.1 CALCESTRUZZO PER FUSTO PILA E PULVINO

Classe C32/40

$R_{ck} =$	40.00	MPa	Resistenza caratteristica cubica
$f_{ck} = 0,83 R_{ck} =$	33.20	MPa	Resistenza caratteristica cilindrica
$f_{cm} = f_{ck} + 8 =$	41.20	MPa	Valore medio resistenza cilindrica
$\alpha_{cc} =$	0.85		Coeff. rid. per carichi di lunga durata
$\gamma_M =$	1.50	-	Coefficiente parziale di sicurezza SLU
$f_{cd} = \alpha_{cc} f_{ck} / \gamma_M =$	18.81	MPa	Resistenza di progetto
$f_{ctm} = 0,3 f_{ck}^{(2/3)} =$	3.10	MPa	Resistenza media a trazione semplice
$f_{ctm} = 1,2 f_{ctm} =$	3.72	MPa	Resistenza media a trazione per flessione
$f_{ctk} = 0,7 f_{ctm} =$	2.17	MPa	Valore caratteristico resistenza a trazione (frattile 5%)
$\sigma_c = 0,55 f_{ck} =$	18.26	MPa	Tensione limite in esercizio in comb. Rara (rif. §1.8.3.2.1 [3])
$\sigma_c = 0,40 f_{ck} =$	13.28	MPa	Tensione limite in esercizio in comb. quasi perm. (rif. §1.8.3.2.1 [3])
$E_{cm} = 22000 (f_{cm}/10)^{(0,3)} =$	33643.00	MPa	Modulo elastico di progetto
$\nu =$	0.20		Coefficiente di Poisson
$G_c = E_{cm} / (2(1 + \nu)) =$	14018.00	MPa	Modulo elastico tangenziale di progetto
Condizioni ambientali =	Debolmente aggressive		
Classe di esposizione =	XC4		
$c =$	4.00	cm	Copriferro minimo
$w =$	0.20	mm	Apertura massima fessure in esercizio in comb. Rara (rif. §1.8.3.2.4 [3])

  	ITINERARIO NAPOLI – BARI RADDOPPIO TRATTA CANCELLO – BENEVENTO I° LOTTO FUNZIONALE CANCELLO - FRASSO TELESINO E VARIANTE ALLA LINEA ROMA-NAPOLI VIA CASSINO NEL COMUNE DI MADDALONI – PROGETTO ESECUTIVO												
Pila 10: Relazione di calcolo	<table border="1"> <thead> <tr> <th>COMMESSA</th> <th>LOTTO</th> <th>CODIFICA</th> <th>DOCUMENTO</th> <th>REV.</th> <th>FOGLIO</th> </tr> </thead> <tbody> <tr> <td>IF1N</td> <td>01 E ZZ</td> <td>CL</td> <td>VI0605 008</td> <td>B</td> <td>10 di 137</td> </tr> </tbody> </table>	COMMESSA	LOTTO	CODIFICA	DOCUMENTO	REV.	FOGLIO	IF1N	01 E ZZ	CL	VI0605 008	B	10 di 137
COMMESSA	LOTTO	CODIFICA	DOCUMENTO	REV.	FOGLIO								
IF1N	01 E ZZ	CL	VI0605 008	B	10 di 137								

3.2 CALCESTRUZZO PER PLINTO DI FONDAZIONE

Classe C28/35

$R_{ck} =$	35.00	MPa	Resistenza caratteristica cubica
$f_{ck} = 0,83 R_{ck} =$	29.05	MPa	Resistenza caratteristica cilindrica
$f_{cm} = f_{ck} + 8 =$	37.05	MPa	Valore medio resistenza cilindrica
$\alpha_{cc} =$	0.85		Coeff. rid. per carichi di lunga durata
$\gamma_M =$	1.50	-	Coefficiente parziale di sicurezza SLU
$f_{cd} = \alpha_{cc} f_{ck} / \gamma_M =$	16.46	MPa	Resistenza di progetto
$f_{ctm} = 0,3 f_{ck}^{(2/3)} =$	2.83	MPa	Resistenza media a trazione semplice
$f_{ctm} = 1,2 f_{ctm} =$	3.40	MPa	Resistenza media a trazione per flessione
$f_{ctk} = 0,7 f_{ctm} =$	1.98	MPa	Valore caratteristico resistenza a trazione (frattile 5%)
$\sigma_c = 0,55 f_{ck} =$	15.98	MPa	Tensione limite in esercizio in comb. Rara (rif. §1.8.3.2.1 [3])
$\sigma_c = 0,40 f_{ck} =$	11.62	MPa	Tensione limite in esercizio in comb. quasi perm. (rif. §1.8.3.2.1 [3])
$E_{cm} = 22000 (f_{cm}/10)^{(0,3)} =$	32588.00	MPa	Modulo elastico di progetto
$\nu =$	0.20		Coefficiente di Poisson
$G_c = E_{cm} / (2(1 + \nu)) =$	13578.00	MPa	Modulo elastico tangenziale di progetto
Condizioni ambientali =	Ordinarie		
Classe di esposizione =	XC2		
$c =$	4.00	cm	Copriferro minimo
$w =$	0.30	mm	Apertura massima fessure in esercizio in comb. Rara (rif. §1.8.3.2.4 [3])

  	ITINERARIO NAPOLI – BARI RADDOPPIO TRATTA CANCELLO – BENEVENTO I° LOTTO FUNZIONALE CANCELLO - FRASSO TELESINO E VARIANTE ALLA LINEA ROMA-NAPOLI VIA CASSINO NEL COMUNE DI MADDALONI – PROGETTO ESECUTIVO												
Pila 10: Relazione di calcolo	<table border="1"> <thead> <tr> <th>COMMESSA</th> <th>LOTTO</th> <th>CODIFICA</th> <th>DOCUMENTO</th> <th>REV.</th> <th>FOGLIO</th> </tr> </thead> <tbody> <tr> <td>IF1N</td> <td>01 E ZZ</td> <td>CL</td> <td>VI0605 008</td> <td>B</td> <td>11 di 137</td> </tr> </tbody> </table>	COMMESSA	LOTTO	CODIFICA	DOCUMENTO	REV.	FOGLIO	IF1N	01 E ZZ	CL	VI0605 008	B	11 di 137
COMMESSA	LOTTO	CODIFICA	DOCUMENTO	REV.	FOGLIO								
IF1N	01 E ZZ	CL	VI0605 008	B	11 di 137								

3.3 CALCESTRUZZO PER PALI DI FONDAZIONE

Classe C25/30

$R_{ck} =$	30.00	MPa	Resistenza caratteristica cubica
$f_{ck} = 0,83 R_{ck} =$	24.90	MPa	Resistenza caratteristica cilindrica
$f_{cm} = f_{ck} + 8 =$	32.90	MPa	Valore medio resistenza cilindrica
$\alpha_{cc} =$	0.85		Coeff. rid. per carichi di lunga durata
$\gamma_M =$	1.50	-	Coefficiente parziale di sicurezza SLU
$f_{cd} = \alpha_{cc} f_{ck} / \gamma_M =$	14.11	MPa	Resistenza di progetto
$f_{ctm} = 0,3 f_{ck}^{(2/3)} =$	2.56	MPa	Resistenza media a trazione semplice
$f_{ctm} = 1,2 f_{ctm} =$	3.07	MPa	Resistenza media a trazione per flessione
$f_{ctk} = 0,7 f_{ctm} =$	1.79	MPa	Valore caratteristico resistenza a trazione (frattile 5%)
$\sigma_c = 0,55 f_{ck} =$	13.70	MPa	Tensione limite in esercizio in comb. Rara (rif. §1.8.3.2.1 [3])
$\sigma_c = 0,40 f_{ck} =$	9.96	MPa	Tensione limite in esercizio in comb. quasi perm. (rif. §1.8.3.2.1 [3])
$E_{cm} = 22000 (f_{cm}/10)^{(0,3)} =$	31447.00	MPa	Modulo elastico di progetto
$\nu =$	0.20		Coefficiente di Poisson
$G_c = E_{cm} / (2(1 + \nu)) =$	13103.00	MPa	Modulo elastico tangenziale di progetto
Condizioni ambientali =	Ordinarie		
Classe di esposizione =	XC2		
$c =$	6.00	cm	Copriferro minimo
$w =$	0.30	mm	Apertura massima fessure in esercizio in comb. Rara (rif. §1.8.3.2.4 [3])

  	ITINERARIO NAPOLI – BARI RADDOPPIO TRATTA CANCELLO – BENEVENTO I° LOTTO FUNZIONALE CANCELLO - FRASSO TELESINO E VARIANTE ALLA LINEA ROMA-NAPOLI VIA CASSINO NEL COMUNE DI MADDALONI – PROGETTO ESECUTIVO												
Pila 10: Relazione di calcolo	<table border="1"> <thead> <tr> <th>COMMESSA</th> <th>LOTTO</th> <th>CODIFICA</th> <th>DOCUMENTO</th> <th>REV.</th> <th>FOGLIO</th> </tr> </thead> <tbody> <tr> <td>IF1N</td> <td>01 E ZZ</td> <td>CL</td> <td>VI0605 008</td> <td>B</td> <td>12 di 137</td> </tr> </tbody> </table>	COMMESSA	LOTTO	CODIFICA	DOCUMENTO	REV.	FOGLIO	IF1N	01 E ZZ	CL	VI0605 008	B	12 di 137
COMMESSA	LOTTO	CODIFICA	DOCUMENTO	REV.	FOGLIO								
IF1N	01 E ZZ	CL	VI0605 008	B	12 di 137								

3.4 ACCIAIO PER BARRE DI ARMATURA

B450C

$f_{yk} \geq$	450.00	MPa	Tensione caratteristica di snervamento
$f_{tk} \geq$	540.00	MPa	Tensione caratteristica di rottura
$(f_t / f_y)_{k \geq}$	1.15		
$(f_t / f_y)_{k <}$	1.35		
$\gamma_s =$	1.15	-	Coefficiente parziale di sicurezza SLU
$f_{yd} = f_{yk} / \gamma_s =$	391.30	MPa	Tensione caratteristica di snervamento
$E_s =$	210000.00	MPa	Modulo elastico di progetto
$\epsilon_{yd} =$	0.20	%	Deformazione di progetto a snervamento
$\epsilon_{uk} = (A_{gt})_k$	7.50	%	Deformazione caratteristica ultima
$\sigma_s = 0,75 f_{yk} =$	337.50	MPa	Tensione in esercizio in comb. Rara (rif. §1.8.3.2.1 [3])

  	ITINERARIO NAPOLI – BARI RADDOPPIO TRATTA CANCELLO – BENEVENTO I° LOTTO FUNZIONALE CANCELLO - FRASSO TELESINO E VARIANTE ALLA LINEA ROMA-NAPOLI VIA CASSINO NEL COMUNE DI MADDALONI – PROGETTO ESECUTIVO												
Pila 10: Relazione di calcolo	<table border="1"> <thead> <tr> <th>COMMESSA</th> <th>LOTTO</th> <th>CODIFICA</th> <th>DOCUMENTO</th> <th>REV.</th> <th>FOGLIO</th> </tr> </thead> <tbody> <tr> <td>IF1N</td> <td>01 E ZZ</td> <td>CL</td> <td>VI0605 008</td> <td>B</td> <td>13 di 137</td> </tr> </tbody> </table>	COMMESSA	LOTTO	CODIFICA	DOCUMENTO	REV.	FOGLIO	IF1N	01 E ZZ	CL	VI0605 008	B	13 di 137
COMMESSA	LOTTO	CODIFICA	DOCUMENTO	REV.	FOGLIO								
IF1N	01 E ZZ	CL	VI0605 008	B	13 di 137								

4 CARATTERIZZAZIONE GEOTECNICA

4.1 CARATTERIZZAZIONE GEOTECNICA

Per la definizione della categoria di suolo delle opere appartenenti alla tratta in oggetto si rimanda all'elaborato progettuale "IF1N.0.1.E.ZZ.RB.GE.00.0.5.001.A - Relazione geotecnica generale di linea delle opere all'aperto".

  	ITINERARIO NAPOLI – BARI RADDOPPIO TRATTA CANCELLO – BENEVENTO I° LOTTO FUNZIONALE CANCELLO - FRASSO TELESINO E VARIANTE ALLA LINEA ROMA-NAPOLI VIA CASSINO NEL COMUNE DI MADDALONI – PROGETTO ESECUTIVO												
Pila 10: Relazione di calcolo	<table border="1"> <tr> <td>COMMESSA</td> <td>LOTTO</td> <td>CODIFICA</td> <td>DOCUMENTO</td> <td>REV.</td> <td>FOGLIO</td> </tr> <tr> <td>IF1N</td> <td>01 E ZZ</td> <td>CL</td> <td>VI0605 008</td> <td>B</td> <td>14 di 137</td> </tr> </table>	COMMESSA	LOTTO	CODIFICA	DOCUMENTO	REV.	FOGLIO	IF1N	01 E ZZ	CL	VI0605 008	B	14 di 137
COMMESSA	LOTTO	CODIFICA	DOCUMENTO	REV.	FOGLIO								
IF1N	01 E ZZ	CL	VI0605 008	B	14 di 137								

5 DESCRIZIONE DELLA STRUTTURA

Il Viadotto S. Michele_VI06, a doppio binario, si estende tra le progressive km 10+326 e km 11+737 della *Tratta Canello-Benevento – I° Lotto funzionale Canello-Frasso Telesino*, per uno sviluppo complessivo di 1411 m, ed è realizzato con 55 campate isostatiche di cui:

- 51 campate di luce in asse sottostrutture pari a 25.00 m, realizzate con impalcati della tipologia a 4 cassoncini in c.a.p.;
- 4 campate (tra la pila P8 e la pila P9 e tra la pila P49 e la pila P52) di luce in asse sottostrutture pari a 34.00 m, realizzate con implacati della tipologia misto acciaio-calcestruzzo. L'adozione di tali campate speciali si è resa necessaria sia per sovrappassare, con il minimo intervento possibile, lo "svincolo Capitone" della S.S. di *Fondo Valle Isclero*, sia per sovrappassare, garantendo la necessaria visibilità, la deviazione della S.S. n°265.

L'opera, di scavalco di una zona di terreno agricolo, scavalca in particolare:

- a) il *Fosso Valle Boschina* tra le pile P5 e P6 alla progressiva km 10+430;
- b) il *Torrente Valle Pietra Rossa* tra le pile P15 e P16 alla progressiva km 10+664;
- c) la deviazione della S.S. n°265 tra le pile P8 e P9 alla progressiva 10+536.580;
- d) lo svincolo della S.S. di *Fondo Valle Isclero* tra le pile P49 e P52 alla progressiva 11+602.631.

Il viadotto è costituito da due tipologie di impalcato: a cassoncini in c.a.p. e misto acciaio calcestruzzo.

La prima tipologia di impalcato è realizzata con 4 cassoncini accostati in c.a.p. e soletta gettata in opera. La luce è pari a 25.00 m misurata in asse pile. La lunghezza complessiva delle travi prefabbricate è pari a 24.30 m e la luce tra gli appoggi è pari a 22.80 m. La larghezza dell'impalcato è pari a 13.70 m. L'armamento è di tipo tradizionale su ballast.

La seconda tipologia di impalcato è realizzata con sezione mista acciaio calcestruzzo e presenta una campata di lunghezza 34.00m in asse ai varchi, mentre la luce tra gli appoggi è pari a 32.40m. L'impalcato ha una larghezza costante di 13.70m ed è costituito da 4 travi saldate a doppio "T" di altezza 2,08m, poste ad interasse di 2,8m e solidarizzate da traversi reticolari. L'armamento è di tipo tradizionale su ballast.

Le pili sono realizzate in c.a.o. gettato in opera e hanno altezze fusto che variano tra 3.0m e 20.8m. Presentano un fusto a sezione rettangolare cava di dimensioni esterne 2.6mx8.6m con raccordi di raggio pari ad 1m ed un motivo "a lesena" nella parte centrale del fusto su tutti e quattro i lati. Le dimensioni esterne diventano 3.3m x 8.6m ove l'altezza della pila al netto del pulvino è superiore a 12.0 m.

Le fondazioni sono realizzate con plinti rettangolari in c.a. con pali trivellati del diametro Φ 1200 mm e del Φ 1500 mm, posti ad un interasse pari a 3 diametri.

Con riferimento alle sottostrutture prese in considerazione nella presente relazione, le tipologie di impalcato, la geometria del fusto e la geometria del plinto e dei pali sono sintetizzate nella seguente tabella:

Pila	Impalcato precedente	Impalcato successivo	Fusto	Dimensioni plinto	Pali
P10	4 c.a.p. (L=25m)	4 c.a.p. (L=25m)	2.6m x 8.6m x 5.5m	9.0m x 13.2m x 2.5m	12 Φ 1200

Pila 10: Relazione di calcolo

COMMESSA	LOTTO	CODIFICA	DOCUMENTO	REV.	FOGLIO
IF1N	01 E ZZ	CL	VI0605 008	B	15 di 137

A seguire si riportano delle immagini che illustrano la geometria della pila (prospetto frontale e sezione orizzontale del fusto) e del plinto di fondazione (vista in pianta).

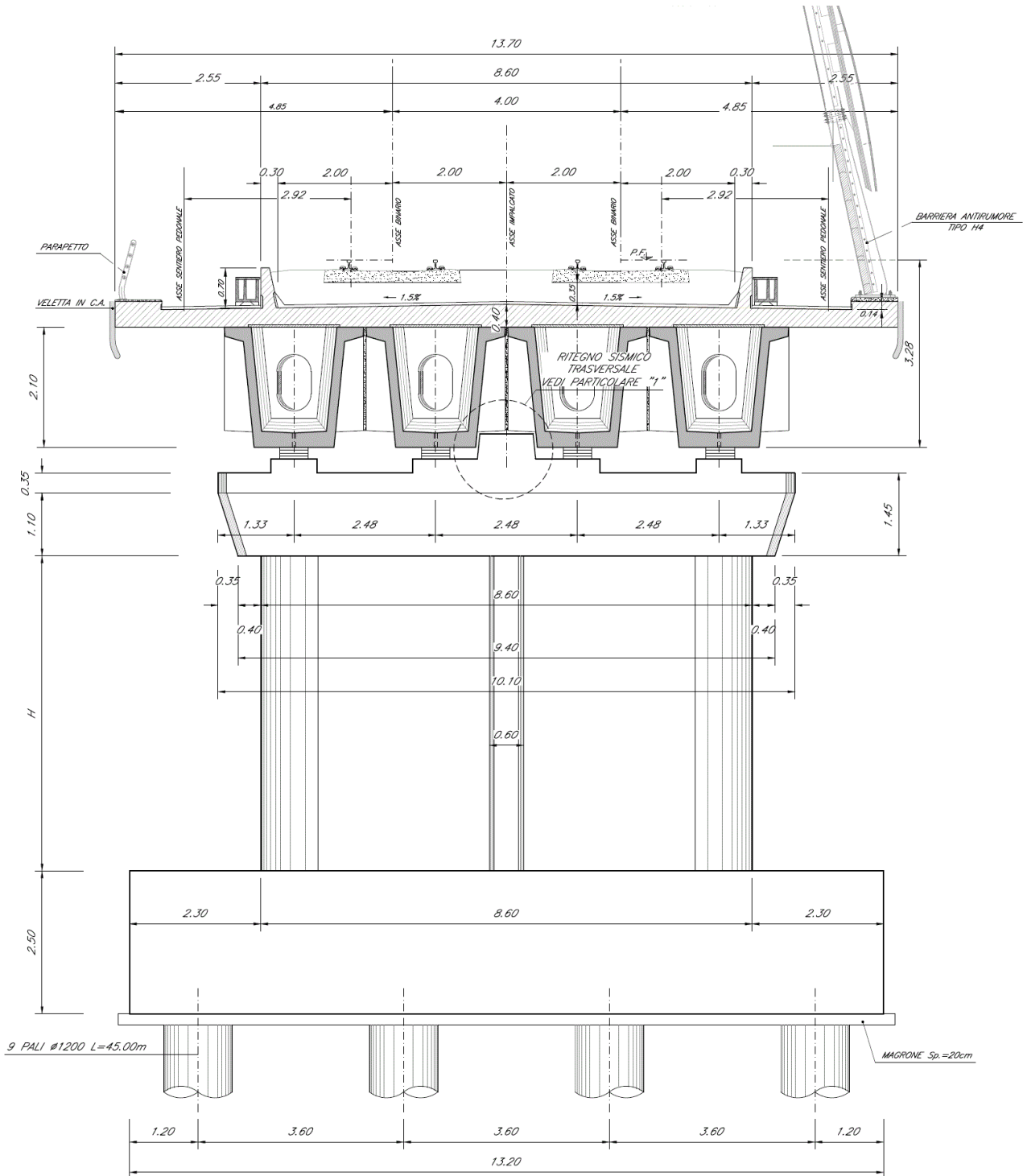


Figura 1 – Pila, prospetto frontale [m]

Pila 10: Relazione di calcolo

COMMESSA

LOTTO

CODIFICA

DOCUMENTO

REV.

FOGLIO

IF1N

01 E ZZ

CL

VI0605 008

B

16 di 137

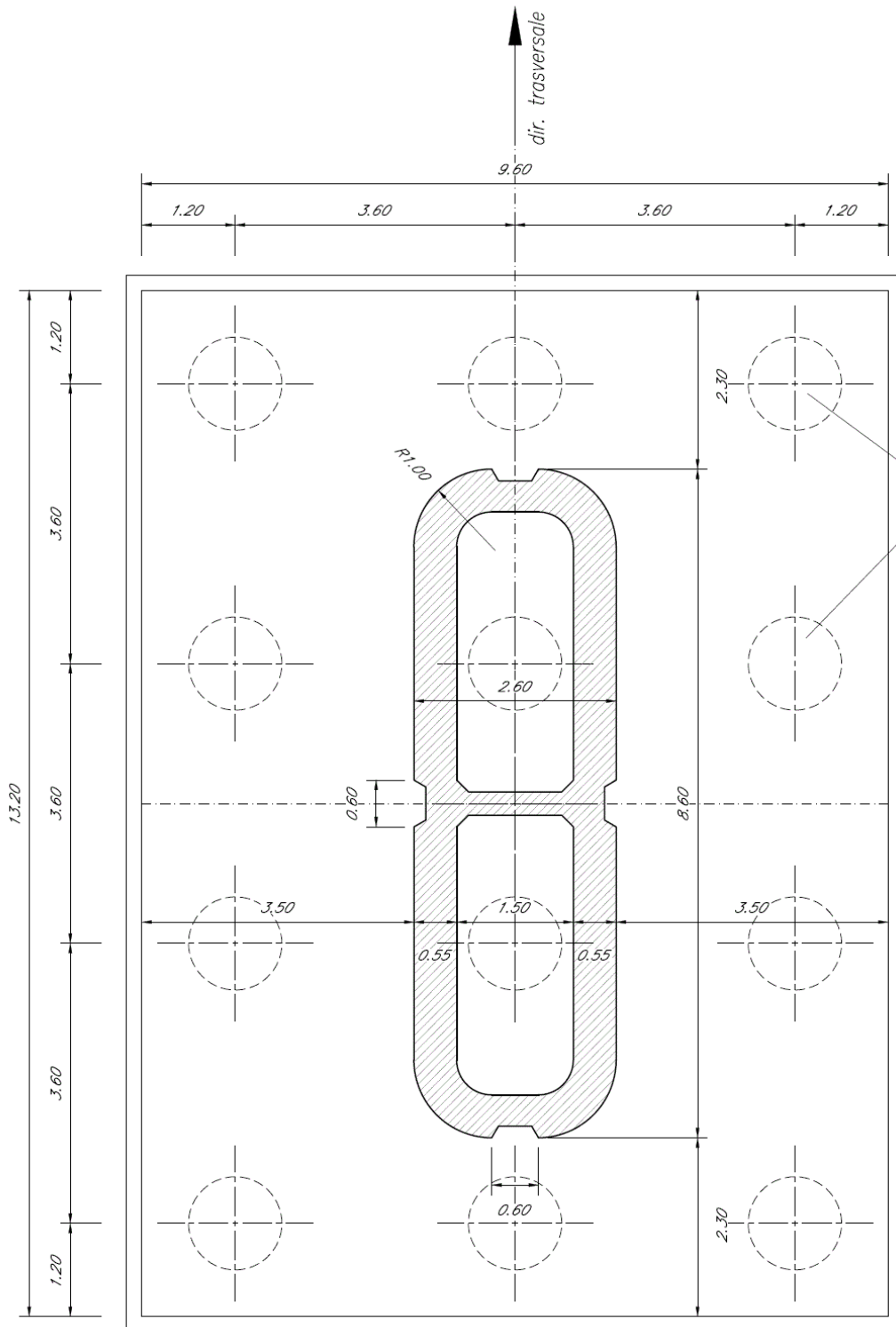


Figura 2 – Plinto di fondazione e pali, vista in pianta - Sezione del fusto pila [m]

Pila 10: Relazione di calcolo

COMMESSA	LOTTO	CODIFICA	DOCUMENTO	REV.	FOGLIO
IF1N	01 E ZZ	CL	VI0605 008	B	17 di 137

Le seguenti figure illustrano la geometria del pulvino della pila in prospetto longitudinale, differenziata a seconda delle tipologia di impalcato che afferisce alla pila i-esima.

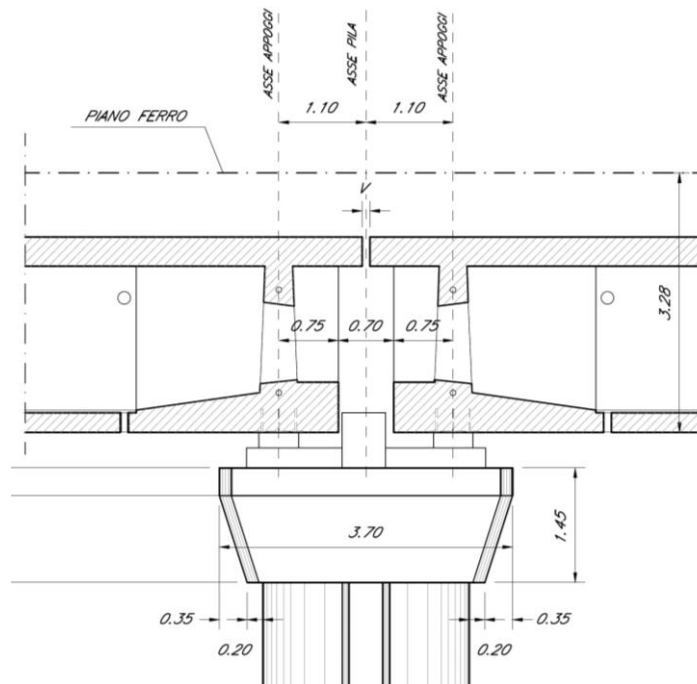


Figura 3 – Pila, prospetto longitudinale – Due impalcati CAP

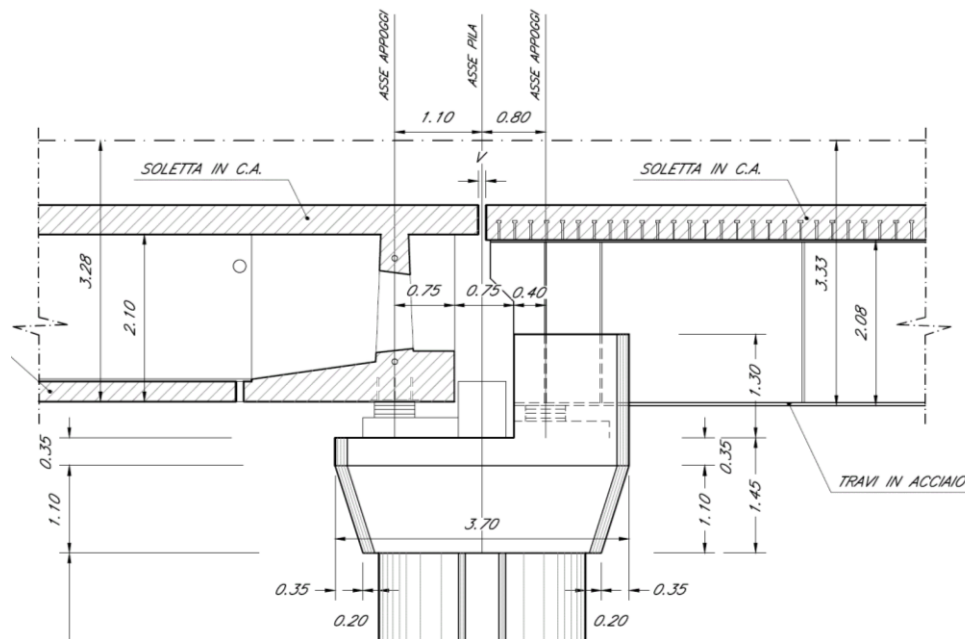


Figura 4 – Pila, prospetto longitudinale – Impalcato CAP e impalcato a struttura mista [m]

	ITINERARIO NAPOLI – BARI RADDOPPIO TRATTA CANCELLO – BENEVENTO I° LOTTO FUNZIONALE CANCELLO - FRASSO TELESINO E VARIANTE ALLA LINEA ROMA-NAPOLI VIA CASSINO NEL COMUNE DI MADDALONI – PROGETTO ESECUTIVO												
Pila 10: Relazione di calcolo	<table border="1"> <thead> <tr> <th>COMMESSA</th> <th>LOTTO</th> <th>CODIFICA</th> <th>DOCUMENTO</th> <th>REV.</th> <th>FOGLIO</th> </tr> </thead> <tbody> <tr> <td>IF1N</td> <td>01 E ZZ</td> <td>CL</td> <td>VI0605 008</td> <td>B</td> <td>18 di 137</td> </tr> </tbody> </table>	COMMESSA	LOTTO	CODIFICA	DOCUMENTO	REV.	FOGLIO	IF1N	01 E ZZ	CL	VI0605 008	B	18 di 137
COMMESSA	LOTTO	CODIFICA	DOCUMENTO	REV.	FOGLIO								
IF1N	01 E ZZ	CL	VI0605 008	B	18 di 137								

Si riportano a seguire due immagini che illustrano lo schema vincolare della campata isostatica i-esima ed il relativo dettaglio della pila i-esima (sono rappresentati due impalcati tipologici).

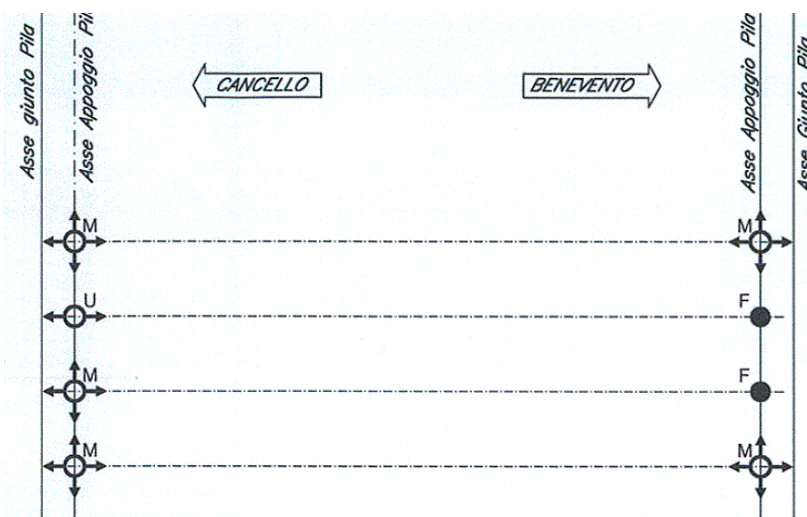
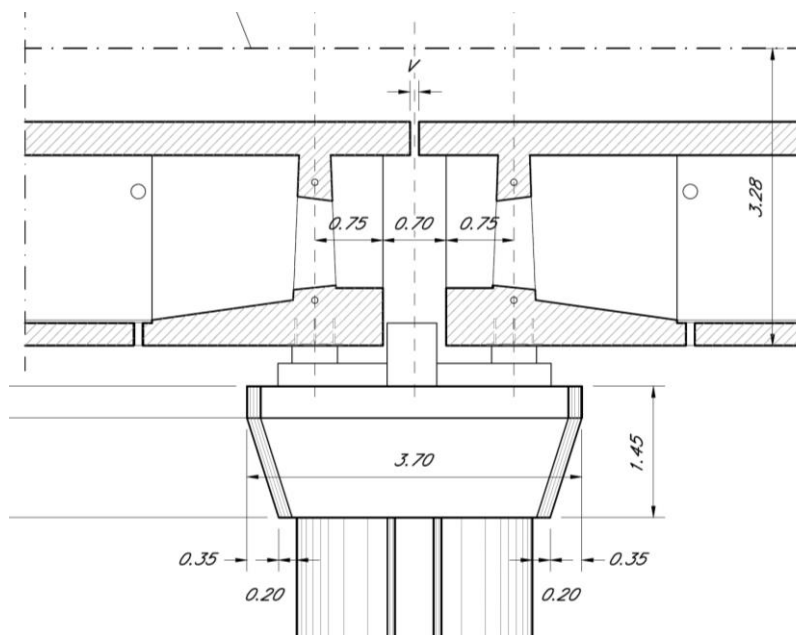


Figura 5 – Viadotto VI06 – Schema vincolare campata isostatica i-esima

Impalcato “precedente” – Fisso longitudinale

Impalcato “successivo” – Mobile longitudinale



← dir. Cancello

dir. Benevento →

Figura 6 – Viadotto VI06 – Schema vincolare pila i-esima

	ITINERARIO NAPOLI – BARI RADDOPPIO TRATTA CANCELLO – BENEVENTO I° LOTTO FUNZIONALE CANCELLO - FRASSO TELESINO E VARIANTE ALLA LINEA ROMA-NAPOLI VIA CASSINO NEL COMUNE DI MADDALONI – PROGETTO ESECUTIVO												
Pila 10: Relazione di calcolo	<table border="1"> <thead> <tr> <th>COMMESSA</th> <th>LOTTO</th> <th>CODIFICA</th> <th>DOCUMENTO</th> <th>REV.</th> <th>FOGLIO</th> </tr> </thead> <tbody> <tr> <td>IF1N</td> <td>01 E ZZ</td> <td>CL</td> <td>VI0605 008</td> <td>B</td> <td>19 di 137</td> </tr> </tbody> </table>	COMMESSA	LOTTO	CODIFICA	DOCUMENTO	REV.	FOGLIO	IF1N	01 E ZZ	CL	VI0605 008	B	19 di 137
COMMESSA	LOTTO	CODIFICA	DOCUMENTO	REV.	FOGLIO								
IF1N	01 E ZZ	CL	VI0605 008	B	19 di 137								

6 ANALISI DEI CARICHI

Di seguito si riporta l'analisi dei carichi agenti sulla pila e derivanti dagli impalcati afferenti.

Le azioni e le reazioni riportate sono riferite al seguente sistema di riferimento:

- asse 1 o asse X : asse longitudinale;
- asse 2 o asse Y : asse trasversale;
- asse 3 o asse Z : asse verticale.

6.1 PERMANENTI STRUTTURALI (G1)

6.1.1 PESO PROPRIO IMPALCATI

L'impalcato a singola campata isostatica, di luce pari a 25 m in asse ai giunti (22,80 m asse appoggi), è costituito da 4 cassoncini in c.a.p. solidarizzati da trasversi gettati in opera. La soletta è di spessore variabile tra 30 cm e 40 cm ed è anch'essa gettata in opera su predalles prefabbricate.

I carichi afferenti al peso proprio degli impalcati sono calcolati sulla base delle caratteristiche geometriche e del peso unitario di ciascun elemento, come riportato a seguire.

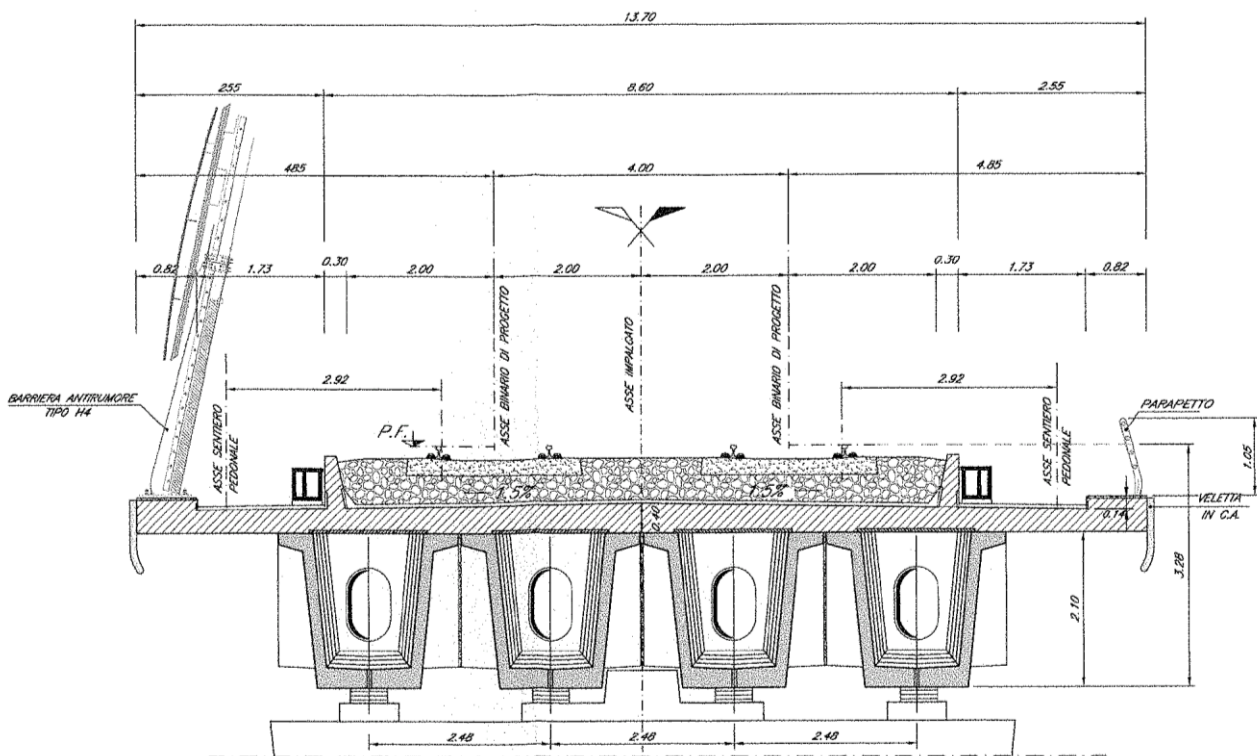


Figura 7 – Impalcato quadri cassone in c.a.p. (L=25m) – Sezione trasversale tipologica [m]

  	ITINERARIO NAPOLI – BARI RADDOPPIO TRATTA CANCELLO – BENEVENTO I° LOTTO FUNZIONALE CANCELLO - FRASSO TELESINO E VARIANTE ALLA LINEA ROMA-NAPOLI VIA CASSINO NEL COMUNE DI MADDALONI – PROGETTO ESECUTIVO												
Pila 10: Relazione di calcolo	<table border="1"> <tr> <td>COMMESSA</td> <td>LOTTO</td> <td>CODIFICA</td> <td>DOCUMENTO</td> <td>REV.</td> <td>FOGLIO</td> </tr> <tr> <td>IF1N</td> <td>01 E ZZ</td> <td>CL</td> <td>VI0605 008</td> <td>B</td> <td>20 di 137</td> </tr> </table>	COMMESSA	LOTTO	CODIFICA	DOCUMENTO	REV.	FOGLIO	IF1N	01 E ZZ	CL	VI0605 008	B	20 di 137
COMMESSA	LOTTO	CODIFICA	DOCUMENTO	REV.	FOGLIO								
IF1N	01 E ZZ	CL	VI0605 008	B	20 di 137								

IMPALCATO-SX

IMPALCATO-DX

Peso proprio travi

A,1 sezione testata =	2,01	m2	2,01	m2
A,1 sezione media transizione =	1,60	m2	1,60	m2
A,1 sezione corrente =	1,13	m2	1,13	m2
L,testata =	1,50	m	1,50	m
L,zona transizione =	3,60	m	3,60	m
L,corrente =	19,20	m	19,20	m
L,tot =	24,30	m	24,30	m
V,1 trave =	30,47	m3	30,47	m3
peso unitario travi =	25,00	kN/m3	25,00	kN/m3
P,1 trave =	761,78	kN	761,78	kN

Peso proprio trasversi

A,1 sez trasverso testata =	2,76	m2	2,76	m2
A,1 sez trasverso corrente =	3,64	m2	3,64	m2
s,trasverso testata =	0,40	m	0,40	m
s,trasverso corrente =	0,25	m	0,25	m
V,1 trave trasversi =	4,03	m3	4,03	m3
peso unitario trasversi =	25,00	kN/m3	25,00	kN/m3
P,1 trave trasv =	100,70	kN	100,70	kN

Peso proprio totale travi e trasversi

P,1 trave+trasv =	862,48	kN	862,48	kN
N,travi =	4,00		4,00	
P,tot travi+trasv =	3449,90	kN	3449,90	kN

Peso proprio soletta

  	ITINERARIO NAPOLI – BARI RADDOPPIO TRATTA CANCELLO – BENEVENTO I° LOTTO FUNZIONALE CANCELLO - FRASSO TELESINO E VARIANTE ALLA LINEA ROMA-NAPOLI VIA CASSINO NEL COMUNE DI MADDALONI – PROGETTO ESECUTIVO												
Pila 10: Relazione di calcolo	<table border="1"> <thead> <tr> <th>COMMESSA</th> <th>LOTTO</th> <th>CODIFICA</th> <th>DOCUMENTO</th> <th>REV.</th> <th>FOGLIO</th> </tr> </thead> <tbody> <tr> <td>IF1N</td> <td>01 E ZZ</td> <td>CL</td> <td>VI0605 008</td> <td>B</td> <td>21 di 137</td> </tr> </tbody> </table>	COMMESSA	LOTTO	CODIFICA	DOCUMENTO	REV.	FOGLIO	IF1N	01 E ZZ	CL	VI0605 008	B	21 di 137
COMMESSA	LOTTO	CODIFICA	DOCUMENTO	REV.	FOGLIO								
IF1N	01 E ZZ	CL	VI0605 008	B	21 di 137								

A soletta =	5,05	m ²	5,05	m ²
L impalcato =	25,00	m	25,00	m
peso unitario soletta =	25,00	kN/m ³	25,00	kN/m ³

P soletta =	3156,25	kN	3156,25	kN
-------------	---------	----	---------	----

Peso proprio totale impalcato

Peso impalcato =	6606,15	kN	6606,15	kN
------------------	---------	----	---------	----

Risultanti reazioni vincolari

F1 =	0		0	
F2 =	0		0	
F3 =	3303	kN	3303	kN
M1 =	0		0	
M2 =	0		0	
M3 =	0		0	

6.1.2 PESO PROPRIO PILA

I carichi afferenti al peso proprio degli elementi costituenti la pila (fusto, pulvino e fondazioni) sono calcolati sulla base delle caratteristiche geometriche di ciascun elemento e considerando un peso unitario del calcestruzzo pari a 25,00 kN/m³.

6.2 PERMANENTI NON STRUTTURALI (G2)

I carichi permanenti non strutturali sono costituiti dal peso della massicciata, dal peso delle barriere antirumore e dal peso delle canalette portacavi. In aggiunta ai permanenti non strutturali portati dagli impalcato si hanno anche quelli costituiti dal riempimento della pila e dal sovraccarico del terreno di ricopimento del plinto.

La normativa distingue tra ballast e permanenti non strutturali generici nell'assegnazione dei valori del coefficiente di combinazione (rif. §1.8.3.1 [3]), per questo motivo nei paragrafi a seguire i due casi di carico vengono trattati separatamente.

6.2.1 BALLAST (G21)

Secondo il §1.3.2 [3], ove non si eseguano valutazioni più dettagliate, la determinazione dei carichi permanenti portati relativi al peso della massicciata, armamento e dell'impermeabilizzazione potrà effettuarsi assumendo convenzionalmente, per linea in rettilineo, un peso di volume pari a 18,00 kN/m³, applicato su tutta la larghezza media compresa fra i muretti paraballast, per un'altezza media fra p.f. ed estradosso impalcato pari a 0,80 m. Per i ponti in curva si assume un peso convenzionale di 20 kN/m³.

  	ITINERARIO NAPOLI – BARI RADDOPPIO TRATTA CANCELLO – BENEVENTO I° LOTTO FUNZIONALE CANCELLO - FRASSO TELESINO E VARIANTE ALLA LINEA ROMA-NAPOLI VIA CASSINO NEL COMUNE DI MADDALONI – PROGETTO ESECUTIVO												
Pila 10: Relazione di calcolo	<table border="1"> <tr> <td>COMMESSA</td> <td>LOTTO</td> <td>CODIFICA</td> <td>DOCUMENTO</td> <td>REV.</td> <td>FOGLIO</td> </tr> <tr> <td>IF1N</td> <td>01 E ZZ</td> <td>CL</td> <td>VI0605 008</td> <td>B</td> <td>22 di 137</td> </tr> </table>	COMMESSA	LOTTO	CODIFICA	DOCUMENTO	REV.	FOGLIO	IF1N	01 E ZZ	CL	VI0605 008	B	22 di 137
COMMESSA	LOTTO	CODIFICA	DOCUMENTO	REV.	FOGLIO								
IF1N	01 E ZZ	CL	VI0605 008	B	22 di 137								

IMPALCATO - SX

IMPALCATO - DX

Peso ballast

p,ballast rettilifo =	18,00	kN/m3	18,00	kN/m3
p,ballast curva =	20,00	kN/m3	20,00	kN/m3
tracciato in curva (S/N) =	S		S	
p,ballast =	20,00	kN/m3	20,00	kN/m3
s ballast =	0,80	m	0,80	m
L ballast =	8,30	m	8,30	m
L impalcato =	25,00		25,00	
P,tot ballast =	3320,00	kN	3320,00	kN

Muretti paraballast

A,muretti paraballast (2) =	0,287	m2	0,287	m2
peso unitario muretti =	25,00	kN/m3	25,00	kN/m3
P,tot muretti =	179,13	kN	179,13	kN

Peso totale massicciata

Peso totale massicciata =	3499,13	kN	3499,13	kN
---------------------------	---------	----	---------	----

Risultanti reazioni vincolari

F1 =	0		0	
F2 =	0		0	
F3 =	1750	kN	1750	kN
M1 =	0		0	
M2 =	0		0	
M3 =	0		0	

  	ITINERARIO NAPOLI – BARI RADDOPPIO TRATTA CANCELLO – BENEVENTO I° LOTTO FUNZIONALE CANCELLO - FRASSO TELESINO E VARIANTE ALLA LINEA ROMA-NAPOLI VIA CASSINO NEL COMUNE DI MADDALONI – PROGETTO ESECUTIVO												
Pila 10: Relazione di calcolo	<table border="1"> <tr> <td>COMMESSA</td> <td>LOTTO</td> <td>CODIFICA</td> <td>DOCUMENTO</td> <td>REV.</td> <td>FOGLIO</td> </tr> <tr> <td>IF1N</td> <td>01 E ZZ</td> <td>CL</td> <td>VI0605 008</td> <td>B</td> <td>23 di 137</td> </tr> </table>	COMMESSA	LOTTO	CODIFICA	DOCUMENTO	REV.	FOGLIO	IF1N	01 E ZZ	CL	VI0605 008	B	23 di 137
COMMESSA	LOTTO	CODIFICA	DOCUMENTO	REV.	FOGLIO								
IF1N	01 E ZZ	CL	VI0605 008	B	23 di 137								

6.2.2 PERMANENTI NON STRUTTURALI GENERICI (G22)

6.2.2.1 AFFERENTI ALL'IMPALCATO

Secondo il §1.3.2 [3], nella progettazione di nuovi ponti ferroviari dovranno essere sempre considerati i pesi le azioni e gli ingombri associati all'introduzione delle barriere antirumore, anche nei casi in cui non ne sia originariamente prevista la realizzazione, assumendo un peso pari a 4,00 kN/m² ed un'altezza minima di 4,00 m misurata dall'estradosso della soletta. Cautelativamente si considerano presenti barriere H4 ad entrambe le estremità dell'impalcato.

IMPALCATO - SX

IMPALCATO - DX

Peso barriere antirumore

P,barriere =	4,00	kN/m ²	4,00	kN/m ²
B.A. lato sx =	H4		H4	
B.A. lato sdx =	H4		H4	
H,barriera sx (min. 4m) =	5,40	m	5,40	m
H,barriera dx (min. 4m) =	5,40	m	5,40	m
L impalcato =	25,00	m	25,00	m
P,tot barriere =	1080,00	kN	1080,00	kN

Peso cordoli, muretti paraballast, velette

A,cordoli =	0,36	m ²	0,36	m ²
A,veletta =	0,19	m ²	0,19	m ²
P,tot arredi =	342,00	kN	342,00	kN

Peso canalette portacavi

P,canalette =	5,00	kN/m	5,00	kN/m
P,tot canalette =	125,00	kN	125,00	kN

Permanenti non strutturali totali

Permanenti tot =	1547,00	kN	1547,00	kN
------------------	---------	----	---------	----

  	ITINERARIO NAPOLI – BARI RADDOPPIO TRATTA CANCELLO – BENEVENTO I° LOTTO FUNZIONALE CANCELLO - FRASSO TELESINO E VARIANTE ALLA LINEA ROMA-NAPOLI VIA CASSINO NEL COMUNE DI MADDALONI – PROGETTO ESECUTIVO												
Pila 10: Relazione di calcolo	<table border="1"> <thead> <tr> <th>COMMESSA</th> <th>LOTTO</th> <th>CODIFICA</th> <th>DOCUMENTO</th> <th>REV.</th> <th>FOGLIO</th> </tr> </thead> <tbody> <tr> <td>IF1N</td> <td>01 E ZZ</td> <td>CL</td> <td>VI0605 008</td> <td>B</td> <td>24 di 137</td> </tr> </tbody> </table>	COMMESSA	LOTTO	CODIFICA	DOCUMENTO	REV.	FOGLIO	IF1N	01 E ZZ	CL	VI0605 008	B	24 di 137
COMMESSA	LOTTO	CODIFICA	DOCUMENTO	REV.	FOGLIO								
IF1N	01 E ZZ	CL	VI0605 008	B	24 di 137								

Risultanti reazioni vincolari

F1 =	0		0	
F2 =	0		0	
F3 =	774	kN	774	kN
M1 =	0		0	
M2 =	0		0	
M3 =	0		0	

6.2.3 RIEMPIMENTO PILA E TERRENO DI RICOPRIMENTO

Il riempimento della pila ed il terreno di ricoprimento del plinto costituiscono un carico permanente portato agente sul plinto di fondazione al livello dell'estradosso plinto.

Le forze risultanti così calcolate vengono considerate come forze concentrate agenti in corrispondenza dell'estradosso del plinto.

Peso terreno di ricoprimento

Area ingombro pila:

dlong	2.6	m
dtrasv	8.6	m
A	22.36	m ²

Peso terreno:

dlong	9.6	m
dtrasv	13.2	m
hterr	1.135	m
gterr	20	kN/m ³
Wterr	2369	kN

Peso riempimento pila

Assente.

Permanenti non strutturali pila totali

Pari a Wterr.

	ITINERARIO NAPOLI – BARI RADDOPPIO TRATTA CANCELLO – BENEVENTO I° LOTTO FUNZIONALE CANCELLO - FRASSO TELESINO E VARIANTE ALLA LINEA ROMA-NAPOLI VIA CASSINO NEL COMUNE DI MADDALONI – PROGETTO ESECUTIVO												
Pila 10: Relazione di calcolo	<table border="1"> <thead> <tr> <th>COMMESSA</th> <th>LOTTO</th> <th>CODIFICA</th> <th>DOCUMENTO</th> <th>REV.</th> <th>FOGLIO</th> </tr> </thead> <tbody> <tr> <td>IF1N</td> <td>01 E ZZ</td> <td>CL</td> <td>VI0605 008</td> <td>B</td> <td>25 di 137</td> </tr> </tbody> </table>	COMMESSA	LOTTO	CODIFICA	DOCUMENTO	REV.	FOGLIO	IF1N	01 E ZZ	CL	VI0605 008	B	25 di 137
COMMESSA	LOTTO	CODIFICA	DOCUMENTO	REV.	FOGLIO								
IF1N	01 E ZZ	CL	VI0605 008	B	25 di 137								

6.3 CARICHI DA TRAFFICO

Le azioni verticali associate ai convogli ferroviari si schematizzano mediante i modelli di carico teorici LM71 e SW/2.

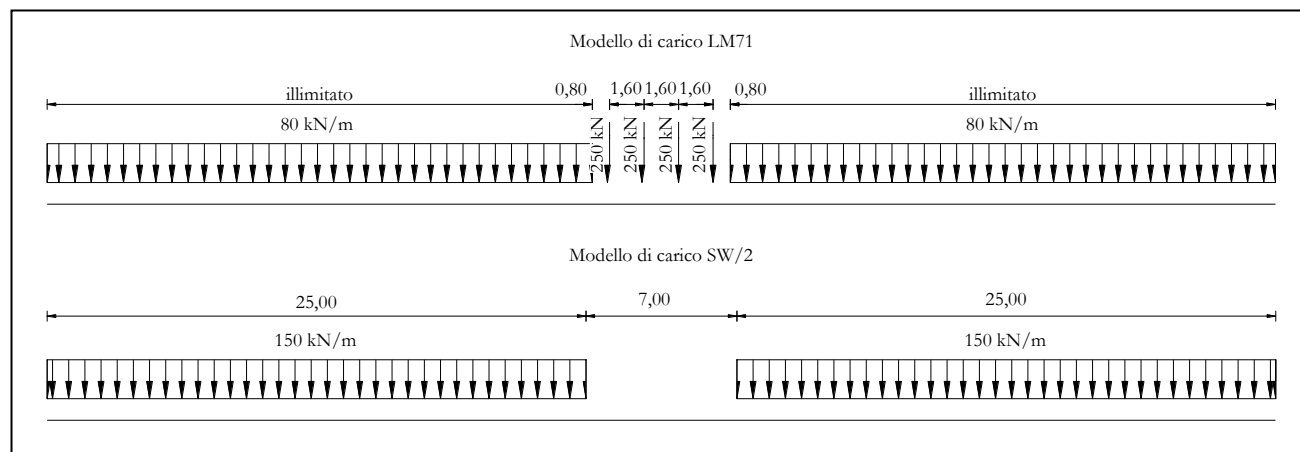


Figura 8 – Modelli di carico teorici LM71 e SW/2

Le differenti disposizioni degli assi e delle stese di carico considerate sono state definite in modo tale da massimizzare gli scarichi sulla pila:

- *Disposizione 1:* disposizione atta a massimizzare lo scarico assiale sulla pila. Prevede entrambi i binari di entrambe le campate caricate con i modelli LM71 e SW/2. Gli assi del LM71 e la stesa di carico di 25 m del SW/2 sono centrati sulla pila.
- *Disposizione 2:* disposizione atta a massimizzare il momento longitudinale (momento che “gira” intorno all’asse trasversale) sulla pila. Prevede entrambi i binari di un solo impalcato caricate con i modelli LM71 e SW/2. Gli assi del modello LM71 e la stesa di carico di 25 m del modello SW/2 sono posizionati a partire dall’estremità sinistra dell’impalcato di destra.
- *Disposizione 3:* disposizione atta a massimizzare il momento trasversale (momento che “gira” intorno all’asse longitudinale) sulla pila. Prevede un solo binario di entrambi gli impalcati caricato il modello SW/2. La stesa di carico di 25 m del modello SW/2 è centrata sulla pila.
- *Disposizione 4:* disposizione atta a massimizzare il momento trasversale (momento che “gira” intorno all’asse longitudinale) sulla pila. Prevede un solo binario di entrambi gli impalcati caricato con il modello LM71. Gli assi del LM71 sono centrati sulla pila.
- *Disposizione 5:* disposizione atta a massimizzare lo scarico assiale sulla pila e contemporaneamente a creare un momento longitudinale (che “gira” intorno all’asse trasversale) sulla pila. Prevede entrambi i binari di entrambe le campate caricate con i modelli LM71 e SW/2. Gli assi del LM71 e la stesa di carico di 25 m del SW/2 sono posizionati a partire dall’estremità sinistra dell’impalcato di destra.
- *Disposizione 6:* disposizione atta a massimizzare lo scarico assiale sulla pila. Prevede entrambi i binari di entrambe le campate caricate con i modelli LM71 e SW/2. Gli assi del LM71 ed il tratto scarico di 7 m del SW/2 sono centrati sulla pila.
- *Disposizione 7:* disposizione atta a minimizzare lo scarico assiale sulla pila e contemporaneamente a massimizzare il momento longitudinale (momento che “gira” intorno all’asse trasversale). Prevede entrambi i binari di un solo impalcato caricate con i modelli LM71 e SW/2. Gli assi del modello LM71 e la stesa di carico di 25 m del modello SW/2 sono posizionati a partire dall’estremità sinistra dell’impalcato di destra.

Pila 10: Relazione di calcolo

COMMESSA	LOTTO	CODIFICA	DOCUMENTO	REV.	FOGLIO
IF1N	01 E ZZ	CL	VI0605 008	B	26 di 137

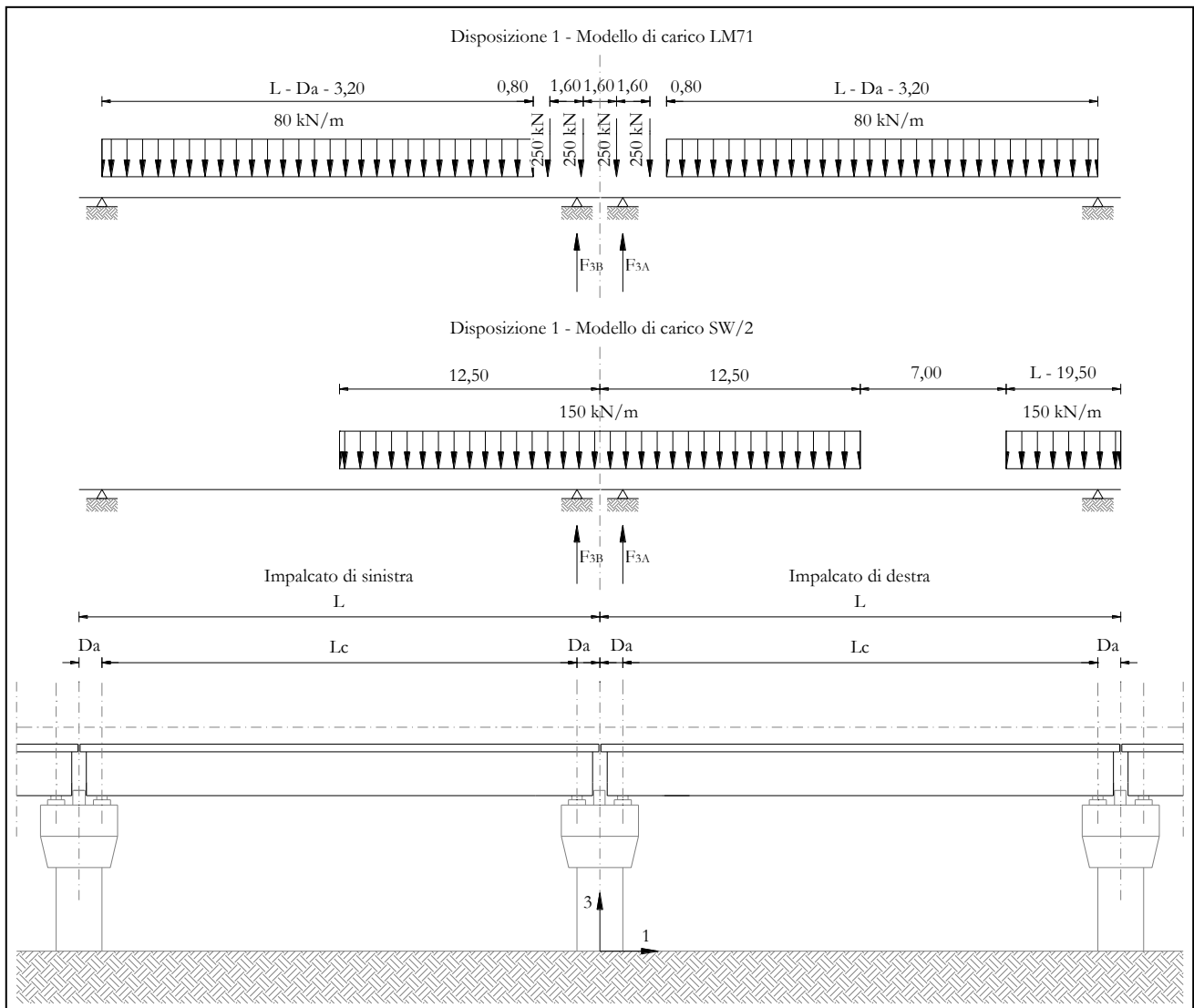


Figura 9 – Disposizione di carico 1

Pila 10: Relazione di calcolo

COMMESSA	LOTTO	CODIFICA	DOCUMENTO	REV.	FOGLIO
IF1N	01 E ZZ	CL	VI0605 008	B	27 di 137

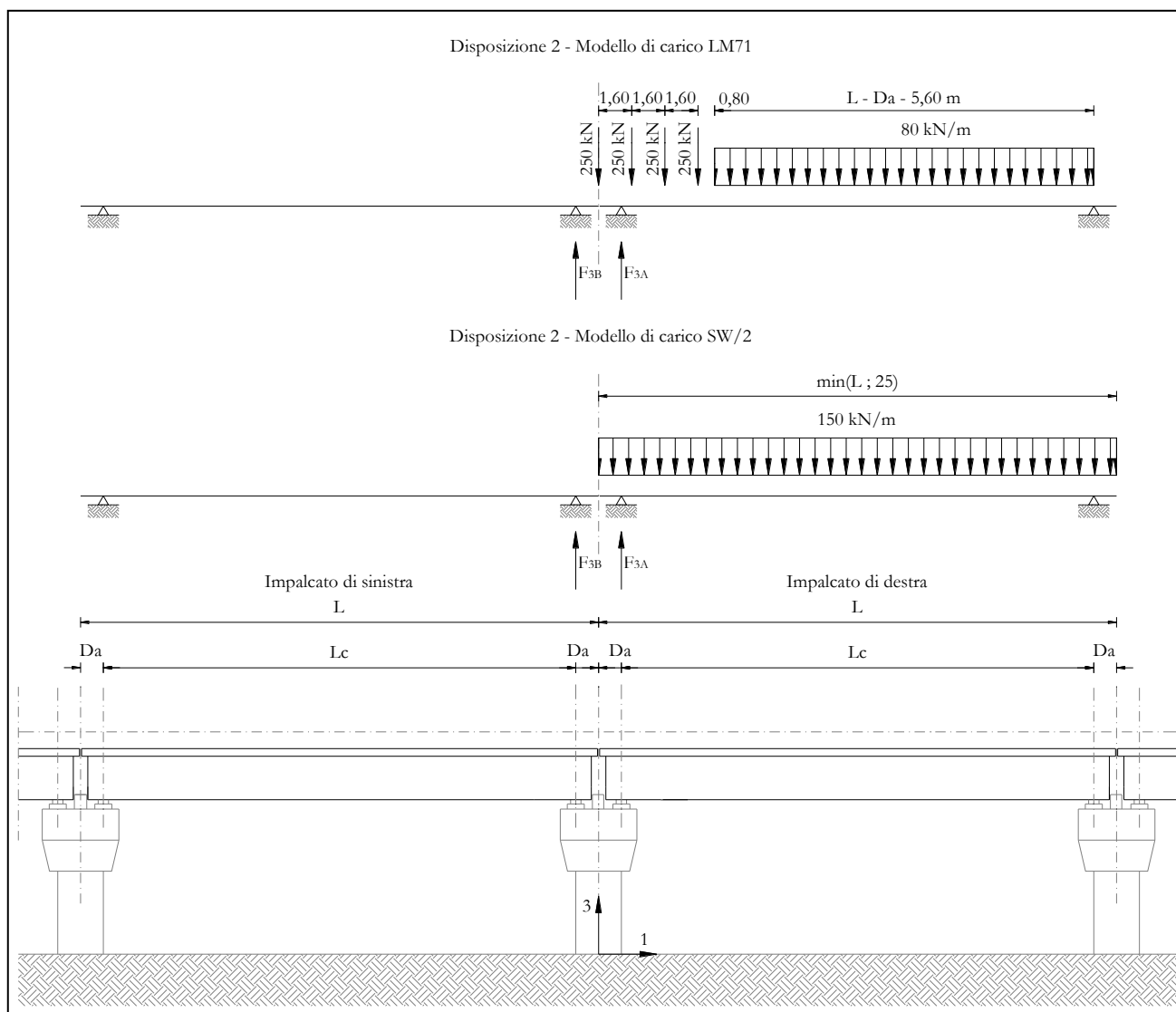


Figura 10 – Disposizione di carico 2

Pila 10: Relazione di calcolo

COMMESSA	LOTTO	CODIFICA	DOCUMENTO	REV.	FOGLIO
IF1N	01 E ZZ	CL	VI0605 008	B	28 di 137

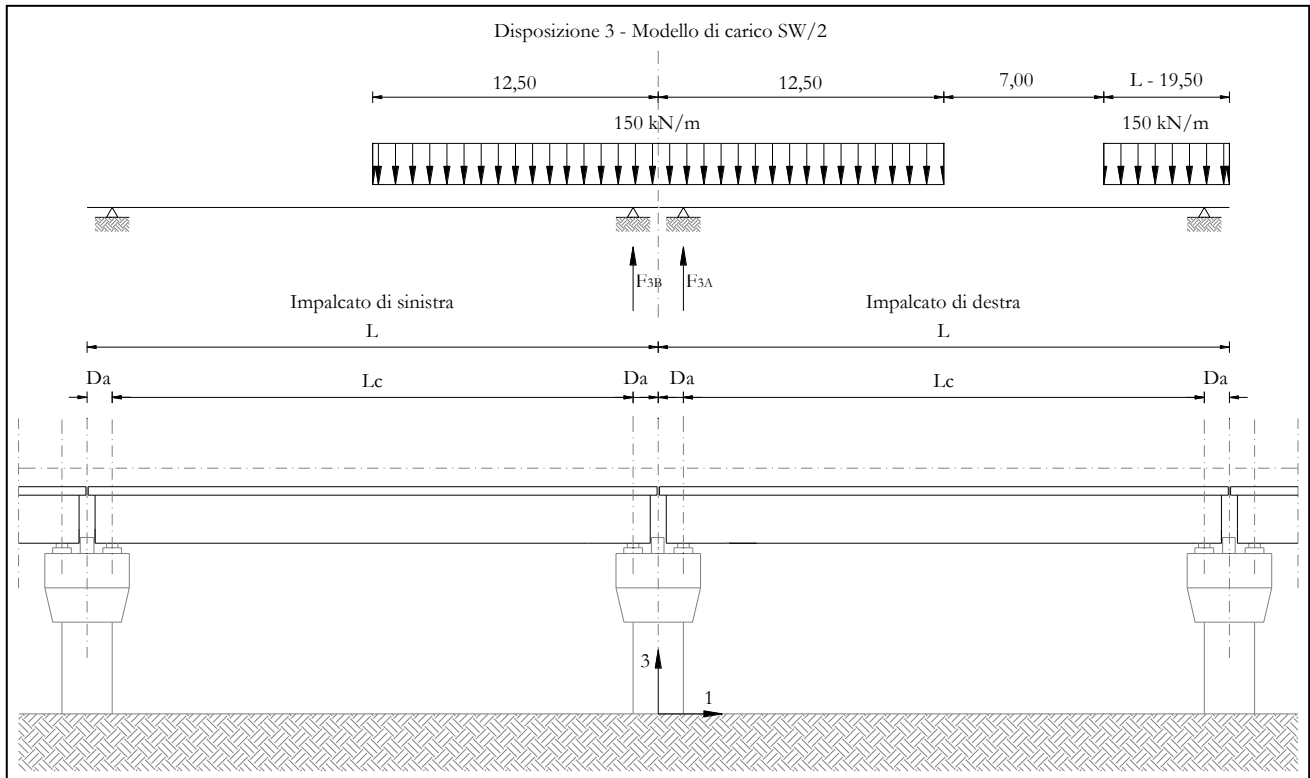


Figura 11 – Disposizione di carico 3

Pila 10: Relazione di calcolo

COMMESSA	LOTTO	CODIFICA	DOCUMENTO	REV.	FOGLIO
IF1N	01 E ZZ	CL	VI0605 008	B	29 di 137

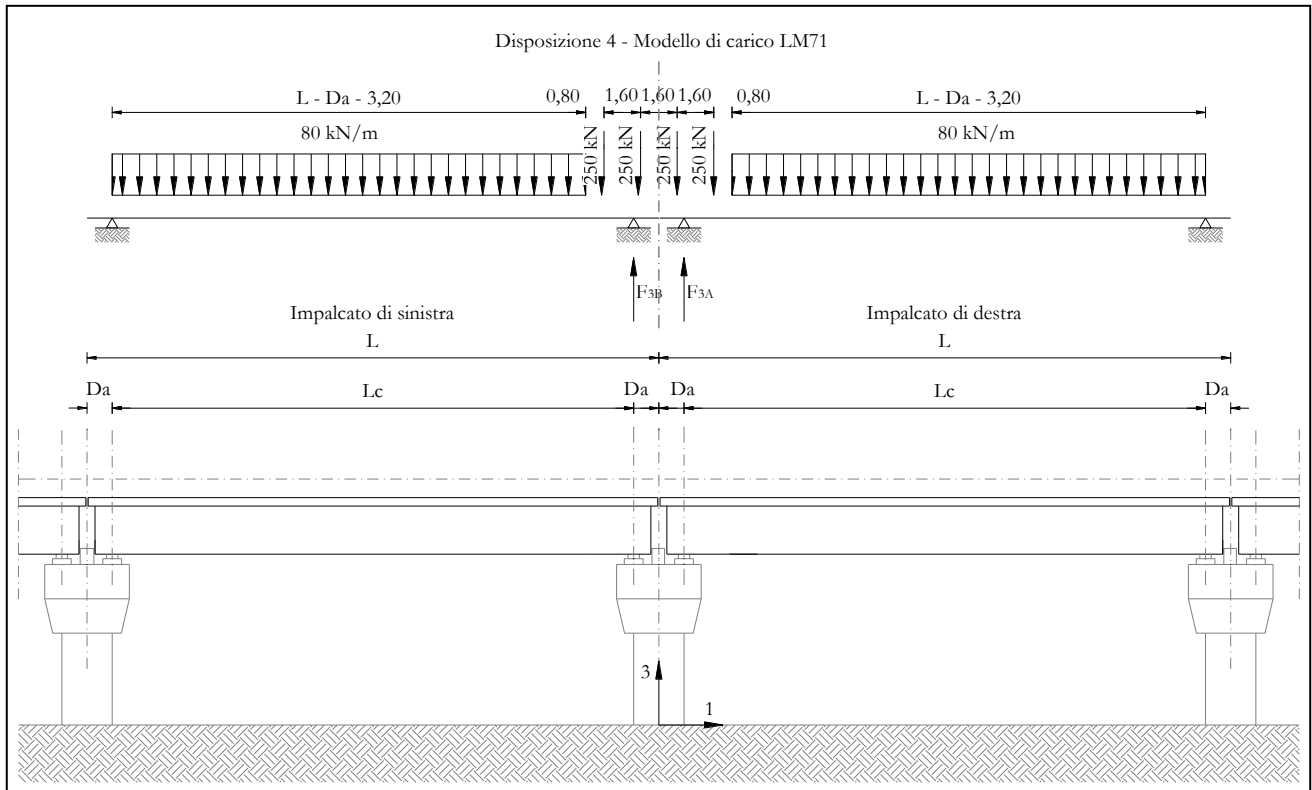


Figura 12 – Disposizione di carico 4

Pila 10: Relazione di calcolo

COMMESSA	LOTTO	CODIFICA	DOCUMENTO	REV.	FOGLIO
IF1N	01 E ZZ	CL	VI0605 008	B	30 di 137

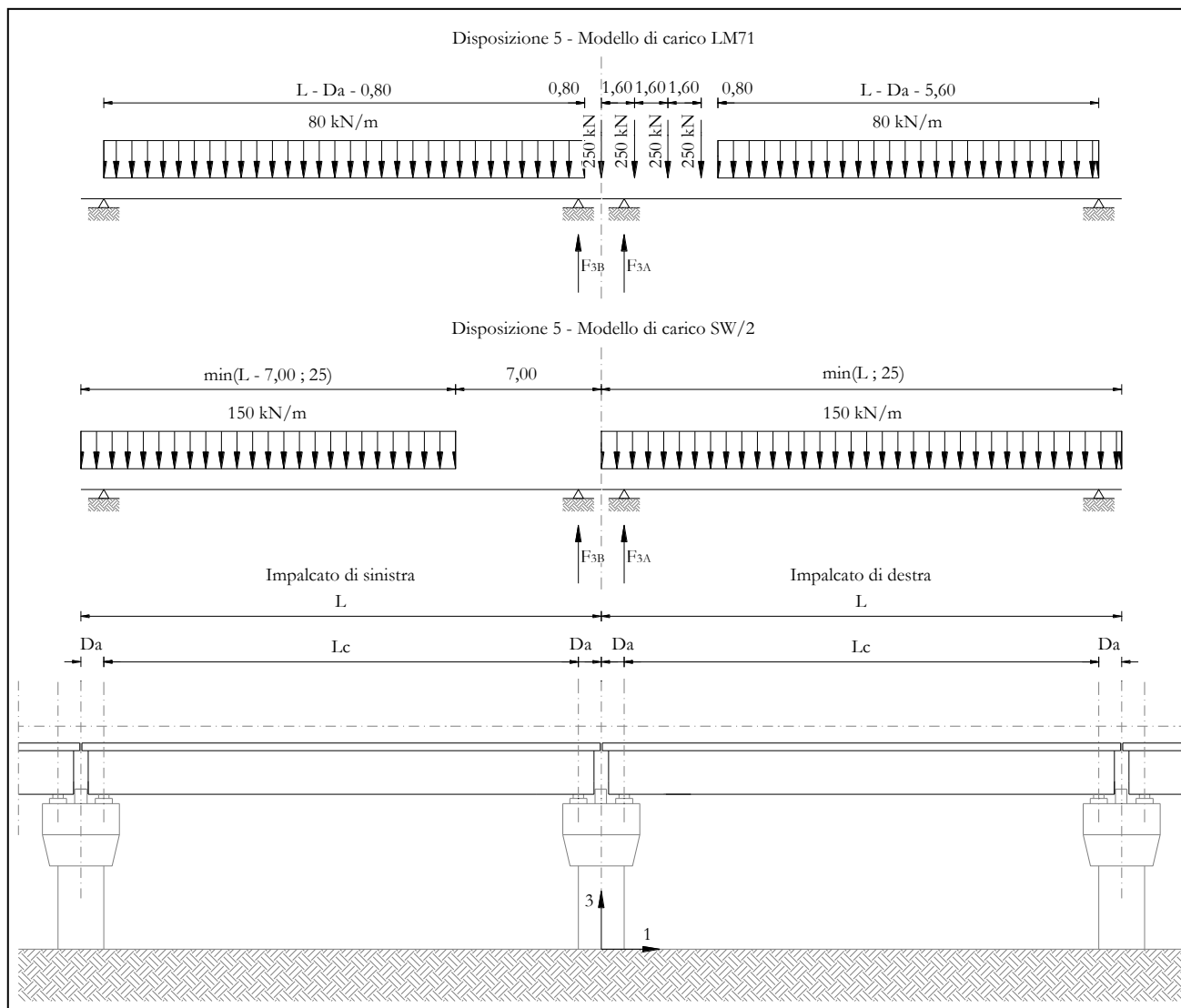


Figura 13 – Disposizione di carico 5

Pila 10: Relazione di calcolo

COMMESSA	LOTTO	CODIFICA	DOCUMENTO	REV.	FOGLIO
IF1N	01 E ZZ	CL	VI0605 008	B	31 di 137

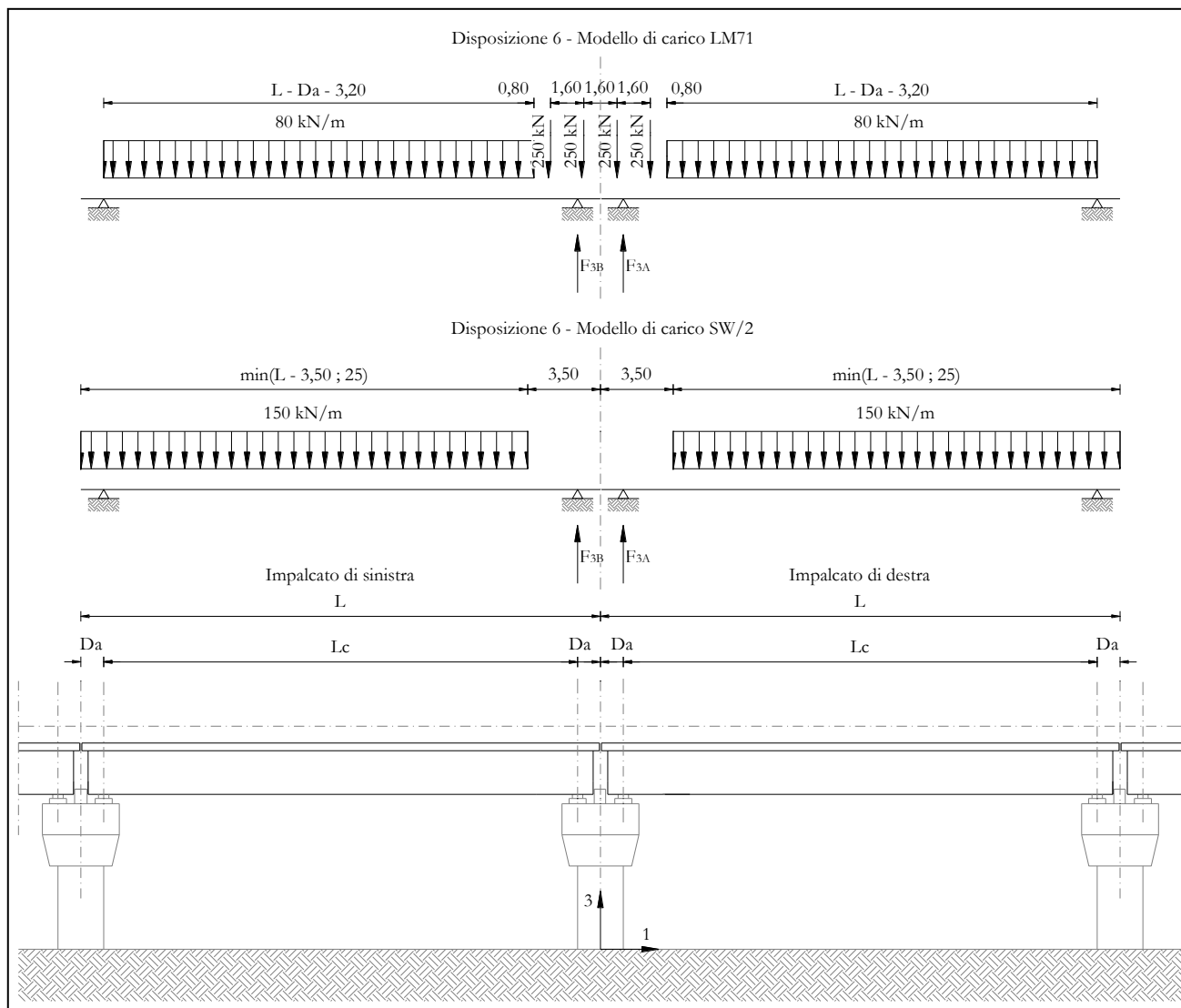
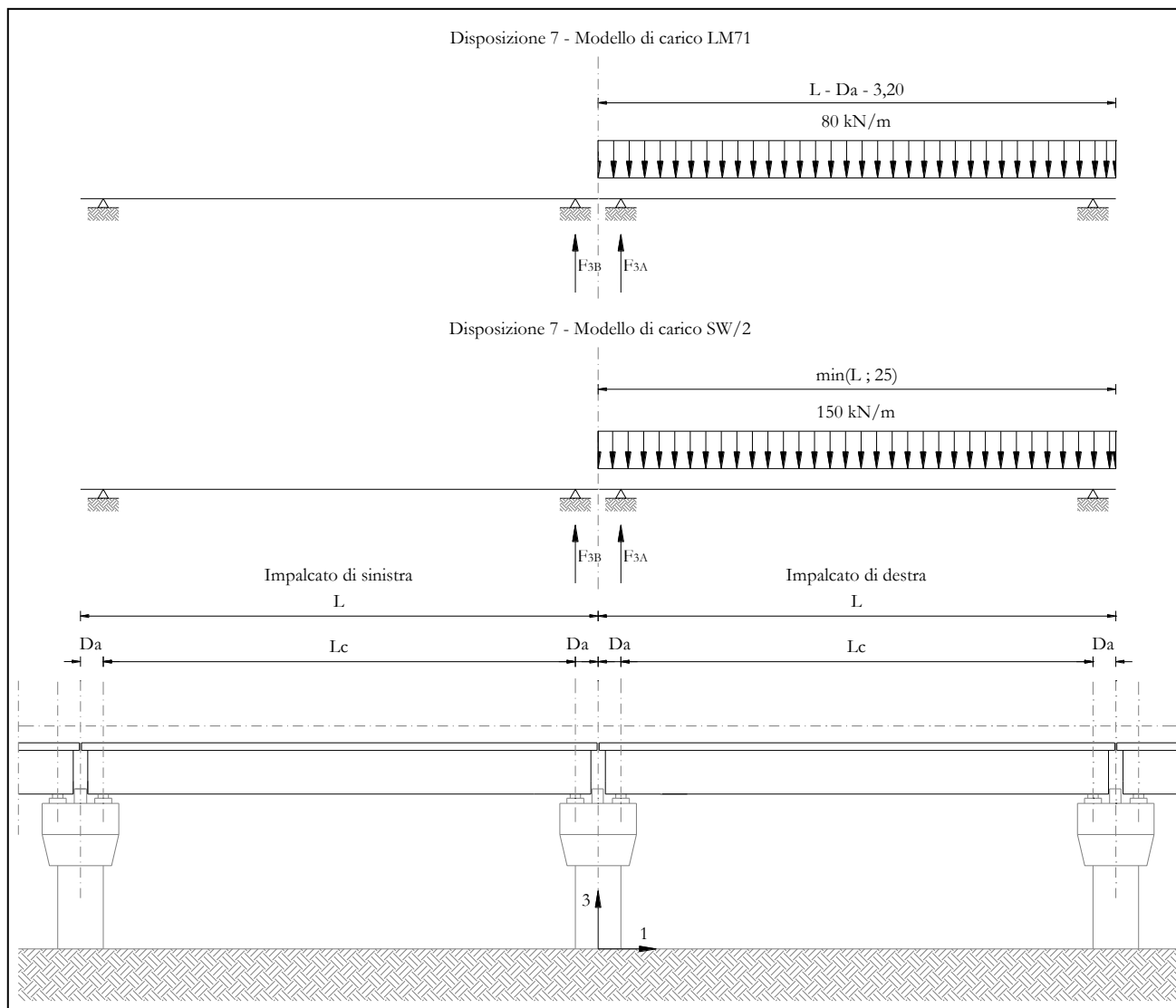


Figura 14 – Disposizione di carico 6

Pila 10: Relazione di calcolo

COMMESSA	LOTTO	CODIFICA	DOCUMENTO	REV.	FOGLIO
IF1N	01 E ZZ	CL	VI0605 008	B	32 di 137


Figura 15 – Disposizione di carico 7

I valori caratteristici dei carichi attribuiti ai modelli di carico devono essere moltiplicati per il coefficiente α che deve assumersi come da tabella seguente:

Modello di carico	Coefficiente α
LM71	1,10
SW/2	1,00

  	ITINERARIO NAPOLI – BARI RADDOPPIO TRATTA CANCELLO – BENEVENTO I° LOTTO FUNZIONALE CANCELLO - FRASSO TELESINO E VARIANTE ALLA LINEA ROMA-NAPOLI VIA CASSINO NEL COMUNE DI MADDALONI – PROGETTO ESECUTIVO												
Pila 10: Relazione di calcolo	<table border="1"> <thead> <tr> <th>COMMESSA</th> <th>LOTTO</th> <th>CODIFICA</th> <th>DOCUMENTO</th> <th>REV.</th> <th>FOGLIO</th> </tr> </thead> <tbody> <tr> <td>IF1N</td> <td>01 E ZZ</td> <td>CL</td> <td>VI0605 008</td> <td>B</td> <td>33 di 137</td> </tr> </tbody> </table>	COMMESSA	LOTTO	CODIFICA	DOCUMENTO	REV.	FOGLIO	IF1N	01 E ZZ	CL	VI0605 008	B	33 di 137
COMMESSA	LOTTO	CODIFICA	DOCUMENTO	REV.	FOGLIO								
IF1N	01 E ZZ	CL	VI0605 008	B	33 di 137								

I valori caratteristici dei carichi attribuiti ai modelli di carico devono essere moltiplicati per coefficienti che tengono conto dell'amplificazione dinamica. I coefficienti di amplificazione dinamica Φ si assumono pari a Φ_2 o Φ_3 in dipendenza dal livello di manutenzione della linea. In particolare si assumerà:

- per linee con elevato standard manutentivo:
 $\Phi_2 = 1,44/(\sqrt{L_\Phi - 0,2}) + 0,82$ con limitazione $1,00 \leq \Phi_2 \leq 1,67$
- per linee con normale standard manutentivo:
 $\Phi_3 = 2,16/(\sqrt{L_\Phi - 0,2}) + 0,73$ con limitazione $1,00 \leq \Phi_3 \leq 2,00$

Pile con snellezza $\lambda \leq 30$, spalle, fondazioni, muri di sostegno e spinte del terreno possono essere calcolate assumendo coefficienti dinamici unitari.

l pila	9.4	m4	inerzia pila
A pila	10.425	m2	area sez. pila
r_pila	0.95	m	raggio inerzia
H pila	7.4	m	altezza max
λ pila	15.58	< 30	snellezza

	<u>IMPALCATO "A"</u>	<u>IMPALCATO "B"</u>
Standard manutentivo =	<i>Normale</i>	<i>Normale</i>

Valori adottati:

Φ elevazione =	1.00	1.00
Φ fondazioni =	1.00	1.00

   	ITINERARIO NAPOLI – BARI RADDOPPIO TRATTA CANCELLO – BENEVENTO I° LOTTO FUNZIONALE CANCELLO - FRASSO TELESINO E VARIANTE ALLA LINEA ROMA-NAPOLI VIA CASSINO NEL COMUNE DI MADDALONI – PROGETTO ESECUTIVO					
	Pila 10: Relazione di calcolo	COMMESSA IF1N	LOTTO 01 E ZZ	CODIFICA CL	DOCUMENTO VI0605 008	REV. B

6.3.1 CARICHI VERTICALI DA TRAFFICO (Q1)

Di seguito si riportano i risultati delle reazioni vincolari per le diverse disposizioni di carico considerate e descritte precedentemente nel §6.3.

6.3.1.1 DISPOSIZIONE DI CARICO 1 (Q11)

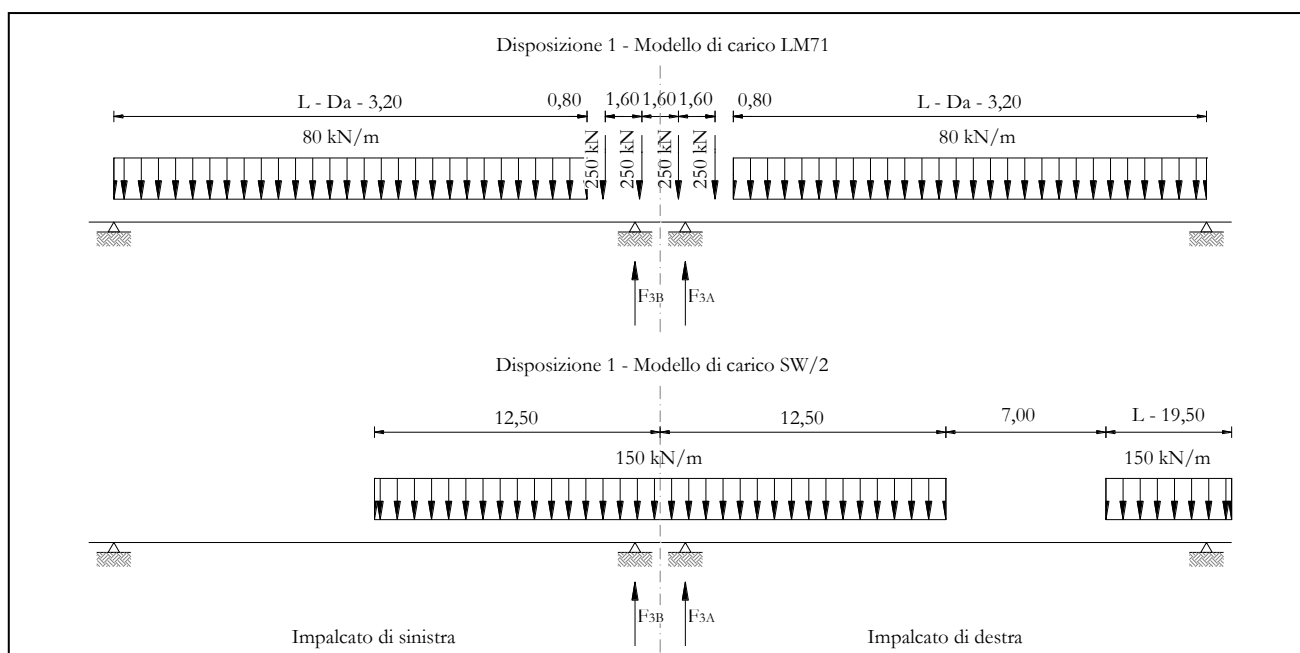


Figura 16 – Disposizione di carico 1

	IMPALCATO-SX		IMPALCATO-DX	
	Reazioni vincolari B		Reazioni vincolari A	

Modello di carico LM71

F3 =	1240,77	kN	1240,77	kN
α =	1,10		1,10	
eccentricità =	-1,92	m	-1,92	m

Modello di carico SW/2

F3 =	1451,48	kN	1511,18	kN
α =	1,00		1,00	
eccentricità =	2,00	m	2,00	m

  	ITINERARIO NAPOLI – BARI RADDOPPIO TRATTA CANCELLO – BENEVENTO I° LOTTO FUNZIONALE CANCELLO - FRASSO TELESINO E VARIANTE ALLA LINEA ROMA-NAPOLI VIA CASSINO NEL COMUNE DI MADDALONI – PROGETTO ESECUTIVO												
Pila 10: Relazione di calcolo	<table border="1"> <thead> <tr> <th>COMMESSA</th> <th>LOTTO</th> <th>CODIFICA</th> <th>DOCUMENTO</th> <th>REV.</th> <th>FOGLIO</th> </tr> </thead> <tbody> <tr> <td>IF1N</td> <td>01 E ZZ</td> <td>CL</td> <td>VI0605 008</td> <td>B</td> <td>35 di 137</td> </tr> </tbody> </table>	COMMESSA	LOTTO	CODIFICA	DOCUMENTO	REV.	FOGLIO	IF1N	01 E ZZ	CL	VI0605 008	B	35 di 137
COMMESSA	LOTTO	CODIFICA	DOCUMENTO	REV.	FOGLIO								
IF1N	01 E ZZ	CL	VI0605 008	B	35 di 137								

Coeff. di amplificazione dinamica

$\varphi =$ 1,00 1,00

Reazioni vincolari carichi variabili verticali

F3 = 2816,33 kN 2876,03 kN

Risultanti reazioni vincolari

F1 = 0 0
F2 = 0 0
F3 = 2816 kN 2876 kN
M1 = 282 kNm 402 kNm
M2 = 0 0
M3 = 0 0

  	ITINERARIO NAPOLI – BARI RADDOPPIO TRATTA CANCELLO – BENEVENTO I° LOTTO FUNZIONALE CANCELLO - FRASSO TELESINO E VARIANTE ALLA LINEA ROMA-NAPOLI VIA CASSINO NEL COMUNE DI MADDALONI – PROGETTO ESECUTIVO					
	Pila 10: Relazione di calcolo	COMMESSA IF1N	LOTTO 01 E ZZ	CODIFICA CL	DOCUMENTO VI0605 008	REV. B

6.3.1.2 DISPOSIZIONE DI CARICO 1 (Q12)

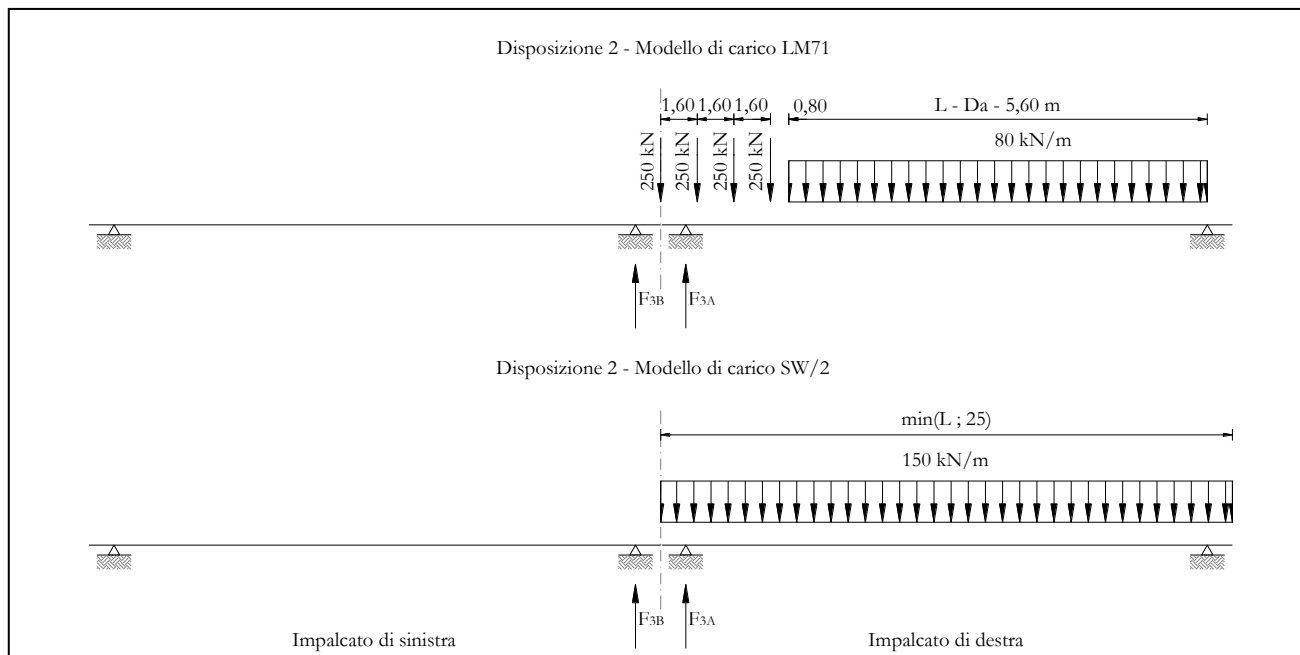


Figura 17 – Disposizione di carico 2

IMPALCATO-SX	IMPALCATO-DX
Reazioni vincolari B	Reazioni vincolari A

Modello di carico LM71

F3 =	0,00	kN	1530,51	kN
α =	1,10		1,10	
eccentricità =	-1,92	m	-1,92	m

Modello di carico SW/2

F3 =	0,00	kN	1875,00	kN
α =	1,00		1,00	
eccentricità =	2,00	m	2,00	m

Coeff. di amplificazione dinamica

  	ITINERARIO NAPOLI – BARI RADDOPPIO TRATTA CANCELLO – BENEVENTO I° LOTTO FUNZIONALE CANCELLO - FRASSO TELESINO E VARIANTE ALLA LINEA ROMA-NAPOLI VIA CASSINO NEL COMUNE DI MADDALONI – PROGETTO ESECUTIVO												
Pila 10: Relazione di calcolo	<table border="1"> <thead> <tr> <th>COMMESSA</th> <th>LOTTO</th> <th>CODIFICA</th> <th>DOCUMENTO</th> <th>REV.</th> <th>FOGLIO</th> </tr> </thead> <tbody> <tr> <td>IF1N</td> <td>01 E ZZ</td> <td>CL</td> <td>VI0605 008</td> <td>B</td> <td>37 di 137</td> </tr> </tbody> </table>	COMMESSA	LOTTO	CODIFICA	DOCUMENTO	REV.	FOGLIO	IF1N	01 E ZZ	CL	VI0605 008	B	37 di 137
COMMESSA	LOTTO	CODIFICA	DOCUMENTO	REV.	FOGLIO								
IF1N	01 E ZZ	CL	VI0605 008	B	37 di 137								

$$\varphi = 1,00 \qquad 1,00$$

Reazioni vincolari carichi variabili verticali

$$F3 = 0,00 \qquad \text{kN} \qquad 3558,56 \qquad \text{kN}$$

Risultanti reazioni vincolari

$$\begin{aligned}
 F1 &= 0 && 0 \\
 F2 &= 0 && 0 \\
 F3 &= 0 && \text{kN} && 3559 && \text{kN} \\
 M1 &= 0 && \text{kNm} && 518 && \text{kNm} \\
 M2 &= 0 && 0 \\
 M3 &= 0 && 0
 \end{aligned}$$

  	ITINERARIO NAPOLI – BARI RADDOPPIO TRATTA CANCELLO – BENEVENTO I° LOTTO FUNZIONALE CANCELLO - FRASSO TELESINO E VARIANTE ALLA LINEA ROMA-NAPOLI VIA CASSINO NEL COMUNE DI MADDALONI – PROGETTO ESECUTIVO					
	Pila 10: Relazione di calcolo	COMMESSA IF1N	LOTTO 01 E ZZ	CODIFICA CL	DOCUMENTO VI0605 008	REV. B

6.3.1.3 DISPOSIZIONE DI CARICO 1 (Q13)

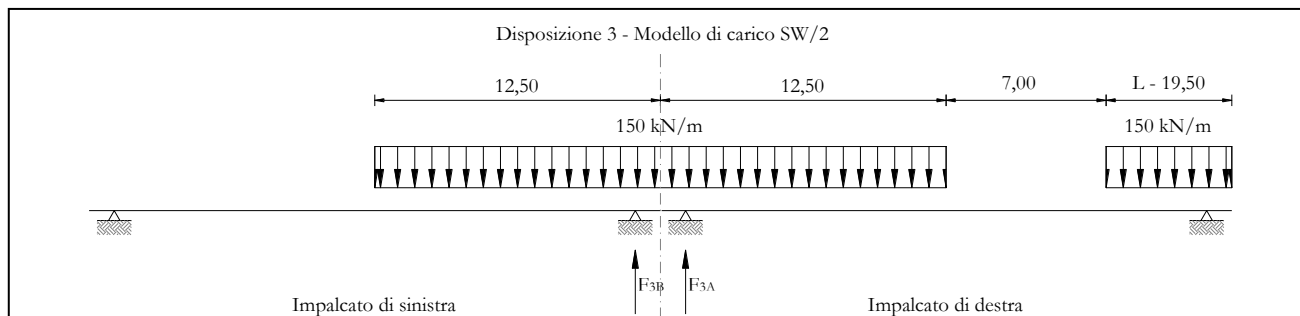


Figura 18 – Disposizione di carico 3

IMPALCATO-SX

Reazioni vincolari B

IMPALCATO-DX

Reazioni vincolari A

Modello di carico LM71

F3 =	0,00	kN	0,00	kN
α =	1,10		1,10	
eccentricità =	-1,92	m	-1,92	m

Modello di carico SW/2

F3 =	1451,48	kN	1511,18	kN
α =	1,00		1,00	
eccentricità =	2,00	m	2,00	m

Coeff. di amplificazione dinamica

φ =	1,00		1,00	
-------------	------	--	------	--

Reazioni vincolari carichi variabili verticali

F3 =	1451,48	kN	1511,18	kN
------	---------	----	---------	----

Risultanti reazioni vincolari

F1 =	0		0	
------	---	--	---	--

Ghella



ITINERA

ITINERARIO NAPOLI – BARI

RADDOPPIO TRATTA CANCELLO – BENEVENTO

**I° LOTTO FUNZIONALE CANCELLO - FRASSO TELESINO E
VARIANTE ALLA LINEA ROMA-NAPOLI VIA CASSINO NEL
COMUNE DI MADDALONI – PROGETTO ESECUTIVO**

Pila 10: Relazione di calcolo

COMMESSA	LOTTO	CODIFICA	DOCUMENTO	REV.	FOGLIO
IF1N	01 E ZZ	CL	VI0605 008	B	39 di 137

F2 =	0		0	
F3 =	1451	kN	1511	kN
M1 =	2903	kNm	3022	kNm
M2 =	0		0	
M3 =	0		0	

  	ITINERARIO NAPOLI – BARI RADDOPPIO TRATTA CANCELLO – BENEVENTO I° LOTTO FUNZIONALE CANCELLO - FRASSO TELESINO E VARIANTE ALLA LINEA ROMA-NAPOLI VIA CASSINO NEL COMUNE DI MADDALONI – PROGETTO ESECUTIVO					
	Pila 10: Relazione di calcolo	COMMESSA IF1N	LOTTO 01 E ZZ	CODIFICA CL	DOCUMENTO VI0605 008	REV. B

6.3.1.4 DISPOSIZIONE DI CARICO 1 (Q14)

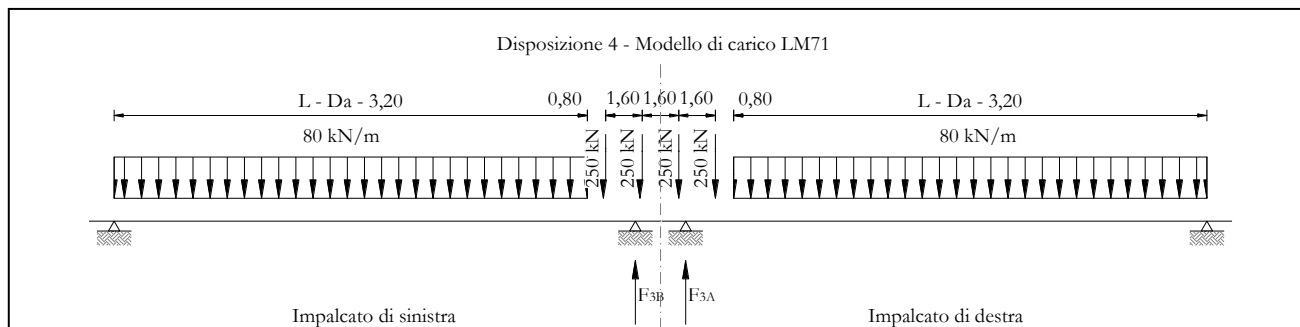


Figura 19 – Disposizione di carico 4

IMPALCATO-SX

Reazioni vincolari B

IMPALCATO-DX

Reazioni vincolari A

Modello di carico LM71

F3 =	1240,77	kN	1240,77	kN
α =	1,10		1,10	
eccentricità =	2,08	m	2,08	m

Modello di carico SW/2

F3 =	0,00	kN	0,00	kN
α =	1,00		1,00	
eccentricità =	-2,00	m	-2,00	m

Coeff. di amplificazione dinamica

φ =	1,00		1,00	
-------------	------	--	------	--

Reazioni vincolari carichi variabili verticali

F3 =	1364,85	kN	1364,85	kN
------	---------	----	---------	----

Risultanti reazioni vincolari

Ghella



ITINERA

ITINERARIO NAPOLI – BARI

RADDOPPIO TRATTA CANCELLO – BENEVENTO

**I° LOTTO FUNZIONALE CANCELLO - FRASSO TELESINO E
VARIANTE ALLA LINEA ROMA-NAPOLI VIA CASSINO NEL
COMUNE DI MADDALONI – PROGETTO ESECUTIVO**

Pila 10: Relazione di calcolo

COMMESSA	LOTTO	CODIFICA	DOCUMENTO	REV.	FOGLIO
IF1N	01 E ZZ	CL	VI0605 008	B	41 di 137

F1 =	0		0	
F2 =	0		0	
F3 =	1365	kN	1365	kN
M1 =	2839	kNm	2839	kNm
M2 =	0		0	
M3 =	0		0	

  	ITINERARIO NAPOLI – BARI RADDOPPIO TRATTA CANCELLO – BENEVENTO I° LOTTO FUNZIONALE CANCELLO - FRASSO TELESINO E VARIANTE ALLA LINEA ROMA-NAPOLI VIA CASSINO NEL COMUNE DI MADDALONI – PROGETTO ESECUTIVO					
	Pila 10: Relazione di calcolo	COMMESSA IF1N	LOTTO 01 E ZZ	CODIFICA CL	DOCUMENTO VI0605 008	REV. B

6.3.1.5 DISPOSIZIONE DI CARICO 1 (Q15)

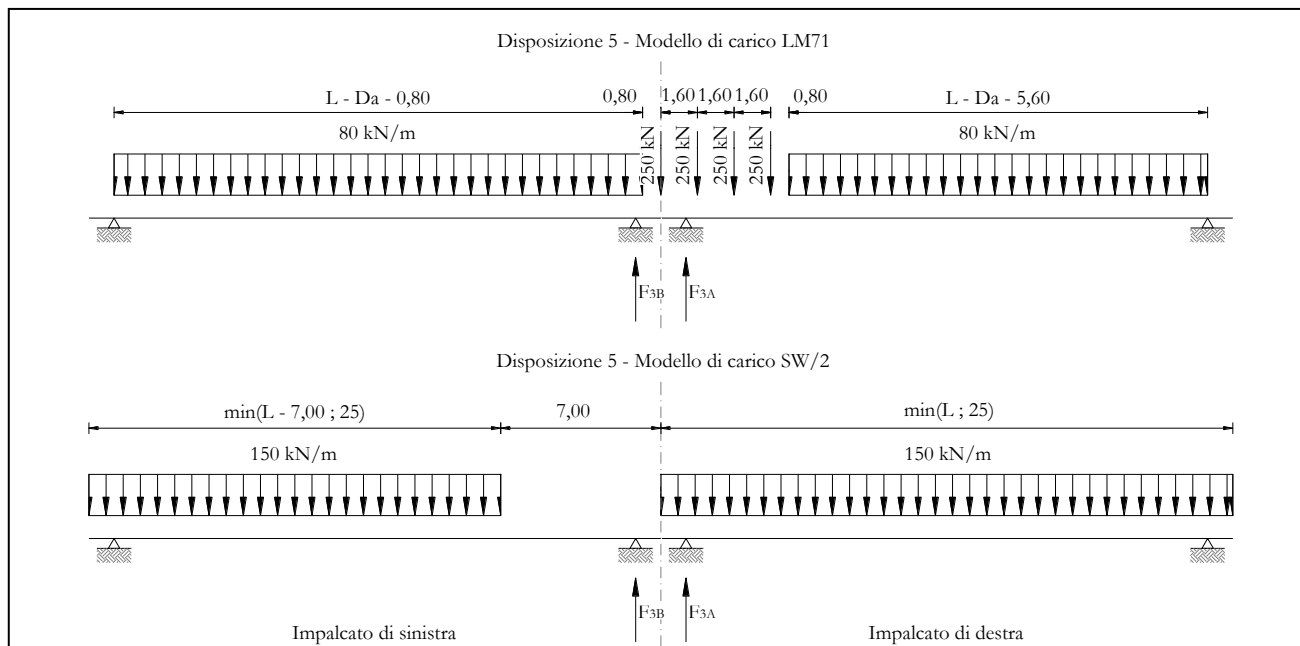


Figura 20 – Disposizione di carico 5

	IMPALCATO-SX		IMPALCATO-DX	
	Reazioni vincolari B		Reazioni vincolari A	

Modello di carico LM71

F3 =	936,16	kN	1530,51	kN
α =	1,10		1,10	
eccentricità =	2,08	m	-1,92	m

Modello di carico SW/2

F3 =	935,53	kN	1875,00	kN
α =	1,00		1,00	
eccentricità =	-2,00	m	2,00	m

Coeff. di amplificazione dinamica

ϕ =	1,00		1,00	
----------	------	--	------	--

  	ITINERARIO NAPOLI – BARI RADDOPPIO TRATTA CANCELLO – BENEVENTO I° LOTTO FUNZIONALE CANCELLO - FRASSO TELESINO E VARIANTE ALLA LINEA ROMA-NAPOLI VIA CASSINO NEL COMUNE DI MADDALONI – PROGETTO ESECUTIVO												
Pila 10: Relazione di calcolo	<table border="1"> <thead> <tr> <th>COMMESSA</th> <th>LOTTO</th> <th>CODIFICA</th> <th>DOCUMENTO</th> <th>REV.</th> <th>FOGLIO</th> </tr> </thead> <tbody> <tr> <td>IF1N</td> <td>01 E ZZ</td> <td>CL</td> <td>VI0605 008</td> <td>B</td> <td>43 di 137</td> </tr> </tbody> </table>	COMMESSA	LOTTO	CODIFICA	DOCUMENTO	REV.	FOGLIO	IF1N	01 E ZZ	CL	VI0605 008	B	43 di 137
COMMESSA	LOTTO	CODIFICA	DOCUMENTO	REV.	FOGLIO								
IF1N	01 E ZZ	CL	VI0605 008	B	43 di 137								

Reazioni vincolari carichi variabili verticali

F3 = 1965,30 kN 3558,56 kN

Risultanti reazioni vincolari

F1 = 0 0
F2 = 0 0
F3 = 1965 kN 3559 kN
M1 = 271 kNm 518 kNm
M2 = 0 0
M3 = 0 0

  	ITINERARIO NAPOLI – BARI RADDOPPIO TRATTA CANCELLO – BENEVENTO I° LOTTO FUNZIONALE CANCELLO - FRASSO TELESINO E VARIANTE ALLA LINEA ROMA-NAPOLI VIA CASSINO NEL COMUNE DI MADDALONI – PROGETTO ESECUTIVO					
	Pila 10: Relazione di calcolo	COMMESSA IF1N	LOTTO 01 E ZZ	CODIFICA CL	DOCUMENTO VI0605 008	REV. B

6.3.1.6 DISPOSIZIONE DI CARICO 1 (Q16)

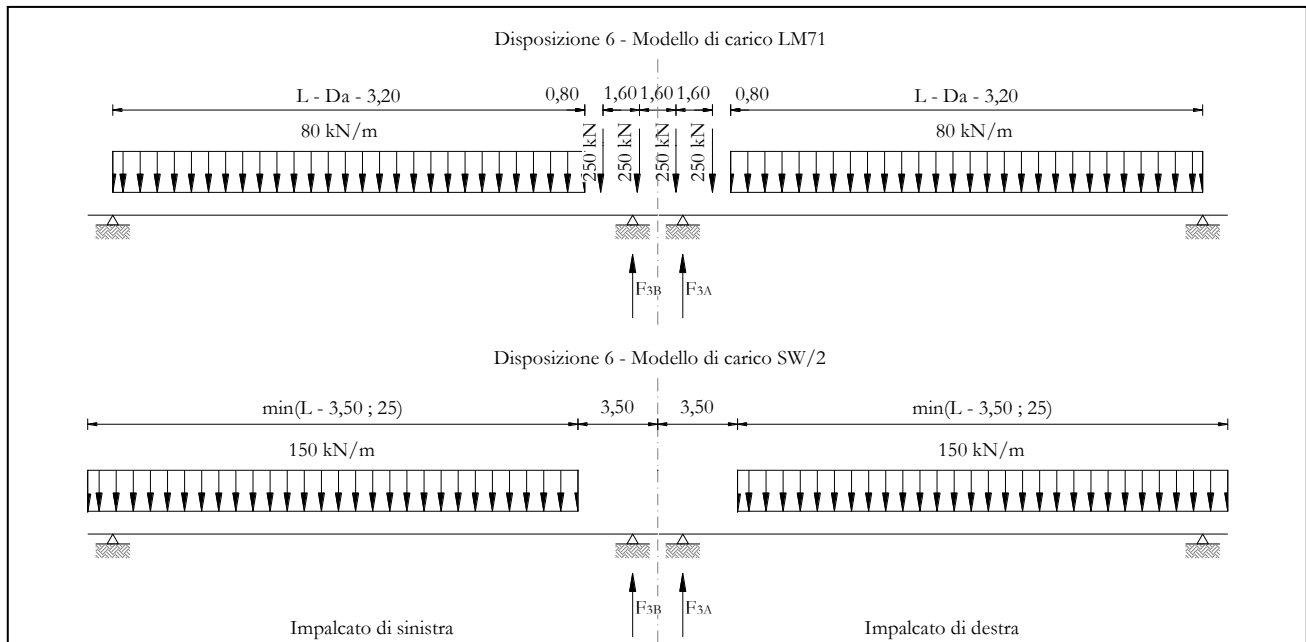


Figura 21 – Disposizione di carico 6

	IMPALCATO-SX		IMPALCATO-DX	
	Reazioni vincolari B		Reazioni vincolari A	

Modello di carico LM71

F3 =	1240,77	kN	1240,77	kN
α =	1,10		1,10	
eccentricità =	-1,92	m	-1,92	m

Modello di carico SW/2

F3 =	1364,97	kN	1364,97	kN
α =	1,00		1,00	
eccentricità =	2,00	m	2,00	m

Coeff. di amplificazione dinamica

φ =	1,00		1,00	
-------------	------	--	------	--

  	ITINERARIO NAPOLI – BARI RADDOPPIO TRATTA CANCELLO – BENEVENTO I° LOTTO FUNZIONALE CANCELLO - FRASSO TELESINO E VARIANTE ALLA LINEA ROMA-NAPOLI VIA CASSINO NEL COMUNE DI MADDALONI – PROGETTO ESECUTIVO												
Pila 10: Relazione di calcolo	<table border="1"> <thead> <tr> <th>COMMESSA</th> <th>LOTTO</th> <th>CODIFICA</th> <th>DOCUMENTO</th> <th>REV.</th> <th>FOGLIO</th> </tr> </thead> <tbody> <tr> <td>IF1N</td> <td>01 E ZZ</td> <td>CL</td> <td>VI0605 008</td> <td>B</td> <td>45 di 137</td> </tr> </tbody> </table>	COMMESSA	LOTTO	CODIFICA	DOCUMENTO	REV.	FOGLIO	IF1N	01 E ZZ	CL	VI0605 008	B	45 di 137
COMMESSA	LOTTO	CODIFICA	DOCUMENTO	REV.	FOGLIO								
IF1N	01 E ZZ	CL	VI0605 008	B	45 di 137								

Reazioni vincolari carichi variabili verticali

F3 = 2729,82 kN 2729,82 kN

Risultanti reazioni vincolari

F1 = 0 0
F2 = 0 0
F3 = 2730 kN 2730 kN
M1 = 109 kNm 109 kNm
M2 = 0 0
M3 = 0 0

  	ITINERARIO NAPOLI – BARI RADDOPPIO TRATTA CANCELLO – BENEVENTO I° LOTTO FUNZIONALE CANCELLO - FRASSO TELESINO E VARIANTE ALLA LINEA ROMA-NAPOLI VIA CASSINO NEL COMUNE DI MADDALONI – PROGETTO ESECUTIVO					
	Pila 10: Relazione di calcolo	COMMESSA IF1N	LOTTO 01 E ZZ	CODIFICA CL	DOCUMENTO VI0605 008	REV. B

6.3.1.7 DISPOSIZIONE DI CARICO 1 (Q17)

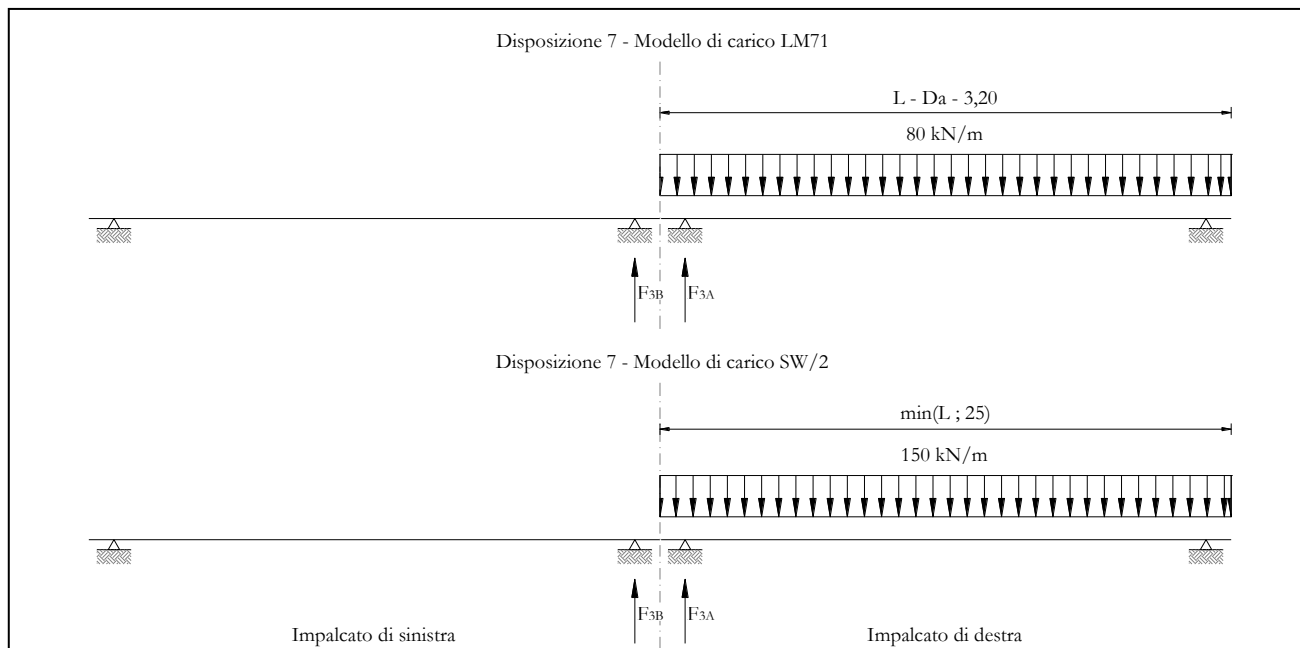


Figura 22 – Disposizione di carico 7

	IMPALCATO-SX		IMPALCATO-DX	
	Reazioni vincolari B		Reazioni vincolari A	

Modello di carico LM71

F3 =	0,00	kN	1002,12	kN
α =	1,10		1,10	
eccentricità =	-1,92	m	-1,92	m

Modello di carico SW/2

F3 =	0,00	kN	1875,00	kN
α =	1,00		1,00	
eccentricità =	2,00	m	2,00	m

Coeff. di amplificazione dinamica

φ =	1,00		1,00	
-------------	------	--	------	--

  	ITINERARIO NAPOLI – BARI RADDOPPIO TRATTA CANCELLO – BENEVENTO I° LOTTO FUNZIONALE CANCELLO - FRASSO TELESINO E VARIANTE ALLA LINEA ROMA-NAPOLI VIA CASSINO NEL COMUNE DI MADDALONI – PROGETTO ESECUTIVO												
Pila 10: Relazione di calcolo	<table border="1"> <thead> <tr> <th>COMMESSA</th> <th>LOTTO</th> <th>CODIFICA</th> <th>DOCUMENTO</th> <th>REV.</th> <th>FOGLIO</th> </tr> </thead> <tbody> <tr> <td>IF1N</td> <td>01 E ZZ</td> <td>CL</td> <td>VI0605 008</td> <td>B</td> <td>47 di 137</td> </tr> </tbody> </table>	COMMESSA	LOTTO	CODIFICA	DOCUMENTO	REV.	FOGLIO	IF1N	01 E ZZ	CL	VI0605 008	B	47 di 137
COMMESSA	LOTTO	CODIFICA	DOCUMENTO	REV.	FOGLIO								
IF1N	01 E ZZ	CL	VI0605 008	B	47 di 137								

Reazioni vincolari carichi variabili verticali

F3 = 0,00 kN 2977,34 kN

Risultanti reazioni vincolari

F1 =	0		0	
F2 =	0		0	
F3 =	0	kN	2977	kN
M1 =	0	kNm	1634	kNm
M2 =	0		0	
M3 =	0		0	

  	ITINERARIO NAPOLI – BARI RADDOPPIO TRATTA CANCELLO – BENEVENTO I° LOTTO FUNZIONALE CANCELLO - FRASSO TELESINO E VARIANTE ALLA LINEA ROMA-NAPOLI VIA CASSINO NEL COMUNE DI MADDALONI – PROGETTO ESECUTIVO												
Pila 10: Relazione di calcolo	<table border="1"> <thead> <tr> <th>COMMESSA</th> <th>LOTTO</th> <th>CODIFICA</th> <th>DOCUMENTO</th> <th>REV.</th> <th>FOGLIO</th> </tr> </thead> <tbody> <tr> <td>IF1N</td> <td>01 E ZZ</td> <td>CL</td> <td>VI0605 008</td> <td>B</td> <td>48 di 137</td> </tr> </tbody> </table>	COMMESSA	LOTTO	CODIFICA	DOCUMENTO	REV.	FOGLIO	IF1N	01 E ZZ	CL	VI0605 008	B	48 di 137
COMMESSA	LOTTO	CODIFICA	DOCUMENTO	REV.	FOGLIO								
IF1N	01 E ZZ	CL	VI0605 008	B	48 di 137								

6.3.2 AZIONI DI AVVIAMENTO E FRENATURA (Q2)

La azioni di frenatura e avviamento sono costituite da forze uniformemente distribuite su una lunghezza di binario L determinata per ottenere l'effetto più gravoso sull'elemento strutturale considerato. I valori da considerare sono i seguenti:

- avviamento: $Q_{la,k} = 33 \text{ kN/m} \cdot L \leq 1000 \text{ kN}$ per i modelli di carico LM71,SW/2
- frenatura: $Q_{lb,k} = 20 \text{ kN/m} \cdot L \leq 6000 \text{ kN}$ per i modelli di carico LM71
 $Q_{lb,k} = 35 \text{ kN/m}$ per i modelli di carico SW/2

I valori caratteristici dell'azione di frenatura e di avviamento devono essere moltiplicati per α e non devono essere moltiplicati per Φ .

Nel caso di ponti a doppio binario si devono considerare due treni in transito in versi opposti, uno in fase di avviamento e l'altro in fase di frenatura.

Gli effetti di interazione relativamente alle azioni di frenatura e avviamento si tengono conto applicando ai valori della risultante un coefficiente α_h che tiene conto del rapporto di rigidezza tra le pile del viadotto. Per la determinazione dei coefficienti si rimanda al §6.6.3 della presente relazione.

Nei sottoparagrafi che seguono si riportano i risultati delle reazioni vincolari per le diverse disposizioni di carico considerate e descritte precedentemente nel §6.3.

Pila 10: Relazione di calcolo

COMMESSA	LOTTO	CODIFICA	DOCUMENTO	REV.	FOGLIO
IF1N	01 E ZZ	CL	VI0605 008	B	49 di 137

6.3.2.1 DISPOSIZIONE DI CARICO 1 (Q21)

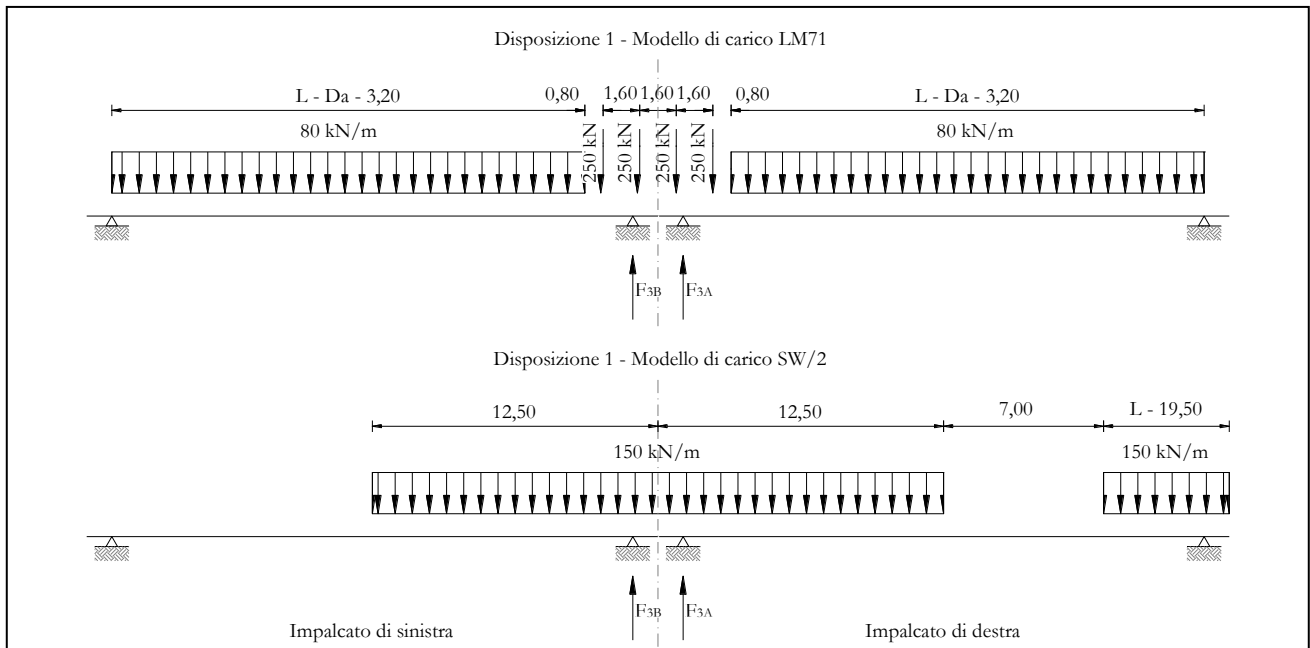


Figura 23 – Disposizione di carico 1

IMPALCATO-SX

Reazioni vincolari B

IMPALCATO-DX

Reazioni vincolari A

Avviamento LM71

$f_{avv} =$	33,00	kN/m	33,00	kN/m
$\alpha =$	1,10		1,10	
L caricata =	25,00	m	25,00	m
$F_{avv} (\text{max } 1000 \text{ kN}) =$	825,00	kN	825,00	kN
F1 =	907,50	kN	907,50	kN

Avviamento SW/2

$f_{avv} =$	33,00	kN/m	33,00	kN/m
$\alpha =$	1,00		1,00	
L caricata =	12,50	m	18,00	m
$F_{avv} (\text{max } 1000 \text{ kN}) =$	412,50	kN	594,00	kN
F1 =	412,50	kN	594,00	kN

  	ITINERARIO NAPOLI – BARI RADDOPPIO TRATTA CANCELLO – BENEVENTO I° LOTTO FUNZIONALE CANCELLO - FRASSO TELESINO E VARIANTE ALLA LINEA ROMA-NAPOLI VIA CASSINO NEL COMUNE DI MADDALONI – PROGETTO ESECUTIVO												
Pila 10: Relazione di calcolo	<table border="1"> <thead> <tr> <th>COMMESSA</th> <th>LOTTO</th> <th>CODIFICA</th> <th>DOCUMENTO</th> <th>REV.</th> <th>FOGLIO</th> </tr> </thead> <tbody> <tr> <td>IF1N</td> <td>01 E ZZ</td> <td>CL</td> <td>VI0605 008</td> <td>B</td> <td>50 di 137</td> </tr> </tbody> </table>	COMMESSA	LOTTO	CODIFICA	DOCUMENTO	REV.	FOGLIO	IF1N	01 E ZZ	CL	VI0605 008	B	50 di 137
COMMESSA	LOTTO	CODIFICA	DOCUMENTO	REV.	FOGLIO								
IF1N	01 E ZZ	CL	VI0605 008	B	50 di 137								

Frenatura LM71

f fren =	20,00	kN/m	20,00	kN/m
α =	1,10		1,10	
L caricata =	25,00	m	25,00	m
F fren (max 6000 kN) =	500,00	kN	500,00	kN
F1 =	550,00	kN	550,00	kN

Frenatura SW/2

f fren =	35,00	kN/m	35,00	kN/m
α =	1,00		1,00	
L caricata =	12,50	m	18,00	m
F fren =	437,50	kN	630,00	kN
F1 =	437,50	kN	630,00	kN

ahp interazione semplificata

ahp frenatura per LM71 =	1,60		1,60	
ahp frenatura per SW/2 =	1,30		1,30	
ahp avviam. per LM71 SW/2 =	1,12		1,12	

Forza totale di avviamento e frenatura

F1 =	1585,15	kN	1835,40	kN
h rispetto a intradosso imp. =	3,28	m	3,28	m
tipologia vincolo =	UL		F	

Risultanti reazioni vincolari

F1 =	0	kN	-1835	kN
F2 =	0		0	
F3 =	228	kN	-264	kN
M1 =	0		0	
M2 =	0		0	
M3 =	0		0	

  	ITINERARIO NAPOLI – BARI RADDOPPIO TRATTA CANCELLO – BENEVENTO I° LOTTO FUNZIONALE CANCELLO - FRASSO TELESINO E VARIANTE ALLA LINEA ROMA-NAPOLI VIA CASSINO NEL COMUNE DI MADDALONI – PROGETTO ESECUTIVO					
	Pila 10: Relazione di calcolo	COMMESSA IF1N	LOTTO 01 E ZZ	CODIFICA CL	DOCUMENTO VI0605 008	REV. B

6.3.2.2 DISPOSIZIONE DI CARICO 2 (Q22)

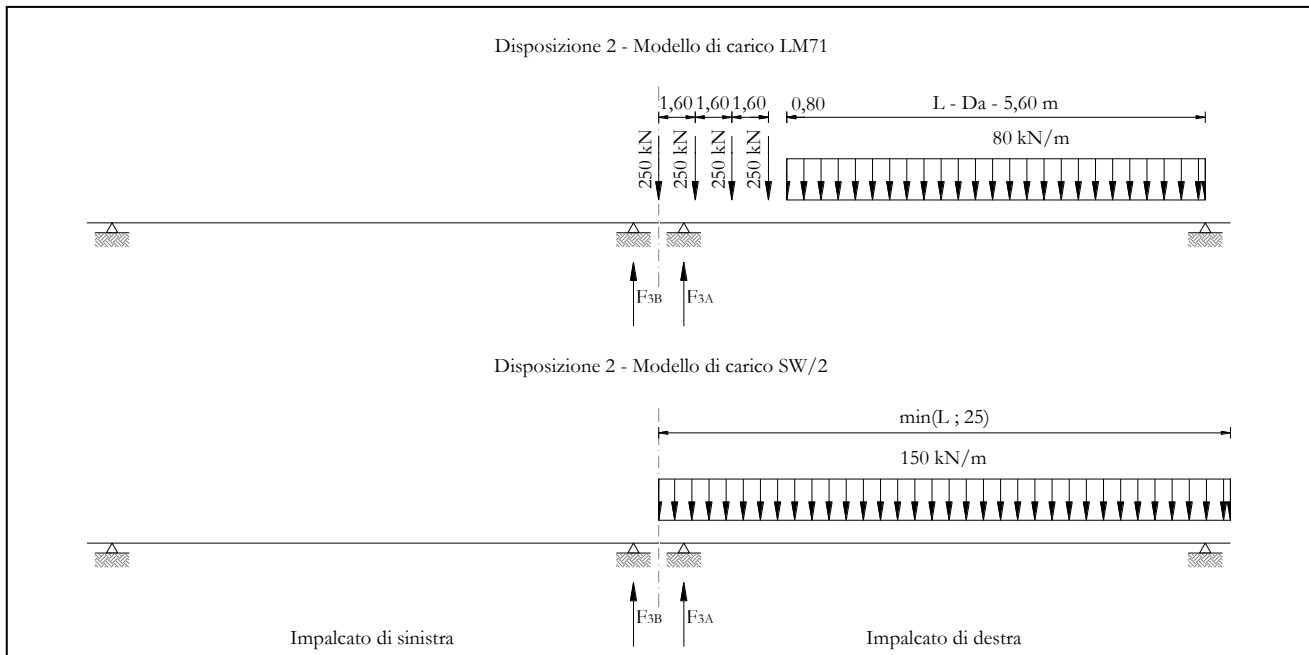


Figura 24 – Disposizione di carico 2

	IMPALCATO-SX		IMPALCATO-DX	
	Reazioni vincolari B		Reazioni vincolari A	

Avviamento LM71

f avv =	33,00	kN/m	33,00	kN/m
α =	1,10		1,10	
L caricata =	0,00	m	25,00	m
F avv (max 1000 kN) =	0,00	kN	825,00	kN
F1 =	0,00	kN	907,50	kN

Avviamento SW/2

f avv =	33,00	kN/m	33,00	kN/m
α =	1,00		1,00	
L caricata =	0,00	m	25,00	m
F avv (max 1000 kN) =	0,00	kN	825,00	kN
F1 =	0,00	kN	825,00	kN

  	ITINERARIO NAPOLI – BARI RADDOPPIO TRATTA CANCELLO – BENEVENTO I° LOTTO FUNZIONALE CANCELLO - FRASSO TELESINO E VARIANTE ALLA LINEA ROMA-NAPOLI VIA CASSINO NEL COMUNE DI MADDALONI – PROGETTO ESECUTIVO												
Pila 10: Relazione di calcolo	<table border="1"> <thead> <tr> <th>COMMESSA</th> <th>LOTTO</th> <th>CODIFICA</th> <th>DOCUMENTO</th> <th>REV.</th> <th>FOGLIO</th> </tr> </thead> <tbody> <tr> <td>IF1N</td> <td>01 E ZZ</td> <td>CL</td> <td>VI0605 008</td> <td>B</td> <td>52 di 137</td> </tr> </tbody> </table>	COMMESSA	LOTTO	CODIFICA	DOCUMENTO	REV.	FOGLIO	IF1N	01 E ZZ	CL	VI0605 008	B	52 di 137
COMMESSA	LOTTO	CODIFICA	DOCUMENTO	REV.	FOGLIO								
IF1N	01 E ZZ	CL	VI0605 008	B	52 di 137								

Frenatura LM71

f fren =	20,00	kN/m	20,00	kN/m
α =	1,10		1,10	
L caricata =	0,00	m	25,00	m
F fren (max 6000 kN) =	0,00	kN	500,00	kN
F1 =	0,00	kN	550,00	kN

Frenatura SW/2

f fren =	35,00	kN/m	35,00	kN/m
α =	1,00		1,00	
L caricata =	0,00	m	25,00	m
F fren =	0,00	kN	875,00	kN
F1 =	0,00	kN	875,00	kN

ahp interazione semplificata

ahp frenatura per LM71 =	1,60		1,60	
ahp frenatura per SW/2 =	1,30		1,30	
ahp avviam. per LM71 SW/2 =	1,12		1,12	

Forza totale di avviamento e frenatura

F1 =	0,00	kN	2153,90	kN
h rispetto a intradosso imp. =	3,28	m	3,28	m
tipologia vincolo =	UL		F	

Risultanti reazioni vincolari

F1 =	0	kN	-2154	kN
F2 =	0		0	
F3 =	0	kN	-310	kN
M1 =	0		0	
M2 =	0		0	
M3 =	0		0	

  	ITINERARIO NAPOLI – BARI RADDOPPIO TRATTA CANCELLO – BENEVENTO I° LOTTO FUNZIONALE CANCELLO - FRASSO TELESINO E VARIANTE ALLA LINEA ROMA-NAPOLI VIA CASSINO NEL COMUNE DI MADDALONI – PROGETTO ESECUTIVO												
Pila 10: Relazione di calcolo	<table border="1"> <tr> <td>COMMESSA</td> <td>LOTTO</td> <td>CODIFICA</td> <td>DOCUMENTO</td> <td>REV.</td> <td>FOGLIO</td> </tr> <tr> <td>IF1N</td> <td>01 E ZZ</td> <td>CL</td> <td>VI0605 008</td> <td>B</td> <td>53 di 137</td> </tr> </table>	COMMESSA	LOTTO	CODIFICA	DOCUMENTO	REV.	FOGLIO	IF1N	01 E ZZ	CL	VI0605 008	B	53 di 137
COMMESSA	LOTTO	CODIFICA	DOCUMENTO	REV.	FOGLIO								
IF1N	01 E ZZ	CL	VI0605 008	B	53 di 137								

6.3.2.3 DISPOSIZIONE DI CARICO 3 (Q23)

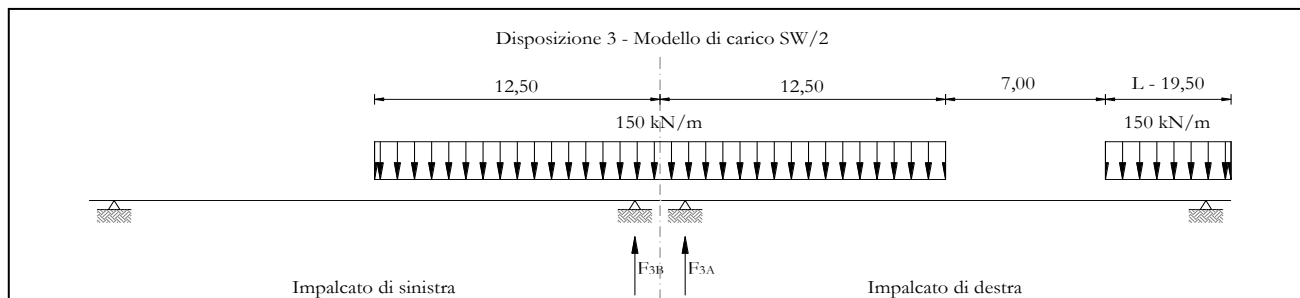


Figura 25 – Disposizione di carico 3

	IMPALCATO-SX		IMPALCATO-DX	
	Reazioni vincolari B		Reazioni vincolari A	
Avviamento LM71				
f avv =	33,00	kN/m	33,00	kN/m
α =	1,10		1,10	
L caricata =	0,00	m	0,00	m
F avv (max 1000 kN) =	0,00	kN	0,00	kN
F1 =	0,00	kN	0,00	kN
Avviamento SW/2				
f avv =	33,00	kN/m	33,00	kN/m
α =	1,00		1,00	
L caricata =	12,50	m	18,00	m
F avv (max 1000 kN) =	412,50	kN	594,00	kN
F1 =	412,50	kN	594,00	kN
Frenatura LM71				
f fren =	20,00	kN/m	20,00	kN/m
α =	1,10		1,10	
L caricata =	0,00	m	0,00	m

  	ITINERARIO NAPOLI – BARI RADDOPPIO TRATTA CANCELLO – BENEVENTO I° LOTTO FUNZIONALE CANCELLO - FRASSO TELESINO E VARIANTE ALLA LINEA ROMA-NAPOLI VIA CASSINO NEL COMUNE DI MADDALONI – PROGETTO ESECUTIVO												
Pila 10: Relazione di calcolo	<table border="1"> <thead> <tr> <th>COMMESSA</th> <th>LOTTO</th> <th>CODIFICA</th> <th>DOCUMENTO</th> <th>REV.</th> <th>FOGLIO</th> </tr> </thead> <tbody> <tr> <td>IF1N</td> <td>01 E ZZ</td> <td>CL</td> <td>VI0605 008</td> <td>B</td> <td>54 di 137</td> </tr> </tbody> </table>	COMMESSA	LOTTO	CODIFICA	DOCUMENTO	REV.	FOGLIO	IF1N	01 E ZZ	CL	VI0605 008	B	54 di 137
COMMESSA	LOTTO	CODIFICA	DOCUMENTO	REV.	FOGLIO								
IF1N	01 E ZZ	CL	VI0605 008	B	54 di 137								

F fren (max 6000 kN) = 0,00 kN 0,00 kN

F1 = 0,00 kN 0,00 kN

Frenatura SW/2

f fren = 35,00 kN/m 35,00 kN/m

α = 1,00 1,00

L caricata = 12,50 m 18,00 m

F fren = 437,50 kN 630,00 kN

F1 = 437,50 kN 630,00 kN

ahp interazione semplificata

ahp frenatura per LM71 = 1,60 1,60

ahp frenatura per SW/2 = 1,30 1,30

ahp avviam. per LM71 SW/2 = 1,12 1,12

Forza totale di avviamento e frenatura

F1 = 568,75 kN 819,00 kN

h rispetto a intradosso imp. = 3,28 m 3,28 m

tipologia vincolo = UL F

Risultanti reazioni vincolari

F1 = 0 kN -819 kN

F2 = 0 0

F3 = 82 kN -118 kN

M1 = 0 0

M2 = 0 0

M3 = 0 0

  	ITINERARIO NAPOLI – BARI RADDOPPIO TRATTA CANCELLO – BENEVENTO I° LOTTO FUNZIONALE CANCELLO - FRASSO TELESINO E VARIANTE ALLA LINEA ROMA-NAPOLI VIA CASSINO NEL COMUNE DI MADDALONI – PROGETTO ESECUTIVO												
Pila 10: Relazione di calcolo	<table border="1"> <tr> <td>COMMESSA</td> <td>LOTTO</td> <td>CODIFICA</td> <td>DOCUMENTO</td> <td>REV.</td> <td>FOGLIO</td> </tr> <tr> <td>IF1N</td> <td>01 E ZZ</td> <td>CL</td> <td>VI0605 008</td> <td>B</td> <td>55 di 137</td> </tr> </table>	COMMESSA	LOTTO	CODIFICA	DOCUMENTO	REV.	FOGLIO	IF1N	01 E ZZ	CL	VI0605 008	B	55 di 137
COMMESSA	LOTTO	CODIFICA	DOCUMENTO	REV.	FOGLIO								
IF1N	01 E ZZ	CL	VI0605 008	B	55 di 137								

6.3.2.4 DISPOSIZIONE DI CARICO 4 (Q24)

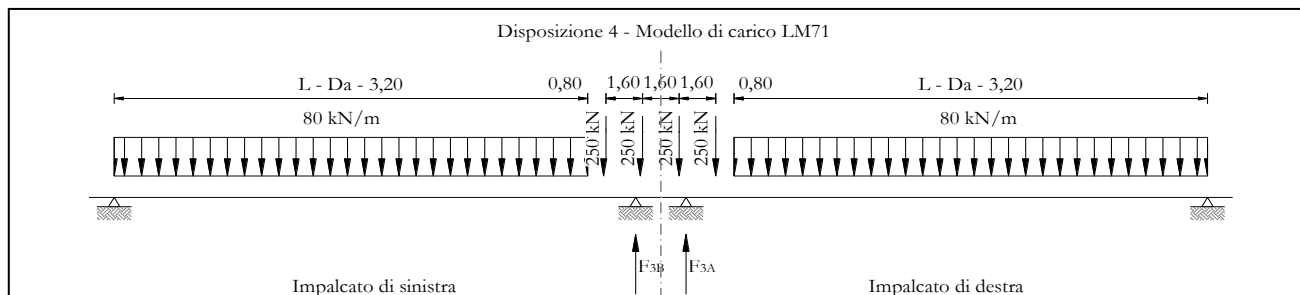


Figura 26 – Disposizione di carico 4

	IMPALCATO-SX		IMPALCATO-DX	
	Reazioni vincolari B		Reazioni vincolari A	
Avviamento LM71				
f avv =	33,00	kN/m	33,00	kN/m
α =	1,10		1,10	
L caricata =	25,00	m	25,00	m
F avv (max 1000 kN) =	825,00	kN	825,00	kN
F1 =	907,50	kN	907,50	kN
Avviamento SW/2				
f avv =	33,00	kN/m	33,00	kN/m
α =	1,00		1,00	
L caricata =	0,00	m	0,00	m
F avv (max 1000 kN) =	0,00	kN	0,00	kN
F1 =	0,00	kN	0,00	kN
Frenatura LM71				
f fren =	20,00	kN/m	20,00	kN/m
α =	1,10		1,10	
L caricata =	25,00	m	25,00	m

  	ITINERARIO NAPOLI – BARI RADDOPPIO TRATTA CANCELLO – BENEVENTO I° LOTTO FUNZIONALE CANCELLO - FRASSO TELESINO E VARIANTE ALLA LINEA ROMA-NAPOLI VIA CASSINO NEL COMUNE DI MADDALONI – PROGETTO ESECUTIVO												
Pila 10: Relazione di calcolo	<table border="1"> <thead> <tr> <th>COMMESSA</th> <th>LOTTO</th> <th>CODIFICA</th> <th>DOCUMENTO</th> <th>REV.</th> <th>FOGLIO</th> </tr> </thead> <tbody> <tr> <td>IF1N</td> <td>01 E ZZ</td> <td>CL</td> <td>VI0605 008</td> <td>B</td> <td>56 di 137</td> </tr> </tbody> </table>	COMMESSA	LOTTO	CODIFICA	DOCUMENTO	REV.	FOGLIO	IF1N	01 E ZZ	CL	VI0605 008	B	56 di 137
COMMESSA	LOTTO	CODIFICA	DOCUMENTO	REV.	FOGLIO								
IF1N	01 E ZZ	CL	VI0605 008	B	56 di 137								

F fren (max 6000 kN) = 500,00 kN 500,00 kN

F1 = 550,00 kN 550,00 kN

Frenatura SW/2

f fren = 35,00 kN/m 35,00 kN/m

α = 1,00 1,00

L caricata = 0,00 m 0,00 m

F fren = 0,00 kN 0,00 kN

F1 = 0,00 kN 0,00 kN

ahp interazione semplificata

ahp frenatura per LM71 = 1,60 1,60

ahp frenatura per SW/2 = 1,30 1,30

ahp avviam. per LM71 SW/2 = 1,12 1,12

Forza totale di avviamento e frenatura

F1 = 1016,40 kN 1016,40 kN

h rispetto a intradosso imp. = 3,28 m 3,28 m

tipologia vincolo = UL F

Risultanti reazioni vincolari

F1 = 0 kN -1016 kN

F2 = 0 0

F3 = 146 kN -146 kN

M1 = 0 0

M2 = 0 0

M3 = 0 0

Pila 10: Relazione di calcolo

COMMESSA	LOTTO	CODIFICA	DOCUMENTO	REV.	FOGLIO
IF1N	01 E ZZ	CL	VI0605 008	B	57 di 137

6.3.2.5 DISPOSIZIONE DI CARICO 5 (Q25)

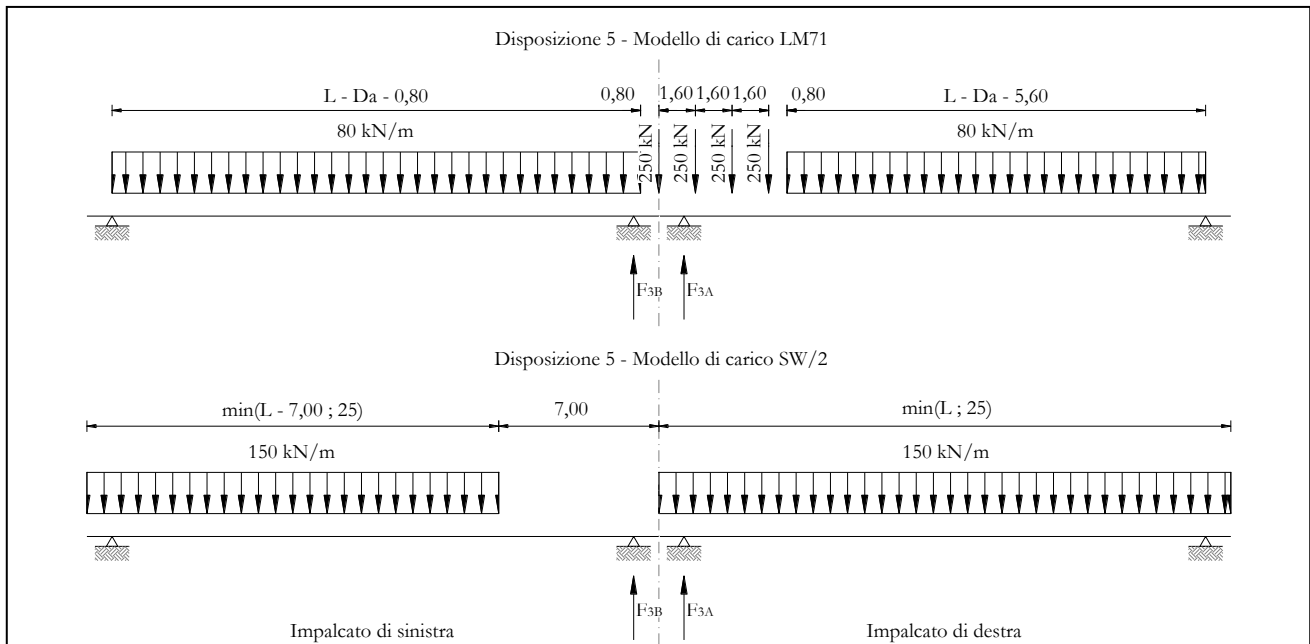


Figura 27 – Disposizione di carico 5

IMPALCATO-SX

Reazioni vincolari B

IMPALCATO-DX

Reazioni vincolari A

Avviamento LM71

$f_{avv} =$	33,00	kN/m	33,00	kN/m
$\alpha =$	1,10		1,10	
L caricata =	25,00	m	25,00	m
$F_{avv} (\max 1000 \text{ kN}) =$	825,00	kN	825,00	kN
F1 =	907,50	kN	907,50	kN

Avviamento SW/2

$f_{avv} =$	33,00	kN/m	33,00	kN/m
$\alpha =$	1,00		1,00	
L caricata =	18,00	m	25,00	m
$F_{avv} (\max 1000 \text{ kN}) =$	594,00	kN	825,00	kN
F1 =	594,00	kN	825,00	kN

  	ITINERARIO NAPOLI – BARI RADDOPPIO TRATTA CANCELLO – BENEVENTO I° LOTTO FUNZIONALE CANCELLO - FRASSO TELESINO E VARIANTE ALLA LINEA ROMA-NAPOLI VIA CASSINO NEL COMUNE DI MADDALONI – PROGETTO ESECUTIVO												
Pila 10: Relazione di calcolo	<table border="1"> <thead> <tr> <th>COMMESSA</th> <th>LOTTO</th> <th>CODIFICA</th> <th>DOCUMENTO</th> <th>REV.</th> <th>FOGLIO</th> </tr> </thead> <tbody> <tr> <td>IF1N</td> <td>01 E ZZ</td> <td>CL</td> <td>VI0605 008</td> <td>B</td> <td>58 di 137</td> </tr> </tbody> </table>	COMMESSA	LOTTO	CODIFICA	DOCUMENTO	REV.	FOGLIO	IF1N	01 E ZZ	CL	VI0605 008	B	58 di 137
COMMESSA	LOTTO	CODIFICA	DOCUMENTO	REV.	FOGLIO								
IF1N	01 E ZZ	CL	VI0605 008	B	58 di 137								

Frenatura LM71

f fren =	20,00	kN/m	20,00	kN/m
α =	1,10		1,10	
L caricata =	25,00	m	25,00	m
F fren (max 6000 kN) =	500,00	kN	500,00	kN
F1 =	550,00	kN	550,00	kN

Frenatura SW/2

f fren =	35,00	kN/m	35,00	kN/m
α =	1,00		1,00	
L caricata =	18,00	m	25,00	m
F fren =	630,00	kN	875,00	kN
F1 =	630,00	kN	875,00	kN

ahp interazione semplificata

ahp frenatura per LM71 =	1,60		1,60	
ahp frenatura per SW/2 =	1,30		1,30	
ahp avviam. per LM71 SW/2 =	1,12		1,12	

Forza totale di avviamento e frenatura

F1 =	1835,40	kN	2153,90	kN
h rispetto a intradosso imp. =	3,28	m	3,28	m
tipologia vincolo =	UL		F	

Risultanti reazioni vincolari

F1 =	0	kN	-2154	kN
F2 =	0		0	
F3 =	264	kN	-310	kN
M1 =	0		0	
M2 =	0		0	
M3 =	0		0	

  	ITINERARIO NAPOLI – BARI RADDOPPIO TRATTA CANCELLO – BENEVENTO I° LOTTO FUNZIONALE CANCELLO - FRASSO TELESINO E VARIANTE ALLA LINEA ROMA-NAPOLI VIA CASSINO NEL COMUNE DI MADDALONI – PROGETTO ESECUTIVO					
	Pila 10: Relazione di calcolo	COMMESSA IF1N	LOTTO 01 E ZZ	CODIFICA CL	DOCUMENTO VI0605 008	REV. B

6.3.2.6 DISPOSIZIONE DI CARICO 6 (Q26)

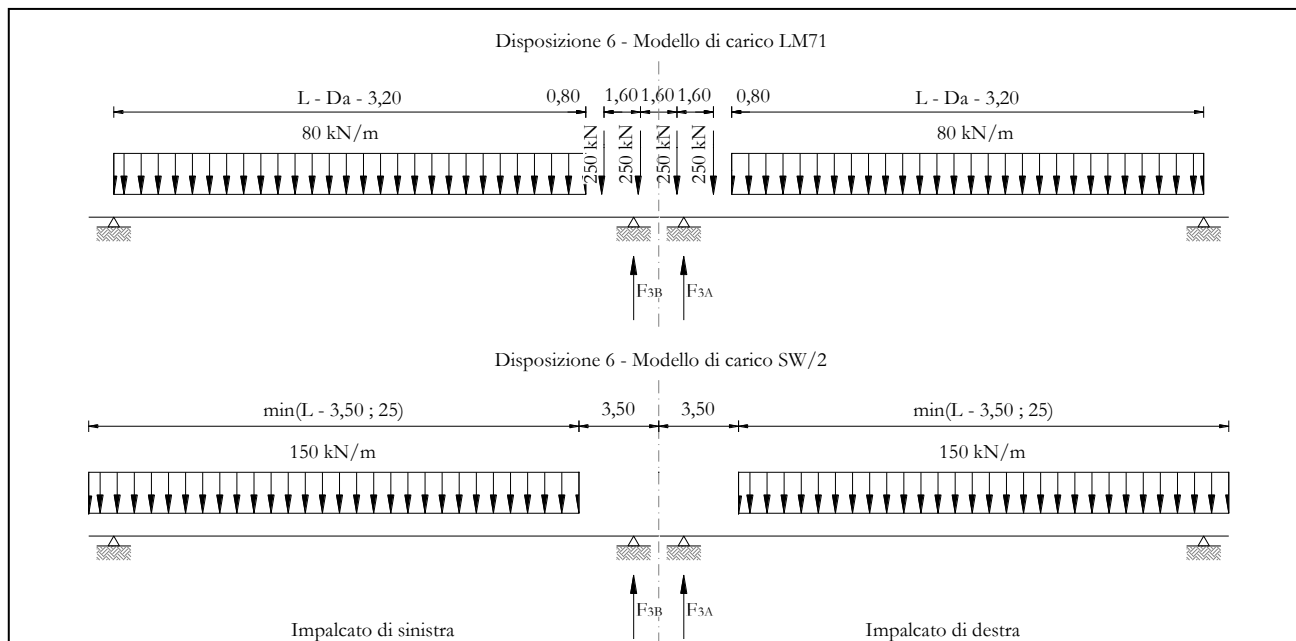


Figura 28 – Disposizione di carico 6

	IMPALCATO-SX		IMPALCATO-DX	
	Reazioni vincolari B		Reazioni vincolari A	
Avviamento LM71				
f avv =	33,00	kN/m	33,00	kN/m
α =	1,10		1,10	
L caricata =	25,00	m	25,00	m
F avv (max 1000 kN) =	825,00	kN	825,00	kN
F1 =	907,50	kN	907,50	kN
Avviamento SW/2				
f avv =	33,00	kN/m	33,00	kN/m
α =	1,00		1,00	
L caricata =	21,50	m	21,50	m
F avv (max 1000 kN) =	709,50	kN	709,50	kN
F1 =	709,50	kN	709,50	kN

  	ITINERARIO NAPOLI – BARI RADDOPPIO TRATTA CANCELLO – BENEVENTO I° LOTTO FUNZIONALE CANCELLO - FRASSO TELESINO E VARIANTE ALLA LINEA ROMA-NAPOLI VIA CASSINO NEL COMUNE DI MADDALONI – PROGETTO ESECUTIVO												
Pila 10: Relazione di calcolo	<table border="1"> <thead> <tr> <th>COMMESSA</th> <th>LOTTO</th> <th>CODIFICA</th> <th>DOCUMENTO</th> <th>REV.</th> <th>FOGLIO</th> </tr> </thead> <tbody> <tr> <td>IF1N</td> <td>01 E ZZ</td> <td>CL</td> <td>VI0605 008</td> <td>B</td> <td>60 di 137</td> </tr> </tbody> </table>	COMMESSA	LOTTO	CODIFICA	DOCUMENTO	REV.	FOGLIO	IF1N	01 E ZZ	CL	VI0605 008	B	60 di 137
COMMESSA	LOTTO	CODIFICA	DOCUMENTO	REV.	FOGLIO								
IF1N	01 E ZZ	CL	VI0605 008	B	60 di 137								

Frenatura LM71

f fren =	20,00	kN/m	20,00	kN/m
α =	1,10		1,10	
L caricata =	25,00	m	25,00	m
F fren (max 6000 kN) =	500,00	kN	500,00	kN
F1 =	550,00	kN	550,00	kN

Frenatura SW/2

f fren =	35,00	kN/m	35,00	kN/m
α =	1,00		1,00	
L caricata =	21,50	m	21,50	m
F fren =	752,50	kN	752,50	kN
F1 =	752,50	kN	752,50	kN

ahp interazione semplificata

ahp frenatura per LM71 =	1,60		1,60	
ahp frenatura per SW/2 =	1,30		1,30	
ahp avviam. per LM71 SW/2 =	1,12		1,12	

Forza totale di avviamento e frenatura

F1 =	1994,65	kN	1994,65	kN
h rispetto a intradosso imp. =	3,28	m	3,28	m
tipologia vincolo =	UL		F	

Risultanti reazioni vincolari

F1 =	0	kN	-1995	kN
F2 =	0		0	
F3 =	287	kN	-287	kN
M1 =	0		0	
M2 =	0		0	
M3 =	0		0	

  	ITINERARIO NAPOLI – BARI RADDOPPIO TRATTA CANCELLO – BENEVENTO I° LOTTO FUNZIONALE CANCELLO - FRASSO TELESINO E VARIANTE ALLA LINEA ROMA-NAPOLI VIA CASSINO NEL COMUNE DI MADDALONI – PROGETTO ESECUTIVO					
	Pila 10: Relazione di calcolo	COMMESSA IF1N	LOTTO 01 E ZZ	CODIFICA CL	DOCUMENTO VI0605 008	REV. B

6.3.2.7 *DISPOSIZIONE DI CARICO 7 (Q27)*

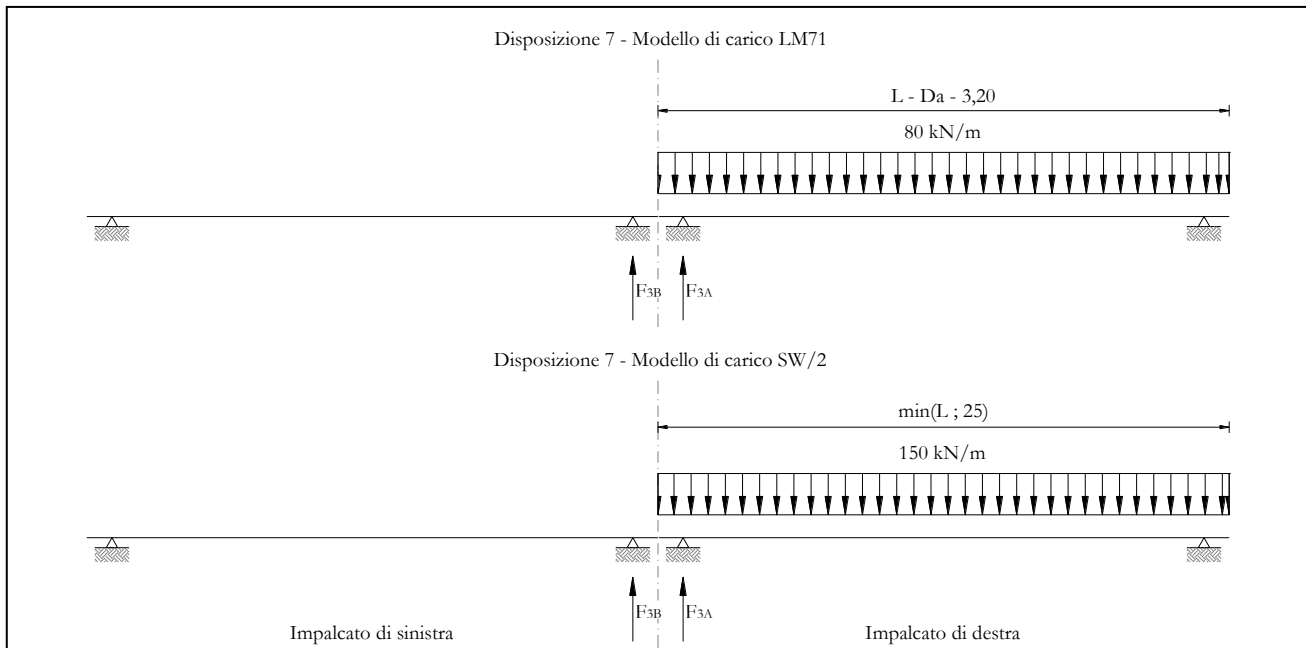


Figura 29 – Disposizione di carico 7

	IMPALCATO-SX		IMPALCATO-DX	
	Reazioni vincolari B		Reazioni vincolari A	
Avviamento LM71				
f avv =	33,00	kN/m	33,00	kN/m
α =	1,10		1,10	
L caricata =	0,00	m	25,00	m
F avv (max 1000 kN) =	0,00	kN	825,00	kN
F1 =	0,00	kN	907,50	kN
Avviamento SW/2				
f avv =	33,00	kN/m	33,00	kN/m
α =	1,00		1,00	
L caricata =	0,00	m	25,00	m
F avv (max 1000 kN) =	0,00	kN	825,00	kN
F1 =	0,00	kN	825,00	kN

  	ITINERARIO NAPOLI – BARI RADDOPPIO TRATTA CANCELLO – BENEVENTO I° LOTTO FUNZIONALE CANCELLO - FRASSO TELESINO E VARIANTE ALLA LINEA ROMA-NAPOLI VIA CASSINO NEL COMUNE DI MADDALONI – PROGETTO ESECUTIVO												
Pila 10: Relazione di calcolo	<table border="1"> <thead> <tr> <th>COMMESSA</th> <th>LOTTO</th> <th>CODIFICA</th> <th>DOCUMENTO</th> <th>REV.</th> <th>FOGLIO</th> </tr> </thead> <tbody> <tr> <td>IF1N</td> <td>01 E ZZ</td> <td>CL</td> <td>VI0605 008</td> <td>B</td> <td>62 di 137</td> </tr> </tbody> </table>	COMMESSA	LOTTO	CODIFICA	DOCUMENTO	REV.	FOGLIO	IF1N	01 E ZZ	CL	VI0605 008	B	62 di 137
COMMESSA	LOTTO	CODIFICA	DOCUMENTO	REV.	FOGLIO								
IF1N	01 E ZZ	CL	VI0605 008	B	62 di 137								

Frenatura LM71

f fren =	20,00	kN/m	20,00	kN/m
α =	1,10		1,10	
L caricata =	25,00	m	25,00	m
F fren (max 6000 kN) =	500,00	kN	500,00	kN
F1 =	550,00	kN	550,00	kN

Frenatura SW/2

f fren =	35,00	kN/m	35,00	kN/m
α =	1,00		1,00	
L caricata =	0,00	m	25,00	m
F fren =	0,00	kN	875,00	kN
F1 =	0,00	kN	875,00	kN

ahp interazione semplificata

ahp frenatura per LM71 =	1,60		1,60	
ahp frenatura per SW/2 =	1,30		1,30	
ahp avviam. per LM71 SW/2 =	1,12		1,12	

Forza totale di avviamento e frenatura

F1 =	880,00	kN	2153,90	kN
h rispetto a intradosso imp. =	3,28	m	3,28	m
tipologia vincolo =	UL		F	

Risultanti reazioni vincolari

F1 =	0	kN	-2154	kN
F2 =	0		0	
F3 =	127	kN	-310	kN
M1 =	0		0	
M2 =	0		0	
M3 =	0		0	

  	ITINERARIO NAPOLI – BARI RADDOPPIO TRATTA CANCELLO – BENEVENTO I° LOTTO FUNZIONALE CANCELLO - FRASSO TELESINO E VARIANTE ALLA LINEA ROMA-NAPOLI VIA CASSINO NEL COMUNE DI MADDALONI – PROGETTO ESECUTIVO												
Pila 10: Relazione di calcolo	<table border="1"> <thead> <tr> <th>COMMESSA</th> <th>LOTTO</th> <th>CODIFICA</th> <th>DOCUMENTO</th> <th>REV.</th> <th>FOGLIO</th> </tr> </thead> <tbody> <tr> <td>IF1N</td> <td>01 E ZZ</td> <td>CL</td> <td>VI0605 008</td> <td>B</td> <td>63 di 137</td> </tr> </tbody> </table>	COMMESSA	LOTTO	CODIFICA	DOCUMENTO	REV.	FOGLIO	IF1N	01 E ZZ	CL	VI0605 008	B	63 di 137
COMMESSA	LOTTO	CODIFICA	DOCUMENTO	REV.	FOGLIO								
IF1N	01 E ZZ	CL	VI0605 008	B	63 di 137								

6.3.3 FORZA CENTRIFUGA (Q3)

L'azione centrifuga è schematizzata come una forza agente in direzione orizzontale perpendicolarmente al binario e verso l'esterno della curva, applicata ad 1,80 m al di sopra del p.f.. Il valore caratteristico della forza centrifuga si determina in accordo con la seguente espressione:

$$Q_{tk} = V^2 \cdot f \cdot (\alpha \cdot Q_{vk}) / (127 \cdot R)$$

dove

V	velocità di progetto espressa in km/h
Q _{vk}	valore caratteristico dei carichi verticali
R	raggio di curvatura in m
f	fattore di riduzione (rif. §1.4.3.1 [3])

Per il modello di carico LM71 e per velocità di progetto superiori a 120 km/h, si considerano i seguenti 2 casi:

- modello di carico LM71 e forza centrifuga per V = 120 km/h e f = 1;
- modello di carico LM71 e forza centrifuga calcolata per la massima velocità di progetto.

Per i modelli di carico SW si assume una velocità massima di 100 km/h.

La forza centrifuga non deve essere incrementata dei coefficienti dinamici.

Nei sottoparagrafi che seguono si riportano i risultati delle reazioni vincolari per le diverse disposizioni di carico considerate e descritte precedentemente nel §6.3.

Pila 10: Relazione di calcolo

COMMESSA	LOTTO	CODIFICA	DOCUMENTO	REV.	FOGLIO
IF1N	01 E ZZ	CL	VI0605 008	B	64 di 137

6.3.3.1 DISPOSIZIONE DI CARICO 1 (Q31)

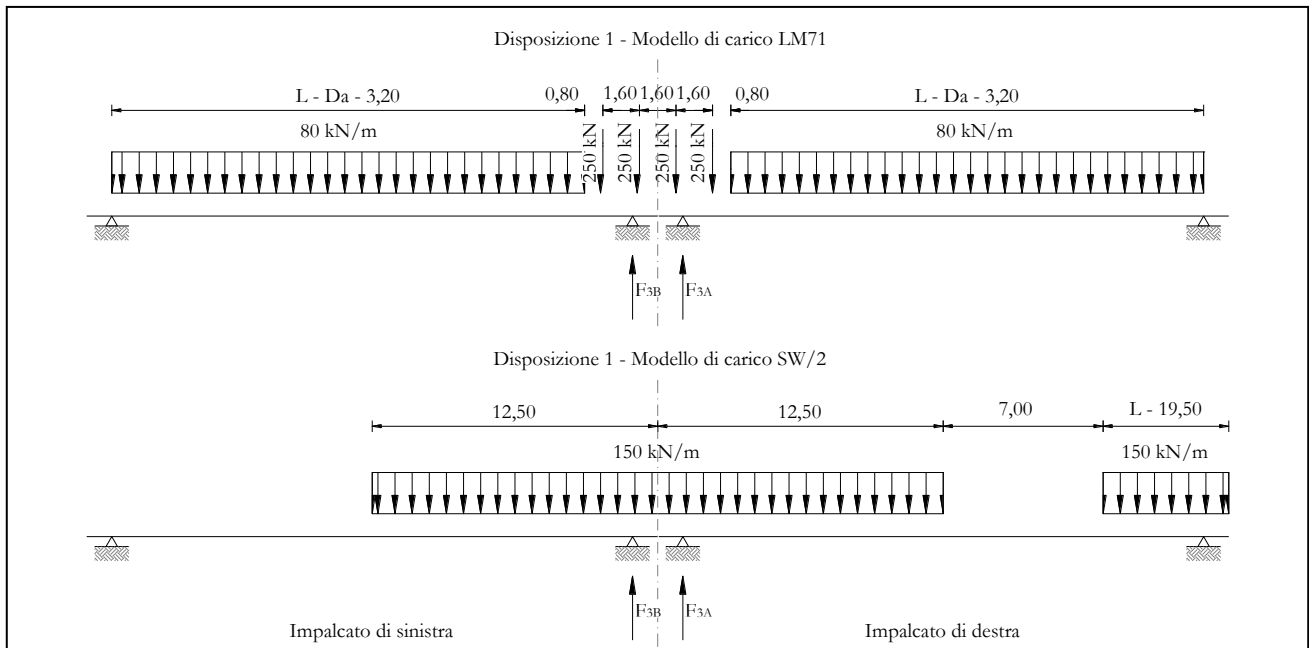


Figura 30 – Disposizione di carico 1

IMPALCATO-SX

Reazioni vincolari B

IMPALCATO-DX

Reazioni vincolari A

Centrifuga LM71v = v_{max}

Raggio minimo =	1500,00	m	1500,00	m
Velocità massima =	180,00	km/h	180,00	km/h
L _f =	25,00	m	25,00	m
f =	0,75		0,75	
Q _v =	1240,77	kN	1240,77	kN
Q _h =	158,57	kN	158,57	kN

v = 120 km/h

Raggio minimo =	1500,00	m	1500,00	m
Velocità (120 km/h) =	120,00	km/h	120,00	km/h
f (1) =	1,00		1,00	
Q _v =	1364,85	kN	1364,85	kN

  	ITINERARIO NAPOLI – BARI RADDOPPIO TRATTA CANCELLO – BENEVENTO I° LOTTO FUNZIONALE CANCELLO - FRASSO TELESINO E VARIANTE ALLA LINEA ROMA-NAPOLI VIA CASSINO NEL COMUNE DI MADDALONI – PROGETTO ESECUTIVO												
Pila 10: Relazione di calcolo	<table border="1"> <thead> <tr> <th>COMMESSA</th> <th>LOTTO</th> <th>CODIFICA</th> <th>DOCUMENTO</th> <th>REV.</th> <th>FOGLIO</th> </tr> </thead> <tbody> <tr> <td>IF1N</td> <td>01 E ZZ</td> <td>CL</td> <td>VI0605 008</td> <td>B</td> <td>65 di 137</td> </tr> </tbody> </table>	COMMESSA	LOTTO	CODIFICA	DOCUMENTO	REV.	FOGLIO	IF1N	01 E ZZ	CL	VI0605 008	B	65 di 137
COMMESSA	LOTTO	CODIFICA	DOCUMENTO	REV.	FOGLIO								
IF1N	01 E ZZ	CL	VI0605 008	B	65 di 137								

Qh = 103,17 kN 103,17 kN

Qh,max = 158,57 kN 158,57 kN

Centrifuga SW/2

v max = 100 km/h

Raggio minimo = 1500,00 m 1500,00 m

Velocità (100 km/h) = 100,00 km/h 100,00 km/h

f (1) = 1,00 1,00

Qv = 1451,48 kN 1511,18 kN

Qh,max = 76,19 kN 79,33 kN

Forza centrifuga sull appoggio

F2 = 234,76 kN 237,89 kN

h rispetto a intradosso imp. = 5,08 m 5,08 m

Risultanti reazioni vincolari

F1 = 0 0

F2 = -235 kN -238 kN

F3 = 0 0

M1 = 1193 kNm 1209 kNm

M2 = 0 0

M3 = 0 0

  	ITINERARIO NAPOLI – BARI RADDOPPIO TRATTA CANCELLO – BENEVENTO I° LOTTO FUNZIONALE CANCELLO - FRASSO TELESINO E VARIANTE ALLA LINEA ROMA-NAPOLI VIA CASSINO NEL COMUNE DI MADDALONI – PROGETTO ESECUTIVO					
	Pila 10: Relazione di calcolo	COMMESSA IF1N	LOTTO 01 E ZZ	CODIFICA CL	DOCUMENTO VI0605 008	REV. B

6.3.3.2 DISPOSIZIONE DI CARICO 2 (Q32)

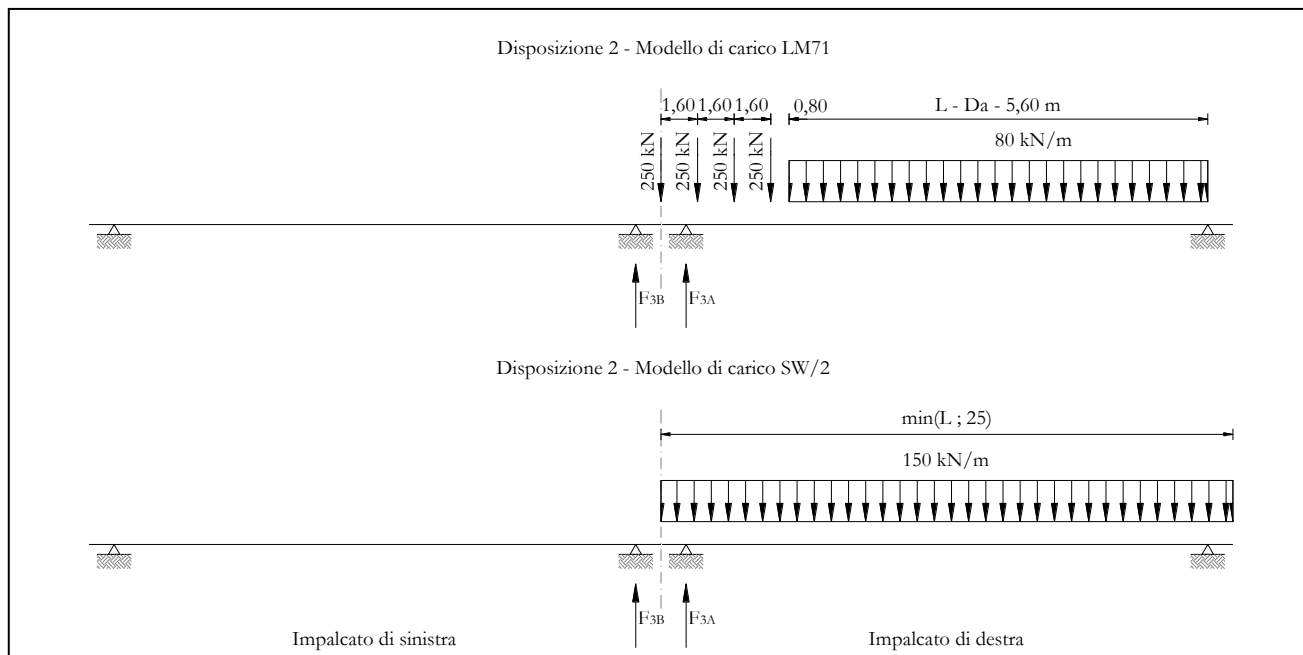


Figura 31 – Disposizione di carico 2

IMPALCATO-SX

Reazioni vincolari B

IMPALCATO-DX

Reazioni vincolari A

Centrifuga LM71

$v = v_{max}$

Raggio minimo =	1500,00	m	1500,00	m
Velocità massima =	180,00	km/h	180,00	km/h
$L_f =$	25,00	m	25,00	m
$f =$	0,75		0,75	
$Q_v =$	0,00	kN	1530,51	kN
$Q_h =$	0,00	kN	195,59	kN

$v = 120 \text{ km/h}$

Raggio minimo =	1500,00	m	1500,00	m
Velocità (120 km/h) =	120,00	km/h	120,00	km/h
$f(1) =$	1,00		1,00	
$Q_v =$	0,00	kN	1683,56	kN

  	ITINERARIO NAPOLI – BARI RADDOPPIO TRATTA CANCELLO – BENEVENTO I° LOTTO FUNZIONALE CANCELLO - FRASSO TELESINO E VARIANTE ALLA LINEA ROMA-NAPOLI VIA CASSINO NEL COMUNE DI MADDALONI – PROGETTO ESECUTIVO					
Pila 10: Relazione di calcolo	COMMESSA IF1N	LOTTO 01 E ZZ	CODIFICA CL	DOCUMENTO VI0605 008	REV. B	FOGLIO 67 di 137

Qh = 0,00 kN 127,26 kN

Qh,max = 0,00 kN 195,59 kN

Centrifuga SW/2

v max = 100 km/h

Raggio minimo = 1500,00 m 1500,00 m

Velocità (100 km/h) = 100,00 km/h 100,00 km/h

f = 1,00 1,00

Qv = 0,00 kN 1875,00 kN

Qh,max = 0,00 kN 98,43 kN

Forza centrifuga sull appoggio

F2 = 0,00 kN 294,02 kN

h rispetto a intradosso imp. = 5,08 m 5,08 m

Risultanti reazioni vincolari

F1 = 0 0

F2 = 0 kN -294 kN

F3 = 0 0

M1 = 0 kNm 1494 kNm

M2 = 0 0

M3 = 0 0

  	ITINERARIO NAPOLI – BARI RADDOPPIO TRATTA CANCELLO – BENEVENTO I° LOTTO FUNZIONALE CANCELLO - FRASSO TELESINO E VARIANTE ALLA LINEA ROMA-NAPOLI VIA CASSINO NEL COMUNE DI MADDALONI – PROGETTO ESECUTIVO					
	Pila 10: Relazione di calcolo	COMMESSA IF1N	LOTTO 01 E ZZ	CODIFICA CL	DOCUMENTO VI0605 008	REV. B

6.3.3.3 DISPOSIZIONE DI CARICO 3 (Q33)

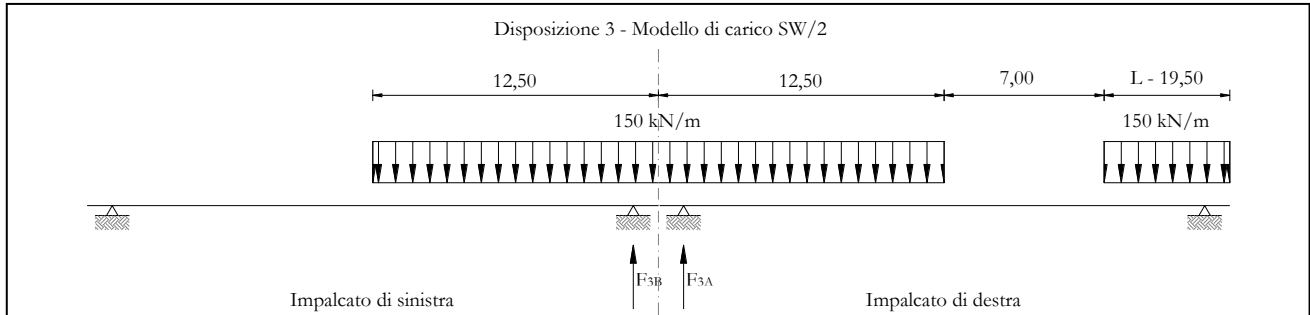


Figura 32 – Disposizione di carico 3

IMPALCATO-SX

Reazioni vincolari B

IMPALCATO-DX

Reazioni vincolari A

Centrifuga LM71

$v = v_{max}$

Raggio minimo =	1500,00	m	1500,00	m
Velocità massima =	180,00	km/h	180,00	km/h
$L_f =$	25,00	m	25,00	m
$f =$	0,75		0,75	
$Q_v =$	0,00	kN	0,00	kN
$Q_h =$	0,00	kN	0,00	kN

$v = 120$ km/h

Raggio minimo =	1500,00	m	1500,00	m
Velocità (120 km/h) =	120,00	km/h	120,00	km/h
$f(1) =$	1,00		1,00	
$Q_v =$	0,00	kN	0,00	kN
$Q_h =$	0,00	kN	0,00	kN

$Q_{h,max} =$	0,00	kN	0,00	kN
---------------	------	----	------	----

Centrifuga SW/2

$v_{max} = 100$ km/h

Raggio minimo =	1500,00	m	1500,00	m
-----------------	---------	---	---------	---

  	ITINERARIO NAPOLI – BARI RADDOPPIO TRATTA CANCELLO – BENEVENTO I° LOTTO FUNZIONALE CANCELLO - FRASSO TELESINO E VARIANTE ALLA LINEA ROMA-NAPOLI VIA CASSINO NEL COMUNE DI MADDALONI – PROGETTO ESECUTIVO												
Pila 10: Relazione di calcolo	<table border="1"> <thead> <tr> <th>COMMESSA</th> <th>LOTTO</th> <th>CODIFICA</th> <th>DOCUMENTO</th> <th>REV.</th> <th>FOGLIO</th> </tr> </thead> <tbody> <tr> <td>IF1N</td> <td>01 E ZZ</td> <td>CL</td> <td>VI0605 008</td> <td>B</td> <td>69 di 137</td> </tr> </tbody> </table>	COMMESSA	LOTTO	CODIFICA	DOCUMENTO	REV.	FOGLIO	IF1N	01 E ZZ	CL	VI0605 008	B	69 di 137
COMMESSA	LOTTO	CODIFICA	DOCUMENTO	REV.	FOGLIO								
IF1N	01 E ZZ	CL	VI0605 008	B	69 di 137								

Velocità (100 km/h) = 100,00 km/h 100,00 km/h

f = 1,00 1,00

Qv = 1451,48 kN 1511,18 kN

Qh,max = 76,19 kN 79,33 kN

Forza centrifuga sull'appoggio

F2 = 76,19 kN 79,33 kN

h rispetto a intradosso imp. = 5,08 m 5,08 m

Risultanti reazioni vincolari

F1 = 0 0

F2 = -76 kN -79 kN

F3 = 0 0

M1 = 387 kNm 403 kNm

M2 = 0 0

M3 = 0 0

  	ITINERARIO NAPOLI – BARI RADDOPPIO TRATTA CANCELLO – BENEVENTO I° LOTTO FUNZIONALE CANCELLO - FRASSO TELESINO E VARIANTE ALLA LINEA ROMA-NAPOLI VIA CASSINO NEL COMUNE DI MADDALONI – PROGETTO ESECUTIVO					
	Pila 10: Relazione di calcolo	COMMESSA IF1N	LOTTO 01 E ZZ	CODIFICA CL	DOCUMENTO VI0605 008	REV. B

6.3.3.4 DISPOSIZIONE DI CARICO 4 (Q34)

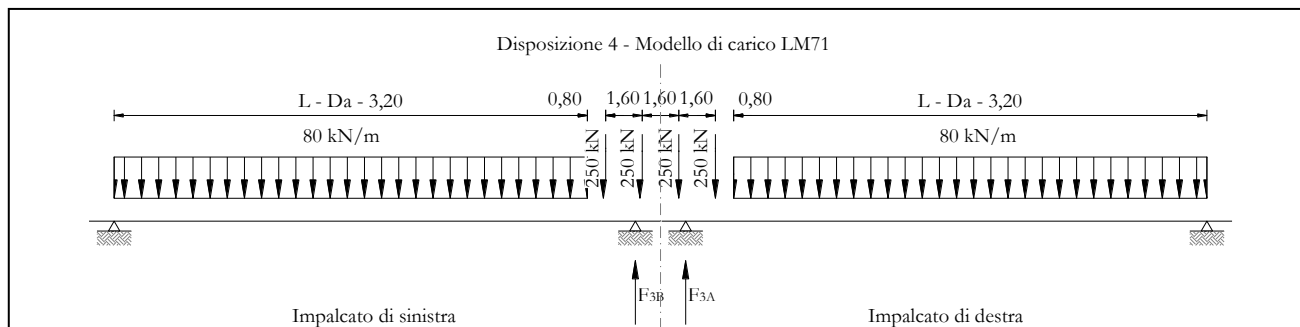


Figura 33 – Disposizione di carico 4

IMPALCATO-SX

Reazioni vincolari B

IMPALCATO-DX

Reazioni vincolari A

Centrifuga LM71

$v = v_{max}$

Raggio minimo =	1500,00	m	1500,00	m
Velocità massima =	180,00	km/h	180,00	km/h
$L_f =$	25,00	m	25,00	m
$f =$	0,75		0,75	
$Q_v =$	1240,77	kN	1240,77	kN
$Q_h =$	158,57	kN	158,57	kN

$v = 120$ km/h

Raggio minimo =	1500,00	m	1500,00	m
Velocità (120 km/h) =	120,00	km/h	120,00	km/h
$f(1) =$	1,00		1,00	
$Q_v =$	1364,85	kN	1364,85	kN
$Q_h =$	103,17	kN	103,17	kN

$Q_{h,max} =$ 158,57 kN

Centrifuga SW/2

$v_{max} = 100$ km/h

  	ITINERARIO NAPOLI – BARI RADDOPPIO TRATTA CANCELLO – BENEVENTO I° LOTTO FUNZIONALE CANCELLO - FRASSO TELESINO E VARIANTE ALLA LINEA ROMA-NAPOLI VIA CASSINO NEL COMUNE DI MADDALONI – PROGETTO ESECUTIVO												
Pila 10: Relazione di calcolo	<table border="1"> <thead> <tr> <th>COMMESSA</th> <th>LOTTO</th> <th>CODIFICA</th> <th>DOCUMENTO</th> <th>REV.</th> <th>FOGLIO</th> </tr> </thead> <tbody> <tr> <td>IF1N</td> <td>01 E ZZ</td> <td>CL</td> <td>VI0605 008</td> <td>B</td> <td>71 di 137</td> </tr> </tbody> </table>	COMMESSA	LOTTO	CODIFICA	DOCUMENTO	REV.	FOGLIO	IF1N	01 E ZZ	CL	VI0605 008	B	71 di 137
COMMESSA	LOTTO	CODIFICA	DOCUMENTO	REV.	FOGLIO								
IF1N	01 E ZZ	CL	VI0605 008	B	71 di 137								

Raggio minimo =	1500,00	m	1500,00	m
Velocità (100 km/h) =	100,00	km/h	100,00	km/h
f =	1,00		1,00	
Qv =	0,00	kN	0,00	kN
Qh,max =	0,00	kN	0,00	kN

Forza centrifuga sull appoggio

F2 =	158,57	kN	158,57	kN
h rispetto a intradosso imp. =	5,08	m	5,08	m

Risultanti reazioni vincolari

F1 =	0		0	
F2 =	-159	kN	-159	kN
F3 =	0		0	
M1 =	806	kNm	806	kNm
M2 =	0		0	
M3 =	0		0	

  	ITINERARIO NAPOLI – BARI RADDOPPIO TRATTA CANCELLO – BENEVENTO I° LOTTO FUNZIONALE CANCELLO - FRASSO TELESINO E VARIANTE ALLA LINEA ROMA-NAPOLI VIA CASSINO NEL COMUNE DI MADDALONI – PROGETTO ESECUTIVO					
	Pila 10: Relazione di calcolo	COMMESSA IF1N	LOTTO 01 E ZZ	CODIFICA CL	DOCUMENTO VI0605 008	REV. B

6.3.3.5 DISPOSIZIONE DI CARICO 5 (Q35)

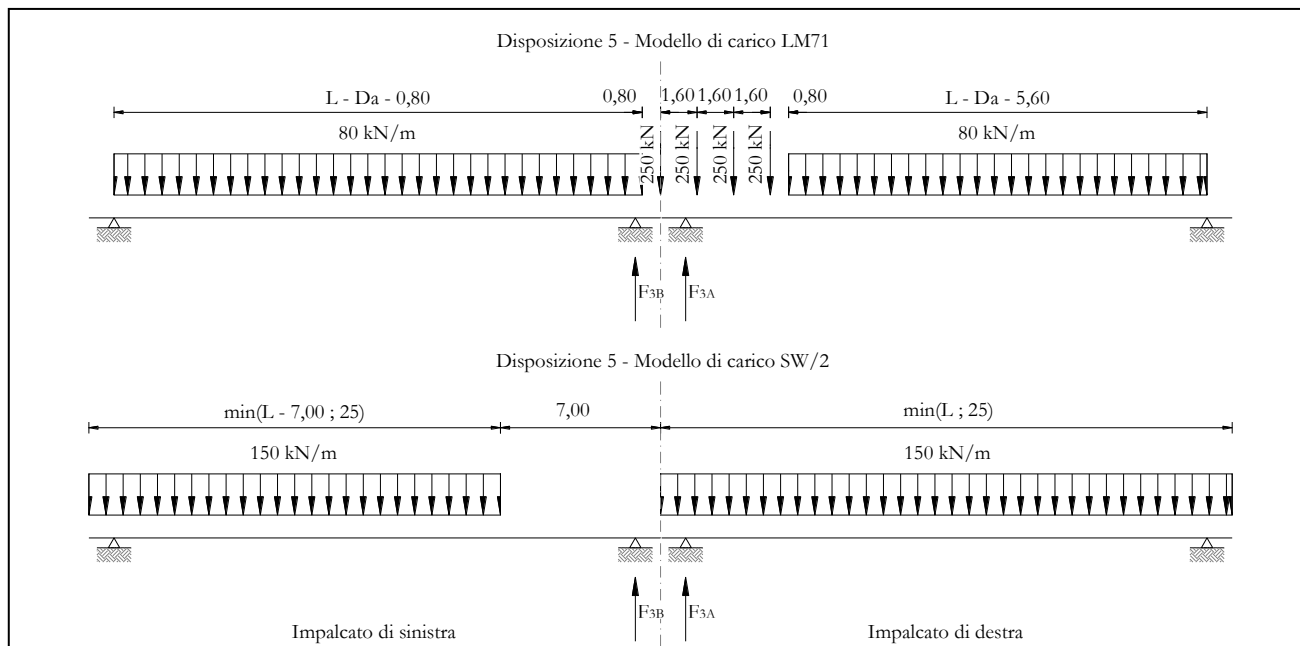


Figura 34 – Disposizione di carico 5

IMPALCATO-SX

Reazioni vincolari B

IMPALCATO-DX

Reazioni vincolari A

Centrifuga LM71

$v = v_{max}$

Raggio minimo =	1500,00	m	1500,00	m
Velocità massima =	180,00	km/h	180,00	km/h
$L_f =$	25,00	m	25,00	m
$f =$	0,75		0,75	
$Q_v =$	936,16	kN	1530,51	kN
$Q_h =$	119,64	kN	195,59	kN

$v = 120 \text{ km/h}$

Raggio minimo =	1500,00	m	1500,00	m
Velocità (120 km/h) =	120,00	km/h	120,00	km/h
$f(1) =$	1,00		1,00	
$Q_v =$	1029,77	kN	1683,56	kN

  	ITINERARIO NAPOLI – BARI RADDOPPIO TRATTA CANCELLO – BENEVENTO I° LOTTO FUNZIONALE CANCELLO - FRASSO TELESINO E VARIANTE ALLA LINEA ROMA-NAPOLI VIA CASSINO NEL COMUNE DI MADDALONI – PROGETTO ESECUTIVO												
Pila 10: Relazione di calcolo	<table border="1"> <thead> <tr> <th>COMMESSA</th> <th>LOTTO</th> <th>CODIFICA</th> <th>DOCUMENTO</th> <th>REV.</th> <th>FOGLIO</th> </tr> </thead> <tbody> <tr> <td>IF1N</td> <td>01 E ZZ</td> <td>CL</td> <td>VI0605 008</td> <td>B</td> <td>73 di 137</td> </tr> </tbody> </table>	COMMESSA	LOTTO	CODIFICA	DOCUMENTO	REV.	FOGLIO	IF1N	01 E ZZ	CL	VI0605 008	B	73 di 137
COMMESSA	LOTTO	CODIFICA	DOCUMENTO	REV.	FOGLIO								
IF1N	01 E ZZ	CL	VI0605 008	B	73 di 137								

Qh = 77,84 kN 127,26 kN

Qh,max = 119,64 kN 195,59 kN

Centrifuga SW/2

v max = 100 km/h

Raggio minimo = 1500,00 m 1500,00 m

Velocità (100 km/h) = 100,00 km/h 100,00 km/h

f = 1,00 1,00

Qv = 935,53 kN 1875,00 kN

Qh,max = 49,11 kN 98,43 kN

Forza centrifuga sull appoggio

F2 = 168,75 kN 294,02 kN

h rispetto a intradosso imp. = 5,08 m 5,08 m

Risultanti reazioni vincolari

F1 = 0 0

F2 = -169 kN -294 kN

F3 = 0 0

M1 = 857 kNm 1494 kNm

M2 = 0 0

M3 = 0 0

  	ITINERARIO NAPOLI – BARI RADDOPPIO TRATTA CANCELLO – BENEVENTO I° LOTTO FUNZIONALE CANCELLO - FRASSO TELESINO E VARIANTE ALLA LINEA ROMA-NAPOLI VIA CASSINO NEL COMUNE DI MADDALONI – PROGETTO ESECUTIVO					
	Pila 10: Relazione di calcolo	COMMESSA IF1N	LOTTO 01 E ZZ	CODIFICA CL	DOCUMENTO VI0605 008	REV. B

6.3.3.6 DISPOSIZIONE DI CARICO 6 (Q36)

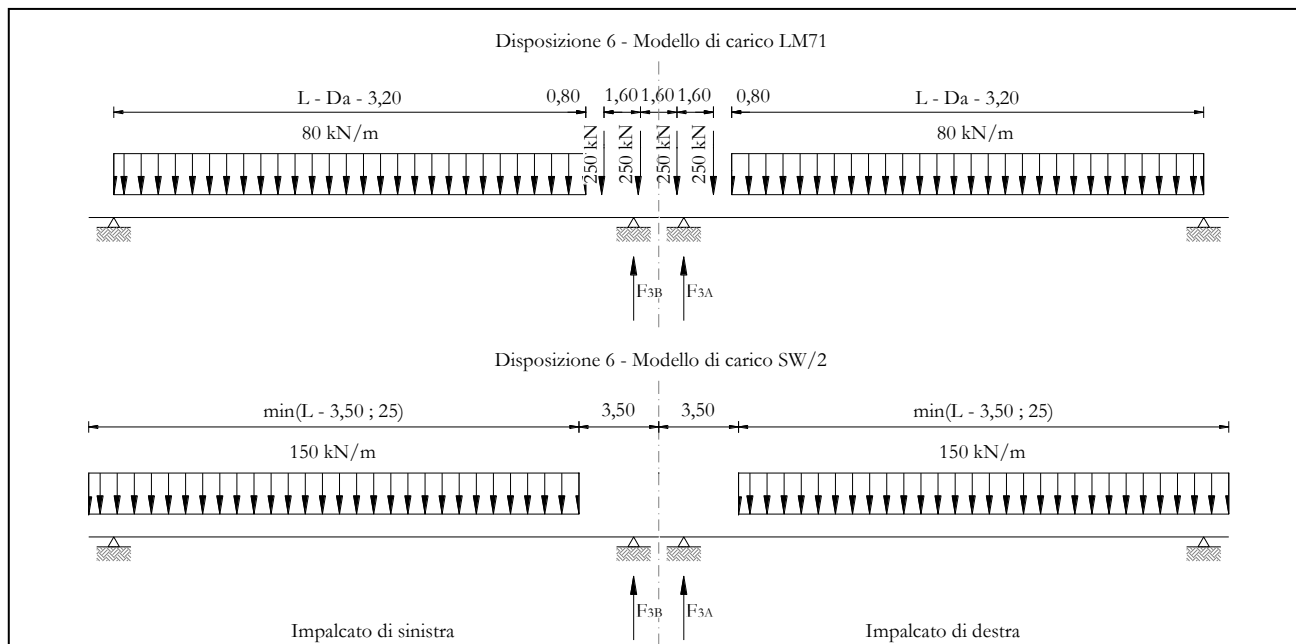


Figura 35 – Disposizione di carico 6

IMPALCATO-SX

Reazioni vincolari B

IMPALCATO-DX

Reazioni vincolari A

Centrifuga LM71

$v = v_{max}$

Raggio minimo =	1500,00	m	1500,00	m
Velocità massima =	180,00	km/h	180,00	km/h
$L_f =$	25,00	m	25,00	m
$f =$	0,75		0,75	
$Q_v =$	1240,77	kN	1240,77	kN
$Q_h =$	158,57	kN	158,57	kN

$v = 120 \text{ km/h}$

Raggio minimo =	1500,00	m	1500,00	m
Velocità (120 km/h) =	120,00	km/h	120,00	km/h
$f(1) =$	1,00		1,00	
$Q_v =$	1364,85	kN	1364,85	kN

  	ITINERARIO NAPOLI – BARI RADDOPPIO TRATTA CANCELLO – BENEVENTO I° LOTTO FUNZIONALE CANCELLO - FRASSO TELESINO E VARIANTE ALLA LINEA ROMA-NAPOLI VIA CASSINO NEL COMUNE DI MADDALONI – PROGETTO ESECUTIVO												
Pila 10: Relazione di calcolo	<table border="1"> <thead> <tr> <th>COMMESSA</th> <th>LOTTO</th> <th>CODIFICA</th> <th>DOCUMENTO</th> <th>REV.</th> <th>FOGLIO</th> </tr> </thead> <tbody> <tr> <td>IF1N</td> <td>01 E ZZ</td> <td>CL</td> <td>VI0605 008</td> <td>B</td> <td>75 di 137</td> </tr> </tbody> </table>	COMMESSA	LOTTO	CODIFICA	DOCUMENTO	REV.	FOGLIO	IF1N	01 E ZZ	CL	VI0605 008	B	75 di 137
COMMESSA	LOTTO	CODIFICA	DOCUMENTO	REV.	FOGLIO								
IF1N	01 E ZZ	CL	VI0605 008	B	75 di 137								

Qh = 103,17 kN 103,17 kN

Qh,max = 158,57 kN 158,57 kN

Centrifuga SW/2

v max = 100 km/h

Raggio minimo = 1500,00 m 1500,00 m

Velocità (100 km/h) = 100,00 km/h 100,00 km/h

f = 1,00 1,00

Qv = 1364,97 kN 1364,97 kN

Qh,max = 71,65 kN 71,65 kN

Forza centrifuga sull appoggio

F2 = 230,22 kN 230,22 kN

h rispetto a intradosso imp. = 5,08 m 5,08 m

Risultanti reazioni vincolari

F1 = 0 0

F2 = -230 kN -230 kN

F3 = 0 0

M1 = 1170 kNm 1170 kNm

M2 = 0 0

M3 = 0 0

  	ITINERARIO NAPOLI – BARI RADDOPPIO TRATTA CANCELLO – BENEVENTO I° LOTTO FUNZIONALE CANCELLO - FRASSO TELESINO E VARIANTE ALLA LINEA ROMA-NAPOLI VIA CASSINO NEL COMUNE DI MADDALONI – PROGETTO ESECUTIVO					
	Pila 10: Relazione di calcolo	COMMESSA IF1N	LOTTO 01 E ZZ	CODIFICA CL	DOCUMENTO VI0605 008	REV. B

6.3.3.7 DISPOSIZIONE DI CARICO 7 (Q37)

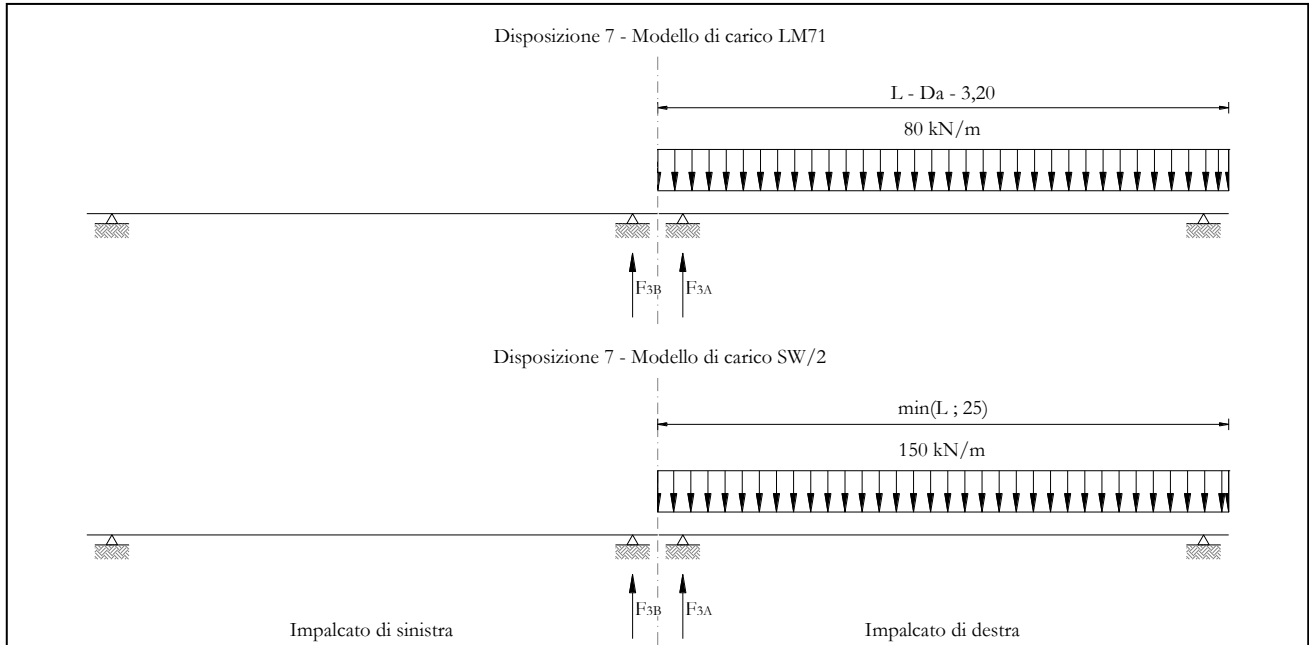


Figura 36 – Disposizione di carico 7

IMPALCATO-SX

Reazioni vincolari B

IMPALCATO-DX

Reazioni vincolari A

Centrifuga LM71

v = vmax

Raggio minimo =	1500,00	m	1500,00	m
Velocità massima =	180,00	km/h	180,00	km/h
Lf =	25,00	m	25,00	m
f =	0,75		0,75	
Qv =	0,00	kN	1002,12	kN
Qh =	0,00	kN	128,07	kN

v = 120 km/h

Raggio minimo =	1500,00	m	1500,00	m
Velocità (120 km/h) =	120,00	km/h	120,00	km/h
f (1) =	1,00		1,00	
Qv =	0,00	kN	1102,34	kN

  	ITINERARIO NAPOLI – BARI RADDOPPIO TRATTA CANCELLO – BENEVENTO I° LOTTO FUNZIONALE CANCELLO - FRASSO TELESINO E VARIANTE ALLA LINEA ROMA-NAPOLI VIA CASSINO NEL COMUNE DI MADDALONI – PROGETTO ESECUTIVO												
Pila 10: Relazione di calcolo	<table border="1"> <thead> <tr> <th>COMMESSA</th> <th>LOTTO</th> <th>CODIFICA</th> <th>DOCUMENTO</th> <th>REV.</th> <th>FOGLIO</th> </tr> </thead> <tbody> <tr> <td>IF1N</td> <td>01 E ZZ</td> <td>CL</td> <td>VI0605 008</td> <td>B</td> <td>77 di 137</td> </tr> </tbody> </table>	COMMESSA	LOTTO	CODIFICA	DOCUMENTO	REV.	FOGLIO	IF1N	01 E ZZ	CL	VI0605 008	B	77 di 137
COMMESSA	LOTTO	CODIFICA	DOCUMENTO	REV.	FOGLIO								
IF1N	01 E ZZ	CL	VI0605 008	B	77 di 137								

Qh = 0,00 kN 83,33 kN

Qh,max = 0,00 kN 128,07 kN

Centrifuga SW/2

v max = 100 km/h

Raggio minimo = 1500,00 m 1500,00 m

Velocità (100 km/h) = 100,00 km/h 100,00 km/h

f = 1,00 1,00

Qv = 0,00 kN 1875,00 kN

Qh,max = 0,00 kN 98,43 kN

Forza centrifuga sull appoggio

F2 = 0,00 kN 226,49 kN

h rispetto a intradosso imp. = 5,08 m 5,08 m

Risultanti reazioni vincolari

F1 = 0 0

F2 = 0 kN -226 kN

F3 = 0 0

M1 = 0 kNm 1151 kNm

M2 = 0 0

M3 = 0 0

  	ITINERARIO NAPOLI – BARI RADDOPPIO TRATTA CANCELLO – BENEVENTO I° LOTTO FUNZIONALE CANCELLO - FRASSO TELESINO E VARIANTE ALLA LINEA ROMA-NAPOLI VIA CASSINO NEL COMUNE DI MADDALONI – PROGETTO ESECUTIVO												
Pila 10: Relazione di calcolo	<table border="1"> <tr> <td>COMMESSA</td> <td>LOTTO</td> <td>CODIFICA</td> <td>DOCUMENTO</td> <td>REV.</td> <td>FOGLIO</td> </tr> <tr> <td>IF1N</td> <td>01 E ZZ</td> <td>CL</td> <td>VI0605 008</td> <td>B</td> <td>78 di 137</td> </tr> </table>	COMMESSA	LOTTO	CODIFICA	DOCUMENTO	REV.	FOGLIO	IF1N	01 E ZZ	CL	VI0605 008	B	78 di 137
COMMESSA	LOTTO	CODIFICA	DOCUMENTO	REV.	FOGLIO								
IF1N	01 E ZZ	CL	VI0605 008	B	78 di 137								

6.3.4 SERPEGGIO (Q4)

La forza laterale indotta dal serpeggio si schematizza come una forza concentrata agente orizzontalmente perpendicolarmente all'asse del binario.

Il valore caratteristico di tale forza è assunto pari a 100 kN. Tale valore deve essere moltiplicato per α ma non per il coefficiente di amplificazione dinamica.

Nei sottoparagrafi che seguono si riportano i risultati delle reazioni vincolari per le diverse disposizioni di carico considerate e descritte precedentemente nel §6.3.

6.3.4.1 DISPOSIZIONE DI CARICO 1 (Q41)

	<u>IMPALCATO-SX</u>		<u>IMPALCATO-DX</u>	
	Reazioni vincolari B		Reazioni vincolari A	

Serpeggio LM71

Forza serpeggio =	100,00	kN	100,00	kN
α =	1,10		1,10	

Serpeggio SW/2

Forza serpeggio =	100,00	kN	100,00	kN
α =	1,00		1,00	

Forza totale serpeggio

F2 =	210,00	kN	210,00	kN
h rispetto a intradosso imp. =	3,28	m	3,28	m

Risultanti reazioni vincolari

F1 =	0		0	
F2 =	-105	kN	-105	kN
F3 =	0		0	
M1 =	344	kNm	344	kNm
M2 =	0		0	
M3 =	0		0	

  	ITINERARIO NAPOLI – BARI RADDOPPIO TRATTA CANCELLO – BENEVENTO I° LOTTO FUNZIONALE CANCELLO - FRASSO TELESINO E VARIANTE ALLA LINEA ROMA-NAPOLI VIA CASSINO NEL COMUNE DI MADDALONI – PROGETTO ESECUTIVO												
Pila 10: Relazione di calcolo	<table border="1"> <tr> <td>COMMESSA</td> <td>LOTTO</td> <td>CODIFICA</td> <td>DOCUMENTO</td> <td>REV.</td> <td>FOGLIO</td> </tr> <tr> <td>IF1N</td> <td>01 E ZZ</td> <td>CL</td> <td>VI0605 008</td> <td>B</td> <td>79 di 137</td> </tr> </table>	COMMESSA	LOTTO	CODIFICA	DOCUMENTO	REV.	FOGLIO	IF1N	01 E ZZ	CL	VI0605 008	B	79 di 137
COMMESSA	LOTTO	CODIFICA	DOCUMENTO	REV.	FOGLIO								
IF1N	01 E ZZ	CL	VI0605 008	B	79 di 137								

6.3.4.2 DISPOSIZIONE DI CARICO 2 (Q42)

	<u>IMPALCATO-SX</u>		<u>IMPALCATO-DX</u>	
	Reazioni vincolari B		Reazioni vincolari A	
<u>Serpeggio LM71</u>				
Forza serpeggio =	100,00	kN	100,00	kN
$\alpha =$	1,10		1,10	
<u>Serpeggio SW/2</u>				
Forza serpeggio =	100,00	kN	100,00	kN
$\alpha =$	1,00		1,00	
<u>Forza totale serpeggio</u>				
F2 =	210,00	kN	210,00	kN
h rispetto a intradosso imp. =	3,28	m	3,28	m
<u>Risultanti reazioni vincolari</u>				
F1 =	0		0	
F2 =	0	kN	-210	kN
F3 =	0		0	
M1 =	0	kNm	689	kNm
M2 =	0		0	
M3 =	0		0	

  	ITINERARIO NAPOLI – BARI RADDOPPIO TRATTA CANCELLO – BENEVENTO I° LOTTO FUNZIONALE CANCELLO - FRASSO TELESINO E VARIANTE ALLA LINEA ROMA-NAPOLI VIA CASSINO NEL COMUNE DI MADDALONI – PROGETTO ESECUTIVO												
Pila 10: Relazione di calcolo	<table border="1"> <tr> <td>COMMESSA</td> <td>LOTTO</td> <td>CODIFICA</td> <td>DOCUMENTO</td> <td>REV.</td> <td>FOGLIO</td> </tr> <tr> <td>IF1N</td> <td>01 E ZZ</td> <td>CL</td> <td>VI0605 008</td> <td>B</td> <td>80 di 137</td> </tr> </table>	COMMESSA	LOTTO	CODIFICA	DOCUMENTO	REV.	FOGLIO	IF1N	01 E ZZ	CL	VI0605 008	B	80 di 137
COMMESSA	LOTTO	CODIFICA	DOCUMENTO	REV.	FOGLIO								
IF1N	01 E ZZ	CL	VI0605 008	B	80 di 137								

6.3.4.3 DISPOSIZIONE DI CARICO 3 (Q43)

	<u>IMPALCATO-SX</u>		<u>IMPALCATO-DX</u>	
	Reazioni vincolari B		Reazioni vincolari A	
<u>Serpeggio LM71</u>				
Forza serpeggio =	0,00	kN	0,00	kN
$\alpha =$	1,10		1,10	
<u>Serpeggio SW/2</u>				
Forza serpeggio =	100,00	kN	100,00	kN
$\alpha =$	1,00		1,00	
<u>Forza totale serpeggio</u>				
F2 =	100,00	kN	100,00	kN
h rispetto a intradosso imp. =	3,28	m	3,28	m
<u>Risultanti reazioni vincolari</u>				
F1 =	0		0	
F2 =	-50	kN	-50	kN
F3 =	0		0	
M1 =	164	kNm	164	kNm
M2 =	0		0	
M3 =	0		0	

  	ITINERARIO NAPOLI – BARI RADDOPPIO TRATTA CANCELLO – BENEVENTO I° LOTTO FUNZIONALE CANCELLO - FRASSO TELESINO E VARIANTE ALLA LINEA ROMA-NAPOLI VIA CASSINO NEL COMUNE DI MADDALONI – PROGETTO ESECUTIVO												
Pila 10: Relazione di calcolo	<table border="1"> <tr> <td>COMMESSA</td> <td>LOTTO</td> <td>CODIFICA</td> <td>DOCUMENTO</td> <td>REV.</td> <td>FOGLIO</td> </tr> <tr> <td>IF1N</td> <td>01 E ZZ</td> <td>CL</td> <td>VI0605 008</td> <td>B</td> <td>81 di 137</td> </tr> </table>	COMMESSA	LOTTO	CODIFICA	DOCUMENTO	REV.	FOGLIO	IF1N	01 E ZZ	CL	VI0605 008	B	81 di 137
COMMESSA	LOTTO	CODIFICA	DOCUMENTO	REV.	FOGLIO								
IF1N	01 E ZZ	CL	VI0605 008	B	81 di 137								

6.3.4.4 DISPOSIZIONE DI CARICO 4 (Q44)

	<u>IMPALCATO-SX</u>		<u>IMPALCATO-DX</u>	
	Reazioni vincolari B		Reazioni vincolari A	
<u>Serpeggio LM71</u>				
Forza serpeggio =	100,00	kN	100,00	kN
$\alpha =$	1,10		1,10	
<u>Serpeggio SW/2</u>				
Forza serpeggio =	0,00	kN	0,00	kN
$\alpha =$	1,00		1,00	
<u>Forza totale serpeggio</u>				
F2 =	110,00	kN	110,00	kN
h rispetto a intradosso imp. =	3,28	m	3,28	m
<u>Risultanti reazioni vincolari</u>				
F1 =	0		0	
F2 =	-55	kN	-55	kN
F3 =	0		0	
M1 =	180	kNm	180	kNm
M2 =	0		0	
M3 =	0		0	

  	ITINERARIO NAPOLI – BARI RADDOPPIO TRATTA CANCELLO – BENEVENTO I° LOTTO FUNZIONALE CANCELLO - FRASSO TELESINO E VARIANTE ALLA LINEA ROMA-NAPOLI VIA CASSINO NEL COMUNE DI MADDALONI – PROGETTO ESECUTIVO												
Pila 10: Relazione di calcolo	<table border="1"> <tr> <td>COMMESSA</td> <td>LOTTO</td> <td>CODIFICA</td> <td>DOCUMENTO</td> <td>REV.</td> <td>FOGLIO</td> </tr> <tr> <td>IF1N</td> <td>01 E ZZ</td> <td>CL</td> <td>VI0605 008</td> <td>B</td> <td>82 di 137</td> </tr> </table>	COMMESSA	LOTTO	CODIFICA	DOCUMENTO	REV.	FOGLIO	IF1N	01 E ZZ	CL	VI0605 008	B	82 di 137
COMMESSA	LOTTO	CODIFICA	DOCUMENTO	REV.	FOGLIO								
IF1N	01 E ZZ	CL	VI0605 008	B	82 di 137								

6.3.4.5 DISPOSIZIONE DI CARICO 5 (Q45)

	<u>IMPALCATO-SX</u>		<u>IMPALCATO-DX</u>	
	Reazioni vincolari B		Reazioni vincolari A	
<u>Serpeggio LM71</u>				
Forza serpeggio =	100,00	kN	100,00	kN
$\alpha =$	1,10		1,10	
<u>Serpeggio SW/2</u>				
Forza serpeggio =	100,00	kN	100,00	kN
$\alpha =$	1,00		1,00	
<u>Forza totale serpeggio</u>				
F2 =	210,00	kN	210,00	kN
h rispetto a intradosso imp. =	3,28	m	3,28	m
<u>Risultanti reazioni vincolari</u>				
F1 =	0		0	
F2 =	-105	kN	-105	kN
F3 =	0		0	
M1 =	344	kNm	344	kNm
M2 =	0		0	
M3 =	0		0	

  	ITINERARIO NAPOLI – BARI RADDOPPIO TRATTA CANCELLO – BENEVENTO I° LOTTO FUNZIONALE CANCELLO - FRASSO TELESINO E VARIANTE ALLA LINEA ROMA-NAPOLI VIA CASSINO NEL COMUNE DI MADDALONI – PROGETTO ESECUTIVO												
Pila 10: Relazione di calcolo	<table border="1"> <tr> <td>COMMESSA</td> <td>LOTTO</td> <td>CODIFICA</td> <td>DOCUMENTO</td> <td>REV.</td> <td>FOGLIO</td> </tr> <tr> <td>IF1N</td> <td>01 E ZZ</td> <td>CL</td> <td>VI0605 008</td> <td>B</td> <td>83 di 137</td> </tr> </table>	COMMESSA	LOTTO	CODIFICA	DOCUMENTO	REV.	FOGLIO	IF1N	01 E ZZ	CL	VI0605 008	B	83 di 137
COMMESSA	LOTTO	CODIFICA	DOCUMENTO	REV.	FOGLIO								
IF1N	01 E ZZ	CL	VI0605 008	B	83 di 137								

6.3.4.6 DISPOSIZIONE DI CARICO 6 (Q46)

	<u>IMPALCATO-SX</u>		<u>IMPALCATO-DX</u>	
	Reazioni vincolari B		Reazioni vincolari A	
<u>Serpeggio LM71</u>				
Forza serpeggio =	100,00	kN	100,00	kN
$\alpha =$	1,10		1,10	
<u>Serpeggio SW/2</u>				
Forza serpeggio =	100,00	kN	100,00	kN
$\alpha =$	1,00		1,00	
<u>Forza totale serpeggio</u>				
F2 =	210,00	kN	210,00	kN
h rispetto a intradosso imp. =	3,28	m	3,28	m
<u>Risultanti reazioni vincolari</u>				
F1 =	0		0	
F2 =	-105	kN	-105	kN
F3 =	0		0	
M1 =	344	kNm	344	kNm
M2 =	0		0	
M3 =	0		0	

  	ITINERARIO NAPOLI – BARI RADDOPPIO TRATTA CANCELLO – BENEVENTO I° LOTTO FUNZIONALE CANCELLO - FRASSO TELESINO E VARIANTE ALLA LINEA ROMA-NAPOLI VIA CASSINO NEL COMUNE DI MADDALONI – PROGETTO ESECUTIVO												
Pila 10: Relazione di calcolo	<table border="1"> <tr> <td>COMMESSA</td> <td>LOTTO</td> <td>CODIFICA</td> <td>DOCUMENTO</td> <td>REV.</td> <td>FOGLIO</td> </tr> <tr> <td>IF1N</td> <td>01 E ZZ</td> <td>CL</td> <td>VI0605 008</td> <td>B</td> <td>84 di 137</td> </tr> </table>	COMMESSA	LOTTO	CODIFICA	DOCUMENTO	REV.	FOGLIO	IF1N	01 E ZZ	CL	VI0605 008	B	84 di 137
COMMESSA	LOTTO	CODIFICA	DOCUMENTO	REV.	FOGLIO								
IF1N	01 E ZZ	CL	VI0605 008	B	84 di 137								

6.3.4.7 DISPOSIZIONE DI CARICO 7 (Q47)

	<u>IMPALCATO-SX</u>		<u>IMPALCATO-DX</u>	
	Reazioni vincolari B		Reazioni vincolari A	
<u>Serpeggio LM71</u>				
Forza serpeggio =	100,00	kN	100,00	kN
$\alpha =$	1,10		1,10	
<u>Serpeggio SW/2</u>				
Forza serpeggio =	100,00	kN	100,00	kN
$\alpha =$	1,00		1,00	
<u>Forza totale serpeggio</u>				
F2 =	210,00	kN	210,00	kN
h rispetto a intradosso imp. =	3,28	m	3,28	m
<u>Risultanti reazioni vincolari</u>				
F1 =	0		0	
F2 =	0	kN	-210	kN
F3 =	0		0	
M1 =	0	kNm	689	kNm
M2 =	0		0	
M3 =	0		0	

  	ITINERARIO NAPOLI – BARI RADDOPPIO TRATTA CANCELLO – BENEVENTO I° LOTTO FUNZIONALE CANCELLO - FRASSO TELESINO E VARIANTE ALLA LINEA ROMA-NAPOLI VIA CASSINO NEL COMUNE DI MADDALONI – PROGETTO ESECUTIVO												
Pila 10: Relazione di calcolo	<table border="1"> <thead> <tr> <th>COMMESSA</th> <th>LOTTO</th> <th>CODIFICA</th> <th>DOCUMENTO</th> <th>REV.</th> <th>FOGLIO</th> </tr> </thead> <tbody> <tr> <td>IF1N</td> <td>01 E ZZ</td> <td>CL</td> <td>VI0605 008</td> <td>B</td> <td>85 di 137</td> </tr> </tbody> </table>	COMMESSA	LOTTO	CODIFICA	DOCUMENTO	REV.	FOGLIO	IF1N	01 E ZZ	CL	VI0605 008	B	85 di 137
COMMESSA	LOTTO	CODIFICA	DOCUMENTO	REV.	FOGLIO								
IF1N	01 E ZZ	CL	VI0605 008	B	85 di 137								

6.4 CARICHI VARIABILI (Q5)

6.4.1 AZIONI DEL VENTO (Q51)

L'azione del vento viene ricondotta ad un'azione statica equivalente costituita da pressioni e depressioni agenti normalmente alle superfici.

La pressione del vento è data dalla seguente espressione:

$$p = q_b \cdot C_e \cdot C_p \cdot C_d$$

dove

- q_b pressione cinetica di riferimento
- C_e coefficiente di esposizione
- C_p coefficiente di forma
- C_d coefficiente dinamico, posto generalmente pari a 1

Di seguito si riporta il dettaglio del calcolo di tali fattori per l'opera in oggetto.

  	ITINERARIO NAPOLI – BARI RADDOPPIO TRATTA CANCELLO – BENEVENTO I° LOTTO FUNZIONALE CANCELLO - FRASSO TELESINO E VARIANTE ALLA LINEA ROMA-NAPOLI VIA CASSINO NEL COMUNE DI MADDALONI – PROGETTO ESECUTIVO												
Pila 10: Relazione di calcolo	<table border="1"> <thead> <tr> <th>COMMESSA</th> <th>LOTTO</th> <th>CODIFICA</th> <th>DOCUMENTO</th> <th>REV.</th> <th>FOGLIO</th> </tr> </thead> <tbody> <tr> <td>IF1N</td> <td>01 E ZZ</td> <td>CL</td> <td>VI0605 008</td> <td>B</td> <td>86 di 137</td> </tr> </tbody> </table>	COMMESSA	LOTTO	CODIFICA	DOCUMENTO	REV.	FOGLIO	IF1N	01 E ZZ	CL	VI0605 008	B	86 di 137
COMMESSA	LOTTO	CODIFICA	DOCUMENTO	REV.	FOGLIO								
IF1N	01 E ZZ	CL	VI0605 008	B	86 di 137								

6.4.1.1 *PRESSIONE CINETICA DI RIFERIMENTO*

La pressione cinetica di riferimento si determina mediante l'espressione:

$$q_b = \frac{1}{2} \cdot \rho \cdot v_b^2 \text{ (in N/m}^2\text{)}$$

dove v_b velocità di riferimento
 ρ densità dell'aria, convenzionalmente posta pari a 1,25 kg/m³

Di seguito si determina la pressione di riferimento sulla base dei parametri caratteristici del sito e il tempo di ritorno dell'opera in oggetto:

Parametri dipendenti dal sito

Zona =	3	
$v_{b,0}$ =	27,00	m/s
a_0 =	500,00	m
k_a =	0,02	1/s

Altitudine del sito

a_s =	80,00	m s.l.m.
v_b =	27,00	m/s

Tempo di ritorno

TR =	100	anni
$\alpha_R(TR)$ =	1,04	
$v_b(TR)$ =	28.06	m/s

Pressione di riferimento

q_b =	492.08	N/m ²
---------	--------	------------------

  	ITINERARIO NAPOLI – BARI RADDOPPIO TRATTA CANCELLO – BENEVENTO I° LOTTO FUNZIONALE CANCELLO - FRASSO TELESINO E VARIANTE ALLA LINEA ROMA-NAPOLI VIA CASSINO NEL COMUNE DI MADDALONI – PROGETTO ESECUTIVO												
Pila 10: Relazione di calcolo	<table border="1"> <thead> <tr> <th>COMMESSA</th> <th>LOTTO</th> <th>CODIFICA</th> <th>DOCUMENTO</th> <th>REV.</th> <th>FOGLIO</th> </tr> </thead> <tbody> <tr> <td>IF1N</td> <td>01 E ZZ</td> <td>CL</td> <td>VI0605 008</td> <td>B</td> <td>87 di 137</td> </tr> </tbody> </table>	COMMESSA	LOTTO	CODIFICA	DOCUMENTO	REV.	FOGLIO	IF1N	01 E ZZ	CL	VI0605 008	B	87 di 137
COMMESSA	LOTTO	CODIFICA	DOCUMENTO	REV.	FOGLIO								
IF1N	01 E ZZ	CL	VI0605 008	B	87 di 137								

6.4.1.2 COEFFICIENTE DI ESPOSIZIONE

Il coefficiente di esposizione c_e dipende dall'altezza z sul suolo del punto considerato, dalla topografia del terreno e dalla categoria di esposizione del sito e si determina mediante l'espressione:

$$c_e(z) = k_r \cdot c_t \cdot \ln(z/z_0) [7 + c_t \cdot \ln(z/z_0)] \quad \text{per } z \geq z_{\min}$$

$$c_e(z) = c_e(z_{\min}) \quad \text{per } z < z_{\min}$$

dove k_r , z_0 , z_{\min} sono parametri che dipendono dalla categoria di esposizione del sito;

c_t è il coefficiente di topografia, posto generalmente pari a 1

Di seguito si determina il coefficiente di esposizione sulla base della classe d'esposizione e l'altezza z del punto considerato, posta pari alla massima quota del complesso impalcato, barriere antirumore, sagoma del treno. A tal proposito il §1.4.4.2 [3] impone di considerare il treno come una superficie piana continua convenzionalmente alta 4,00 m sul p.f.. Cautelativamente si considerano presenti barriere H4 ad entrambe le estremità dell'impalcato.

Categoria di esposizione

Classe di rugosità = D
Distanza dalla costa = < 30 km

Categoria di esposizione = II
 k_r = 0,19
 z_0 = 0,05 m
 z_{\min} = 4,00 m

Quota di riferimento z

H pila fino a intradosso imp. = 7.4 m
H imp. fino a p.f. = 3,28 m
H b.a. su p.f. = 4,67 m
H min b.a. su p.f. = 3,35 m
H treno su p.f. = 4,00 m

 z di riferimento = 15.35 m

Coefficiente di esposizione

c_e = 2.65

Pila 10: Relazione di calcolo

COMMESSA	LOTTO	CODIFICA	DOCUMENTO	REV.	FOGLIO
IF1N	01 E ZZ	CL	VI0605 008	B	88 di 137

6.4.1.3 COEFFICIENTE DI FORMA DELL'IMPALCATO

Il coefficiente di forma dell'impalcato e l'area di riferimento per il calcolo della forza risultante si determinano in base ai criteri enunciati nel §8.3.1 [9].

A tal proposito si riconduce il coefficiente di forma c_p al coefficiente di forza $c_{fx,0}$. Il coefficiente di forza $c_{fx,0}$ si determina in base al rapporto tra larghezza b e altezza totale dell'impalcato d_{tot} .

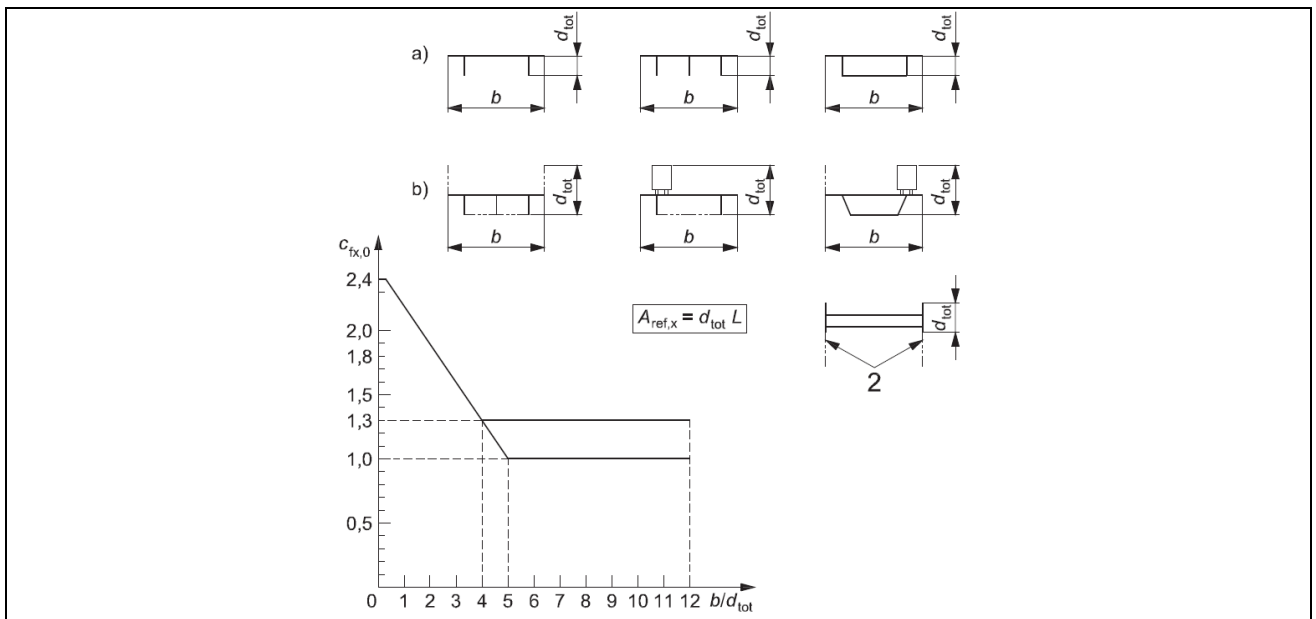


Figura 37 – Correlazione tra il rapporto b/d_{tot} e coefficiente di forma $c_{fx,0}$ (figura 8.3 EC1-4)

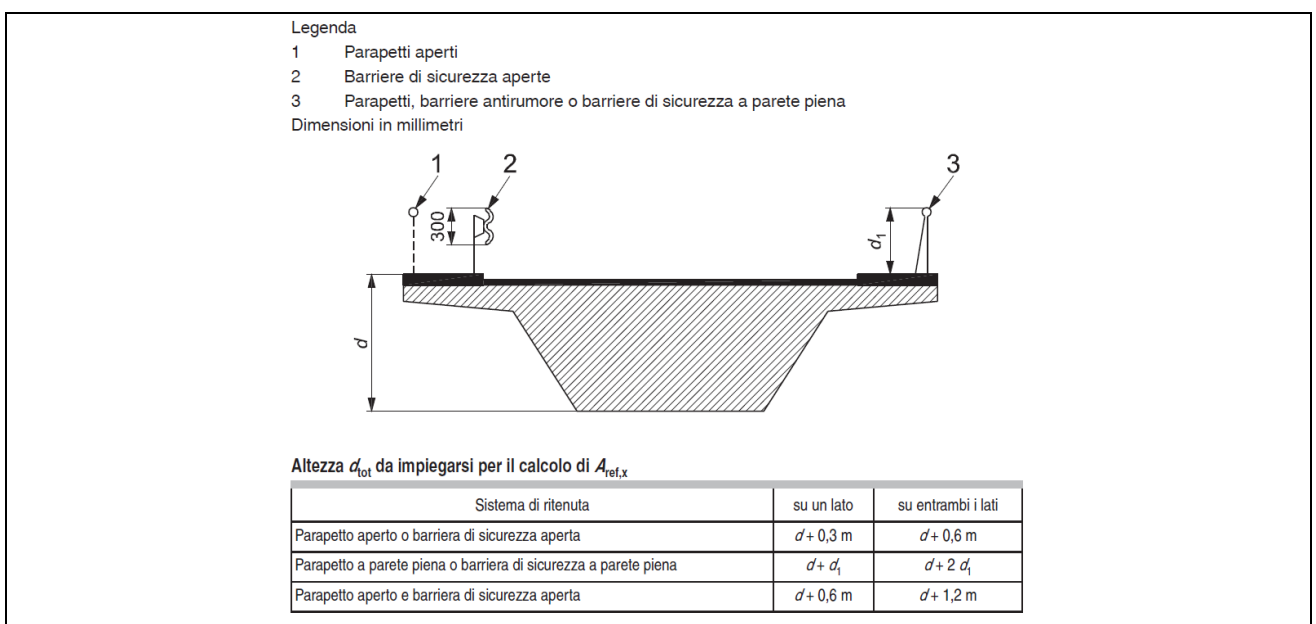


Figura 38 – Criteri per la determinazione dell'area di riferimento (figura 8.5 EC1-4)

  	ITINERARIO NAPOLI – BARI RADDOPPIO TRATTA CANCELLO – BENEVENTO I° LOTTO FUNZIONALE CANCELLO - FRASSO TELESINO E VARIANTE ALLA LINEA ROMA-NAPOLI VIA CASSINO NEL COMUNE DI MADDALONI – PROGETTO ESECUTIVO												
Pila 10: Relazione di calcolo	<table border="1"> <tr> <td>COMMESSA</td> <td>LOTTO</td> <td>CODIFICA</td> <td>DOCUMENTO</td> <td>REV.</td> <td>FOGLIO</td> </tr> <tr> <td>IF1N</td> <td>01 E ZZ</td> <td>CL</td> <td>VI0605 008</td> <td>B</td> <td>89 di 137</td> </tr> </table>	COMMESSA	LOTTO	CODIFICA	DOCUMENTO	REV.	FOGLIO	IF1N	01 E ZZ	CL	VI0605 008	B	89 di 137
COMMESSA	LOTTO	CODIFICA	DOCUMENTO	REV.	FOGLIO								
IF1N	01 E ZZ	CL	VI0605 008	B	89 di 137								

l'area da considerare per il calcolo della risultante di forza si definisce come la somma di tutte le superfici proiettate dall'impalcato nel piano longitudinale, comprese le barriere e la sagoma dei veicoli.

Per il caso in esame si ha:

Caratteristiche geometriche dell'impalcato

	<u>IMPALCATO-SX</u>		<u>IMPALCATO-DX</u>	
b =	13,70	m	13,70	m
H b.a. su p.f. =	4,67	m	4,67	m
dtot =	7,95	m	7,95	m
b/dtot =	1,72		1,72	
cp =	1,98		1,98	

Coefficiente di forma

cp,max =	1,98
----------	------

Area di riferimento

H impalcato da intrad. a p.f. =	3,28	m	3,28	m
H barriera su p.f. sx =	4,67	m	4,67	m
H barriera su p.f. dx =	4,67	m	4,67	m
H b.a. min su p.f. =	3,35	m	3,35	m
H treno su p.f. =	4,00	m	4,00	m
dtot2 =	12,62	m	12,62	m
L impalcato =	25,00	m	25,00	m
Arif =	315,50	m ²	315,50	m ²

  	ITINERARIO NAPOLI – BARI RADDOPPIO TRATTA CANCELLO – BENEVENTO I° LOTTO FUNZIONALE CANCELLO - FRASSO TELESINO E VARIANTE ALLA LINEA ROMA-NAPOLI VIA CASSINO NEL COMUNE DI MADDALONI – PROGETTO ESECUTIVO												
Pila 10: Relazione di calcolo	<table border="1"> <tr> <td>COMMESSA</td> <td>LOTTO</td> <td>CODIFICA</td> <td>DOCUMENTO</td> <td>REV.</td> <td>FOGLIO</td> </tr> <tr> <td>IF1N</td> <td>01 E ZZ</td> <td>CL</td> <td>VI0605 008</td> <td>B</td> <td>90 di 137</td> </tr> </table>	COMMESSA	LOTTO	CODIFICA	DOCUMENTO	REV.	FOGLIO	IF1N	01 E ZZ	CL	VI0605 008	B	90 di 137
COMMESSA	LOTTO	CODIFICA	DOCUMENTO	REV.	FOGLIO								
IF1N	01 E ZZ	CL	VI0605 008	B	90 di 137								

6.4.1.4 AZIONE DEL VENTO SULL'IMPALCATO

Di seguito si procede al calcolo dell'azione del vento sull'impalcato in relazione ai parametri determinati nei paragrafi precedenti.

	<u>IMPALCATO-SX</u>		<u>IMPALCATO-DX</u>	
<u>Pressione del vento</u>				
qb =	492.08	N/m ²	492.08	N/m ²
ce =	2.65		2.65	
cp =	1,98		1,98	
cd =	1,00		1,00	
qb = qb · ce · cp · cd =	2.59	kN/m ²	2.59	kN/m ²
<u>Area di riferimento</u>				
Arif =	315,50	m ²	315,50	m ²
H rispetto a intrad. imp. =	5,62	m	5,62	m
<u>Risultante totale forza del vento</u>				
Fvh =	816.63	kN	816.63	kN
Mvt =	4585.37	kNm	4585.37	kNm
<u>Risultanti reazioni vincolari</u>				
F1 =	0		0	
F2 =	-408	kN	-408	kN
F3 =	0		0	
M1 =	2293	kNm	2293	kNm
M2 =	0		0	
M3 =	0		0	

	ITINERARIO NAPOLI – BARI RADDOPPIO TRATTA CANCELLO – BENEVENTO I° LOTTO FUNZIONALE CANCELLO - FRASSO TELESINO E VARIANTE ALLA LINEA ROMA-NAPOLI VIA CASSINO NEL COMUNE DI MADDALONI – PROGETTO ESECUTIVO												
Pila 10: Relazione di calcolo	<table border="1"> <thead> <tr> <th>COMMESSA</th> <th>LOTTO</th> <th>CODIFICA</th> <th>DOCUMENTO</th> <th>REV.</th> <th>FOGLIO</th> </tr> </thead> <tbody> <tr> <td>IF1N</td> <td>01 E ZZ</td> <td>CL</td> <td>VI0605 008</td> <td>B</td> <td>91 di 137</td> </tr> </tbody> </table>	COMMESSA	LOTTO	CODIFICA	DOCUMENTO	REV.	FOGLIO	IF1N	01 E ZZ	CL	VI0605 008	B	91 di 137
COMMESSA	LOTTO	CODIFICA	DOCUMENTO	REV.	FOGLIO								
IF1N	01 E ZZ	CL	VI0605 008	B	91 di 137								

6.4.1.5 COEFFICIENTE DI FORMA DELLA PILA

Nel caso di pila con sezione circolare, il coefficiente di forma della pila e l'area di riferimento per il calcolo della risultante si determinano in base alle indicazioni del §7.9.2 [9].

A tal proposito si riconduce il coefficiente di forma c_p al coefficiente di forza c_f .

Il coefficiente di esposizione c_f si determina mediante l'espressione:

$$c_f = c_{f,0} \cdot \psi_\lambda$$

dove $c_{f,0}$ è il coefficiente di forma in assenza di effetto di estremità;

ψ_λ è il fattore di effetto di estremità, posto cautelativamente pari a 1.

Il valore di $c_{f,0}$ si determina in funzione del numero di Reynolds e della rugosità equivalente mediante l'abaco riportato in Figura 34. Per il caso in questione, a favore di sicurezza, si pone $c_{f,0}$ pari a 1,2 indipendentemente dai valori del numero di Reynolds e della rugosità equivalente.

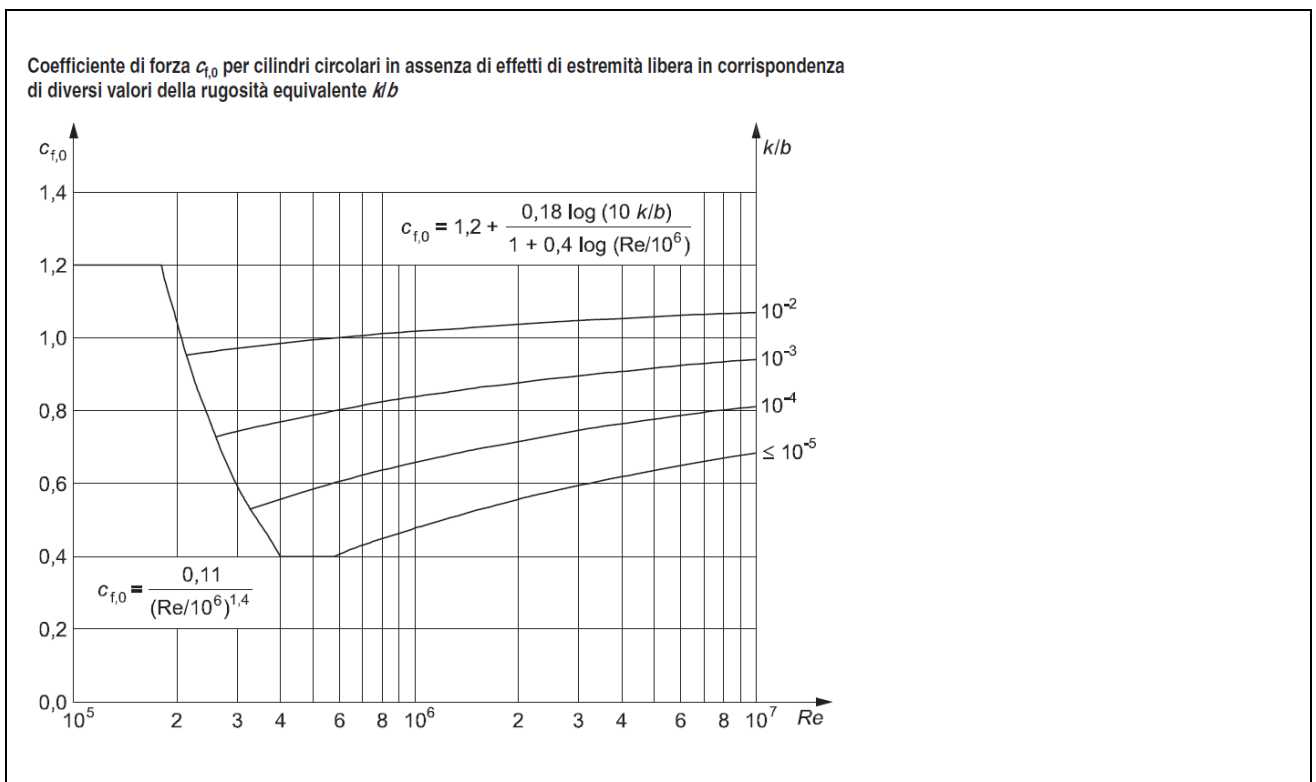


Figura 39 – Correlazione tra numero di Reynolds, la rugosità equivalente e coefficiente di forma $c_{f,0}$ (figura 7.28 EC1-4)

Nel caso di pila con sezione rettangolare, il coefficiente di forma della pila e l'area di riferimento per il calcolo della risultante si determinano in base alle indicazioni del §7.6 [9]. A tal proposito si riconduce il coefficiente di forma c_p al coefficiente di forza c_f .

	ITINERARIO NAPOLI – BARI RADDOPPIO TRATTA CANCELLO – BENEVENTO I° LOTTO FUNZIONALE CANCELLO - FRASSO TELESINO E VARIANTE ALLA LINEA ROMA-NAPOLI VIA CASSINO NEL COMUNE DI MADDALONI – PROGETTO ESECUTIVO					
Pila 10: Relazione di calcolo	COMMESSA IF1N	LOTTO 01 E ZZ	CODIFICA CL	DOCUMENTO VI0605 008	REV. B	FOGLIO 92 di 137

Il coefficiente di esposizione c_f si determina mediante l'espressione:

$$c_f = c_{f,0} \cdot \psi_r \cdot \psi_\lambda$$

- dove
- $c_{f,0}$ è il coefficiente di forma in assenza di effetto di estremità;
 - ψ_r è il fattore riduttivo per sezioni con spigoli arrotondati;
 - ψ_λ è il fattore di effetto di estremità, posto cautelativamente pari a 1.

I valori di $c_{f,0}$ e ψ_r si determinano in funzione del rapporto tra le dimensioni in sezione dell'elemento investito, secondo gli abachi riportati nella Figura 35.

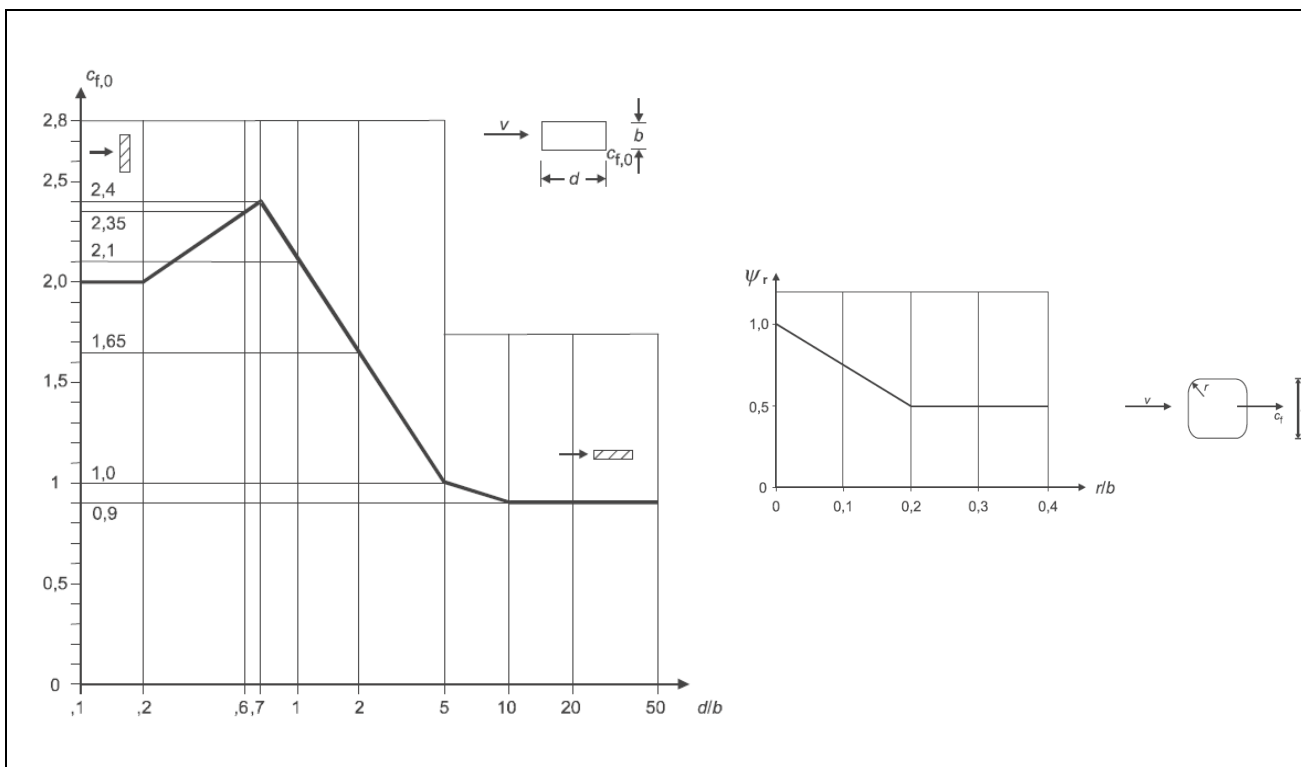


Figura 40 – Correlazione tra dimensioni in sezione dell'elemento e il coefficiente di forma $c_{f,0}$ (figura 7.23 EC1-4) e correlazione tra il raggio di arrotondamento dello spigolo e il fattore riduttivo ψ_r (figura 7.24 EC1-4)

  	ITINERARIO NAPOLI – BARI RADDOPPIO TRATTA CANCELLO – BENEVENTO I° LOTTO FUNZIONALE CANCELLO - FRASSO TELESINO E VARIANTE ALLA LINEA ROMA-NAPOLI VIA CASSINO NEL COMUNE DI MADDALONI – PROGETTO ESECUTIVO												
Pila 10: Relazione di calcolo	<table border="1"> <thead> <tr> <th>COMMESSA</th> <th>LOTTO</th> <th>CODIFICA</th> <th>DOCUMENTO</th> <th>REV.</th> <th>FOGLIO</th> </tr> </thead> <tbody> <tr> <td>IF1N</td> <td>01 E ZZ</td> <td>CL</td> <td>VI0605 008</td> <td>B</td> <td>93 di 137</td> </tr> </tbody> </table>	COMMESSA	LOTTO	CODIFICA	DOCUMENTO	REV.	FOGLIO	IF1N	01 E ZZ	CL	VI0605 008	B	93 di 137
COMMESSA	LOTTO	CODIFICA	DOCUMENTO	REV.	FOGLIO								
IF1N	01 E ZZ	CL	VI0605 008	B	93 di 137								

L'area da considerare per il calcolo della risultante di forza si definisce come la superficie proiettata dalla pila nel piano longitudinale. Per il caso in esame si ha:

Caratteristiche geometriche della pila

Forma della pila =	Rettangolare cava smussata	
Dimensione proiettata nel piano b =	2.60	m
d =	8.60	m
d/b =	3.31	
cf,0 =	1.29	
r =	1,00	m
r/b =	0.38	
ψr =	0.50	
$\psi \lambda$ =	1.00	

Coefficiente di forma

$$c_p = c_f = c_{f,0} \cdot \psi r \cdot \psi \lambda = 1.00$$

Azione del vento sulla pila:

Pressione del vento

qb =	492.08	N/m ²
ce =	2.65	
cp =	1.00	
cd =	1.00	
qb = qb · ce · cp · cd =	1.31	kN/m ²

Risultante totale forza del vento

b =	2.60	m
f _{vh} =	3.39	kN/m

L'azione del vento così calcolata viene applicata come una forza uniformemente distribuita sugli elementi che compongono il fusto e il pulvino della pila.

  	ITINERARIO NAPOLI – BARI RADDOPPIO TRATTA CANCELLO – BENEVENTO I° LOTTO FUNZIONALE CANCELLO - FRASSO TELESINO E VARIANTE ALLA LINEA ROMA-NAPOLI VIA CASSINO NEL COMUNE DI MADDALONI – PROGETTO ESECUTIVO												
Pila 10: Relazione di calcolo	<table border="1"> <tr> <td>COMMESSA</td> <td>LOTTO</td> <td>CODIFICA</td> <td>DOCUMENTO</td> <td>REV.</td> <td>FOGLIO</td> </tr> <tr> <td>IF1N</td> <td>01 E ZZ</td> <td>CL</td> <td>VI0605 008</td> <td>B</td> <td>94 di 137</td> </tr> </table>	COMMESSA	LOTTO	CODIFICA	DOCUMENTO	REV.	FOGLIO	IF1N	01 E ZZ	CL	VI0605 008	B	94 di 137
COMMESSA	LOTTO	CODIFICA	DOCUMENTO	REV.	FOGLIO								
IF1N	01 E ZZ	CL	VI0605 008	B	94 di 137								

6.5 AZIONI INDIRETTE (Q6)

6.5.1 RESISTENZE PARASSITE NEI VINCOLI (Q61)

Per la valutazione delle coazioni generate dallo scorrimento dei vincoli, è stato considerato un coefficiente d'attrito f pari a 0,06, applicato alle azioni verticali agenti sugli apparecchi d'appoggio.

Con riferimento a quanto riportato nel §1.6.3 [3] la forza agente sulle pile per impalcati a travate isostatiche, facendo riferimento all'apparecchio d'appoggio maggiormente caricato tra i due presenti sulla pila, si considera pari a:

$$F_a = f (0,2 \cdot V_G + V_Q)$$

dove V_G reazione verticale massima associata ai carichi permanenti

V_Q reazione verticale massima associata ai carichi mobili dinamizzati

IMPALCATO-SX

IMPALCATO-DX

Reazioni verticali massime

$$V_G = F_3 (G_1 + G_2) = \quad 5826,14 \quad \text{kN} \quad \quad 5826,14 \quad \text{kN}$$

$$V_Q = F_3 (Q_{1\max}) = \quad 3558,56 \quad \text{kN} \quad \quad 3558,56 \quad \text{kN}$$

Forza d'attrito risultante per il singolo impalcato

$$f = \quad 0,06 \quad \quad 0,06$$

$$F_1 = \quad 283,43 \quad \text{kN} \quad \quad 283,43 \quad \text{kN}$$

Risultante azione parassita nei vincoli

$$F_{1\max} = \quad 283,43 \quad \text{kN}$$

Risultanti reazioni vincolari

$$F_1 = \quad 0 \quad \text{kN} \quad \quad -283 \quad \text{kN}$$

$$F_2 = \quad 0 \quad \quad 0$$

$$F_3 = \quad 0 \quad \quad 0$$

$$M_1 = \quad 0 \quad \quad 0$$

$$M_2 = \quad 0 \quad \quad 0$$

$$M_3 = \quad 0 \quad \quad 0$$

  	ITINERARIO NAPOLI – BARI RADDOPPIO TRATTA CANCELLO – BENEVENTO I° LOTTO FUNZIONALE CANCELLO - FRASSO TELESINO E VARIANTE ALLA LINEA ROMA-NAPOLI VIA CASSINO NEL COMUNE DI MADDALONI – PROGETTO ESECUTIVO												
Pila 10: Relazione di calcolo	<table border="1"> <tr> <td>COMMESSA</td> <td>LOTTO</td> <td>CODIFICA</td> <td>DOCUMENTO</td> <td>REV.</td> <td>FOGLIO</td> </tr> <tr> <td>IF1N</td> <td>01 E ZZ</td> <td>CL</td> <td>VI0605 008</td> <td>B</td> <td>95 di 137</td> </tr> </table>	COMMESSA	LOTTO	CODIFICA	DOCUMENTO	REV.	FOGLIO	IF1N	01 E ZZ	CL	VI0605 008	B	95 di 137
COMMESSA	LOTTO	CODIFICA	DOCUMENTO	REV.	FOGLIO								
IF1N	01 E ZZ	CL	VI0605 008	B	95 di 137								

6.6 EFFETTI D'INTERAZIONE (Q7)

Ove non applicabile il metodo semplificato per la valutazione delle azioni dovute agli effetti di interazione binario-struttura secondo quanto previsto nell'Allegato 3 delle specifiche RFI [3] si rimanda allo specifico elaborato:

IF0F.01.D.09.CL.VI0000.001 – *Viadotti ferroviari – Relazione di interazione treno-binario-struttura.*

6.6.1 VARIAZIONI TERMICHE DELL'IMPALCATO (Q71)

La presente azione si considera applicata in corrispondenza del piano ferro.

Di seguito si considera come prima pila la pila accostata alla spalla munita di appoggi fissi, si considera pertanto come ultima pila la pila accostata alla spalla munita di appoggi scorrevoli.

Dal §3.1 dell'Allegato 3 delle Specifiche RFI [3] si desume:

$$F_{ts} = \beta \cdot \alpha_{ts1} \cdot \alpha_{ts2} \cdot \alpha_{ts3} \cdot L \cdot q \cdot n$$

dove	α_{ts1}	0,70 nel caso di $\Delta t = 30 \text{ }^\circ\text{C}$ (valore massimo)
	α_{ts2}	1,00 (rigidezza massima della spalla)
	α_{ts3}	0,80 nel caso di viadotto con un numero di campate ≥ 3
	L	luce della campata
	q	resistenza allo scorrimento longitudinale del binario scarico, posto generalmente pari a 20,00 kN/m
	n	numero di binari
	β	0,40 nel caso dell'ultima pila
	β	0,20 nel caso della penultima e della prima pila
	β	0,00 nel caso delle pile intermedie
		Cautelativamente si pone β pari al suo valore massimo, ossia 0,4.

IMPALCATO-SX

IMPALCATO-DX

Reazione per variazioni termiche dell'impalcato

$\Delta T =$	30.00	$^\circ\text{C}$	30.00	$^\circ\text{C}$
L impalcato =	25.00	kN	25.00	kN
q =	20.00	kN/m	20.00	kN/m
n binari =	2.00		2.00	
$\alpha_{tp1} =$	0.70		0.70	
$\alpha_{tp2} =$	1.00		1.00	
$\alpha_{tp3} =$	1.00		1.00	
$F_{t,spalla} =$	700.00	kN	700.00	kN
$F_{t,pila} =$	280.00	kN	280.00	kN

  	ITINERARIO NAPOLI – BARI RADDOPPIO TRATTA CANCELLO – BENEVENTO I° LOTTO FUNZIONALE CANCELLO - FRASSO TELESINO E VARIANTE ALLA LINEA ROMA-NAPOLI VIA CASSINO NEL COMUNE DI MADDALONI – PROGETTO ESECUTIVO												
Pila 10: Relazione di calcolo	<table border="1"> <thead> <tr> <th>COMMESSA</th> <th>LOTTO</th> <th>CODIFICA</th> <th>DOCUMENTO</th> <th>REV.</th> <th>FOGLIO</th> </tr> </thead> <tbody> <tr> <td>IF1N</td> <td>01 E ZZ</td> <td>CL</td> <td>VI0605 008</td> <td>B</td> <td>96 di 137</td> </tr> </tbody> </table>	COMMESSA	LOTTO	CODIFICA	DOCUMENTO	REV.	FOGLIO	IF1N	01 E ZZ	CL	VI0605 008	B	96 di 137
COMMESSA	LOTTO	CODIFICA	DOCUMENTO	REV.	FOGLIO								
IF1N	01 E ZZ	CL	VI0605 008	B	96 di 137								

Tipo di vincolo = UL F
 Moltiplicatore = 0.00 1.00

Forza risultante

F1 = 0.00 kN 280.00 kN

Risultanti reazioni vincolari

F1 = 0 kN -280 kN
 F2 = 0
 F3 = 0
 M1 = 0
 M2 = 0
 M3 = 0

6.6.2 AZIONI DI FRENATURA E AVVIAMENTO

Gli effetti di interazione relativi alle azioni di frenatura e avviamento si tengono conto applicando ai valori della risultante un coefficiente α_n che tiene conto del rapporto di rigidità tra le pile del viadotto.

Cautelativamente, si prendono in considerazione le condizioni più sfavorevoli, ossia:

- per le azioni di frenatura del modello di carico LM71 : $\alpha_{hp} = \alpha_{hp3} = 1,60$
- per le azioni di frenatura del modello di carico SW/2 : $\alpha_{hp} = \alpha_{hp3} = 1,30$
- per le azioni di avviamento di entrambi i modelli di carico : $\alpha_{hp} = \alpha_{hp3} \cdot \alpha_{hp4} = 1,60 \cdot 0,70 = 1,12$

6.6.3 INFLESSIONE DELL'IMPALCATO DOVUTA AI CARICHI VERTICALI DA TRAFFICO

Le azioni longitudinali da inflessione impalcato esercitano delle spinte che si contrappongono alle flessioni generate dall'eccentricità dei carichi verticali. Per questo motivo a vantaggio di sicurezza tali azioni vengono trascurate nei calcoli successivi.

  	ITINERARIO NAPOLI – BARI RADDOPPIO TRATTA CANCELLO – BENEVENTO I° LOTTO FUNZIONALE CANCELLO - FRASSO TELESINO E VARIANTE ALLA LINEA ROMA-NAPOLI VIA CASSINO NEL COMUNE DI MADDALONI – PROGETTO ESECUTIVO												
Pila 10: Relazione di calcolo	<table border="1"> <tr> <td>COMMESSA</td> <td>LOTTO</td> <td>CODIFICA</td> <td>DOCUMENTO</td> <td>REV.</td> <td>FOGLIO</td> </tr> <tr> <td>IF1N</td> <td>01 E ZZ</td> <td>CL</td> <td>VI0605 008</td> <td>B</td> <td>97 di 137</td> </tr> </table>	COMMESSA	LOTTO	CODIFICA	DOCUMENTO	REV.	FOGLIO	IF1N	01 E ZZ	CL	VI0605 008	B	97 di 137
COMMESSA	LOTTO	CODIFICA	DOCUMENTO	REV.	FOGLIO								
IF1N	01 E ZZ	CL	VI0605 008	B	97 di 137								

6.7 AZIONI SISMICHE (E)

L'azione sismica di progetto è rappresentata da spettri di risposta definiti in base alla pericolosità sismica di base del sito ove sorge l'opera in oggetto, la vita di riferimento e le caratteristiche del sottosuolo.

Di seguito si riportano i parametri di input utilizzati per la definizione degli spettri di progetto orizzontali e verticali e i grafici degli stessi. Gli spettri di progetto così definiti vengono utilizzati nel modello di calcolo per la definizione di casi di analisi di tipo "dinamica lineare con spettro di risposta".

I valori del fattore di struttura q , adottati per la definizione delle azioni sismiche e per il dimensionamento degli elementi secondo i criteri della gerarchia delle resistenze, sono stati definiti in base ai criteri di seguito esplicitati.

Il valore del fattore di struttura q assunto per il dimensionamento delle fondazioni è pari a 1,5, in accordo con quanto indicato nel §1.8.3.3 [3] per le fondazioni su pali.

Per le strutture in elevazione, in accordo con quanto indicato nel §7.9.2.1 [1] per pile verticali inflesse in c.a. e progettazione in CD"B", si assume un fattore di struttura q_0 pari a 1,5 (vedi Tabella 1).

Per elementi duttili in c.a. i valori di q_0 riportati in Tabella 1, valgono se la sollecitazione di compressione normalizzata v_k non eccede il valore 0,3. Per valori di v_k compresi tra 0,3 e 0,6 (v_k non può eccedere 0,6) q_0 si ottiene dalla relazione seguente:

$$q_0(v_k) = q_0 - (v_k/0,3 - 1) \cdot (q_0 - 1)$$

Infine il fattore di struttura q da adottare nelle analisi si ottiene moltiplicando il q_0 così ottenuto per il coefficiente riduttivo K_R che dipende dalle caratteristiche di regolarità della struttura.

In generale il requisito di regolarità e quindi il valore di K_R si determinano a posteriori secondo il procedimento indicato nel §7.9.2.1 [1]. Per il caso in esame si ipotizza un K_R pari a 1.

$$q_0(v_k) = q_0 = 1,5$$

$$q = q_0(v_k) \cdot K_R = 1,5.$$

Tipi di elementi duttili	q_0	
	CD"B"	CD"A"
Pile in cemento armato		
Pile verticali inflesse	1,5	3,5 λ
Elementi di sostegno inclinati inflessi	1,2	2,1 λ
Pile in acciaio:		
Pile verticali inflesse	1,5	3,5
Elementi di sostegno inclinati inflessi	1,2	2,0
Pile con controventi concentrici	1,5	2,5
Pile con controventi eccentrici	-	3,5
Spalle rigidamente connesse con l'impalcato		
In generale	1,5	1,5
Strutture che si muovono col terreno ⁷	1,0	1,0
Archi	1,2	2,0

⁷ Le strutture che si muovono con il terreno non subiscono amplificazione dell'accelerazione del suolo. Esse sono caratterizzate da periodi naturali di vibrazione in direzione orizzontale molto bassi ($T \leq 0,03$ s). Appartengono a questa categoria le spalle connesse, mediante collegamenti flessibili, all'impalcato.

Tabella 1 – Valori del fattore struttura q_0 per differenti tipologie di pile e spalle - tabella 7.9.1 [1]

  	ITINERARIO NAPOLI – BARI RADDOPPIO TRATTA CANCELLO – BENEVENTO I° LOTTO FUNZIONALE CANCELLO - FRASSO TELESINO E VARIANTE ALLA LINEA ROMA-NAPOLI VIA CASSINO NEL COMUNE DI MADDALONI – PROGETTO ESECUTIVO												
Pila 10: Relazione di calcolo	<table border="1"> <tr> <td>COMMESSA</td> <td>LOTTO</td> <td>CODIFICA</td> <td>DOCUMENTO</td> <td>REV.</td> <td>FOGLIO</td> </tr> <tr> <td>IF1N</td> <td>01 E ZZ</td> <td>CL</td> <td>VI0605 008</td> <td>B</td> <td>98 di 137</td> </tr> </table>	COMMESSA	LOTTO	CODIFICA	DOCUMENTO	REV.	FOGLIO	IF1N	01 E ZZ	CL	VI0605 008	B	98 di 137
COMMESSA	LOTTO	CODIFICA	DOCUMENTO	REV.	FOGLIO								
IF1N	01 E ZZ	CL	VI0605 008	B	98 di 137								

6.7.1 SPETTRI DI PROGETTO ALLO SLV

Coordinate geografiche della pila:

PILA	Latitudine [°]	Longitudine [°]
P10	41.10038	14.43414

Strategia di progettazione

Vita nominale VN = 100 anni

Coefficiente d'uso cu = 2.0

Vita di riferimento VR = 200 anni

Categoria di sottosuolo = B

Categoria topografica = T1

Per la definizione della categoria di suolo si rimanda all'elaborato progettuale "IF1N.0.1.E.ZZ.RB.GE.00.0.5.001.A - Relazione geotecnica generale di linea delle opere all'aperto".

$q_0 = 1,50$

$K_r = 1,00$

Il valore di v_k è pari a :

0.05

Fattore di struttura q = 1,50

Smorzamento $\xi = 5,00$ %

  	ITINERARIO NAPOLI – BARI RADDOPPIO TRATTA CANCELLO – BENEVENTO I° LOTTO FUNZIONALE CANCELLO - FRASSO TELESINO E VARIANTE ALLA LINEA ROMA-NAPOLI VIA CASSINO NEL COMUNE DI MADDALONI – PROGETTO ESECUTIVO												
Pila 10: Relazione di calcolo	<table border="1"> <thead> <tr> <th>COMMESSA</th> <th>LOTTO</th> <th>CODIFICA</th> <th>DOCUMENTO</th> <th>REV.</th> <th>FOGLIO</th> </tr> </thead> <tbody> <tr> <td>IF1N</td> <td>01 E ZZ</td> <td>CL</td> <td>VI0605 008</td> <td>B</td> <td>99 di 137</td> </tr> </tbody> </table>	COMMESSA	LOTTO	CODIFICA	DOCUMENTO	REV.	FOGLIO	IF1N	01 E ZZ	CL	VI0605 008	B	99 di 137
COMMESSA	LOTTO	CODIFICA	DOCUMENTO	REV.	FOGLIO								
IF1N	01 E ZZ	CL	VI0605 008	B	99 di 137								

6.7.1.1 PARAMETRI PER LA DEFINIZIONE DELLO SPETTRO ORIZZONTALE

Tr	1898	anni
ag_o	0.232	g
Fo	2.576	
S	1.161	
TB	0.193	sec
TC	0.579	sec
TD	2.528	sec

6.7.1.2 PARAMETRI PER LA DEFINIZIONE DELLO SPETTRO VERTICALE

Tr	1898	anni
ag_v	0.151	g
Fv	2.576	
S	1.000	
TB	0.050	sec
TC	0.150	sec
TD	1.000	sec

  	ITINERARIO NAPOLI – BARI RADDOPPIO TRATTA CANCELLO – BENEVENTO 1° LOTTO FUNZIONALE CANCELLO - FRASSO TELESINO E VARIANTE ALLA LINEA ROMA-NAPOLI VIA CASSINO NEL COMUNE DI MADDALONI – PROGETTO ESECUTIVO												
Pila 10: Relazione di calcolo	<table border="1"> <thead> <tr> <th>COMMESSA</th> <th>LOTTO</th> <th>CODIFICA</th> <th>DOCUMENTO</th> <th>REV.</th> <th>FOGLIO</th> </tr> </thead> <tbody> <tr> <td>IF1N</td> <td>01 E ZZ</td> <td>CL</td> <td>VI0605 008</td> <td>B</td> <td>100 di 137</td> </tr> </tbody> </table>	COMMESSA	LOTTO	CODIFICA	DOCUMENTO	REV.	FOGLIO	IF1N	01 E ZZ	CL	VI0605 008	B	100 di 137
COMMESSA	LOTTO	CODIFICA	DOCUMENTO	REV.	FOGLIO								
IF1N	01 E ZZ	CL	VI0605 008	B	100 di 137								

Spettri di risposta (componenti orizz. e vert.) per lo stato limite: SLV

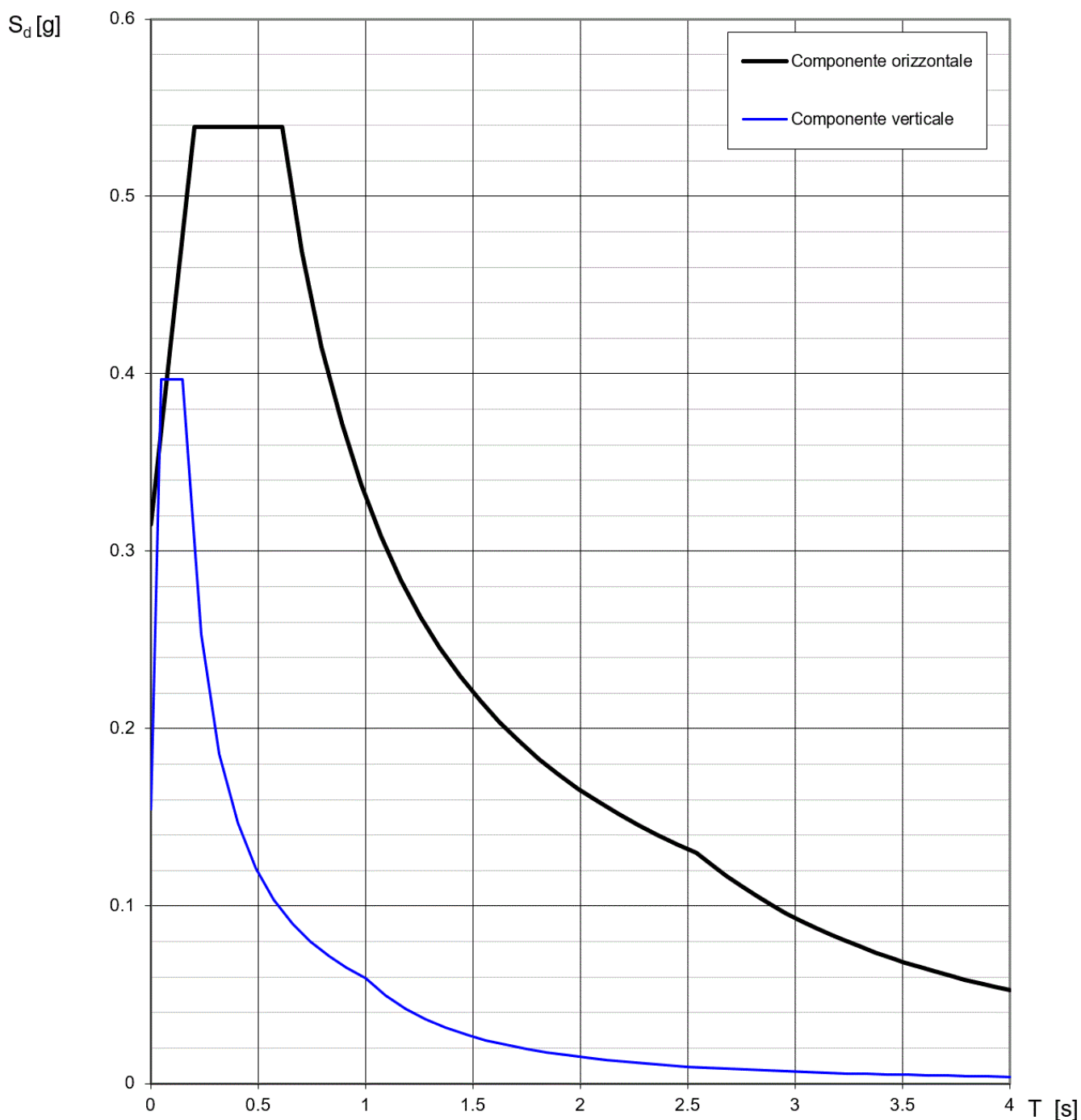


Figura 41 – Spettro elastico di progetto allo SLV – Componente orizzontale e verticale

  	ITINERARIO NAPOLI – BARI RADDOPPIO TRATTA CANCELLO – BENEVENTO I° LOTTO FUNZIONALE CANCELLO - FRASSO TELESINO E VARIANTE ALLA LINEA ROMA-NAPOLI VIA CASSINO NEL COMUNE DI MADDALONI – PROGETTO ESECUTIVO												
Pila 10: Relazione di calcolo	<table border="1" style="width: 100%; border-collapse: collapse;"> <tr> <td style="text-align: center;">COMMESSA</td> <td style="text-align: center;">LOTTO</td> <td style="text-align: center;">CODIFICA</td> <td style="text-align: center;">DOCUMENTO</td> <td style="text-align: center;">REV.</td> <td style="text-align: center;">FOGLIO</td> </tr> <tr> <td style="text-align: center;">IF1N</td> <td style="text-align: center;">01 E ZZ</td> <td style="text-align: center;">CL</td> <td style="text-align: center;">VI0605 008</td> <td style="text-align: center;">B</td> <td style="text-align: center;">101 di 137</td> </tr> </table>	COMMESSA	LOTTO	CODIFICA	DOCUMENTO	REV.	FOGLIO	IF1N	01 E ZZ	CL	VI0605 008	B	101 di 137
COMMESSA	LOTTO	CODIFICA	DOCUMENTO	REV.	FOGLIO								
IF1N	01 E ZZ	CL	VI0605 008	B	101 di 137								

7 COMBINAZIONI DI CARICO

Di seguito vengono riportate le tabelle che riepilogano le condizioni di carico elementari (C.C.E.) considerate.

	C.C.E.	Descrizione
G - Permanenti	G1	Pesi propri
	G21	Ballast
	G22	Permanenti non strutturali
Q1 - Variabili verticali	Q11	Disposizione 1 (massimizza N)
	Q12	Disposizione 2 (massimizza M2)
	Q13	Disposizione 3 (massimizza M1)
	Q14	Disposizione 4 (massimizza M1)
	Q15	Disposizione 5 (massimizza N+M2)
	Q16	Disposizione 6 (massimizza N)
	Q17	Disposizione 7 (minimizza N)
Q2 - Avviamento e frenatura	Q21	Disposizione 1 (massimizza N)
	Q22	Disposizione 2 (massimizza M2)
	Q23	Disposizione 3 (massimizza M1)
	Q24	Disposizione 4 (massimizza M1)
	Q25	Disposizione 5 (massimizza N+M2)
	Q26	Disposizione 6 (massimizza N)
	Q27	Disposizione 7 (minimizza N)
Q3 - Centrifuga	Q31	Disposizione 1 (massimizza N)
	Q32	Disposizione 2 (massimizza M2)
	Q33	Disposizione 3 (massimizza M1)
	Q34	Disposizione 4 (massimizza M1)
	Q35	Disposizione 5 (massimizza N+M2)
	Q36	Disposizione 6 (massimizza N)
	Q37	Disposizione 7 (minimizza N)
Q4 - Serpeggio	Q41	Disposizione 1 (massimizza N)
	Q42	Disposizione 2 (massimizza M2)
	Q43	Disposizione 3 (massimizza M1)
	Q44	Disposizione 4 (massimizza M1)
	Q45	Disposizione 5 (massimizza N+M2)
	Q46	Disposizione 6 (massimizza N)
	Q47	Disposizione 7 (minimizza N)
Variabili	Q51	Vento
Azioni interne	Q61	Attrito su vincoli
Effetti d'interazione	Q71	Variazioni termiche
E - Azioni sismiche	E1	Sisma x
	E2	Sisma y
	E3	Sisma z

  	ITINERARIO NAPOLI – BARI RADDOPPIO TRATTA CANCELLO – BENEVENTO I° LOTTO FUNZIONALE CANCELLO - FRASSO TELESINO E VARIANTE ALLA LINEA ROMA-NAPOLI VIA CASSINO NEL COMUNE DI MADDALONI – PROGETTO ESECUTIVO												
Pila 10: Relazione di calcolo	<table border="1" style="width: 100%; border-collapse: collapse;"> <tr> <td style="text-align: center;">COMMESSA</td> <td style="text-align: center;">LOTTO</td> <td style="text-align: center;">CODIFICA</td> <td style="text-align: center;">DOCUMENTO</td> <td style="text-align: center;">REV.</td> <td style="text-align: center;">FOGLIO</td> </tr> <tr> <td style="text-align: center;">IF1N</td> <td style="text-align: center;">01 E ZZ</td> <td style="text-align: center;">CL</td> <td style="text-align: center;">VI0605 008</td> <td style="text-align: center;">B</td> <td style="text-align: center;">102 di 137</td> </tr> </table>	COMMESSA	LOTTO	CODIFICA	DOCUMENTO	REV.	FOGLIO	IF1N	01 E ZZ	CL	VI0605 008	B	102 di 137
COMMESSA	LOTTO	CODIFICA	DOCUMENTO	REV.	FOGLIO								
IF1N	01 E ZZ	CL	VI0605 008	B	102 di 137								

Le combinazioni di calcolo sono state definite sulla base dei criteri enunciati nei §1.8.2.3 [3], §1.8.3.1 [3] e §1.8.3.2 [3] di cui si riportano di seguito alcuni stralci.

TIPO DI CARICO	Azioni verticali		Azioni orizzontali			Commenti
	Carico verticale (1)	Treno scarico	Frenatura e avviamento	Centrifuga	Serpeggio	
Gruppo 1 (2)	1,00	-	0,5 (0,0)	1,0 (0,0)	1,0 (0,0)	massima azione verticale e laterale
Gruppo 2 (2)	-	1,00	0,00	1,0 (0,0)	1,0(0,0)	stabilità laterale
Gruppo 3 (2)	1,0 (0,5)	-	1,00	0,5 (0,0)	0,5 (0,0)	massima azione longitudinale
Gruppo 4	0,8 (0,6; 0,4)	-	0,8 (0,6; 0,4)	0,8 (0,6; 0,4)	0,8 (0,6; 0,4)	fessurazione

Azione dominante
(1) Includendo tutti i fattori ad essi relativi (Φ, α , ecc...)
(2) La simultaneità di due o tre valori caratteristici interi (assunzione di diversi coefficienti pari ad 1), sebbene improbabile, è stata considerata come semplificazione per i gruppi di carico 1, 2, 3 senza che ciò abbia significative conseguenze progettuali.

Tabella 2 – Definizione dei gruppi di carico

		Coefficiente	EQU ⁽¹⁾	A1 STR	A2 GEO	Combinazione eccezionale	Combinazione Sismica
Carichi permanenti	favorevoli	γ_{G1}	0,90	1,00	1,00	1,00	1,00
	sfavorevoli		1,10	1,35	1,00	1,00	1,00
Carichi permanenti non strutturali ⁽²⁾	favorevoli	γ_{G2}	0,00	0,00	0,00	1,00	1,00
	sfavorevoli		1,50	1,50	1,30	1,00	1,00
Ballast ⁽³⁾	favorevoli	γ_B	0,90	1,00	1,00	1,00	1,00
	sfavorevoli		1,50	1,50	1,30	1,00	1,00
Carichi variabili da traffico ⁽⁴⁾	favorevoli	γ_Q	0,00	0,00	0,00	0,00	0,00
	sfavorevoli		1,45	1,45	1,25	0,20 ⁽⁵⁾	0,20 ⁽⁵⁾
Carichi variabili	favorevoli	γ_{Qi}	0,00	0,00	0,00	0,00	0,00
	sfavorevoli		1,50	1,50	1,30	1,00	0,00
Precompressione	favorevole	γ_P	0,90	1,00	1,00	1,00	1,00
	sfavorevole		1,00 ⁽⁶⁾	1,00 ⁽⁷⁾	1,00	1,00	1,00

⁽¹⁾ Equilibrio che non coinvolga i parametri di deformabilità e resistenza del terreno; altrimenti si applicano i valori di GEO.
⁽²⁾ Nel caso in cui i carichi permanenti non strutturali (ad es. carichi permanenti portati) siano compiutamente definiti si potranno adottare gli stessi coefficienti validi per le azioni permanenti.
⁽³⁾ Quando si prevedano variazioni significative del carico dovuto al ballast, se ne dovrà tener conto esplicitamente nelle verifiche.
⁽⁴⁾ Le componenti delle azioni da traffico sono introdotte in combinazione considerando uno dei gruppi di carico gr della Tab. 5.2.IV.
⁽⁵⁾ Aliquota di carico da traffico da considerare.
⁽⁶⁾ 1,30 per instabilità in strutture con precompressione esterna
⁽⁷⁾ 1,20 per effetti locali

Tabella 3 – Coefficienti parziali di sicurezza per le combinazioni agli SLU

  	ITINERARIO NAPOLI – BARI RADDOPPIO TRATTA CANCELLO – BENEVENTO I° LOTTO FUNZIONALE CANCELLO - FRASSO TELESINO E VARIANTE ALLA LINEA ROMA-NAPOLI VIA CASSINO NEL COMUNE DI MADDALONI – PROGETTO ESECUTIVO												
Pila 10: Relazione di calcolo	<table border="1" style="width: 100%; border-collapse: collapse;"> <tr> <td style="text-align: center;">COMMESSA</td> <td style="text-align: center;">LOTTO</td> <td style="text-align: center;">CODIFICA</td> <td style="text-align: center;">DOCUMENTO</td> <td style="text-align: center;">REV.</td> <td style="text-align: center;">FOGLIO</td> </tr> <tr> <td style="text-align: center;">IF1N</td> <td style="text-align: center;">01 E ZZ</td> <td style="text-align: center;">CL</td> <td style="text-align: center;">VI0605 008</td> <td style="text-align: center;">B</td> <td style="text-align: center;">103 di 137</td> </tr> </table>	COMMESSA	LOTTO	CODIFICA	DOCUMENTO	REV.	FOGLIO	IF1N	01 E ZZ	CL	VI0605 008	B	103 di 137
COMMESSA	LOTTO	CODIFICA	DOCUMENTO	REV.	FOGLIO								
IF1N	01 E ZZ	CL	VI0605 008	B	103 di 137								

Azioni		Ψ_0	Ψ_1	Ψ_2
Azioni singole da traffico	Carico sul rilevato a tergo delle spalle	0,80	0,50	0,0
	Azioni aerodinamiche generate dal transito dei convogli	0,80	0,50	0,0
Gruppi di carico	σ_1	0,80 ⁽²⁾	0,80 ⁽¹⁾	0,0
	σ_2	0,80 ⁽²⁾	0,80 ⁽¹⁾	-
	σ_3	0,80 ⁽²⁾	0,80 ⁽¹⁾	0,0
	σ_4	1,00	1,00 ⁽¹⁾	0,0
Azioni del vento	F_{Wk}	0,60	0,50	0,0
Azioni da neve	in fase di esecuzione	0,80	0,0	0,0
	SLU e SLE	0,0	0,0	0,0
Azioni termiche	T_k	0,60	0,60	0,50

(1) 0,80 se è carico solo un binario, 0,60 se sono carichi due binari e 0,40 se sono carichi tre o più binari.

(2) Quando come azione di base venga assunta quella del vento, i coefficienti Ψ_0 relativi ai gruppi di carico delle azioni da traffico vanno assunti pari a 0,0.

	Azioni	Ψ_0	Ψ_1	Ψ_2
Azioni singole da traffico	Treno di carico LM 71	0,80 ⁽³⁾	(1)	0,0
	Treno di carico SW /0	0,80 ⁽³⁾	0,80	0,0
	Treno di carico SW/2	0,0 ⁽³⁾	0,80	0,0
	Treno scarico	1,00 ⁽³⁾	-	-
	Centrifuga	(2) (3)	(2)	(2)
	Azione laterale (serpeggio)	1,00 ⁽³⁾	0,80	0,0

(1) 0,80 se è carico solo un binario, 0,60 se sono carichi due binari e 0,40 se sono carichi tre o più binari.

(2) Si usano gli stessi coefficienti Ψ adottati per i carichi che provocano dette azioni.

(3) Quando come azione di base venga assunta quella del vento, i coefficienti Ψ_0 relativi ai gruppi di carico delle azioni da traffico vanno assunti pari a 0,0.

Tabella 4 – Coefficienti di combinazione Ψ delle azioni

Le combinazioni di carico (C.C.C.) definite e considerate nei calcoli successivi sono riportate nell'allegato 1 alla presente relazione.

  	ITINERARIO NAPOLI – BARI RADDOPPIO TRATTA CANCELLO – BENEVENTO I° LOTTO FUNZIONALE CANCELLO - FRASSO TELESINO E VARIANTE ALLA LINEA ROMA-NAPOLI VIA CASSINO NEL COMUNE DI MADDALONI – PROGETTO ESECUTIVO												
Pila 10: Relazione di calcolo	<table border="1"> <tr> <td>COMMESSA</td> <td>LOTTO</td> <td>CODIFICA</td> <td>DOCUMENTO</td> <td>REV.</td> <td>FOGLIO</td> </tr> <tr> <td>IF1N</td> <td>01 E ZZ</td> <td>CL</td> <td>VI0605 008</td> <td>B</td> <td>104 di 137</td> </tr> </table>	COMMESSA	LOTTO	CODIFICA	DOCUMENTO	REV.	FOGLIO	IF1N	01 E ZZ	CL	VI0605 008	B	104 di 137
COMMESSA	LOTTO	CODIFICA	DOCUMENTO	REV.	FOGLIO								
IF1N	01 E ZZ	CL	VI0605 008	B	104 di 137								

Si riporta un quadro sintetico delle combinazioni prese in considerazione:

Gruppo	Num.
SLU-STR	70 combinazioni
SLU-GEO (appr. A2)	70 combinazioni
SIS-SLV	202 combinazioni
SLE-RAR/FRE	105 combinazioni
SLE-QP	2 combinazioni

  	ITINERARIO NAPOLI – BARI RADDOPPIO TRATTA CANCELLO – BENEVENTO I° LOTTO FUNZIONALE CANCELLO - FRASSO TELESINO E VARIANTE ALLA LINEA ROMA-NAPOLI VIA CASSINO NEL COMUNE DI MADDALONI – PROGETTO ESECUTIVO												
Pila 10: Relazione di calcolo	<table border="1"> <thead> <tr> <th>COMMESSA</th> <th>LOTTO</th> <th>CODIFICA</th> <th>DOCUMENTO</th> <th>REV.</th> <th>FOGLIO</th> </tr> </thead> <tbody> <tr> <td>IF1N</td> <td>01 E ZZ</td> <td>CL</td> <td>VI0605 008</td> <td>B</td> <td>105 di 137</td> </tr> </tbody> </table>	COMMESSA	LOTTO	CODIFICA	DOCUMENTO	REV.	FOGLIO	IF1N	01 E ZZ	CL	VI0605 008	B	105 di 137
COMMESSA	LOTTO	CODIFICA	DOCUMENTO	REV.	FOGLIO								
IF1N	01 E ZZ	CL	VI0605 008	B	105 di 137								

8 ANALISI DELLE SOLLECITAZIONI

8.1 MODELLO DI CALCOLO E.F.

Il calcolo delle sollecitazioni lungo il fusto viene effettuato mediante una schematizzazione a mensola. Per gli scarichi in fondazione e la ripartizione degli sforzi sui pali si è ipotizzata una platea infinitamente rigida.

8.2 MASSE E FORZE SISMICHE

Secondo le indicazioni del §7.9.4.1 delle NTC2008 [1], nel caso di ponte a travate semplicemente appoggiate, i requisiti necessari per applicare l'analisi statica lineare possono ritenersi soddisfatti nel seguente caso:

- per entrambe le direzioni longitudinale e trasversale, purché la massa efficace di ciascuna pila non sia superiore ad 1/5 della massa di impalcato da essa portata (per pile a sezione costante, la massa efficace può essere assunta pari alla massa della metà superiore della pila).

Nel presente caso tale requisito risulta soddisfatto.

Per la determinazione delle sollecitazioni sui diversi elementi costituenti la pila si procede dunque con un'analisi statica lineare con spettro di risposta su oscillatore semolice.

Nel caso in esame si ha che:

- in direzione X la massa sismica è rappresentata dalle masse afferenti all'impalcato vincolato alla pila mediante gli apparecchi d'appoggio fissi; tale massa si considera agente alla quota degli apparecchi d'appoggio stessi;
- in direzione Y la massa sismica è rappresentata della metà della massa afferente a ciascun impalcato; tale massa si considera agente alla quota baricentrica degli impalcati stessi;
- in direzione Z la massa sismica è rappresentata della metà della massa di ciascun impalcato; tale massa si considera agente nel centro geometrico degli apparecchi d'appoggio degli impalcati stessi.

  	ITINERARIO NAPOLI – BARI RADDOPPIO TRATTA CANCELLO – BENEVENTO I° LOTTO FUNZIONALE CANCELLO - FRASSO TELESINO E VARIANTE ALLA LINEA ROMA-NAPOLI VIA CASSINO NEL COMUNE DI MADDALONI – PROGETTO ESECUTIVO												
Pila 10: Relazione di calcolo	<table border="1"> <thead> <tr> <th>COMMESSA</th> <th>LOTTO</th> <th>CODIFICA</th> <th>DOCUMENTO</th> <th>REV.</th> <th>FOGLIO</th> </tr> </thead> <tbody> <tr> <td>IF1N</td> <td>01 E ZZ</td> <td>CL</td> <td>VI0605 008</td> <td>B</td> <td>106 di 137</td> </tr> </tbody> </table>	COMMESSA	LOTTO	CODIFICA	DOCUMENTO	REV.	FOGLIO	IF1N	01 E ZZ	CL	VI0605 008	B	106 di 137
COMMESSA	LOTTO	CODIFICA	DOCUMENTO	REV.	FOGLIO								
IF1N	01 E ZZ	CL	VI0605 008	B	106 di 137								

IMPALCATO-SX

IMPALCATO-DX

Masse sismiche afferenti agli impalcati

Massa impalcato =	11652	kN	11652	kN
Carico max traffico LM71 =	2807	kN	2807	kN
Carico max traffico SW/2 =	3750	kN	3750	kN
Carico max traffico LM71+SW/2 =	6557	kN	6557	kN
Massa traffico (psi=0.2) =	1311	kN	1311	kN
Massa impalcato (perm+treni) =	12963	kN	12963	kN
tipologia vincolo =	UL		F	
Massa imp. longitudinale =	0	kN	12963	kN
Massa imp. trasversale =	6482	kN	6482	kN
Massa imp. totale longitudinale =	12963	kN		
Massa imp. totale trasversale =	12963	kN		

Masse sismiche afferenti alla pila

Massa pulvino =	1226	kN
Massa fusto =	1433	kN
Massa efficace pila (M*) =	1754	kN

Requisito analisi statica lineare

Massa efficace pila (M*) =	1754	kN
1/5 M impalcato (min[trasv;long]) =	2593	kN

M* < 1/5 Mimp. Il requisito per l'analisi statica lineare è soddisfatto.

Massa totale

M tot longitudinale =	14717	kN
M tot trasversale =	14717	kN
M tot verticale =	14717	kN

  	ITINERARIO NAPOLI – BARI RADDOPPIO TRATTA CANCELLO – BENEVENTO I° LOTTO FUNZIONALE CANCELLO - FRASSO TELESINO E VARIANTE ALLA LINEA ROMA-NAPOLI VIA CASSINO NEL COMUNE DI MADDALONI – PROGETTO ESECUTIVO												
Pila 10: Relazione di calcolo	<table border="1"> <thead> <tr> <th>COMMESSA</th> <th>LOTTO</th> <th>CODIFICA</th> <th>DOCUMENTO</th> <th>REV.</th> <th>FOGLIO</th> </tr> </thead> <tbody> <tr> <td>IF1N</td> <td>01 E ZZ</td> <td>CL</td> <td>VI0605 008</td> <td>B</td> <td>107 di 137</td> </tr> </tbody> </table>	COMMESSA	LOTTO	CODIFICA	DOCUMENTO	REV.	FOGLIO	IF1N	01 E ZZ	CL	VI0605 008	B	107 di 137
COMMESSA	LOTTO	CODIFICA	DOCUMENTO	REV.	FOGLIO								
IF1N	01 E ZZ	CL	VI0605 008	B	107 di 137								

Analisi statica lineare

Ac	10.425	m ²
H1	5.50	m
H2	1.45	m
H3	0.45	m
Hpila	7.40	m
yg_imp	2.08	m

Ecm	33643	N*/mm ²
	33643000	kN/m ²

Dir. longitudinale

llong	9.4	m ⁴
Wlong	14717	kN/m
Mlong	1500	ton
Lvlong	7.4	m
Klong	2.3E+06	kN/m
Tlong	0.159	sec
Sdlong	0.429	g

Dir. trasversale

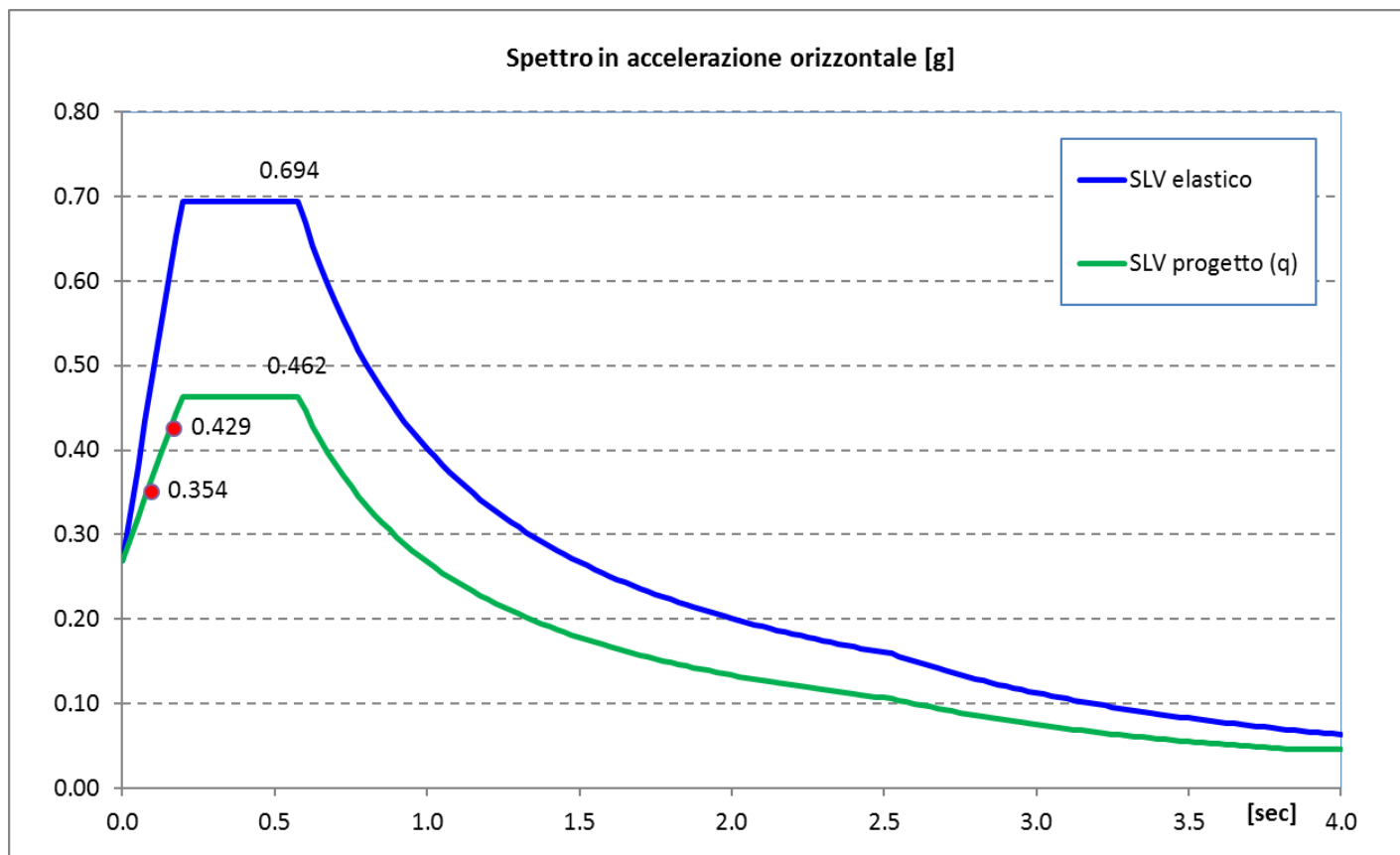
ltrasv	69.8	mm ⁴
Wtrasv	14717	ton
Mtrasv	1500	ton
Lvtrasv	9.5	m
Ktrasv	8.3E+06	kN/m
Ttrasv	0.085	sec
Sdtrasv	0.354	g

Flong **6308** kN

Ftrasv **5209** kN

   	ITINERARIO NAPOLI – BARI RADDOPPIO TRATTA CANCELLO – BENEVENTO I° LOTTO FUNZIONALE CANCELLO - FRASSO TELESINO E VARIANTE ALLA LINEA ROMA-NAPOLI VIA CASSINO NEL COMUNE DI MADDALONI – PROGETTO ESECUTIVO												
Pila 10: Relazione di calcolo	<table border="1"> <thead> <tr> <th>COMMESSA</th> <th>LOTTO</th> <th>CODIFICA</th> <th>DOCUMENTO</th> <th>REV.</th> <th>FOGLIO</th> </tr> </thead> <tbody> <tr> <td>IF1N</td> <td>01 E ZZ</td> <td>CL</td> <td>VI0605 008</td> <td>B</td> <td>108 di 137</td> </tr> </tbody> </table>	COMMESSA	LOTTO	CODIFICA	DOCUMENTO	REV.	FOGLIO	IF1N	01 E ZZ	CL	VI0605 008	B	108 di 137
COMMESSA	LOTTO	CODIFICA	DOCUMENTO	REV.	FOGLIO								
IF1N	01 E ZZ	CL	VI0605 008	B	108 di 137								

Nel seguente diagramma sono evidenziate le coordinate spettrali SLV corrispondenti ai valori dei periodi T_{long} [sec] e T_{trasv} [sec] calcolati in precedenza.



  	ITINERARIO NAPOLI – BARI RADDOPPIO TRATTA CANCELLO – BENEVENTO I° LOTTO FUNZIONALE CANCELLO - FRASSO TELESINO E VARIANTE ALLA LINEA ROMA-NAPOLI VIA CASSINO NEL COMUNE DI MADDALONI – PROGETTO ESECUTIVO												
Pila 10: Relazione di calcolo	<table border="1"> <tr> <td>COMMESSA</td> <td>LOTTO</td> <td>CODIFICA</td> <td>DOCUMENTO</td> <td>REV.</td> <td>FOGLIO</td> </tr> <tr> <td>IF1N</td> <td>01 E ZZ</td> <td>CL</td> <td>VI0605 008</td> <td>B</td> <td>109 di 137</td> </tr> </table>	COMMESSA	LOTTO	CODIFICA	DOCUMENTO	REV.	FOGLIO	IF1N	01 E ZZ	CL	VI0605 008	B	109 di 137
COMMESSA	LOTTO	CODIFICA	DOCUMENTO	REV.	FOGLIO								
IF1N	01 E ZZ	CL	VI0605 008	B	109 di 137								

Il §7.9.3 [1] raccomanda di assumere un'eccentricità accidentale nel posizionamento delle masse sismiche riferite all'impalcato, pari a 0,03 volte la dimensione dell'impalcato stesso misurata perpendicolarmente alla direzione dell'azione sismica.

Per la pila in oggetto si avrebbe:

§7.9.3 [1] - Eccentricità accidentale nel posizionamento delle masse sismiche

	<u>IMP. SX</u>		<u>IMP. DX</u>	
b =	13.7	m	13.7	m
L =	25.0	m	25.0	m
Sisma long (X): $e_y = 0,03 \cdot b =$	0.411	m	0.411	m
Sisma trasv (Y): $e_x = 0,03 \cdot L =$	0.75	m	0.75	m

  	ITINERARIO NAPOLI – BARI RADDOPPIO TRATTA CANCELLO – BENEVENTO I° LOTTO FUNZIONALE CANCELLO - FRASSO TELESINO E VARIANTE ALLA LINEA ROMA-NAPOLI VIA CASSINO NEL COMUNE DI MADDALONI – PROGETTO ESECUTIVO												
Pila 10: Relazione di calcolo	<table border="0" style="width: 100%;"> <tr> <td>COMMESSA</td> <td>LOTTO</td> <td>CODIFICA</td> <td>DOCUMENTO</td> <td>REV.</td> <td>FOGLIO</td> </tr> <tr> <td>IF1N</td> <td>01 E ZZ</td> <td>CL</td> <td>VI0605 008</td> <td>B</td> <td>110 di 137</td> </tr> </table>	COMMESSA	LOTTO	CODIFICA	DOCUMENTO	REV.	FOGLIO	IF1N	01 E ZZ	CL	VI0605 008	B	110 di 137
COMMESSA	LOTTO	CODIFICA	DOCUMENTO	REV.	FOGLIO								
IF1N	01 E ZZ	CL	VI0605 008	B	110 di 137								

8.3 CARICHI ELEMENTARI

8.3.1 RIEPILOGO DEGLI SCARICHI DALL'IMPALCATO

8.3.1.1 SCARICHI IMPALCATO SX RISPETTO A BARICENTRO APPOGGI:

IMPALCATO 4 CASSONCINI DA 25 m							
SCARICHI IMPALCATO SX RISPETTO A BARICENTRO APPOGGI							
C.C.E.	Descrizione	F1	F2	F3	M1	M2	M3
		kN	kN	kN	kNm	kNm	kNm
G - Permanenti							
G1	Pesi propri	0	0	-3303	0	0	0
G2	Ballast	0	0	-1750	0	0	0
G2	Permanenti non strutturali	0	0	-774	0	0	0
Q1 - Variabili verticali							
Q11	Disposizione 1 (massimizza N)	0	0	-2816	-282	0	0
Q12	Disposizione 2 (massimizza M2)	0	0	0	0	0	0
Q13	Disposizione 3 (massimizza M1)	0	0	-1451	-2903	0	0
Q14	Disposizione 4 (massimizza M1)	0	0	-1365	-2839	0	0
Q15	Disposizione 5 (massimizza N+M2)	0	0	-1965	-271	0	0
Q16	Disposizione 6 (massimizza N)	0	0	-2730	-109	0	0
Q17	Disposizione 7 (minimizza N)	0	0	0	0	0	0
Q2 - Avviamento e frenatura							
Q21	Disposizione 1 (massimizza N)	0	0	0	0	0	0
Q22	Disposizione 2 (massimizza M2)	0	0	0	0	0	0
Q23	Disposizione 3 (massimizza M1)	0	0	0	0	0	0
Q24	Disposizione 4 (massimizza M1)	0	0	0	0	0	0
Q25	Disposizione 5 (massimizza N+M2)	0	0	0	0	0	0
Q26	Disposizione 6 (massimizza N)	0	0	0	0	0	0
Q27	Disposizione 7 (minimizza N)	0	0	0	0	0	0
Q3 - Centrifuga							
Q31	Disposizione 1 (massimizza N)	0	235	0	-1193	0	0
Q32	Disposizione 2 (massimizza M2)	0	0	0	0	0	0
Q33	Disposizione 3 (massimizza M1)	0	76	0	-387	0	0
Q34	Disposizione 4 (massimizza M1)	0	159	0	-806	0	0
Q35	Disposizione 5 (massimizza N+M2)	0	169	0	-857	0	0
Q36	Disposizione 6 (massimizza N)	0	230	0	-1170	0	0
Q37	Disposizione 7 (minimizza N)	0	0	0	0	0	0
Q4 - Serpeggio							
Q41	Disposizione 1 (massimizza N)	0	105	0	-344	0	0
Q42	Disposizione 2 (massimizza M2)	0	0	0	0	0	0

  	ITINERARIO NAPOLI – BARI RADDOPPIO TRATTA CANCELLO – BENEVENTO I° LOTTO FUNZIONALE CANCELLO - FRASSO TELESINO E VARIANTE ALLA LINEA ROMA-NAPOLI VIA CASSINO NEL COMUNE DI MADDALONI – PROGETTO ESECUTIVO												
Pila 10: Relazione di calcolo	<table border="1"> <tr> <td>COMMESSA</td> <td>LOTTO</td> <td>CODIFICA</td> <td>DOCUMENTO</td> <td>REV.</td> <td>FOGLIO</td> </tr> <tr> <td>IF1N</td> <td>01 E ZZ</td> <td>CL</td> <td>VI0605 008</td> <td>B</td> <td>111 di 137</td> </tr> </table>	COMMESSA	LOTTO	CODIFICA	DOCUMENTO	REV.	FOGLIO	IF1N	01 E ZZ	CL	VI0605 008	B	111 di 137
COMMESSA	LOTTO	CODIFICA	DOCUMENTO	REV.	FOGLIO								
IF1N	01 E ZZ	CL	VI0605 008	B	111 di 137								

Q43	Disposizione 3 (massimizza M1)	0	50	0	-164	0	0
Q44	Disposizione 4 (massimizza M1)	0	55	0	-180	0	0
Q45	Disposizione 5 (massimizza N+M2)	0	105	0	-344	0	0
Q46	Disposizione 6 (massimizza N)	0	105	0	-344	0	0
Q47	Disposizione 7 (minimizza N)	0	0	0	0	0	0
Q5 - Variabili							
Q51	Vento	0	408	0	-2293	0	0
Q6 - Azioni indirette							
Q61	Attrito su vincoli	0	0	0	0	0	0
Q7 - Effetti d'interazione							
Q71	Variazioni termiche	0	0	0	0	0	0
E - Azioni sismiche							
E1	Sisma x	0	0	0	0	0	0
E2	Sisma y	0	2605	0	-5418	0	1953
E3	Sisma z	0	0	-2517	-1035	1888	0

  	ITINERARIO NAPOLI – BARI RADDOPPIO TRATTA CANCELLO – BENEVENTO I° LOTTO FUNZIONALE CANCELLO - FRASSO TELESINO E VARIANTE ALLA LINEA ROMA-NAPOLI VIA CASSINO NEL COMUNE DI MADDALONI – PROGETTO ESECUTIVO
Pila 10: Relazione di calcolo	COMMESSA LOTTO CODIFICA DOCUMENTO REV. FOGLIO IF1N 01 E ZZ CL VI0605 008 B 112 di 137

8.3.1.2 SCARICHI IMPALCATO DX RISPETTO A BARICENTRO APPOGGI:

IMPALCATO 4 CASSONCINI DA 25 m							
SCARICHI IMPALCATO DX RISPETTO A BARICENTRO APPOGGI							
C.C.E.	Descrizione	F1	F2	F3	M1	M2	M3
		kN	kN	kN	kNm	kNm	kNm
G - Permanenti							
G1	Pesi propri	0	0	-3303	0	0	0
G2	Ballast	0	0	-1750	0	0	0
G2	Permanenti non strutturali	0	0	-774	0	0	0
Q1 - Variabili verticali							
Q11	Disposizione 1 (massimizza N)	0	0	-2876	-402	0	0
Q12	Disposizione 2 (massimizza M2)	0	0	-3559	-518	0	0
Q13	Disposizione 3 (massimizza M1)	0	0	-1511	-3022	0	0
Q14	Disposizione 4 (massimizza M1)	0	0	-1365	-2839	0	0
Q15	Disposizione 5 (massimizza N+M2)	0	0	-3559	-518	0	0
Q16	Disposizione 6 (massimizza N)	0	0	-2730	-109	0	0
Q17	Disposizione 7 (minimizza N)	0	0	-2977	-1634	0	0
Q2 - Avviamento e frenatura							
Q21	Disposizione 1 (massimizza N)	1835	0	0	0	0	0
Q22	Disposizione 2 (massimizza M2)	2154	0	0	0	0	0
Q23	Disposizione 3 (massimizza M1)	819	0	0	0	0	0
Q24	Disposizione 4 (massimizza M1)	1016	0	0	0	0	0
Q25	Disposizione 5 (massimizza N+M2)	2154	0	0	0	0	0
Q26	Disposizione 6 (massimizza N)	1995	0	0	0	0	0
Q27	Disposizione 7 (minimizza N)	2154	0	0	0	0	0
Q3 - Centrifuga							
Q31	Disposizione 1 (massimizza N)	0	238	0	-1209	0	0
Q32	Disposizione 2 (massimizza M2)	0	294	0	-1494	0	0
Q33	Disposizione 3 (massimizza M1)	0	79	0	-403	0	0
Q34	Disposizione 4 (massimizza M1)	0	159	0	-806	0	0
Q35	Disposizione 5 (massimizza N+M2)	0	294	0	-1494	0	0
Q36	Disposizione 6 (massimizza N)	0	230	0	-1170	0	0
Q37	Disposizione 7 (minimizza N)	0	226	0	-1151	0	0
Q4 - Serpeggio							
Q41	Disposizione 1 (massimizza N)	0	105	0	-344	0	0
Q42	Disposizione 2 (massimizza M2)	0	210	0	-689	0	0
Q43	Disposizione 3 (massimizza M1)	0	50	0	-164	0	0
Q44	Disposizione 4 (massimizza M1)	0	55	0	-180	0	0
Q45	Disposizione 5 (massimizza N+M2)	0	105	0	-344	0	0
Q46	Disposizione 6 (massimizza N)	0	105	0	-344	0	0

  	ITINERARIO NAPOLI – BARI RADDOPPIO TRATTA CANCELLO – BENEVENTO I° LOTTO FUNZIONALE CANCELLO - FRASSO TELESINO E VARIANTE ALLA LINEA ROMA-NAPOLI VIA CASSINO NEL COMUNE DI MADDALONI – PROGETTO ESECUTIVO												
Pila 10: Relazione di calcolo	<table border="1"> <tr> <td>COMMESSA</td> <td>LOTTO</td> <td>CODIFICA</td> <td>DOCUMENTO</td> <td>REV.</td> <td>FOGLIO</td> </tr> <tr> <td>IF1N</td> <td>01 E ZZ</td> <td>CL</td> <td>VI0605 008</td> <td>B</td> <td>113 di 137</td> </tr> </table>	COMMESSA	LOTTO	CODIFICA	DOCUMENTO	REV.	FOGLIO	IF1N	01 E ZZ	CL	VI0605 008	B	113 di 137
COMMESSA	LOTTO	CODIFICA	DOCUMENTO	REV.	FOGLIO								
IF1N	01 E ZZ	CL	VI0605 008	B	113 di 137								

Q47	Disposizione 7 (minimizza N)	0	210	0	-689	0	0
Q5 - Variabili							
Q51	Vento	0	408	0	-2293	0	0
Q6 - Azioni indirette							
Q61	Attrito su vincoli	283	0	0	0	0	0
Q7 - Effetti d'interazione							
Q71	Variazioni termiche	280	0	0	0	0	0
E - Azioni sismiche							
E1	Sisma x	6308	0	0	0	0	2593
E2	Sisma y	0	2605	0	-5418	0	1953
E3	Sisma z	0	0	-2517	-1035	1888	0

  	ITINERARIO NAPOLI – BARI RADDOPPIO TRATTA CANCELLO – BENEVENTO I° LOTTO FUNZIONALE CANCELLO - FRASSO TELESINO E VARIANTE ALLA LINEA ROMA-NAPOLI VIA CASSINO NEL COMUNE DI MADDALONI – PROGETTO ESECUTIVO												
Pila 10: Relazione di calcolo	<table border="1"> <thead> <tr> <th>COMMESSA</th> <th>LOTTO</th> <th>CODIFICA</th> <th>DOCUMENTO</th> <th>REV.</th> <th>FOGLIO</th> </tr> </thead> <tbody> <tr> <td>IF1N</td> <td>01 E ZZ</td> <td>CL</td> <td>VI0605 008</td> <td>B</td> <td>114 di 137</td> </tr> </tbody> </table>	COMMESSA	LOTTO	CODIFICA	DOCUMENTO	REV.	FOGLIO	IF1N	01 E ZZ	CL	VI0605 008	B	114 di 137
COMMESSA	LOTTO	CODIFICA	DOCUMENTO	REV.	FOGLIO								
IF1N	01 E ZZ	CL	VI0605 008	B	114 di 137								

8.4 SOLLECITAZIONI DI CALCOLO

8.4.1 SOLLECITAZIONI ALLA BASE DEL FUSTO PILA

Le sollecitazioni di calcolo riferite alla sezione di base del fusto della pila avente maggiore altezza tra quelle prese in considerazione nella presente relazione, sono riportate in forma completa nel secondo allegato alla presente relazione.

Le sollecitazioni di calcolo ottenute in condizione sismica per le strutture in elevazione devono essere ulteriormente elaborate per tener conto delle indicazioni del §7.9 [1] e dei principi della gerarchia delle resistenze.

8.4.1.1 SOLLECITAZIONI FLETTENTI IN ZONA CRITICA

Secondo le indicazioni del §7.9.4 [1] nelle zone critiche, gli effetti delle non linearità geometriche possono essere tenute in conto mediante l'espressione semplificata:

$$\Delta M = d_{Ed} \cdot N_{Ed}$$

con d_{Ed} valutato secondo il §7.3.3.3, ossia pari a $\mu_d \cdot d_{Ee}$ dove:

d_{Ee} è lo spostamento derivante dall'analisi lineare

$$\mu_d = q \quad \text{per } T_1 \geq T_C$$

$$\mu_d = 1 + (q - 1) \cdot T_C / T_1 \quad \text{per } T_1 < T_C \quad \text{in ogni caso } \mu_d \leq 5 \cdot q - 4$$

Per il caso in esame si ha:

d_{Ee_long}	2.7 mm	d_{Ee_trasv}	0.6 mm
μ_{d_long}	2.82	μ_{d_trasv}	3.50
d_{Ed_long}	7.6 mm	d_{Ed_trasv}	2.2 mm

8.4.1.2 SOLLECITAZIONI FLETTENTI FUORI DALLA ZONA CRITICA

Il §7.9.5.1 [1] definisce il fattore di "sovrarresistenza" γ_{Rd} che viene calcolato mediante l'espressione:

$$\gamma_{Rd} = 0.7 + 0.2 q \geq 1$$

nella quale q è il fattore di struttura utilizzato nei calcoli.

Nel caso in cui la compressione normalizzata $v_k = N_{Ed} / (A_c \cdot f_{ck})$ (rif. §7.9.2.1 delle NTC2008 [1]), ecceda il valore 0,1 tale fattore deve essere moltiplicato per $f = 1 + 2 \cdot (v_k - 0,1)^2$.

  	ITINERARIO NAPOLI – BARI RADDOPPIO TRATTA CANCELLO – BENEVENTO I° LOTTO FUNZIONALE CANCELLO - FRASSO TELESINO E VARIANTE ALLA LINEA ROMA-NAPOLI VIA CASSINO NEL COMUNE DI MADDALONI – PROGETTO ESECUTIVO												
Pila 10: Relazione di calcolo	<table border="1"> <thead> <tr> <th>COMMESSA</th> <th>LOTTO</th> <th>CODIFICA</th> <th>DOCUMENTO</th> <th>REV.</th> <th>FOGLIO</th> </tr> </thead> <tbody> <tr> <td>IF1N</td> <td>01 E ZZ</td> <td>CL</td> <td>VI0605 008</td> <td>B</td> <td>115 di 137</td> </tr> </tbody> </table>	COMMESSA	LOTTO	CODIFICA	DOCUMENTO	REV.	FOGLIO	IF1N	01 E ZZ	CL	VI0605 008	B	115 di 137
COMMESSA	LOTTO	CODIFICA	DOCUMENTO	REV.	FOGLIO								
IF1N	01 E ZZ	CL	VI0605 008	B	115 di 137								

Nel caso in esame il fattore γ_{Rd} assume il valore:

Dir. Longitudinale:

qlong	1.50
NEd	16934 kN
fck	32 Mpa
vk	0.05
f	1.005
γ_{Rd}	1.00

Dir. Trasversale:

qtrav	1.50
NEd	16934 kN
fck	32 Mpa
vk	0.05
f	1.005
γ_{Rd}	1.00

Definite “zone di cerniera plastica” o “zone critiche” le zone dove si progetta di localizzare le plasticizzazioni che conferiranno la duttilità richiesta alla struttura soggetta all’evento sismico, nel caso delle pile tali zone si identificano come la zona compresa tra la sezione di incastro alla base e la sezione posta ad una distanza L_h dall’incastro, dove L_h assume il massimo tra i seguenti valori (rif §7.9.6.2):

- la profondità della sezione in direzione ortogonale all’asse di rotazione delle cerniere;
- la distanza tra la sezione di momento massimo e la sezione in cui il momento si riduce del 20%.

Nelle sezioni comprese nella zona critica deve risultare:

$$M_{Ed} \leq M_{Rd}$$

Nelle sezioni al di fuori della zona critica tenendo conto del criterio della gerarchia delle resistenze deve risultare:

$$M_{gr} \leq M_{Rd}$$

I valori di M_{gr} lungo lo sviluppo dell’elemento si ottengono scalando il diagramma delle sollecitazioni flettenti ponendo nella sezione critica un momento agente pari a $\gamma_{Rd} \cdot M_{Rd}$.

Nel caso in esame si ha una altezza della zona critica pari alla dimensione della sezione in direzione longitudinale:

$$L_h \text{ zona critica} = 2.60 \quad \text{m}$$

8.4.1.3 SOLLECITAZIONI DI TAGLIO

Le sollecitazioni di taglio si ottengono con il criterio della gerarchia delle resistenze, il quale conduce ad adottare come sollecitazione di calcolo:

$$V_{gr} = V_{Ed} \cdot \gamma_{Rd} \cdot M_{Rd}/M_{Ed} \leq q \cdot V_{Ed}$$

  	ITINERARIO NAPOLI – BARI RADDOPPIO TRATTA CANCELLO – BENEVENTO I° LOTTO FUNZIONALE CANCELLO - FRASSO TELESINO E VARIANTE ALLA LINEA ROMA-NAPOLI VIA CASSINO NEL COMUNE DI MADDALONI – PROGETTO ESECUTIVO												
Pila 10: Relazione di calcolo	<table border="1"> <thead> <tr> <th>COMMESSA</th> <th>LOTTO</th> <th>CODIFICA</th> <th>DOCUMENTO</th> <th>REV.</th> <th>FOGLIO</th> </tr> </thead> <tbody> <tr> <td>IF1N</td> <td>01 E ZZ</td> <td>CL</td> <td>VI0605 008</td> <td>B</td> <td>116 di 137</td> </tr> </tbody> </table>	COMMESSA	LOTTO	CODIFICA	DOCUMENTO	REV.	FOGLIO	IF1N	01 E ZZ	CL	VI0605 008	B	116 di 137
COMMESSA	LOTTO	CODIFICA	DOCUMENTO	REV.	FOGLIO								
IF1N	01 E ZZ	CL	VI0605 008	B	116 di 137								

I valori di resistenza a taglio degli elementi in c.a. devono inoltre essere divisi per un coefficiente di sicurezza aggiuntivo nei confronti della rottura fragile γ_{Bd} valutato mediante la seguente espressione:

$$1 \leq \gamma_{Bd} = 1.25 + 1 - q \cdot V_{Ed}/V_{gr} \leq 1.25$$

La valutazione delle sollecitazioni di taglio da GR viene condotto nei paragrafi successivi relativi alle verifiche a taglio, a fronte dei valori resistenti ottenuti dalle successive verifiche a pressoflessione.

  	ITINERARIO NAPOLI – BARI RADDOPPIO TRATTA CANCELLO – BENEVENTO I° LOTTO FUNZIONALE CANCELLO - FRASSO TELESINO E VARIANTE ALLA LINEA ROMA-NAPOLI VIA CASSINO NEL COMUNE DI MADDALONI – PROGETTO ESECUTIVO												
Pila 10: Relazione di calcolo	<table border="1"> <thead> <tr> <th>COMMESSA</th> <th>LOTTO</th> <th>CODIFICA</th> <th>DOCUMENTO</th> <th>REV.</th> <th>FOGLIO</th> </tr> </thead> <tbody> <tr> <td>IF1N</td> <td>01 E ZZ</td> <td>CL</td> <td>VI0605 008</td> <td>B</td> <td>117 di 137</td> </tr> </tbody> </table>	COMMESSA	LOTTO	CODIFICA	DOCUMENTO	REV.	FOGLIO	IF1N	01 E ZZ	CL	VI0605 008	B	117 di 137
COMMESSA	LOTTO	CODIFICA	DOCUMENTO	REV.	FOGLIO								
IF1N	01 E ZZ	CL	VI0605 008	B	117 di 137								

8.4.2 SOLLECITAZIONI ALL'INTRADOSSO DEL PLINTO DI FONDAZIONE

Le sollecitazioni di calcolo relative alle combinazioni sismiche devono essere elaborate per tener conto delle indicazioni del §7.2.5[1]. Per gli elementi di fondazione il criterio della gerarchia delle resistenze si applica incrementando le azioni derivanti dagli elementi soprastanti di un fattore γ_{Rd} pari a 1.1.

(In accordo con quanto prescritto nel §7.2.5 [1], per le strutture progettate in CD"B", il dimensionamento delle strutture di fondazione deve essere eseguito per valori di taglio e momento flettente pari ai valori resistenti degli elementi soprastanti. Tali valori hanno come limite superiore le sollecitazioni derivanti dalle analisi amplificate con un γ_{Rd} pari a 1,1 in CD"B" e comunque non maggiori di quelle derivanti da un'analisi elastica della struttura eseguita con q pari a 1. A tal proposito per semplificazione e favore di sicurezza si assumono come valori di calcolo le sollecitazioni derivanti dall'analisi incrementate del coefficiente γ_{Rd} pari a 1,1).

Rispetto alle sollecitazioni calcolate alla sezione di base del fusto pila, le sollecitazioni riportate all'intradosso del plinto di fondazione sono incrementate dei seguenti contributi:

- P_{pl} peso proprio del plinto di fondazione [kN]
- P_{terr} peso proprio del terreno di ricoprimento presente all'estradosso del plinto [kN]
- $I_{pl,hor}$ forza di inerzia associata alla massa del plinto sul piano orizzontale ($I_{pl,hor} = P_{pl} * PGA$) [kN]
- $I_{pl,vert}$ forza di inerzia associata alla massa del plinto in direzione verticale ($I_{pl,vert} = P_{pl} * a_{gv}$) [kN]

Nel secondo allegato alla presente relazione si riportano (in forma di tabelle) le sollecitazioni di calcolo riferite all'intradosso del plinto di fondazione. In particolare, tali valori sono riferiti alla fondazione della pila avente altezza maggiore all'interno del gruppo di sottostrutture preso in considerazione nella presente relazione.

8.4.1 SOLLECITAZIONI DISTRIBUITE IN TESTA AI PALI DI FONDAZIONE

Le caratteristiche di sollecitazione sul singolo palo sono state determinate a partire dalle sollecitazioni riportate all'intradosso del plinto di fondazione, secondo le seguenti relazioni (*distribuzione rigida delle sollecitazioni*):

$$N_{max} = F_3 / n_{pali} + ass(M_1) / W_{1palificata} + ass(M_2) / W_{2palificata}$$

$$N_{min} = F_3 / n_{pali} - ass(M_1) / W_{1palificata} - ass(M_2) / W_{2palificata}$$

$$H = \sqrt{((F_1 / n_{pali})^2 + (F_2 / n_{pali})^2)}$$

I valori del taglio sul palo così ottenuti, compresi quelli relativi alle combinazioni non sismiche, vengono inoltre ulteriormente incrementati di un fattore pari a 1,1 per tenere conto dell'effetto gruppo.

Nel secondo allegato alla presente relazione si riportano (in forma di tabelle) le sollecitazioni di calcolo distribuite in testa ai pali di fondazione. In particolare, tali valori sono riferiti alla fondazione della pila avente altezza maggiore all'interno del gruppo di sottostrutture preso in considerazione nella presente relazione.

	ITINERARIO NAPOLI – BARI RADDOPPIO TRATTA CANCELLO – BENEVENTO I° LOTTO FUNZIONALE CANCELLO - FRASSO TELESINO E VARIANTE ALLA LINEA ROMA-NAPOLI VIA CASSINO NEL COMUNE DI MADDALONI – PROGETTO ESECUTIVO												
Pila 10: Relazione di calcolo	<table border="1"> <thead> <tr> <th>COMMESSA</th> <th>LOTTO</th> <th>CODIFICA</th> <th>DOCUMENTO</th> <th>REV.</th> <th>FOGLIO</th> </tr> </thead> <tbody> <tr> <td>IF1N</td> <td>01 E ZZ</td> <td>CL</td> <td>VI0605 008</td> <td>B</td> <td>118 di 137</td> </tr> </tbody> </table>	COMMESSA	LOTTO	CODIFICA	DOCUMENTO	REV.	FOGLIO	IF1N	01 E ZZ	CL	VI0605 008	B	118 di 137
COMMESSA	LOTTO	CODIFICA	DOCUMENTO	REV.	FOGLIO								
IF1N	01 E ZZ	CL	VI0605 008	B	118 di 137								

9 VERIFICHE STRUTTURALI DEL FUSTO PILA

9.1 GEOMETRIA DELLA SEZIONE DI VERIFICA E ARMATURA

Si riporta a seguire una figura che illustra la geometria della sezione di verifica, nella quale è rappresentata un'armatura tipologica.

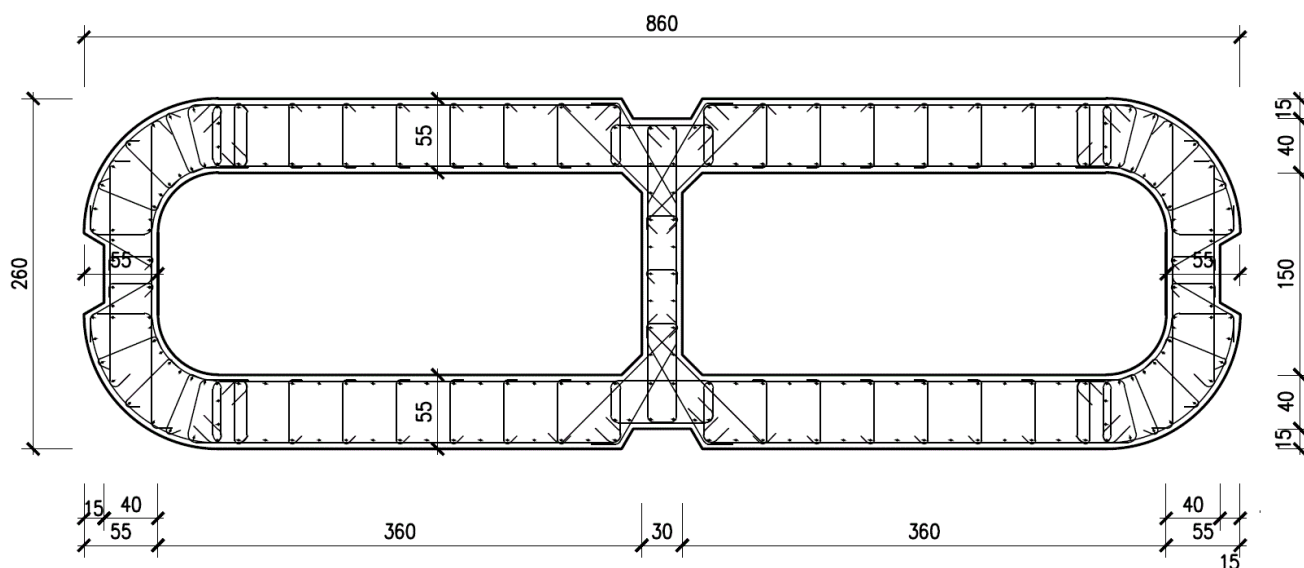


Figura 42 – Geometria della sezione trasversale della pila [cm]

9.1.1 ARMATURA LONGITUDINALE

A seguire è indicata l'armatura flessionale prevista nella sezione di base del fusto pila, in termini di numero di barre presenti nello strato esterno (1° str.) e nello strato interno (2° str.) e loro diametro f_i [mm].

n barre (1° str.)	124	
f_i barre (1° str.)	22	mm
n barre (2° str.)	122	
f_i barre (2° str.)	22	mm

9.1.2 ARMATURA TRASVERSALE

A seguire è indicata l'armatura a taglio prevista nella sezione di base del fusto pila, all'interno della zona critica.

  	ITINERARIO NAPOLI – BARI RADDOPPIO TRATTA CANCELLO – BENEVENTO I° LOTTO FUNZIONALE CANCELLO - FRASSO TELESINO E VARIANTE ALLA LINEA ROMA-NAPOLI VIA CASSINO NEL COMUNE DI MADDALONI – PROGETTO ESECUTIVO												
Pila 10: Relazione di calcolo	<table border="1"> <tr> <td>COMMESSA</td> <td>LOTTO</td> <td>CODIFICA</td> <td>DOCUMENTO</td> <td>REV.</td> <td>FOGLIO</td> </tr> <tr> <td>IF1N</td> <td>01 E ZZ</td> <td>CL</td> <td>VI0605 008</td> <td>B</td> <td>119 di 137</td> </tr> </table>	COMMESSA	LOTTO	CODIFICA	DOCUMENTO	REV.	FOGLIO	IF1N	01 E ZZ	CL	VI0605 008	B	119 di 137
COMMESSA	LOTTO	CODIFICA	DOCUMENTO	REV.	FOGLIO								
IF1N	01 E ZZ	CL	VI0605 008	B	119 di 137								

Direzione longitudinale

Staffe:		Spille:		Spille:	
$\varnothing w$	14 mm	$\varnothing w$	8 mm	$\varnothing w$	14 mm
A1b	153.86 mm ²	A1b	50.24 mm ²	A1b	153.86 mm ²
passo	100 mm	passo	100 mm	passo	100 mm
bracci	6	bracci	16	bracci	6

Direzione trasversale

Staffe:		Spille:		Spille:	
$\varnothing w$	14 mm	$\varnothing w$	8 mm	$\varnothing w$	14 mm
A1b	153.86 mm ²	A1b	50.24 mm ²	A1b	153.86 mm ²
passo	100 mm	passo	100 mm	passo	100 mm
bracci	4	bracci	6	bracci	2

9.1.3 VERIFICA DELL'ARMATURA MINIMA

Le armature del fusto pila devono soddisfare le quantità minime indicate dalla normativa e che vengono riepilogate di seguito.

Armatura minima longitudinale:

- $\rho_{\min} = 0,60 \%$ (rif. §2.2.6 [3])

Armatura minima trasversale nelle zone critiche:

Secondo le indicazioni del §7.9.6.2 [1], nelle sezioni piene, le armature di confinamento per la duttilità nelle zone critiche non devono rispettare i limiti di normativa nei seguenti casi:

- se la sollecitazione ridotta risulta $v_k \leq 0,08$;
- nel caso di sezioni a pareti sottili purché risulti $v_k \leq 0,2$, se è possibile raggiungere una duttilità in curvatura non inferiore a $\mu_c = 12$ senza che la deformazione nel conglomerato superi il valore 0,0035;
- se il fattore di struttura non supera il valore 1,5.

In caso contrario è necessario disporre le seguenti quantità minime di armatura a confinamento:

- $\omega_{wd,r} = 0,33 \cdot A_c/A_{cc} v_k - 0,07 \geq 0,12$ per sezioni rettangolari
- $\omega_{wd,c} = 1,4 \cdot \omega_{wd,r}$ per sezioni circolari

La percentuale meccanica è definita dalle espressioni:

- $\omega_{wd,r} = A_{sw}/(s \cdot b) \cdot f_{yd}/f_{cd}$ per sezioni rettangolari
- $\omega_{wd,c} = 4 A_{sp}/(D_{sp} \cdot s) \cdot f_{yd}/f_{cd}$ per sezioni circolari

  	ITINERARIO NAPOLI – BARI RADDOPPIO TRATTA CANCELLO – BENEVENTO I° LOTTO FUNZIONALE CANCELLO - FRASSO TELESINO E VARIANTE ALLA LINEA ROMA-NAPOLI VIA CASSINO NEL COMUNE DI MADDALONI – PROGETTO ESECUTIVO												
Pila 10: Relazione di calcolo	<table border="1"> <thead> <tr> <th>COMMESSA</th> <th>LOTTO</th> <th>CODIFICA</th> <th>DOCUMENTO</th> <th>REV.</th> <th>FOGLIO</th> </tr> </thead> <tbody> <tr> <td>IF1N</td> <td>01 E ZZ</td> <td>CL</td> <td>VI0605 008</td> <td>B</td> <td>120 di 137</td> </tr> </tbody> </table>	COMMESSA	LOTTO	CODIFICA	DOCUMENTO	REV.	FOGLIO	IF1N	01 E ZZ	CL	VI0605 008	B	120 di 137
COMMESSA	LOTTO	CODIFICA	DOCUMENTO	REV.	FOGLIO								
IF1N	01 E ZZ	CL	VI0605 008	B	120 di 137								

Secondo le indicazioni del §2.2.6 [3] invece deve verificarsi:

- $A_{sw}/(s \cdot b) \cdot f_{yd}/f_{cd} \geq \zeta$ per sezioni rettangolari
- $\rho_w \cdot f_{yd}/f_{cd} \geq 1,40 \cdot \zeta$ per sezioni circolari

con:

$\rho_w = V_{sc}/V_{cc}$ rapporto tra il volume complessivo delle armature di confinamento V_{sc} e volume di calcestruzzo confinato V_{cc} ;

$\zeta = 0,07$ per $a_g \geq 0,35 g$;

$\zeta = 0,05$ per $a_g \geq 0,25 g$;

$\zeta = 0,04$ per $a_g \geq 0,15 g$;

$\zeta = 0,03$ per $a_g < 0,15 g$.

  	ITINERARIO NAPOLI – BARI RADDOPPIO TRATTA CANCELLO – BENEVENTO I° LOTTO FUNZIONALE CANCELLO - FRASSO TELESINO E VARIANTE ALLA LINEA ROMA-NAPOLI VIA CASSINO NEL COMUNE DI MADDALONI – PROGETTO ESECUTIVO												
Pila 10: Relazione di calcolo	<table border="1"> <thead> <tr> <th>COMMESSA</th> <th>LOTTO</th> <th>CODIFICA</th> <th>DOCUMENTO</th> <th>REV.</th> <th>FOGLIO</th> </tr> </thead> <tbody> <tr> <td>IF1N</td> <td>01 E ZZ</td> <td>CL</td> <td>VI0605 008</td> <td>B</td> <td>121 di 137</td> </tr> </tbody> </table>	COMMESSA	LOTTO	CODIFICA	DOCUMENTO	REV.	FOGLIO	IF1N	01 E ZZ	CL	VI0605 008	B	121 di 137
COMMESSA	LOTTO	CODIFICA	DOCUMENTO	REV.	FOGLIO								
IF1N	01 E ZZ	CL	VI0605 008	B	121 di 137								

Verifica armatura minima longitudinale secondo §2.2.6 [3]

$\rho_{min} =$	0.60%	
$A_c =$	10425000	mm ²
$A_{s,min} =$	62550	mm ²
n barre (1° str.)	124	
f _i barre (1° str.)	22	mm
n barre (2° str.)	122	
f _i barre (2° str.)	22	mm
A_s	93465	mm ²
ρ	0.90%	<i>requisito soddisfatto</i>

Verifica armatura minima trasversale secondo §2.2.6 [3]

$a_g =$	0.232	g
$\zeta =$	0.04	
$\omega_{wd,r min} =$	0.04	

Armatura in dir. longitudinale

$A_{sw/s staffe} =$	0.0092	m ² /m
$A_{sw/s spille} =$	0.0173	m ² /m
$b =$	8.60	m
$f_{yd} =$	391	MPa
$f_{cd} =$	18.13	MPa
$\omega_{wd,r} =$	0.066	<i>requisito soddisfatto</i>

Armatura in dir. trasversale

$A_{sw/s staffe} =$	0.0062	m ² /m
$A_{sw/s spille} =$	0.0061	m ² /m
$b =$	2.60	m
$f_{yd} =$	391	MPa
$f_{cd} =$	18.13	MPa
$\omega_{wd,r} =$	0.102	<i>requisito soddisfatto</i>

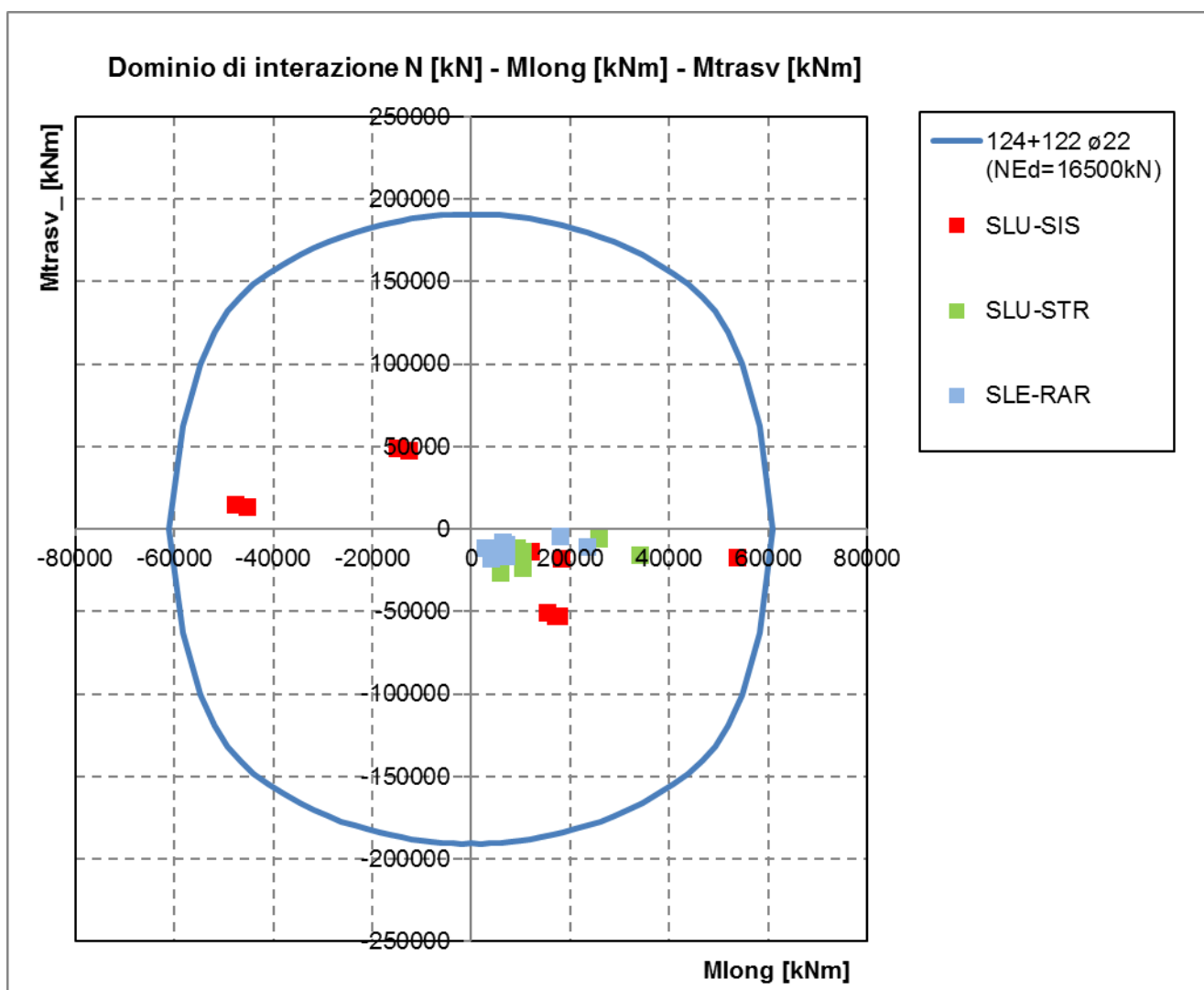
L'armatura longitudinale di calcolo e l'armatura trasversale di calcolo rispettano le quantità minime indicate dalla normativa.

  	ITINERARIO NAPOLI – BARI RADDOPPIO TRATTA CANCELLO – BENEVENTO I° LOTTO FUNZIONALE CANCELLO - FRASSO TELESINO E VARIANTE ALLA LINEA ROMA-NAPOLI VIA CASSINO NEL COMUNE DI MADDALONI – PROGETTO ESECUTIVO												
Pila 10: Relazione di calcolo	<table border="1"> <thead> <tr> <th>COMMESSA</th> <th>LOTTO</th> <th>CODIFICA</th> <th>DOCUMENTO</th> <th>REV.</th> <th>FOGLIO</th> </tr> </thead> <tbody> <tr> <td>IF1N</td> <td>01 E ZZ</td> <td>CL</td> <td>VI0605 008</td> <td>B</td> <td>122 di 137</td> </tr> </tbody> </table>	COMMESSA	LOTTO	CODIFICA	DOCUMENTO	REV.	FOGLIO	IF1N	01 E ZZ	CL	VI0605 008	B	122 di 137
COMMESSA	LOTTO	CODIFICA	DOCUMENTO	REV.	FOGLIO								
IF1N	01 E ZZ	CL	VI0605 008	B	122 di 137								

9.2 VERIFICA SLU A FLESSIONE

Sono riportate a seguire le verifiche SLU della sezione di base della pila, espresse in forma sintetica mediante il diagramma di interazione $M_{long} - M_{trasv}$, valutato per una forza assiale corrispondente alla condizione di verifica più severa.

Le verifiche riportate a seguire sono riferite alla pila avente maggiore altezza tra quelle comprese nel gruppo di sottostrutture considerato nella presente relazione.



La verifica SLU di tipo flessionale nelle sezioni critiche si effettua verificando che:

$$FS = (M_{Rd,long}^2 + M_{Rd,trasv}^2)^{0.5} / (M_{Ed,long}^2 + M_{Ed,trasv}^2)^{0.5} \geq 1$$

  	ITINERARIO NAPOLI – BARI RADDOPPIO TRATTA CANCELLO – BENEVENTO I° LOTTO FUNZIONALE CANCELLO - FRASSO TELESINO E VARIANTE ALLA LINEA ROMA-NAPOLI VIA CASSINO NEL COMUNE DI MADDALONI – PROGETTO ESECUTIVO												
Pila 10: Relazione di calcolo	<table border="1"> <thead> <tr> <th>COMMESSA</th> <th>LOTTO</th> <th>CODIFICA</th> <th>DOCUMENTO</th> <th>REV.</th> <th>FOGLIO</th> </tr> </thead> <tbody> <tr> <td>IF1N</td> <td>01 E ZZ</td> <td>CL</td> <td>VI0605 008</td> <td>B</td> <td>123 di 137</td> </tr> </tbody> </table>	COMMESSA	LOTTO	CODIFICA	DOCUMENTO	REV.	FOGLIO	IF1N	01 E ZZ	CL	VI0605 008	B	123 di 137
COMMESSA	LOTTO	CODIFICA	DOCUMENTO	REV.	FOGLIO								
IF1N	01 E ZZ	CL	VI0605 008	B	123 di 137								

Il valore minimo del fattore di sicurezza FS è pari a

FS **1.14**

La verifica è soddisfatta, in quanto $FS > 1$.

Nel secondo allegato alla presente relazione sono riportate le verifiche in forma completa relative alla pila con altezza maggiore tra quelle appartenenti al gruppo di sottostrutture considerato nella presente relazione.

  	ITINERARIO NAPOLI – BARI RADDOPPIO TRATTA CANCELLO – BENEVENTO I° LOTTO FUNZIONALE CANCELLO - FRASSO TELESINO E VARIANTE ALLA LINEA ROMA-NAPOLI VIA CASSINO NEL COMUNE DI MADDALONI – PROGETTO ESECUTIVO												
Pila 10: Relazione di calcolo	<table border="1"> <thead> <tr> <th>COMMESSA</th> <th>LOTTO</th> <th>CODIFICA</th> <th>DOCUMENTO</th> <th>REV.</th> <th>FOGLIO</th> </tr> </thead> <tbody> <tr> <td>IF1N</td> <td>01 E ZZ</td> <td>CL</td> <td>VI0605 008</td> <td>B</td> <td>124 di 137</td> </tr> </tbody> </table>	COMMESSA	LOTTO	CODIFICA	DOCUMENTO	REV.	FOGLIO	IF1N	01 E ZZ	CL	VI0605 008	B	124 di 137
COMMESSA	LOTTO	CODIFICA	DOCUMENTO	REV.	FOGLIO								
IF1N	01 E ZZ	CL	VI0605 008	B	124 di 137								

9.3 VERIFICA SLU A TAGLIO

Nel caso di sezioni rettangolari la verifica viene effettuata distintamente per le due direzioni longitudinale e trasversale.

Nel caso si sezione circolare si esegue la verifica per un valore del taglio pari a:

$$V = \sqrt{(F1^2 + F2^2)}$$

Per quanto riguarda le combinazioni sismiche, con riferimento ai criteri della GR e a quanto precedentemente dichiarato nel §8.3.2, si procede al calcolo del taglio agente di calcolo sulla base dei risultati delle verifiche flessionali.

$$V_{gr} = V_{Ed} \cdot \gamma_{Rd} \cdot M_{Rd}/M_{Ed} \leq q \cdot V_{Ed}$$

Il valore resistente a taglio della sezione si determina secondo le indicazioni del §4.1.2.1.3.2 [1]:

$$V_{Rd} = \min(V_{Rcd}; V_{Rsd})$$

$$V_{Rcd} = 0,9 \cdot d \cdot b_w \cdot \alpha_c \cdot f_{cd}' \cdot (\text{ctg } \alpha + \text{ctg } \theta) / (1 + \text{ctg}^2 \theta)$$

$$V_{Rsd} = 0,9 \cdot d \cdot A_{sw}/s \cdot f_{yd} \cdot (\text{ctg } \alpha + \text{ctg } \theta) \cdot \text{sen } \alpha \quad \text{in cui}$$

d altezza utile della sezione

b_w larghezza minima della sezione

A_{sw} area dell'armatura trasversale

s interasse tra due armature trasversali consecutive

θ inclinazione delle bielle di calcestruzzo

α angolo di inclinazione dell'armatura trasversale rispetto all'asse dell'elemento

f_{cd}' resistenza a compressione ridotta (pari a 0,5 f_{cd})

α_c coefficiente maggiorativo che tiene conto della compressione

Nel caso di sezione circolare, le dimensioni della sezione rettangolare equivalente da utilizzare per il calcolo della resistenza a taglio della sezione si determinano secondo le indicazioni del §7.9.5.2.2 [1]:

$$d = r + 2 \cdot r_s / \pi$$

$$b = 0,9 \cdot 2 \cdot r$$

I valori di resistenza a taglio degli elementi in c.a. devono inoltre essere divisi per un coefficiente di sicurezza aggiuntivo nei confronti della rottura fragile γ_{Bd} valutato mediante la seguente espressione:

$$1 \leq \gamma_{Bd} = 1,25 + 1 - q \cdot V_{Ed} / V_{gr} \leq 1,25$$

Si riporta a seguire in forma sintetica la verifica più severa della sezione di base del fusto della pila avente maggiore altezza tra quelle comprese nel gruppo di sottostrutture considerato nella presente relazione.

Il minimo valore del fattore di sicurezza FS = V_{Rd} / V_{Ed} è pari a

FS 1.38

La verifica è soddisfatta in quanto FS > 1.

Nel secondo allegato alla presente relazione sono riportate le verifiche in forma completa relative alla pila con altezza maggiore tra quelle appartenenti al gruppo considerato nella presente relazione.

  	ITINERARIO NAPOLI – BARI RADDOPPIO TRATTA CANCELLO – BENEVENTO I° LOTTO FUNZIONALE CANCELLO - FRASSO TELESINO E VARIANTE ALLA LINEA ROMA-NAPOLI VIA CASSINO NEL COMUNE DI MADDALONI – PROGETTO ESECUTIVO												
Pila 10: Relazione di calcolo	<table border="1"> <thead> <tr> <th>COMMESSA</th> <th>LOTTO</th> <th>CODIFICA</th> <th>DOCUMENTO</th> <th>REV.</th> <th>FOGLIO</th> </tr> </thead> <tbody> <tr> <td>IF1N</td> <td>01 E ZZ</td> <td>CL</td> <td>VI0605 008</td> <td>B</td> <td>125 di 137</td> </tr> </tbody> </table>	COMMESSA	LOTTO	CODIFICA	DOCUMENTO	REV.	FOGLIO	IF1N	01 E ZZ	CL	VI0605 008	B	125 di 137
COMMESSA	LOTTO	CODIFICA	DOCUMENTO	REV.	FOGLIO								
IF1N	01 E ZZ	CL	VI0605 008	B	125 di 137								

9.4 VERIFICA SLE TENSIONALE

La verifica SLE di tipo tensionale si effettua verificando che le massime tensioni agenti nella sezione risultino inferiori ai seguenti valori limite:

per le combinazioni SLE-RAR:

- tensione limite nel calcestruzzo: $\sigma_c = 0.55 f_{ck} = 18.3 \text{ MPa}$
- tensione limite nelle barre: $\sigma_s = 0.75 f_{yk} = 337.5 \text{ MPa}$

per le combinazioni SLE-QPE:

- tensione limite nel calcestruzzo: $\sigma_c = 0.40 f_{ck} = 13.3 \text{ MPa}$

Si riporta a seguire in forma sintetica la verifica più severa (in combinazione SLE-RAR) della sezione di base del fusto della pila avente maggiore altezza tra quelle comprese nel gruppo considerato nella presente relazione.

$$\sigma_c = -5.9 \text{ MPa}$$

$$\sigma_s = 94 \text{ MPa}$$

La verifica è soddisfatta.

Nel secondo allegato alla presente relazione sono riportate le verifiche in forma completa.

9.5 VERIFICA SLE A FESSURAZIONE

La verifica SLE a fessurazione si effettua verificando che il massimo valore di apertura delle fessure risulti inferiore ai seguenti valori limite:

per le combinazioni SLE-RAR:

- apertura fessure limite: $w_{lim} = w_1 = 0,20 \text{ mm}$

Si riporta a seguire in forma sintetica la verifica più severa (in combinazione SLE-RAR) della sezione di base del fusto della pila avente maggiore altezza tra quelle comprese nel gruppo di sottostrutture considerato nella presente relazione.

L'ampiezza massima delle fessure calcolata è pari a

$$w_k = 0.154 \text{ mm}$$

Nel secondo allegato alla presente relazione sono riportate le verifiche in forma completa.

9.6 VERIFICA DEGLI SPOSTAMENTI

Nel secondo allegato alla presente relazione sono riportate le verifiche in forma completa relative alla pila avente maggiore altezza tra quelle comprese nel gruppo di sottostrutture considerato nella presente relazione.

  	ITINERARIO NAPOLI – BARI RADDOPPIO TRATTA CANCELLO – BENEVENTO I° LOTTO FUNZIONALE CANCELLO - FRASSO TELESINO E VARIANTE ALLA LINEA ROMA-NAPOLI VIA CASSINO NEL COMUNE DI MADDALONI – PROGETTO ESECUTIVO												
Pila 10: Relazione di calcolo	<table border="1"> <thead> <tr> <th>COMMESSA</th> <th>LOTTO</th> <th>CODIFICA</th> <th>DOCUMENTO</th> <th>REV.</th> <th>FOGLIO</th> </tr> </thead> <tbody> <tr> <td>IF1N</td> <td>01 E ZZ</td> <td>CL</td> <td>VI0605 008</td> <td>B</td> <td>126 di 137</td> </tr> </tbody> </table>	COMMESSA	LOTTO	CODIFICA	DOCUMENTO	REV.	FOGLIO	IF1N	01 E ZZ	CL	VI0605 008	B	126 di 137
COMMESSA	LOTTO	CODIFICA	DOCUMENTO	REV.	FOGLIO								
IF1N	01 E ZZ	CL	VI0605 008	B	126 di 137								

10 VERIFICHE STRUTTURALI DEI PALI DI FONDAZIONE

10.1 GEOMETRIA DELLA SEZIONE DI VERIFICA E ARMATURA

Nelle tabelle seguenti sono descritte le caratteristiche geometriche della sezione di verifica dei pali di fondazione, nonché le caratteristiche di resistenza dei materiali.

<u>GEOMETRIA DELLA SEZIONE</u>		
Diametro del palo =	1200	mm
Copriferro netto c =	60	mm
Classe di resistenza calcestruzzo =	C25/30	Mpa
Classe di resistenza delle barre =	B450C	MPa

Nella seguente tabella sono descritte le caratteristiche geometriche dell'armatura flessionale e a taglio dei pali, con riferimento ad un tratto di lunghezza pari a $10 \varnothing$ dalla sezione di testa. Sono inoltre verificati i requisiti minimi in termini di armatura flessionale a taglio.

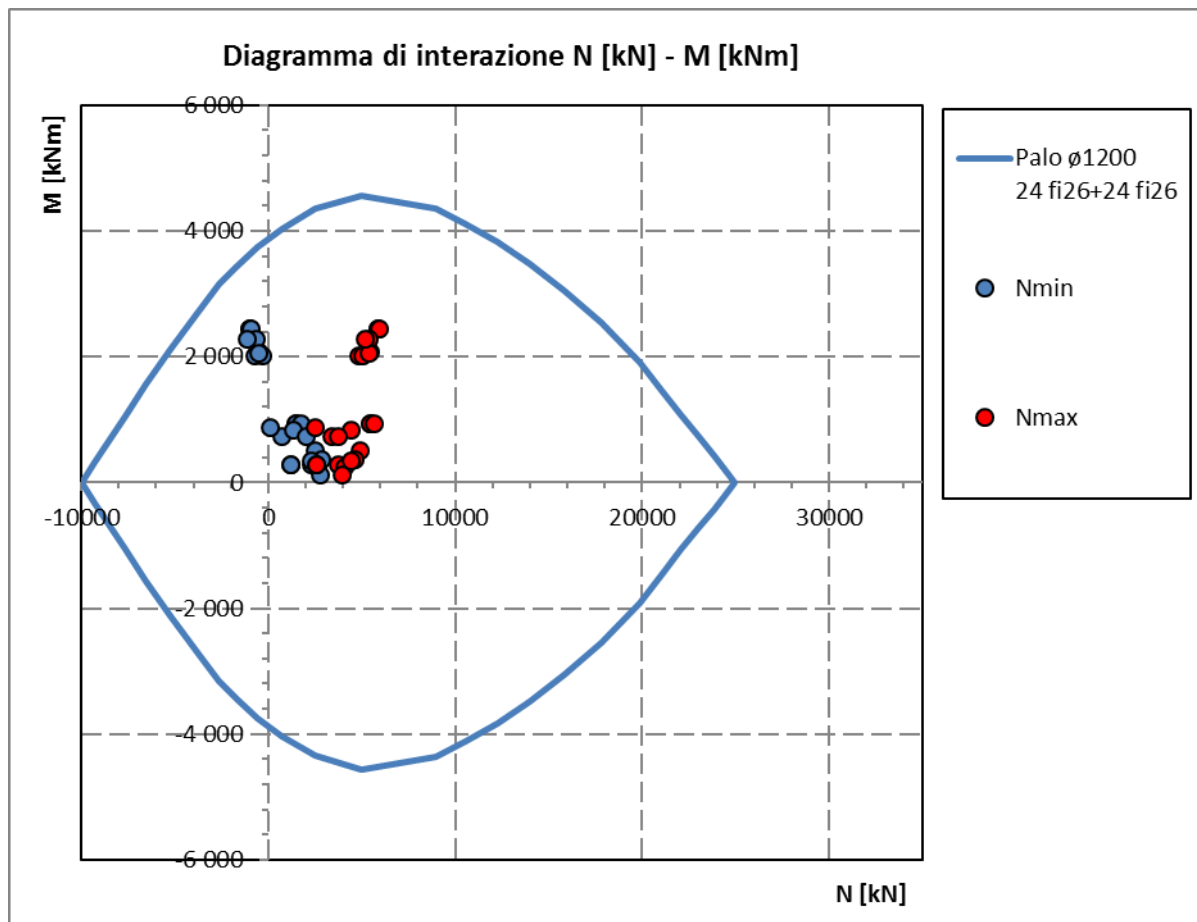
<u>ARMATURA PER I PRIMI $10 \varnothing$</u>		
<i>1° strato di armatura longitudinale</i>		
Numero barre long.	24	-
Diametro barre long.	26	mm
Copriferro baricentrico arm. long. c' =	87	mm
<i>2° strato di armatura longitudinale</i>		
Numero barre long.	24	-
Diametro barre long.	26	mm
Copriferro baricentrico arm. long. c' =	138	mm
<i>Armatura trasversale</i>		
Diametro barre trasv.	14	mm
Passo arm. trasv.	150	mm
Diametro corona esterna =	1066	mm
<u>VERIFICA ARMATURA MINIMA LONG.</u>		
ρ_{min} =	1.00%	
A_c =	1130973	mm ²
$A_{S,min}$ =	11310	mm ²
Armatura long. tot $A_{s,tot}$ =	25485	mm ²
ρ_l =	2.25%	

  	ITINERARIO NAPOLI – BARI RADDOPPIO TRATTA CANCELLO – BENEVENTO I° LOTTO FUNZIONALE CANCELLO - FRASSO TELESINO E VARIANTE ALLA LINEA ROMA-NAPOLI VIA CASSINO NEL COMUNE DI MADDALONI – PROGETTO ESECUTIVO												
Pila 10: Relazione di calcolo	<table border="1"> <thead> <tr> <th>COMMESSA</th> <th>LOTTO</th> <th>CODIFICA</th> <th>DOCUMENTO</th> <th>REV.</th> <th>FOGLIO</th> </tr> </thead> <tbody> <tr> <td>IF1N</td> <td>01 E ZZ</td> <td>CL</td> <td>VI0605 008</td> <td>B</td> <td>127 di 137</td> </tr> </tbody> </table>	COMMESSA	LOTTO	CODIFICA	DOCUMENTO	REV.	FOGLIO	IF1N	01 E ZZ	CL	VI0605 008	B	127 di 137
COMMESSA	LOTTO	CODIFICA	DOCUMENTO	REV.	FOGLIO								
IF1N	01 E ZZ	CL	VI0605 008	B	127 di 137								

10.2 VERIFICA SLU A PRESSOFLESSIONE

Sono riportate a seguire le verifiche SLU della sezione di sommità del palo maggiormente sollecitato, espresse in forma sintetica mediante il diagramma di interazione N [kN] – M [kNm].

Le verifiche riportate a seguire sono riferite alla pila avente maggiore altezza tra quelle comprese nel gruppo di sottostrutture considerato nella presente relazione.



La verifica è soddisfatta in quanto le coppie N-M delle sollecitazioni agenti nella sezione di verifica sono interne al dominio di resistenza per ogni condizione di carico indagata.

Nel secondo allegato alla presente relazione sono riportate le verifiche in forma completa relative alla pila con altezza maggiore tra quelle appartenenti al gruppo di sottostrutture considerato nella presente relazione.

  	ITINERARIO NAPOLI – BARI RADDOPPIO TRATTA CANCELLO – BENEVENTO I° LOTTO FUNZIONALE CANCELLO - FRASSO TELESINO E VARIANTE ALLA LINEA ROMA-NAPOLI VIA CASSINO NEL COMUNE DI MADDALONI – PROGETTO ESECUTIVO												
Pila 10: Relazione di calcolo	<table border="1"> <thead> <tr> <th>COMMESSA</th> <th>LOTTO</th> <th>CODIFICA</th> <th>DOCUMENTO</th> <th>REV.</th> <th>FOGLIO</th> </tr> </thead> <tbody> <tr> <td>IF1N</td> <td>01 E ZZ</td> <td>CL</td> <td>VI0605 008</td> <td>B</td> <td>128 di 137</td> </tr> </tbody> </table>	COMMESSA	LOTTO	CODIFICA	DOCUMENTO	REV.	FOGLIO	IF1N	01 E ZZ	CL	VI0605 008	B	128 di 137
COMMESSA	LOTTO	CODIFICA	DOCUMENTO	REV.	FOGLIO								
IF1N	01 E ZZ	CL	VI0605 008	B	128 di 137								

10.3 VERIFICA SLU A TAGLIO

Nel caso di sezione circolare si esegue la verifica per un valore del taglio pari a:

$$V = \sqrt{(F1^2 + F2^2)}$$

Per quanto riguarda le combinazioni sismiche, con riferimento ai criteri della GR e a quanto precedentemente dichiarato nel §8.3.2, si procede al calcolo del taglio agente di calcolo sulla base dei risultati delle verifiche flessionali.

$$V_{gr} = V_{Ed} \cdot \gamma_{Rd} \cdot M_{Rd}/M_{Ed} \leq q \cdot V_{Ed}$$

Il valore resistente a taglio della sezione si determina secondo le indicazioni del §4.1.2.1.3.2 [1]:

$$V_{Rd} = \min(V_{Rcd}; V_{Rsd})$$

$$V_{Rcd} = 0,9 \cdot d \cdot b_w \cdot \alpha_c \cdot f_{cd}' \cdot (\text{ctg } \alpha + \text{ctg } \theta) / (1 + \text{ctg}^2 \theta)$$

$$V_{Rsd} = 0,9 \cdot d \cdot A_{sw}/s \cdot f_{yd} \cdot (\text{ctg } \alpha + \text{ctg } \theta) \cdot \sin \alpha$$

in cui

- d altezza utile della sezione
- b_w larghezza minima della sezione
- A_{sw} area dell'armatura trasversale
- s interasse tra due armature trasversali consecutive
- θ inclinazione delle bielle di calcestruzzo
- α angolo di inclinazione dell'armatura trasversale rispetto all'asse dell'elemento
- f_{cd}' resistenza a compressione ridotta (pari a $0,5 f_{cd}$)
- α_c coefficiente maggiorativo che tiene conto della compressione

Nel caso di sezione circolare, le dimensioni della sezione rettangolare equivalente da utilizzare per il calcolo della resistenza a taglio della sezione si determinano secondo le indicazioni del §7.9.5.2.2 [1]:

$$d = r + 2 \cdot r_s / \pi$$

$$b = 0,9 \cdot 2 \cdot r$$

Si riporta a seguire in forma sintetica la verifica più severa (in combinazione SLV-SIS) relativa alla pila avente maggiore altezza tra quelle comprese nel gruppo considerato nella presente relazione.

Il minimo valore del fattore di sicurezza $FS = V_{Rd} / V_{Ed}$ è pari a

FS 1.82

La verifica è soddisfatta, in quanto $FS > 1$.

Negli allegati alla presente relazione sono riportate le verifiche in forma completa relative alla pila con altezza maggiore tra quelle appartenenti al gruppo considerato.

  	ITINERARIO NAPOLI – BARI RADDOPPIO TRATTA CANCELLO – BENEVENTO I° LOTTO FUNZIONALE CANCELLO - FRASSO TELESINO E VARIANTE ALLA LINEA ROMA-NAPOLI VIA CASSINO NEL COMUNE DI MADDALONI – PROGETTO ESECUTIVO												
Pila 10: Relazione di calcolo	<table border="1"> <thead> <tr> <th>COMMESSA</th> <th>LOTTO</th> <th>CODIFICA</th> <th>DOCUMENTO</th> <th>REV.</th> <th>FOGLIO</th> </tr> </thead> <tbody> <tr> <td>IF1N</td> <td>01 E ZZ</td> <td>CL</td> <td>V10605 008</td> <td>B</td> <td>129 di 137</td> </tr> </tbody> </table>	COMMESSA	LOTTO	CODIFICA	DOCUMENTO	REV.	FOGLIO	IF1N	01 E ZZ	CL	V10605 008	B	129 di 137
COMMESSA	LOTTO	CODIFICA	DOCUMENTO	REV.	FOGLIO								
IF1N	01 E ZZ	CL	V10605 008	B	129 di 137								

10.4 VERIFICA SLE TENSIONALE

La verifica SLE di tipo tensionale si effettua verificando che le massime tensioni agenti nella sezione risultino inferiori ai seguenti valori limite:

per le combinazioni SLE-RAR:

- tensione limite nel calcestruzzo: $\sigma_c = 0.55 f_{ck} = 13.7 \text{ MPa}$
- tensione limite nelle barre: $\sigma_s = 0.75 f_{yk} = 337.5 \text{ MPa}$

per le combinazioni SLE-QP:

- tensione limite nel calcestruzzo: $\sigma_c = 0.40 f_{ck} = 10.0 \text{ MPa}$

Si riporta a seguire in forma sintetica la verifica più severa (in combinazione SLE-RAR) relativa alla pila avente maggiore altezza tra quelle comprese nel gruppo considerato nella presente relazione.

σ_c	-4.2	MPa
σ_s	54.5	MPa

La verifica è soddisfatta.

Negli allegati alla presente relazione sono riportate le verifiche in forma completa.

10.5 VERIFICA SLE A FESSURAZIONE

La verifica SLE a fessurazione si effettua verificando che il massimo valore di apertura delle fessure risulti inferiore ai seguenti valori limite:

per le combinazioni SLE-RAR:

- apertura fessure limite: $w_{lim} = w_1 = 0.30 \text{ mm}$

Si riporta a seguire in forma sintetica la verifica più severa (in combinazione SLE-RAR) relativa alla pila avente maggiore altezza tra quelle comprese nel gruppo considerato nella presente relazione.

L'ampiezza massima delle fessure calcolata è pari a

w_k	0.075	mm
-------	--------------	----

Negli allegati alla presente relazione sono riportate le verifiche in forma completa.

	ITINERARIO NAPOLI – BARI RADDOPPIO TRATTA CANCELLO – BENEVENTO I° LOTTO FUNZIONALE CANCELLO - FRASSO TELESINO E VARIANTE ALLA LINEA ROMA-NAPOLI VIA CASSINO NEL COMUNE DI MADDALONI – PROGETTO ESECUTIVO												
Pila 10: Relazione di calcolo	<table border="1"> <thead> <tr> <th>COMMESSA</th> <th>LOTTO</th> <th>CODIFICA</th> <th>DOCUMENTO</th> <th>REV.</th> <th>FOGLIO</th> </tr> </thead> <tbody> <tr> <td>IF1N</td> <td>01 E ZZ</td> <td>CL</td> <td>VI0605 008</td> <td>B</td> <td>130 di 137</td> </tr> </tbody> </table>	COMMESSA	LOTTO	CODIFICA	DOCUMENTO	REV.	FOGLIO	IF1N	01 E ZZ	CL	VI0605 008	B	130 di 137
COMMESSA	LOTTO	CODIFICA	DOCUMENTO	REV.	FOGLIO								
IF1N	01 E ZZ	CL	VI0605 008	B	130 di 137								

11 VERIFICHE STRUTTURALI DEL PLINTO DI FONDAZIONE

11.1 VERIFICHE SLU-SLE CON MECCANISMO TIRANTE-PUNTO

La verifica strutturale del plinto viene condotta a seguire impiegando un modello tirante-puntone, come quello rappresentato nella figura seguente, tratta da §C4.1.2.1.5 [2].

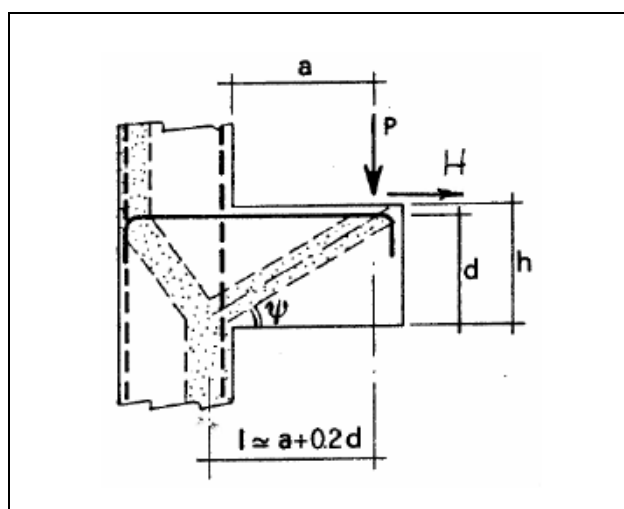


Figura 43 – Meccanismo tirante puntone della mensola tozza

Si distinguono due meccanismi di tipo tirante-puntone principali nel plinto di fondazione, illustrati nelle figure seguenti e descritti a seguire:

- un primo meccanismo è innescato dalle azioni trasmesse al plinto dai pali centrali e coinvolge un tirante-puntone parallelo alla direzione longitudinale (evidenziato in verde). Tale meccanismo coinvolge la sola armatura longitudinale inferiore del plinto.
- un secondo meccanismo coinvolge i pali di spigolo ed innesca un tirante-puntone con direzione diagonale (evidenziato in rosso), individuata da un angolo α misurato rispetto alla direzione trasversale. Tale meccanismo coinvolge sia l'armatura longitudinale inferiore del plinto che l'armatura trasversale, pertanto, ai fini delle verifiche del tirante di armatura e della biella di calcestruzzo, si considera composto dalla somma vettoriale di due meccanismi ortogonali disaccoppiati.

Pila 10: Relazione di calcolo

COMMESSA	LOTTO	CODIFICA	DOCUMENTO	REV.	FOGLIO
IF1N	01 E ZZ	CL	VI0605 008	B	131 di 137

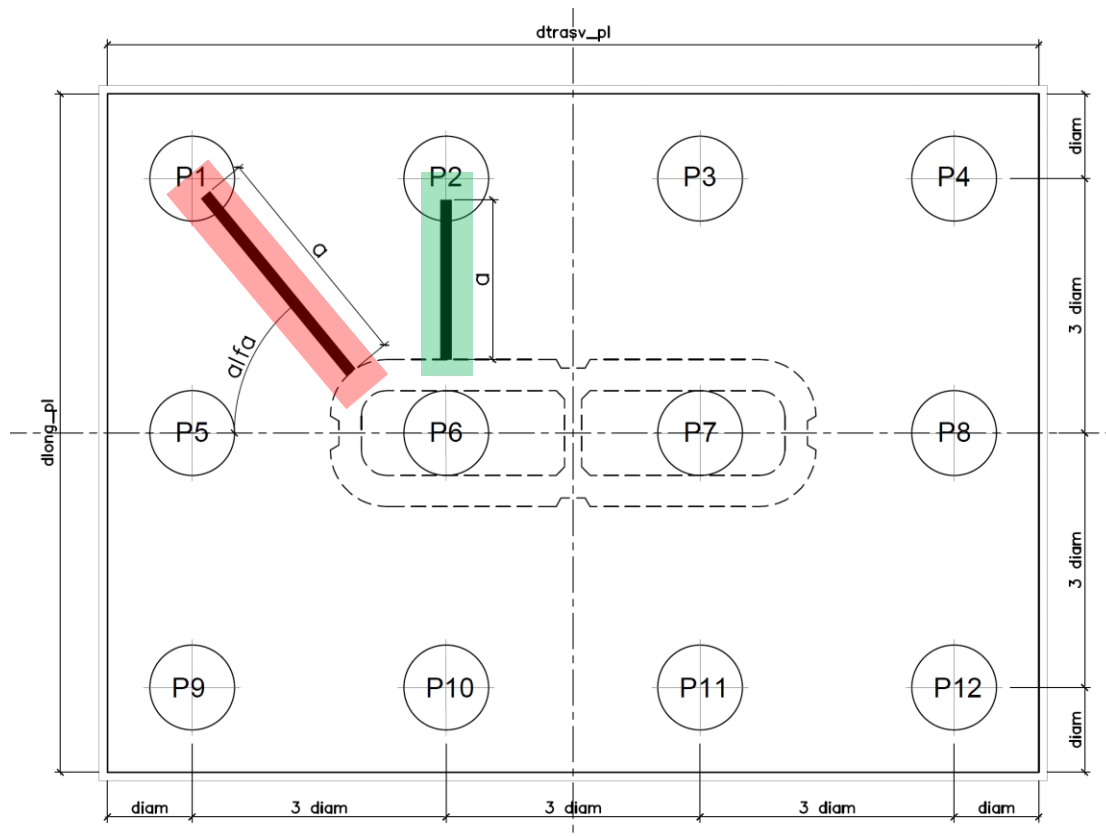


Figura 44 – Vista in pianta - Tirante-puntone longitudinale (verde) e diagonale (rosso) – $\alpha = 59^\circ$

A seguire si riporta una immagine che illustra, in una vista in sezione, la geometria di un generico meccanismo tirante puntone che si innesca nel plinto per azione dei carichi concentrati trasmessi dai pali di fondazione

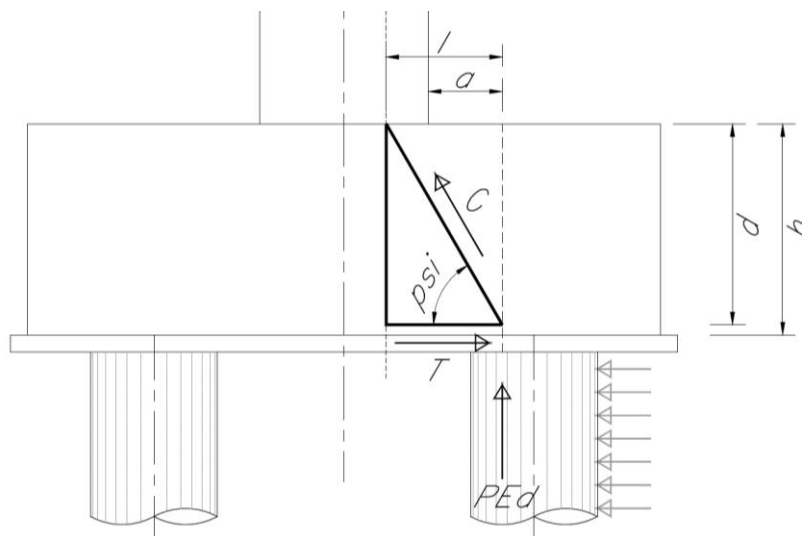


Figura 45 –Tirante puntone - Biella compressa di calcestruzzo C e tirante di armatura T

  	ITINERARIO NAPOLI – BARI RADDOPPIO TRATTA CANCELLO – BENEVENTO I° LOTTO FUNZIONALE CANCELLO - FRASSO TELESINO E VARIANTE ALLA LINEA ROMA-NAPOLI VIA CASSINO NEL COMUNE DI MADDALONI – PROGETTO ESECUTIVO												
Pila 10: Relazione di calcolo	<table border="1"> <thead> <tr> <th>COMMESSA</th> <th>LOTTO</th> <th>CODIFICA</th> <th>DOCUMENTO</th> <th>REV.</th> <th>FOGLIO</th> </tr> </thead> <tbody> <tr> <td>IF1N</td> <td>01 E ZZ</td> <td>CL</td> <td>VI0605 008</td> <td>B</td> <td>132 di 137</td> </tr> </tbody> </table>	COMMESSA	LOTTO	CODIFICA	DOCUMENTO	REV.	FOGLIO	IF1N	01 E ZZ	CL	VI0605 008	B	132 di 137
COMMESSA	LOTTO	CODIFICA	DOCUMENTO	REV.	FOGLIO								
IF1N	01 E ZZ	CL	VI0605 008	B	132 di 137								

La forza di taglio di calcolo H_{Ed} agente alla testa del palo si trascura in via conservativa, in quanto il suo effetto ridurrebbe la trazione nel tirante inferiore d'armatura, essendo tale azione di taglio indotta dalla reazione del terreno.

Ai fini delle successive verifiche, le azioni concentrate P_{Ed} [kN] trasmesse dai pali al plinto sono assunte pari alle forze assiali agenti in testa al palo N_{max} [kN], ridotte della quota parte spettante ad ogni palo del peso del plinto P_{pl} [kN] e del peso del rinterro P_{terr} [kN] presente all'estradosso del plinto:

$$P_{Ed} = N_{max} - (P_{pl} + P_{terr}) / n_{pali}$$

La larghezza della sezione resistente del tirante di armatura e della biella compressa (B_{eff} = larghezza efficace) viene assunta pari a:

- per i pali centrali all'interasse pali i ($B_{eff} = i = 3 \text{ diam}$);
- per i pali di bordo a metà interasse pali i più la distanza dal bordo d_b ($B_{eff} = i / 2 + d_b = 2.5 \text{ diam}$).

L'altezza della sezione della biella compressa viene assunta pari a

$$h_c = 0.4 c d \sin \psi \text{ (si assume } c = 1)$$

in conformità a quanto riportato in §C4.1.2.1.5 [2].

11.1.1 GEOMETRIA DEL TIRANTE-PUNTONONE

11.1.1.1 TIRANTE – PUNTONONE IN DIREZIONE DIAGONALE

a	2.60 m
h	2.50 m
d = h-cferro	2.39 m
l	3.08 m
tan psi	0.70
psi	35.0 °

11.1.1.2 TIRANTE – PUNTONONE IN DIREZIONE LONGITUDINALE

a	2.00 m
h	2.50 m
d = h-cferro	2.39 m
l	2.48 m
tan psi	1.08
psi	47.1 °

  	ITINERARIO NAPOLI – BARI RADDOPPIO TRATTA CANCELLO – BENEVENTO I° LOTTO FUNZIONALE CANCELLO - FRASSO TELESINO E VARIANTE ALLA LINEA ROMA-NAPOLI VIA CASSINO NEL COMUNE DI MADDALONI – PROGETTO ESECUTIVO					
	Pila 10: Relazione di calcolo	COMMESSA IF1N	LOTTO 01 E ZZ	CODIFICA CL	DOCUMENTO VI0605 008	REV. B

11.1.2 SEZIONE DEL TIRANTE DI ARMATURA E DELLA BIELLA COMPRESSA

Con riferimento alla figura seguente, l'armatura prevista nel plinto di fondazione è descritta a seguire:

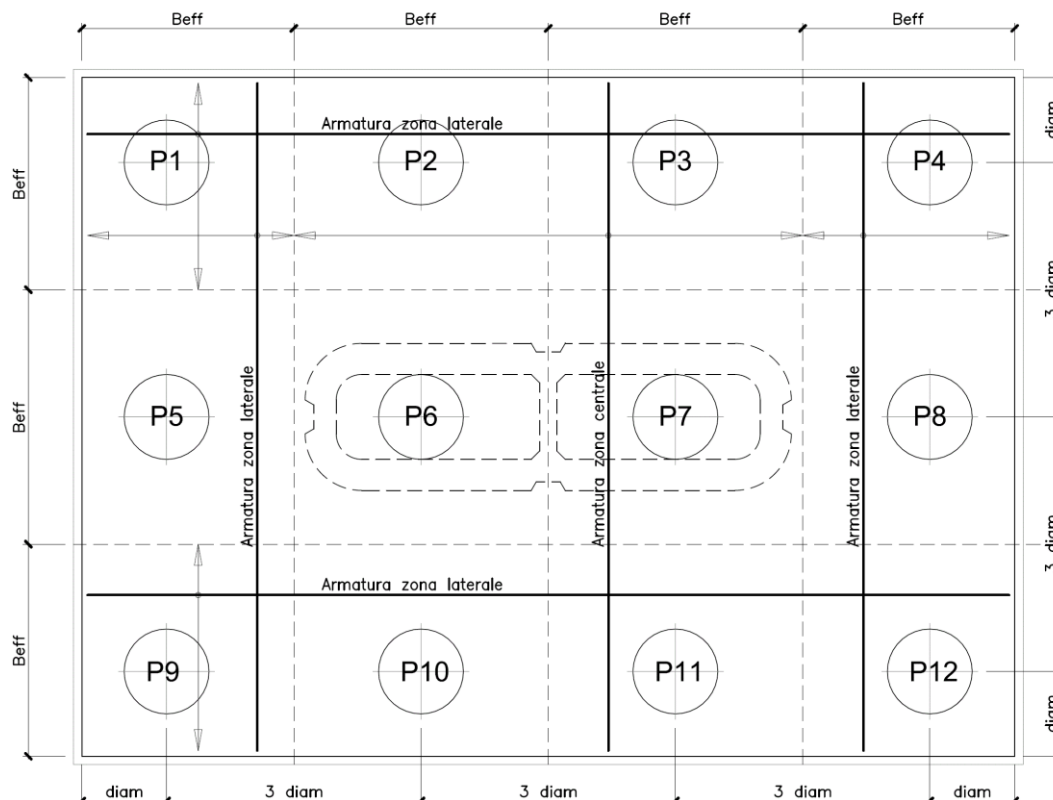


Figura 46 – Plinto di fondazione – Armatura longitudinale inferiore e superiore

Il tirante d'armatura impiegato nelle verifiche è descritto nella tabella seguente.

	Armatura inferiore di verifica			Armatura superiore di verifica			
	Zona laterale		Zona centrale	Zona laterale		Zona centrale	
	dir. Long.	dir. Trasv.	dir. Long.	dir. Long.	dir. Trasv.	dir. Long.	
Beff	3.0	3.0	3.6	3.0	3.0	3.6	[m]
øbarre	2.80	2.80	2.80	2.40	2.40	2.40	[cm]
ibarre	0.15	0.15	0.15	0.20	0.20	0.20	[m]
nstrati	2.00	2.00	1.50	1.50	1.00	1.00	
nbarre	40	40	36	22	15	18	
A1b	6.15	6.15	6.15	4.52	4.52	4.52	[cm ²]
Atot	246	246	222	99	68	81	[cm ²]

  	ITINERARIO NAPOLI – BARI RADDOPPIO TRATTA CANCELLO – BENEVENTO I° LOTTO FUNZIONALE CANCELLO - FRASSO TELESINO E VARIANTE ALLA LINEA ROMA-NAPOLI VIA CASSINO NEL COMUNE DI MADDALONI – PROGETTO ESECUTIVO												
Pila 10: Relazione di calcolo	<table border="1"> <tr> <td>COMMESSA</td> <td>LOTTO</td> <td>CODIFICA</td> <td>DOCUMENTO</td> <td>REV.</td> <td>FOGLIO</td> </tr> <tr> <td>IF1N</td> <td>01 E ZZ</td> <td>CL</td> <td>VI0605 008</td> <td>B</td> <td>134 di 137</td> </tr> </table>	COMMESSA	LOTTO	CODIFICA	DOCUMENTO	REV.	FOGLIO	IF1N	01 E ZZ	CL	VI0605 008	B	134 di 137
COMMESSA	LOTTO	CODIFICA	DOCUMENTO	REV.	FOGLIO								
IF1N	01 E ZZ	CL	VI0605 008	B	134 di 137								

La sezione della biella compressa di calcestruzzo impiegata nelle verifiche è descritta nella tabella seguente.

	Biella inferiore di verifica		Biella superiore di verifica		
	Zona laterale	Zona centrale	Zona laterale	Zona centrale	
	dir. Long.	dir. Long.	dir. Long.	dir. Long.	
Bc	3.00	3.60	3.00	3.60	[m]
hc	0.55	0.70	0.55	0.70	[m]
Ac	1.64	2.52	1.64	2.52	[m2]

11.1.3 VERIFICHE SLU DELLE TENSIONI NORMALI

La verifica SLE di tipo tensionale si effettua verificando che le massime tensioni agenti nella sezione risultino inferiori ai seguenti valori limite:

per le combinazioni SLU e SLV:

- tensione limite nel calcestruzzo: $\sigma_c = f_{cd}' = 0.5 f_{cd} = 8.2 \text{ MPa}$
- tensione limite nelle barre: $\sigma_s = f_{yd} = 391 \text{ MPa}$

Si riportano a seguire in forma sintetica le verifiche più severe dei meccanismi tirante-puntone che si innescano nel plinto della pila avente maggiore altezza tra quelle comprese nel gruppo di sottostrutture considerato nella presente relazione.

	Nmax	PEd	T	σ_{s_long}	σ_{s_trasv}	< f _{yd}	C	σ_c	< f _{cd} '
SIS-SLV	5740	4882	6986	241	150	VERO	8523	5.2	VERO
	kN	kN	kN	Mpa	Mpa		kN	Mpa	

Negli allegati alla presente relazione sono riportate le verifiche in forma completa relative al plinto della pila con altezza maggiore tra quelle appartenenti al gruppo considerato.

11.1.4 VERIFICHE SLE DELLE TENSIONI NORMALI

La verifica SLE di tipo tensionale si effettua verificando che le massime tensioni agenti nella sezione risultino inferiori ai seguenti valori limite:

per le combinazioni SLE-RAR:

- tensione limite nel calcestruzzo: $\sigma_c = 0.55 f_{ck} = 16.0 \text{ MPa}$
- tensione limite nelle barre: $\sigma_s = 0.75 f_{yk} = 337.5 \text{ MPa}$

per le combinazioni SLE-QPE:

- tensione limite nel calcestruzzo: $\sigma_c = 0.40 f_{ck} = 11.6 \text{ MPa}$

  	ITINERARIO NAPOLI – BARI RADDOPPIO TRATTA CANCELLO – BENEVENTO I° LOTTO FUNZIONALE CANCELLO - FRASSO TELESINO E VARIANTE ALLA LINEA ROMA-NAPOLI VIA CASSINO NEL COMUNE DI MADDALONI – PROGETTO ESECUTIVO												
Pila 10: Relazione di calcolo	<table border="1" style="width: 100%; border-collapse: collapse;"> <tr> <td style="text-align: center;">COMMESSA</td> <td style="text-align: center;">LOTTO</td> <td style="text-align: center;">CODIFICA</td> <td style="text-align: center;">DOCUMENTO</td> <td style="text-align: center;">REV.</td> <td style="text-align: center;">FOGLIO</td> </tr> <tr> <td style="text-align: center;">IF1N</td> <td style="text-align: center;">01 E ZZ</td> <td style="text-align: center;">CL</td> <td style="text-align: center;">VI0605 008</td> <td style="text-align: center;">B</td> <td style="text-align: center;">135 di 137</td> </tr> </table>	COMMESSA	LOTTO	CODIFICA	DOCUMENTO	REV.	FOGLIO	IF1N	01 E ZZ	CL	VI0605 008	B	135 di 137
COMMESSA	LOTTO	CODIFICA	DOCUMENTO	REV.	FOGLIO								
IF1N	01 E ZZ	CL	VI0605 008	B	135 di 137								

Si riportano a seguire in forma sintetica le verifiche più severe dei meccanismi tirante-puntone che si innescano nel plinto della pila avente maggiore altezza tra quelle comprese nel gruppo di sottostrutture considerato nella presente relazione.

	Nmax	PEd	T	σ_{s_long}	σ_{s_trasv}	< 0.75 fyk	C	σ_c	< 0.40 fck'
SLE-RAR	3839	2982	4267	147	92	VERO	5206	3.2	VERO
	kN	kN	kN	Mpa	Mpa		kN	Mpa	

Negli allegati alla presente relazione sono riportate le verifiche in forma completa relative al plinto della pila con altezza maggiore tra quelle appartenenti al gruppo considerato.

11.2 VERIFICA SLU A PUNZONAMENTO

Il valore resistente a taglio-punzonamento della sezione si determina secondo le indicazioni del §4.1.2.1.3.1 e 4 [1]:

$$V_{Rd,c} = V_{Rd,c} / u \quad \text{in cui}$$

$$V_{Rd,c} = (0.18 k (100 \rho_l f_{ck})^{1/3} / \gamma_c + 0.15 \sigma_{cp}) b_w d \geq (v_{min} + 0.15 \sigma_{cp}) b_w d$$

u = perimetro efficace per la verifica a taglio-punzonamento

d = altezza utile della sezione

b_w = larghezza minima della sezione

$$k = 1 + (200/d)^{1/2} \leq 2$$

$$v_{min} = 0.035 k^{3/2} f_{ck}^{1/2}$$

$$\rho_l = A_{sl} / (b_w d)$$

$$\sigma_{cp} = N_{Ed} / A_c$$

Conservativamente, la verifica è stata sempre riferita al palo di bordo maggiormente sollecitato e lo sviluppo del perimetro efficace u è stato definito considerando una distanza dall'impronta caricata (coincidente con la sezione di testa del palo) pari a $d = a * 0.9 * H_{pl}$ (H_{pl} = altezza plinto, $a < 2$), come illustrato nella seguente figura.

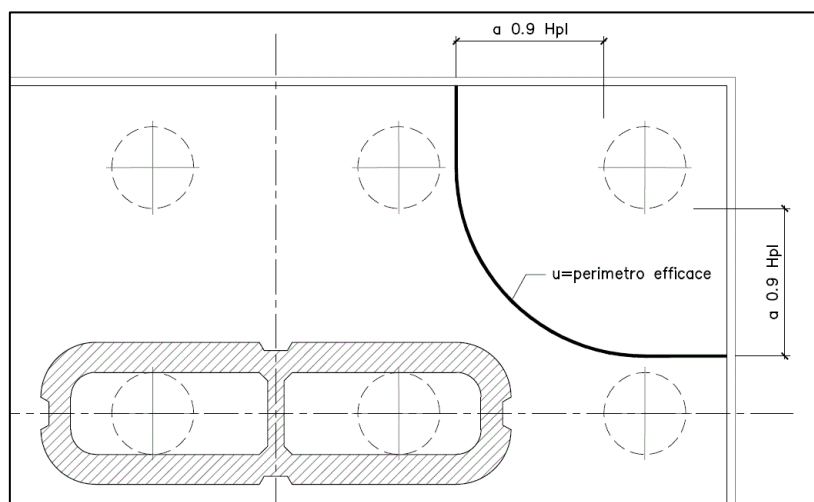


Figura 47 – Perimetro efficace per la verifica a taglio punzonamento

  	ITINERARIO NAPOLI – BARI RADDOPPIO TRATTA CANCELLO – BENEVENTO I° LOTTO FUNZIONALE CANCELLO - FRASSO TELESINO E VARIANTE ALLA LINEA ROMA-NAPOLI VIA CASSINO NEL COMUNE DI MADDALONI – PROGETTO ESECUTIVO												
Pila 10: Relazione di calcolo	<table border="1"> <thead> <tr> <th>COMMESSA</th> <th>LOTTO</th> <th>CODIFICA</th> <th>DOCUMENTO</th> <th>REV.</th> <th>FOGLIO</th> </tr> </thead> <tbody> <tr> <td>IF1N</td> <td>01 E ZZ</td> <td>CL</td> <td>VI0605 008</td> <td>B</td> <td>136 di 137</td> </tr> </tbody> </table>	COMMESSA	LOTTO	CODIFICA	DOCUMENTO	REV.	FOGLIO	IF1N	01 E ZZ	CL	VI0605 008	B	136 di 137
COMMESSA	LOTTO	CODIFICA	DOCUMENTO	REV.	FOGLIO								
IF1N	01 E ZZ	CL	VI0605 008	B	136 di 137								

Si riporta a seguire in forma sintetica la verifica più severa (in combinazione SLV-SIS) a a taglio-punzonamento della pila avente maggiore altezza tra quelle comprese nel gruppo di sottostrutture considerato nella presente relazione.

VEd	4882	kN
a	1.0	
u	6.9	m
vEd	0.296	MPa
vRd,c	0.354	MPa

Negli allegati alla presente relazione sono riportate le verifiche in forma completa.

11.3 VERIFICA SLE A FESSURAZIONE

La verifica SLE a fessurazione si effettua verificando che il massimo valore di apertura delle fessure risulti inferiore ai seguenti valori limite:

per le combinazioni SLE-RAR:

- apertura fessure limite: $w_{lim} = w_1 = 0.30 \text{ mm}$

Si riporta a seguire in forma sintetica la verifica più severa (in combinazione SLE-RAR) della pila avente maggiore altezza tra quelle comprese nel gruppo di sottostrutture considerato nella presente relazione.

L'ampiezza massima delle fessure calcolata è pari a

wk	0.249	mm
----	--------------	----

Negli allegati alla presente relazione sono riportate le verifiche in forma completa.

  	ITINERARIO NAPOLI – BARI RADDOPPIO TRATTA CANCELLO – BENEVENTO I° LOTTO FUNZIONALE CANCELLO - FRASSO TELESINO E VARIANTE ALLA LINEA ROMA-NAPOLI VIA CASSINO NEL COMUNE DI MADDALONI – PROGETTO ESECUTIVO												
Pila 10: Relazione di calcolo	<table border="1"> <thead> <tr> <th>COMMESSA</th> <th>LOTTO</th> <th>CODIFICA</th> <th>DOCUMENTO</th> <th>REV.</th> <th>FOGLIO</th> </tr> </thead> <tbody> <tr> <td>IF1N</td> <td>01 E ZZ</td> <td>CL</td> <td>VI0605 008</td> <td>B</td> <td>137 di 137</td> </tr> </tbody> </table>	COMMESSA	LOTTO	CODIFICA	DOCUMENTO	REV.	FOGLIO	IF1N	01 E ZZ	CL	VI0605 008	B	137 di 137
COMMESSA	LOTTO	CODIFICA	DOCUMENTO	REV.	FOGLIO								
IF1N	01 E ZZ	CL	VI0605 008	B	137 di 137								

12 INCIDENZE

Incidenza pulvino: 120 kg/m³
 Incidenza fusto: 230 kg/m³
 Incidenza platea: 90 kg/m³
 Incidenza pali: 130 kg/m³

ALLEGATO 1

NOME COMB.	G - Permanenti			Q1 - Variabili verticali							Q2 - Avviamento e frenatura							Q3 - Centrifuga							Q4 - Serpeggio							Q5 - Variabili Q6 - Azioni interne Q7 - Effetti d'interazione			E - Azioni sismiche			Descrizione								
	G1	G2	G22	Q11	Q12	Q13	Q14	Q15	Q16	Q17	Q21	Q22	Q23	Q24	Q25	Q26	Q27	Q31	Q32	Q33	Q34	Q35	Q36	Q37	Q41	Q42	Q43	Q44	Q45	Q46	Q47	Q51	Q61	Q71	E1	E2	E3									
SLU-GEO-041	1	1,3	1,3	0	0	0	1,25	0	0	0	0	0	0	0	0	0	0	0	0	0,63	0	0	0	0	0	0	0,63	0	0	0	0	0	0	0	0	1,25	0	0	0	0	0	0	Q14	gruppo 3		
SLU-GEO-042	1	1,3	1,3	0	0	0	0	1,25	0	0	0	0	0	0	0	0	0	0	0	0	0,63	0	0	0	0	0	0	0	0,63	0	0	0	0	0	0	0	1,25	0	0	0	0	0	0	Q15	gruppo 3	
SLU-GEO-043	1	1,3	1,3	0	0	0	0	0	0	1,25	0	0	0	0	0	0	0	0	0	0	0	0,63	0	0	0	0	0	0	0	0,63	0	0	0	0	0	0	0	1,25	0	0	0	0	0	0	Q16	gruppo 3
SLU-GEO-044	1	1	0	0	0	0	0	0	0	0	0,63	0	0	0	0	0	1,25	0	0	0	0	0	0	0	0	0	0	0	0	0	0	0	0	0	0	0	0	0,63	0	1,25	0	0	0	0	Q27	gruppo 3-2
SLU-GEO-045	1	1,3	1,3	1,25	0	0	0	0	0	0	0	0,63	0	0	0	0	0	1,25	0	0	0	0	0	0	0	1,25	0	0	0	0	0	0	0	0	0	0	0	0	0	0,78	0	0	0	Q11	gruppo 1	
SLU-GEO-046	1	1,3	1,3	0	1,25	0	0	0	0	0	0	0	0,63	0	0	0	0	0	1,25	0	0	0	0	0	0	0	1,25	0	0	0	0	0	0	0	0	0	0	0	0,78	0	0	0	Q12	gruppo 1		
SLU-GEO-047	1	1,3	1,3	0	0	1,25	0	0	0	0	0	0	0	0	0	0	0	0	1,25	0	0	0	0	0	0	0	1,25	0	0	0	0	0	0	0	0	0	0	0,78	0	0	0	Q13	gruppo 1			
SLU-GEO-048	1	1,3	1,3	0	0	0	1,25	0	0	0	0	0	0	0	0	0	0	0	0	1,25	0	0	0	0	0	0	1,25	0	0	0	0	0	0	0	0	0	0,78	0	0	0	Q14	gruppo 1				
SLU-GEO-049	1	1,3	1,3	0	0	0	0	1,25	0	0	0	0	0	0,63	0	0	0	0	0	0	0	0	1,25	0	0	0	0	1,25	0	0	0	0	0	0	0	0	0,78	0	0	0	Q15	gruppo 1				
SLU-GEO-050	1	1,3	1,3	0	0	0	0	0	0	1,25	0	0	0	0	0,63	0	0	0	0	0	0	0	1,25	0	0	0	0	1,25	0	0	0	0	0	0	0	0	0,78	0	0	0	Q16	gruppo 1				
SLU-GEO-051	1	1,3	1,3	1,25	0	0	0	0	0	0	0	1,25	0	0	0	0	0	0,63	0	0	0	0	0	0	0,63	0	0	0	0	0	0	0	0	0	0	0	0,78	0	0	0	Q11	gruppo 3				
SLU-GEO-052	1	1,3	1,3	0	1,25	0	0	0	0	0	0	0	1,25	0	0	0	0	0	0,63	0	0	0	0	0	0	0	0,63	0	0	0	0	0	0	0	0	0	0,78	0	0	0	Q12	gruppo 3				
SLU-GEO-053	1	1,3	1,3	0	0	1,25	0	0	0	0	0	0	0	1,25	0	0	0	0	0	0,63	0	0	0	0	0	0	0,63	0	0	0	0	0	0	0	0	0,78	0	0	0	Q13	gruppo 3					
SLU-GEO-054	1	1,3	1,3	0	0	0	1,25	0	0	0	0	0	0	0	0	0	0	0	0	0,63	0	0	0	0	0	0	0,63	0	0	0	0	0	0	0	0	0,78	0	0	0	Q14	gruppo 3					
SLU-GEO-055	1	1,3	1,3	0	0	0	0	1,25	0	0	0	0	0	0	1,25	0	0	0	0	0	0	0	0,63	0	0	0	0,63	0	0	0	0	0	0	0	0	0,78	0	0	0	Q15	gruppo 3					
SLU-GEO-056	1	1,3	1,3	0	0	0	0	0	0	1,25	0	0	0	0	0	1,25	0	0	0	0	0	0	0	0,63	0	0	0	0	0,63	0	0	0	0	0	0	0,78	0	0	0	Q16	gruppo 3					
SLU-GEO-057	1	1	0	0	0	0	0	0	0	0	0,63	0	0	0	0	0	1,25	0	0	0	0	0	0	0	0	0	0	0	0	0	0	0	0	0	0,63	0	0	0,78	0	0	0	Q27	gruppo 3-2			
SLU-GEO-058	1	1,3	1,3	1,25	0	0	0	0	0	0	0	0,63	0	0	0	0	0	1,25	0	0	0	0	0	0	1,25	0	0	0	0	0	0	0	0	0	0,78	1,25	0,78	0	0	0	0	Q11	gruppo 1			
SLU-GEO-059	1	1,3	1,3	0	1,25	0	0	0	0	0	0	0	0,63	0	0	0	0	0	1,25	0	0	0	0	0	0	0	1,25	0	0	0	0	0	0	0	0,78	1,25	0,78	0	0	0	0	Q12	gruppo 1			
SLU-GEO-060	1	1,3	1,3	0	0	1,25	0	0	0	0	0	0	0	0	0	0	0	0	0	1,25	0	0	0	0	0	0	1,25	0	0	0	0	0	0	0,78	1,25	0,78	0	0	0	0	Q13	gruppo 1				
SLU-GEO-061	1	1,3	1,3	0	0	0	1,25	0	0	0	0	0	0	0,63	0	0	0	0	0	0	1,25	0	0	0	0	0	1,25	0	0	0	0	0	0	0,78	1,25	0,78	0	0	0	0	Q14	gruppo 1				
SLU-GEO-062	1	1,3	1,3	0	0	0	0	1,25	0	0	0	0	0	0,63	0	0	0	0	0	0	0	1,25	0	0	0	0	1,25	0	0	0	0	0	0,78	1,25	0,78	0	0	0	0	Q15	gruppo 1					
SLU-GEO-063	1	1,3	1,3	0	0	0	0	0	0	1,25	0	0	0	0	0,63	0	0	0	0	0	0	0	1,25	0	0	0	0	1,25	0	0	0	0	0,78	1,25	0,78	0	0	0	0	Q16	gruppo 1					
SLU-GEO-064	1	1,3	1,3	1,25	0	0	0	0	0	0	0	1,25	0	0	0	0	0	0,63	0	0	0	0	0	0	0,63	0	0	0	0	0	0	0	0	0,78	1,25	0,78	0	0	0	0	Q11	gruppo 3				
SLU-GEO-065	1	1,3	1,3	0	1,25	0	0	0	0	0	0	0	1,25	0	0	0	0	0	0,63	0	0	0	0	0	0	0	0,63	0	0	0	0	0	0,78	1,25	0,78	0	0	0	0	Q12	gruppo 3					
SLU-GEO-066	1	1,3	1,3	0	0	1,25	0	0	0	0	0	0	0	1,25	0	0	0	0	0	0,63	0	0	0	0	0	0	0,63	0	0	0	0	0,78	1,25	0,78	0	0	0	0	Q13	gruppo 3						
SLU-GEO-067	1	1,3	1,3	0	0	0	1,25	0	0	0	0	0	0	0	0	0	0	0	0	0,63	0	0	0	0	0	0	0,63	0	0	0	0	0,78	1,25	0,78	0	0	0	0	Q14	gruppo 3						
SLU-GEO-068	1	1,3	1,3	0	0	0	0	1,25	0	0	0	0	0	0	1,25	0	0	0	0	0	0	0	0,63	0	0	0	0	0,63	0	0	0	0,78	1,25	0,78	0	0	0	0	Q15	gruppo 3						
SLU-GEO-069	1	1,3	1,3	0	0	0	0	0	0	1,25	0	0	0	0	0	1,25	0	0	0	0	0	0	0	0,63	0	0	0	0	0,63	0	0	0,78	1,25	0,78	0	0	0	0	Q16	gruppo 3						
SLU-GEO-070	1	1	0	0	0	0	0	0	0	0	0,63	0	0	0	0	0	1,25	0	0	0	0	0	0	0	0	0,63	0	0	0	0	0	0,78	1,25	0,78	0	0	0	0	Q27	gruppo 3-2						
SLU-SIS-001	1	1	1	0	0	0	0	0	0	0	0	0	0	0	0	0	0	0	0	0	0	0	0	0	0	0	0	0	0	0	0	0	0	0	0	0	0	1	0,3	0,3	E1	solo perm				
SLU-SIS-002	1	1	1	0	0	0	0	0	0	0	0	0	0	0	0	0	0	0	0	0	0	0	0	0	0	0	0	0	0	0	0	0	0	0	0	0	0,2	0,5	1	0,3	0,3	E1	termica			
SLU-SIS-003	1	1	0	0	0	0	0	0	0	0	0	0	0	0	0	0	0	0	0	0	0	0	0	0	0	0	0	0	0	0	0	0	0	0	0	0,2	0,5	1	0,3	0,3	E1	termica				
SLU-SIS-004	1	1	1	0,2	0	0	0	0	0	0	0	0,1	0	0	0	0	0	0	0	0	0	0	0	0	0	0,2	0	0	0	0	0	0	0	0	0	0,2	0,5	1	0,3	0,3	E1	gruppo 1				
SLU-SIS-005	1	1	1	0	0,2	0	0	0	0	0	0	0	0,1	0	0	0	0	0	0	0	0	0	0	0	0	0	0,2	0	0	0	0	0	0	0	0	0,2	0,5	1	0,3	0,3	E1	gruppo 1				
SLU-SIS-006	1	1	1	0	0	0,2	0	0	0	0	0	0	0	0,1	0	0	0	0	0	0	0,2	0	0	0	0	0	0	0,2	0	0	0	0	0	0	0,2	0,5	1	0,3	0,3	E1	gruppo 1					

NOME COMB.	G - Permanenti			Q1 - Variabili verticali							Q2 - Avviamento e frenatura							Q3 - Centrifuga							Q4 - Serpeggio							Q5 - Variabili Q6 - Azioni interne Q7 - Effetti d'interazione			E - Azioni sismiche			Descrizione						
	G1	G21	G22	Q11	Q12	Q13	Q14	Q15	Q16	Q17	Q21	Q22	Q23	Q24	Q25	Q26	Q27	Q31	Q32	Q33	Q34	Q35	Q36	Q37	Q41	Q42	Q43	Q44	Q45	Q46	Q47	Q51	Q61	Q71	E1	E2	E3							
SLU-SIS-007	1	1	1	0	0	0	0,2	0	0	0	0	0	0	0	0	0	0	0	0	0,2	0	0	0	0	0	0	0	0,2	0	0	0	0	0	0,2	0,2	0,5	1	0,3	0,3	E1	gruppo 1			
SLU-SIS-008	1	1	1	0	0	0	0	0,2	0	0	0	0	0	0	0	0	0	0	0	0	0,2	0	0	0	0	0	0	0	0	0	0	0	0,2	0	0	0,2	0,2	0,5	1	0,3	0,3	E1	gruppo 1	
SLU-SIS-009	1	1	1	0	0	0	0	0	0	0,2	0	0	0	0	0	0	0	0	0	0	0	0,2	0	0	0	0	0	0	0	0	0	0	0,2	0	0	0,2	0,2	0,5	1	0,3	0,3	E1	gruppo 1	
SLU-SIS-010	1	1	1	0,2	0	0	0	0	0	0	0	0	0	0	0	0	0	0	0	0	0	0	0	0	0	0	0	0	0	0	0	0	0	0	0	0,2	0,2	0,5	1	0,3	0,3	E1	gruppo 3	
SLU-SIS-011	1	1	1	0	0,2	0	0	0	0	0	0	0	0	0	0	0	0	0	0,1	0	0	0	0	0	0	0	0	0	0	0	0	0	0	0	0	0,2	0,2	0,5	1	0,3	0,3	E1	gruppo 3	
SLU-SIS-012	1	1	1	0	0	0,2	0	0	0	0	0	0	0	0	0	0	0	0	0	0,1	0	0	0	0	0	0	0	0	0	0,1	0	0	0	0	0	0	0,2	0,2	0,5	1	0,3	0,3	E1	gruppo 3
SLU-SIS-013	1	1	1	0	0	0	0,2	0	0	0	0	0	0	0	0	0	0	0	0	0	0	0	0	0	0	0	0	0	0	0	0,1	0	0	0	0	0	0,2	0,2	0,5	1	0,3	0,3	E1	gruppo 3
SLU-SIS-014	1	1	1	0	0	0	0	0,2	0	0	0	0	0	0	0	0	0	0	0	0	0	0	0	0,1	0	0	0	0	0	0	0	0	0,1	0	0	0,2	0,2	0,5	1	0,3	0,3	E1	gruppo 3	
SLU-SIS-015	1	1	1	0	0	0	0	0	0	0,2	0	0	0	0	0	0	0	0	0	0	0	0	0,1	0	0	0	0	0	0	0	0	0	0	0,1	0	0	0,2	0,2	0,5	1	0,3	0,3	E1	gruppo 3
SLU-SIS-016	1	1	0	0	0	0	0	0	0	0	0	0	0	0	0	0,1	0	0	0	0	0	0	0	0	0	0	0	0	0	0	0	0	0	0	0,1	0	0,2	0,2	0,5	1	0,3	0,3	E1	gruppo 3-2
SLU-SIS-017	1	1	1	0	0	0	0	0	0	0	0	0	0	0	0	0	0	0	0	0	0	0	0	0	0	0	0	0	0	0	0	0	0	0	0	0	0	0	1	0,3	-0,3	E1	solo perm	
SLU-SIS-018	1	1	1	0	0	0	0	0	0	0	0	0	0	0	0	0	0	0	0	0	0	0	0	0	0	0	0	0	0	0	0	0	0	0	0	0	0,2	0,2	0,5	1	0,3	-0,3	E1	termica
SLU-SIS-019	1	1	0	0	0	0	0	0	0	0	0	0	0	0	0	0	0	0	0	0	0	0	0	0	0	0	0	0	0	0	0	0	0	0	0	0,2	0,2	0,5	1	0,3	-0,3	E1	termica	
SLU-SIS-020	1	1	1	0,2	0	0	0	0	0	0	0	0	0	0	0	0	0	0	0	0	0	0	0	0	0	0	0	0	0	0	0	0	0	0	0	0	0	0	1	0,3	-0,3	E1	solo vert	
SLU-SIS-021	1	1	1	0,2	0	0	0	0	0	0	0	0	0	0	0	0	0	0,2	0	0	0	0	0	0	0	0	0	0	0	0	0	0	0	0	0	0,2	0,2	0,5	1	0,3	-0,3	E1	gruppo 1	
SLU-SIS-022	1	1	1	0	0,2	0	0	0	0	0	0	0	0	0	0	0	0	0	0,2	0	0	0	0	0	0	0	0	0	0,2	0	0	0	0	0	0	0	0,2	0,2	0,5	1	0,3	-0,3	E1	gruppo 1
SLU-SIS-023	1	1	1	0	0	0,2	0	0	0	0	0	0	0	0	0	0	0	0	0	0,2	0	0	0	0	0	0	0	0	0,2	0	0	0	0	0	0	0,2	0,2	0,5	1	0,3	-0,3	E1	gruppo 1	
SLU-SIS-024	1	1	1	0	0	0	0,2	0	0	0	0	0	0	0	0	0	0	0	0	0	0,2	0	0	0	0	0	0	0	0,2	0	0	0	0	0	0	0,2	0,2	0,5	1	0,3	-0,3	E1	gruppo 1	
SLU-SIS-025	1	1	1	0	0	0	0	0,2	0	0	0	0	0	0	0	0	0	0	0	0	0	0,2	0	0	0	0	0	0	0,2	0	0	0	0	0	0	0,2	0,2	0,5	1	0,3	-0,3	E1	gruppo 1	
SLU-SIS-026	1	1	1	0	0	0	0	0	0	0,2	0	0	0	0	0	0	0	0	0	0	0	0,2	0	0	0	0	0	0,2	0	0	0	0	0	0,2	0,2	0,5	1	0,3	-0,3	E1	gruppo 1			
SLU-SIS-027	1	1	1	0,2	0	0	0	0	0	0	0	0	0	0	0	0	0,1	0	0	0	0	0	0	0	0	0	0	0	0	0	0	0	0	0	0	0,2	0,2	0,5	1	0,3	-0,3	E1	gruppo 3	
SLU-SIS-028	1	1	1	0	0,2	0	0	0	0	0	0	0	0	0	0	0	0	0	0,1	0	0	0	0	0	0	0	0	0	0,1	0	0	0	0	0	0	0,2	0,2	0,5	1	0,3	-0,3	E1	gruppo 3	
SLU-SIS-029	1	1	1	0	0	0,2	0	0	0	0	0	0	0	0	0	0	0	0	0	0,1	0	0	0	0	0	0	0	0	0,1	0	0	0	0	0	0	0,2	0,2	0,5	1	0,3	-0,3	E1	gruppo 3	
SLU-SIS-030	1	1	1	0	0	0	0,2	0	0	0	0	0	0	0	0	0	0	0	0	0	0	0	0	0	0	0	0	0	0,1	0	0	0	0	0	0	0,2	0,2	0,5	1	0,3	-0,3	E1	gruppo 3	
SLU-SIS-031	1	1	1	0	0	0	0	0,2	0	0	0	0	0	0	0	0	0	0	0	0	0	0	0	0	0,1	0	0	0	0,1	0	0	0	0	0	0	0,2	0,2	0,5	1	0,3	-0,3	E1	gruppo 3	
SLU-SIS-032	1	1	1	0	0	0	0	0	0	0,2	0	0	0	0	0	0,2	0	0	0	0	0	0	0	0	0,1	0	0	0	0	0,1	0	0	0	0	0,1	0	0,2	0,2	0,5	1	0,3	-0,3	E1	gruppo 3
SLU-SIS-033	1	1	0	0	0	0	0	0	0	0	0	0	0	0	0,2	0	0	0	0	0	0	0	0	0,1	0	0	0	0	0	0	0	0	0	0	0,1	0	0,2	0,2	0,5	1	0,3	-0,3	E1	gruppo 3-2
SLU-SIS-034	1	1	1	0	0	0	0	0	0	0	0	0	0	0	0	0	0	0	0	0	0	0	0	0	0	0	0	0	0	0	0	0	0	0	0	0	0	0	0,3	1	0,3	E2	solo perm	
SLU-SIS-035	1	1	1	0	0	0	0	0	0	0	0	0	0	0	0	0	0	0	0	0	0	0	0	0	0	0	0	0	0	0	0	0	0	0	0	0,2	0,2	0,5	0,3	1	0,3	E2	termica	
SLU-SIS-036	1	1	0	0	0	0	0	0	0	0	0	0	0	0	0	0	0	0	0	0	0	0	0	0	0	0	0	0	0	0	0	0	0	0	0	0,2	0,2	0,5	0,3	1	0,3	E2	termica	
SLU-SIS-037	1	1	1	0,2	0	0	0	0	0	0	0	0	0	0	0	0	0	0	0	0	0	0	0	0	0	0	0	0	0	0	0	0	0	0	0	0	0	0	0,3	1	0,3	E2	solo vert	
SLU-SIS-038	1	1	1	0,2	0	0	0	0	0	0	0	0	0	0	0	0	0,2	0	0	0	0	0	0	0	0	0	0	0	0,2	0	0	0	0	0	0	0,2	0,2	0,5	0,3	1	0,3	E2	gruppo 1	
SLU-SIS-039	1	1	1	0	0,2	0	0	0	0	0	0	0	0	0	0	0	0	0,2	0	0	0	0	0	0	0	0	0	0,2	0	0	0	0	0	0	0,2	0,2	0,5	0,3	1	0,3	E2	gruppo 1		
SLU-SIS-040	1	1	1	0	0	0,2	0	0	0	0	0	0	0	0	0	0	0	0	0	0,2	0	0	0	0	0	0	0	0	0,2	0	0	0	0	0	0	0,2	0,2	0,5	0,3	1	0,3	E2	gruppo 1	
SLU-SIS-041	1	1	1	0	0	0	0,2	0	0	0	0	0	0	0	0	0	0	0	0	0	0	0	0	0	0	0	0	0,2	0	0	0	0	0	0,2	0,2	0,5	0,3	1	0,3	E2	gruppo 1			
SLU-SIS-042	1	1	1	0	0	0	0	0,2	0	0	0	0	0	0	0	0	0	0	0	0	0	0	0	0	0	0	0	0,2	0	0	0	0	0,2	0,2	0,5	0,3	1	0,3	E2	gruppo 1				
SLU-SIS-043	1	1	1	0	0	0	0	0	0	0,2	0	0	0	0	0	0,1	0	0	0	0	0	0	0	0	0	0	0	0	0,2	0	0	0	0	0	0,2	0,2	0,5	0,3	1	0,3	E2	gruppo 1		

NOME COMB.	G - Permanenti			Q1 - Variabili verticali							Q2 - Avviamento e frenatura							Q3 - Centrifuga							Q4 - Serpeggio							Q5 - Variabili Q6 - Azioni interne Q7 - Effetti d'interazione			E - Azioni sismiche			Descrizione				
	G1	G2	G22	Q11	Q12	Q13	Q14	Q15	Q16	Q17	Q21	Q22	Q23	Q24	Q25	Q26	Q27	Q31	Q32	Q33	Q34	Q35	Q36	Q37	Q41	Q42	Q43	Q44	Q45	Q46	Q47	Q51	Q61	Q71	E1	E2	E3					
SLU-SIS-044	1	1	1	0,2	0	0	0	0	0	0	0,2	0	0	0	0	0	0,1	0	0	0	0	0	0	0,1	0	0	0	0	0	0	0	0,2	0,2	0,2	0,3	1	0,3	E2	gruppo 3			
SLU-SIS-045	1	1	1	0	0,2	0	0	0	0	0	0	0,2	0	0	0	0	0	0,1	0	0	0	0	0	0	0	0,1	0	0	0	0	0	0	0	0,2	0,2	0,2	0,3	1	0,3	E2	gruppo 3	
SLU-SIS-046	1	1	1	0	0	0,2	0	0	0	0	0	0	0,2	0	0	0	0	0	0,1	0	0	0	0	0	0	0	0,1	0	0	0	0	0	0	0	0,2	0,2	0,2	0,3	1	0,3	E2	gruppo 3
SLU-SIS-047	1	1	1	0	0	0	0,2	0	0	0	0	0	0,2	0	0	0	0	0	0	0,1	0	0	0	0	0	0	0	0,1	0	0	0	0	0	0,2	0,2	0,2	0,3	1	0,3	E2	gruppo 3	
SLU-SIS-048	1	1	1	0	0	0	0	0,2	0	0	0	0	0	0,2	0	0	0	0	0	0	0	0,1	0	0	0	0	0	0	0	0,1	0	0	0	0,2	0,2	0,2	0,3	1	0,3	E2	gruppo 3	
SLU-SIS-049	1	1	1	0	0	0	0	0	0	0,2	0	0	0	0	0,2	0	0	0	0	0	0	0	0,1	0	0	0	0	0	0	0	0,1	0	0	0	0,2	0,2	0,2	0,3	1	0,3	E2	gruppo 3
SLU-SIS-050	1	1	0	0	0	0	0	0	0	0	0,1	0	0	0	0	0	0,2	0	0	0	0	0	0	0	0	0,1	0	0	0	0	0	0	0,1	0	0,2	0,2	0,2	0,3	1	0,3	E2	gruppo 3-2
SLU-SIS-051	1	1	1	0	0	0	0	0	0	0	0	0	0	0	0	0	0	0	0	0	0	0	0	0	0	0	0	0	0	0	0	0	0	0	0	0,3	1	-0,3	E2	solo perm		
SLU-SIS-052	1	1	1	0	0	0	0	0	0	0	0	0	0	0	0	0	0	0	0	0	0	0	0	0	0	0	0	0	0	0	0	0	0	0	0,2	0,5	0,3	1	-0,3	E2	termica	
SLU-SIS-053	1	1	0	0	0	0	0	0	0	0	0	0	0	0	0	0	0	0	0	0	0	0	0	0	0	0	0	0	0	0	0	0	0	0,2	0,5	0,3	1	-0,3	E2	termica		
SLU-SIS-054	1	1	1	0,2	0	0	0	0	0	0	0	0	0	0	0	0	0	0	0	0	0	0	0	0	0	0	0	0	0	0	0	0	0	0	0	0,3	1	-0,3	E2	solo vert		
SLU-SIS-055	1	1	1	0,2	0	0	0	0	0	0	0	0	0	0	0	0	0,2	0	0	0	0	0	0	0	0	0,2	0	0	0	0	0	0	0	0	0,2	0,2	0,2	0,3	1	-0,3	E2	gruppo 1
SLU-SIS-056	1	1	1	0	0,2	0	0	0	0	0	0	0	0	0	0	0	0	0,2	0	0	0	0	0	0	0	0	0,2	0	0	0	0	0	0	0,2	0,2	0,2	0,3	1	-0,3	E2	gruppo 1	
SLU-SIS-057	1	1	1	0	0	0,2	0	0	0	0	0	0	0	0	0	0	0	0	0,2	0	0	0	0	0	0	0	0	0,2	0	0	0	0	0	0,2	0,2	0,2	0,3	1	-0,3	E2	gruppo 1	
SLU-SIS-058	1	1	1	0	0	0	0,2	0	0	0	0	0	0	0	0	0	0	0	0	0,2	0	0	0	0	0	0	0	0,2	0	0	0	0	0	0,2	0,2	0,2	0,3	1	-0,3	E2	gruppo 1	
SLU-SIS-059	1	1	1	0	0	0	0	0,2	0	0	0	0	0	0,1	0	0	0	0	0	0	0	0,2	0	0	0	0	0	0,2	0	0	0	0	0,2	0,2	0,2	0,3	1	-0,3	E2	gruppo 1		
SLU-SIS-060	1	1	1	0	0	0	0	0	0	0,2	0	0	0	0	0,1	0	0	0	0	0	0	0	0	0,2	0	0	0	0	0,2	0	0	0,2	0,2	0,2	0,2	0,3	1	-0,3	E2	gruppo 1		
SLU-SIS-061	1	1	1	0,2	0	0	0	0	0	0	0	0	0	0	0	0	0,1	0	0	0	0	0	0	0	0	0,1	0	0	0	0	0	0	0	0,2	0,2	0,2	0,3	1	-0,3	E2	gruppo 3	
SLU-SIS-062	1	1	1	0	0,2	0	0	0	0	0	0	0	0	0	0	0	0	0,1	0	0	0	0	0	0	0	0	0,1	0	0	0	0	0	0	0,2	0,2	0,2	0,3	1	-0,3	E2	gruppo 3	
SLU-SIS-063	1	1	1	0	0	0,2	0	0	0	0	0	0	0	0	0	0	0	0	0,1	0	0	0	0	0	0	0	0,1	0	0	0	0	0	0	0,2	0,2	0,2	0,3	1	-0,3	E2	gruppo 3	
SLU-SIS-064	1	1	1	0	0	0	0,2	0	0	0	0	0	0	0	0	0	0	0	0	0,1	0	0	0	0	0	0	0	0,1	0	0	0	0	0	0,2	0,2	0,2	0,3	1	-0,3	E2	gruppo 3	
SLU-SIS-065	1	1	1	0	0	0	0	0,2	0	0	0	0	0	0	0	0,2	0	0	0	0	0	0	0,1	0	0	0	0	0,1	0	0	0	0	0,2	0,2	0,2	0,3	1	-0,3	E2	gruppo 3		
SLU-SIS-066	1	1	1	0	0	0	0	0	0	0,2	0	0	0	0	0,2	0	0	0	0	0	0	0	0,1	0	0	0	0	0,1	0	0	0,2	0,2	0,2	0,2	0,3	1	-0,3	E2	gruppo 3			
SLU-SIS-067	1	1	0	0	0	0	0	0	0	0	0,1	0	0	0	0	0,2	0	0	0	0	0	0	0	0,1	0	0	0	0	0	0	0,1	0	0,2	0,2	0,2	0,3	1	-0,3	E2	gruppo 3-2		
SLU-SIS-068	1	1	1	0	0	0	0	0	0	0	0	0	0	0	0	0	0	0	0	0	0	0	0	0	0	0	0	0	0	0	0	0	0	0	0,3	0,3	1	E3	solo perm			
SLU-SIS-069	1	1	1	0	0	0	0	0	0	0	0	0	0	0	0	0	0	0	0	0	0	0	0	0	0	0	0	0	0	0	0	0,2	0,5	0,3	0,3	1	E3	termica				
SLU-SIS-070	1	1	0	0	0	0	0	0	0	0	0	0	0	0	0	0	0	0	0	0	0	0	0	0	0	0	0	0	0	0	0,2	0,5	0,3	0,3	1	E3	termica					
SLU-SIS-071	1	1	1	0,2	0	0	0	0	0	0	0	0	0	0	0	0	0	0	0	0	0	0	0	0	0	0	0	0	0	0	0	0	0	0	0,3	0,3	1	E3	solo vert			
SLU-SIS-072	1	1	1	0,2	0	0	0	0	0	0	0	0	0	0	0	0	0,2	0	0	0	0	0	0	0	0	0,2	0	0	0	0	0	0,2	0,2	0,2	0,3	0,3	1	E3	gruppo 1			
SLU-SIS-073	1	1	1	0	0,2	0	0	0	0	0	0	0	0	0	0	0	0	0,2	0	0	0	0	0	0	0	0	0,2	0	0	0	0	0	0,2	0,2	0,2	0,3	0,3	1	E3	gruppo 1		
SLU-SIS-074	1	1	1	0	0	0,2	0	0	0	0	0	0	0	0	0	0	0	0	0,2	0	0	0	0	0	0	0	0	0,2	0	0	0	0	0	0,2	0,2	0,2	0,3	0,3	1	E3	gruppo 1	
SLU-SIS-075	1	1	1	0	0	0	0,2	0	0	0	0	0	0	0	0	0	0	0	0	0,2	0	0	0	0	0	0	0	0,2	0	0	0	0	0,2	0,2	0,2	0,3	0,3	1	E3	gruppo 1		
SLU-SIS-076	1	1	1	0	0	0	0	0,2	0	0	0	0	0	0,1	0	0	0	0	0	0	0	0	0,2	0	0	0	0	0,2	0	0	0	0,2	0,2	0,2	0,3	0,3	1	E3	gruppo 1			
SLU-SIS-077	1	1	1	0	0	0	0	0	0	0,2	0	0	0	0	0,1	0	0	0	0	0	0	0	0,2	0	0	0	0	0,2	0	0	0,2	0,2	0,2	0,2	0,3	0,3	1	E3	gruppo 1			
SLU-SIS-078	1	1	1	0,2	0	0	0	0	0	0	0	0	0	0	0	0	0,1	0	0	0	0	0	0	0	0	0,1	0	0	0	0	0	0,2	0,2	0,2	0,3	0,3	1	E3	gruppo 3			
SLU-SIS-079	1	1	1	0	0,2	0	0	0	0	0	0	0	0	0	0	0	0	0,1	0	0	0	0	0	0	0	0	0,1	0	0	0	0	0,2	0,2	0,2	0,3	0,3	1	E3	gruppo 3			
SLU-SIS-080	1	1	1	0	0	0,2	0	0	0	0	0	0	0	0	0	0	0	0	0,1	0	0	0	0	0	0	0	0	0,1	0	0	0	0	0,2	0,2	0,2	0,3	0,3	1	E3	gruppo 3		

NOME COMB.	G - Permanenti			Q1 - Variabili verticali							Q2 - Avviamento e frenatura							Q3 - Centrifuga							Q4 - Serpeggio							Q5 - Variabili Q6 - Azioni interne Q7 - Effetti d'interazione			E - Azioni sismiche			Descrizione			
	G1	G21	G22	Q11	Q12	Q13	Q14	Q15	Q16	Q17	Q21	Q22	Q23	Q24	Q25	Q26	Q27	Q31	Q32	Q33	Q34	Q35	Q36	Q37	Q41	Q42	Q43	Q44	Q45	Q46	Q47	Q51	Q61	Q71	E1	E2	E3				
SLU-SIS-081	1	1	1	0	0	0	0,2	0	0	0	0	0	0	0,2	0	0	0	0	0	0,1	0	0	0	0	0	0	0,1	0	0	0	0	0	0	0	0,2	0,2	0,3	0,3	1	E3	gruppo 3
SLU-SIS-082	1	1	1	0	0	0	0	0,2	0	0	0	0	0	0,2	0	0	0	0	0	0	0,1	0	0	0	0	0	0	0	0,1	0	0	0	0	0	0,2	0,2	0,3	0,3	1	E3	gruppo 3
SLU-SIS-083	1	1	1	0	0	0	0	0	0	0,2	0	0	0	0	0,2	0	0	0	0	0	0	0,1	0	0	0	0	0	0,1	0	0	0	0	0	0,2	0,2	0,3	0,3	1	E3	gruppo 3	
SLU-SIS-084	1	1	0	0	0	0	0	0	0	0	0,1	0	0	0	0	0	0,2	0	0	0	0	0	0	0,1	0	0	0	0	0	0	0,1	0	0,2	0,2	0,3	0,3	1	E3	gruppo 3-2		
SLU-SIS-085	1	1	1	0	0	0	0	0	0	0	0	0	0	0	0	0	0	0	0	0	0	0	0	0	0	0	0	0	0	0	0	0	0	0	0	0,3	0,3	-1	E3	solo perm	
SLU-SIS-086	1	1	1	0	0	0	0	0	0	0	0	0	0	0	0	0	0	0	0	0	0	0	0	0	0	0	0	0	0	0	0	0	0	0	0,2	0,5	0,3	0,3	-1	E3	termica
SLU-SIS-087	1	1	0	0	0	0	0	0	0	0	0	0	0	0	0	0	0	0	0	0	0	0	0	0	0	0	0	0	0	0	0	0	0	0	0,2	0,5	0,3	0,3	-1	E3	termica
SLU-SIS-088	1	1	1	0,2	0	0	0	0	0	0	0	0	0	0	0	0	0	0	0	0	0	0	0	0	0	0	0	0	0	0	0	0	0	0	0	0	0,3	0,3	-1	E3	solo vert
SLU-SIS-089	1	1	1	0,2	0	0	0	0	0	0	0	0	0	0	0	0	0	0,2	0	0	0	0	0	0	0	0,2	0	0	0	0	0	0	0	0,2	0,2	0,3	0,3	-1	E3	gruppo 1	
SLU-SIS-090	1	1	1	0	0,2	0	0	0	0	0	0	0	0	0	0	0	0	0	0,2	0	0	0	0	0	0	0	0,2	0	0	0	0	0	0	0,2	0,2	0,3	0,3	-1	E3	gruppo 1	
SLU-SIS-091	1	1	1	0	0	0,2	0	0	0	0	0	0	0	0	0	0	0	0	0,2	0	0	0	0	0	0	0	0,2	0	0	0	0	0	0,2	0,2	0,3	0,3	-1	E3	gruppo 1		
SLU-SIS-092	1	1	1	0	0	0	0,2	0	0	0	0	0	0	0	0	0	0	0	0	0	0,2	0	0	0	0	0	0	0,2	0	0	0	0	0,2	0,2	0,3	0,3	-1	E3	gruppo 1		
SLU-SIS-093	1	1	1	0	0	0	0	0,2	0	0	0	0	0	0,1	0	0	0	0	0	0	0	0,2	0	0	0	0	0,2	0	0	0	0	0,2	0,2	0,3	0,3	-1	E3	gruppo 1			
SLU-SIS-094	1	1	1	0	0	0	0	0	0	0,2	0	0	0	0	0,1	0	0	0	0	0	0	0	0,2	0	0	0	0	0,2	0	0	0,2	0	0,2	0,2	0,3	0,3	-1	E3	gruppo 1		
SLU-SIS-095	1	1	1	0,2	0	0	0	0	0	0	0	0	0	0	0	0	0	0,1	0	0	0	0	0	0	0	0,1	0	0	0	0	0	0	0,2	0,2	0,3	0,3	-1	E3	gruppo 3		
SLU-SIS-096	1	1	1	0	0,2	0	0	0	0	0	0	0	0	0	0	0	0	0	0,1	0	0	0	0	0	0	0	0,1	0	0	0	0	0	0,2	0,2	0,3	0,3	-1	E3	gruppo 3		
SLU-SIS-097	1	1	1	0	0	0,2	0	0	0	0	0	0	0	0	0	0	0	0	0	0,1	0	0	0	0	0	0	0	0,1	0	0	0	0	0,2	0,2	0,3	0,3	-1	E3	gruppo 3		
SLU-SIS-098	1	1	1	0	0	0	0,2	0	0	0	0	0	0	0	0	0	0	0	0	0	0,1	0	0	0	0	0	0	0,1	0	0	0	0	0,2	0,2	0,3	0,3	-1	E3	gruppo 3		
SLU-SIS-099	1	1	1	0	0	0	0	0,2	0	0	0	0	0	0,2	0	0	0	0	0	0	0	0,1	0	0	0	0	0,1	0	0	0	0,2	0,2	0,3	0,3	-1	E3	gruppo 3				
SLU-SIS-100	1	1	1	0	0	0	0	0	0	0,2	0	0	0	0	0,2	0	0	0	0	0	0	0	0,1	0	0	0	0	0,1	0	0,2	0,2	0,3	0,3	-1	E3	gruppo 3					
SLU-SIS-101	1	1	0	0	0	0	0	0	0	0	0,1	0	0	0	0	0,2	0	0	0	0	0	0	0,1	0	0	0	0	0,1	0	0,2	0,2	0,3	0,3	-1	E3	gruppo 3-2					
SLU-SIS-102	1	1	1	0	0	0	0	0	0	0	0	0	0	0	0	0	0	0	0	0	0	0	0	0	0	0	0	0	0	0	0	0	0	0	-1	-0,3	0,3	E1	solo perm		
SLU-SIS-103	1	1	1	0	0	0	0	0	0	0	0	0	0	0	0	0	0	0	0	0	0	0	0	0	0	0	0	0	0	0	0	0,2	0,5	-1	-0,3	0,3	E1	termica			
SLU-SIS-104	1	1	0	0	0	0	0	0	0	0	0	0	0	0	0	0	0	0	0	0	0	0	0	0	0	0	0	0	0	0	0	0,2	0,5	-1	-0,3	0,3	E1	termica			
SLU-SIS-105	1	1	1	0,2	0	0	0	0	0	0	0	0	0	0	0	0	0	0,2	0	0	0	0	0	0	0	0,2	0	0	0	0	0	0,2	0,5	-1	-0,3	0,3	E1	gruppo 1			
SLU-SIS-106	1	1	1	0	0,2	0	0	0	0	0	0	0	0	0	0	0	0	0	0,2	0	0	0	0	0	0	0	0,2	0	0	0	0	0,2	0,5	-1	-0,3	0,3	E1	gruppo 1			
SLU-SIS-107	1	1	1	0	0	0,2	0	0	0	0	0	0	0	0	0	0	0	0	0	0,2	0	0	0	0	0	0	0,2	0	0	0	0	0,2	0,5	-1	-0,3	0,3	E1	gruppo 1			
SLU-SIS-108	1	1	1	0	0	0	0,2	0	0	0	0	0	0	0	0	0	0	0	0	0	0,2	0	0	0	0	0	0,2	0	0	0	0	0,2	0,5	-1	-0,3	0,3	E1	gruppo 1			
SLU-SIS-109	1	1	1	0	0	0	0	0,2	0	0	0	0	0	0,1	0	0	0	0	0	0	0	0	0	0	0,2	0	0	0	0,2	0	0	0,2	0,5	-1	-0,3	0,3	E1	gruppo 1			
SLU-SIS-110	1	1	1	0	0	0	0	0	0	0,2	0	0	0	0	0,1	0	0	0	0	0	0	0	0,2	0	0	0	0,2	0	0,2	0	0,2	0,5	-1	-0,3	0,3	E1	gruppo 1				
SLU-SIS-111	1	1	1	0,2	0	0	0	0	0	0	0	0	0	0	0	0	0,1	0	0	0	0	0	0	0	0,1	0	0	0	0	0	0,2	0,5	-1	-0,3	0,3	E1	gruppo 3				
SLU-SIS-112	1	1	1	0	0,2	0	0	0	0	0	0	0	0	0	0	0	0	0,1	0	0	0	0	0	0	0	0,1	0	0	0	0	0,2	0,5	-1	-0,3	0,3	E1	gruppo 3				
SLU-SIS-113	1	1	1	0	0	0,2	0	0	0	0	0	0	0	0	0	0	0	0	0,1	0	0	0	0	0	0	0	0,1	0	0	0	0	0,2	0,5	-1	-0,3	0,3	E1	gruppo 3			
SLU-SIS-114	1	1	1	0	0	0	0,2	0	0	0	0	0	0	0	0	0	0	0	0	0,1	0	0	0	0	0	0	0,1	0	0	0	0,2	0,5	-1	-0,3	0,3	E1	gruppo 3				
SLU-SIS-115	1	1	1	0	0	0	0	0,2	0	0	0	0	0	0,2	0	0	0	0	0	0	0	0,1	0	0	0	0	0,1	0	0	0	0,2	0,5	-1	-0,3	0,3	E1	gruppo 3				
SLU-SIS-116	1	1	1	0	0	0	0	0	0	0,2	0	0	0	0	0,2	0	0	0	0	0	0	0,1	0	0	0	0	0	0,1	0	0	0,2	0,5	-1	-0,3	0,3	E1	gruppo 3				
SLU-SIS-117	1	1	0	0	0	0	0	0	0	0	0,1	0	0	0	0	0,2	0	0	0	0	0	0	0,1	0	0	0	0	0	0	0,1	0	0,2	0,5	-1	-0,3	0,3	E1	gruppo 3-2			

NOME COMB.	G - Permanenti			Q1 - Variabili verticali							Q2 - Avviamento e frenatura							Q3 - Centrifuga							Q4 - Serpeggio							Q5 - Variabili Q6 - Azioni interne Q7 - Effetti d'interazione			E - Azioni sismiche			Descrizione			
	G1	G2	G22	Q11	Q12	Q13	Q14	Q15	Q16	Q17	Q21	Q22	Q23	Q24	Q25	Q26	Q27	Q31	Q32	Q33	Q34	Q35	Q36	Q37	Q41	Q42	Q43	Q44	Q45	Q46	Q47	Q51	Q61	Q71	E1	E2	E3				
SLU-SIS-118	1	1	1	0	0	0	0	0	0	0	0	0	0	0	0	0	0	0	0	0	0	0	0	0	0	0	0	0	0	0	0	0	0	0	0	-1	-0,3	-0,3	E1	solo perm	
SLU-SIS-119	1	1	1	0	0	0	0	0	0	0	0	0	0	0	0	0	0	0	0	0	0	0	0	0	0	0	0	0	0	0	0	0	0	0	0,2	0,5	-1	-0,3	-0,3	E1	termica
SLU-SIS-120	1	1	0	0	0	0	0	0	0	0	0	0	0	0	0	0	0	0	0	0	0	0	0	0	0	0	0	0	0	0	0	0	0	0,2	0,5	-1	-0,3	-0,3	E1	termica	
SLU-SIS-121	1	1	1	0,2	0	0	0	0	0	0	0	0	0	0	0	0	0	0	0	0	0	0	0	0	0	0	0	0	0	0	0	0	0	0	0	-1	-0,3	-0,3	E1	solo vert	
SLU-SIS-122	1	1	1	0,2	0	0	0	0	0	0	0	0,1	0	0	0	0	0	0,2	0	0	0	0	0	0	0	0,2	0	0	0	0	0	0	0	0,2	0,2	-1	-0,3	-0,3	E1	gruppo 1	
SLU-SIS-123	1	1	1	0	0,2	0	0	0	0	0	0	0	0,1	0	0	0	0	0	0,2	0	0	0	0	0	0	0	0,2	0	0	0	0	0	0	0,2	0,2	-1	-0,3	-0,3	E1	gruppo 1	
SLU-SIS-124	1	1	1	0	0	0,2	0	0	0	0	0	0	0	0,1	0	0	0	0	0	0,2	0	0	0	0	0	0	0	0,2	0	0	0	0	0	0,2	0,2	-1	-0,3	-0,3	E1	gruppo 1	
SLU-SIS-125	1	1	1	0	0	0	0,2	0	0	0	0	0	0	0	0	0	0	0	0	0	0,2	0	0	0	0	0	0	0,2	0	0	0	0	0	0,2	0,2	-1	-0,3	-0,3	E1	gruppo 1	
SLU-SIS-126	1	1	1	0	0	0	0	0,2	0	0	0	0	0	0,1	0	0	0	0	0	0	0	0,2	0	0	0	0	0	0,2	0	0	0	0	0	0,2	0,2	-1	-0,3	-0,3	E1	gruppo 1	
SLU-SIS-127	1	1	1	0	0	0	0	0	0	0,2	0	0	0	0	0	0,1	0	0	0	0	0	0	0	0	0,2	0	0	0	0,2	0	0	0	0,2	0,2	-1	-0,3	-0,3	E1	gruppo 1		
SLU-SIS-128	1	1	1	0,2	0	0	0	0	0	0	0	0,2	0	0	0	0	0	0,1	0	0	0	0	0	0	0	0	0,1	0	0	0	0	0	0	0,2	0,2	-1	-0,3	-0,3	E1	gruppo 3	
SLU-SIS-129	1	1	1	0	0,2	0	0	0	0	0	0	0	0,2	0	0	0	0	0	0,1	0	0	0	0	0	0	0	0,1	0	0	0	0	0	0	0,2	0,2	-1	-0,3	-0,3	E1	gruppo 3	
SLU-SIS-130	1	1	1	0	0	0,2	0	0	0	0	0	0	0	0	0	0	0	0	0,1	0	0	0	0	0	0	0	0,1	0	0	0	0	0	0	0,2	0,2	-1	-0,3	-0,3	E1	gruppo 3	
SLU-SIS-131	1	1	1	0	0	0	0,2	0	0	0	0	0	0	0	0	0	0	0	0	0	0,1	0	0	0	0	0	0	0,1	0	0	0	0	0	0,2	0,2	-1	-0,3	-0,3	E1	gruppo 3	
SLU-SIS-132	1	1	1	0	0	0	0	0,2	0	0	0	0	0	0,2	0	0	0	0	0	0	0	0	0,1	0	0	0	0	0,1	0	0	0	0	0	0,2	0,2	-1	-0,3	-0,3	E1	gruppo 3	
SLU-SIS-133	1	1	1	0	0	0	0	0	0	0,2	0	0	0	0	0	0,2	0	0	0	0	0	0	0	0,1	0	0	0	0	0,1	0	0	0	0,2	0,2	-1	-0,3	-0,3	E1	gruppo 3		
SLU-SIS-134	1	1	0	0	0	0	0	0	0	0	0,1	0	0	0	0	0	0,2	0	0	0	0	0	0	0	0,1	0	0	0	0	0	0,1	0	0,2	0,2	-1	-0,3	-0,3	E1	gruppo 3-2		
SLU-SIS-135	1	1	1	0	0	0	0	0	0	0	0	0	0	0	0	0	0	0	0	0	0	0	0	0	0	0	0	0	0	0	0	0	0	0	0	-0,3	-1	0,3	E2	solo perm	
SLU-SIS-136	1	1	1	0	0	0	0	0	0	0	0	0	0	0	0	0	0	0	0	0	0	0	0	0	0	0	0	0	0	0	0	0	0	0,2	0,5	-0,3	-1	0,3	E2	termica	
SLU-SIS-137	1	1	0	0	0	0	0	0	0	0	0	0	0	0	0	0	0	0	0	0	0	0	0	0	0	0	0	0	0	0	0	0	0,2	0,5	-0,3	-1	0,3	E2	termica		
SLU-SIS-138	1	1	1	0,2	0	0	0	0	0	0	0	0	0	0	0	0	0	0	0	0	0	0	0	0	0	0	0	0	0	0	0	0	0	0	0	-0,3	-1	0,3	E2	solo vert	
SLU-SIS-139	1	1	1	0,2	0	0	0	0	0	0	0	0,1	0	0	0	0	0	0,2	0	0	0	0	0	0	0	0,2	0	0	0	0	0	0	0,2	0,2	-0,3	-1	0,3	E2	gruppo 1		
SLU-SIS-140	1	1	1	0	0,2	0	0	0	0	0	0	0	0,1	0	0	0	0	0	0,2	0	0	0	0	0	0	0	0,2	0	0	0	0	0	0,2	0,2	-0,3	-1	0,3	E2	gruppo 1		
SLU-SIS-141	1	1	1	0	0	0,2	0	0	0	0	0	0	0	0	0	0	0	0	0	0,2	0	0	0	0	0	0	0,2	0	0	0	0	0	0,2	0,2	-0,3	-1	0,3	E2	gruppo 1		
SLU-SIS-142	1	1	1	0	0	0	0,2	0	0	0	0	0	0	0	0	0	0	0	0	0	0,2	0	0	0	0	0	0	0,2	0	0	0	0	0,2	0,2	-0,3	-1	0,3	E2	gruppo 1		
SLU-SIS-143	1	1	1	0	0	0	0	0,2	0	0	0	0	0,1	0	0	0	0	0	0	0	0	0,2	0	0	0	0	0,2	0	0	0	0	0,2	0,2	-0,3	-1	0,3	E2	gruppo 1			
SLU-SIS-144	1	1	1	0	0	0	0	0	0	0,2	0	0	0	0	0,1	0	0	0	0	0	0	0	0,2	0	0	0	0	0,2	0	0	0,2	0,2	-0,3	-1	0,3	E2	gruppo 1				
SLU-SIS-145	1	1	1	0,2	0	0	0	0	0	0	0	0,2	0	0	0	0	0,1	0	0	0	0	0	0	0	0	0,1	0	0	0	0	0	0	0,2	0,2	-0,3	-1	0,3	G1+G2	gruppo 3		
SLU-SIS-146	1	1	1	0	0,2	0	0	0	0	0	0	0	0	0	0	0	0	0,1	0	0	0	0	0	0	0	0	0,1	0	0	0	0	0	0,2	0,2	-0,3	-1	0,3	G1+G2	gruppo 3		
SLU-SIS-147	1	1	1	0	0	0,2	0	0	0	0	0	0	0	0	0	0	0	0	0,1	0	0	0	0	0	0	0	0,1	0	0	0	0	0	0,2	0,2	-0,3	-1	0,3	G1+G2	gruppo 3		
SLU-SIS-148	1	1	1	0	0	0	0,2	0	0	0	0	0	0	0	0	0	0	0	0	0	0,1	0	0	0	0	0	0,1	0	0	0	0	0,2	0,2	-0,3	-1	0,3	G1+G2	gruppo 3			
SLU-SIS-149	1	1	1	0	0	0	0	0,2	0	0	0	0	0	0,2	0	0	0	0	0	0	0	0	0,1	0	0	0	0	0,1	0	0	0	0,2	0,2	-0,3	-1	0,3	G1+G2	gruppo 3			
SLU-SIS-150	1	1	1	0	0	0	0	0	0	0,2	0	0	0	0	0,2	0	0	0	0	0	0	0	0,1	0	0	0	0	0,1	0	0	0,2	0,2	-0,3	-1	0,3	G1+G2	gruppo 3				
SLU-SIS-151	1	1	0	0	0	0	0	0	0	0	0,1	0	0	0	0	0	0,2	0	0	0	0	0	0	0,1	0	0	0	0	0	0,1	0	0,2	0,2	-0,3	-1	0,3	E2	gruppo 3-2			
SLU-SIS-152	1	1	1	0	0	0	0	0	0	0	0	0	0	0	0	0	0	0	0	0	0	0	0	0	0	0	0	0	0	0	0	0	0	0	-0,3	-1	-0,3	E2	solo perm		
SLU-SIS-153	1	1	1	0	0	0	0	0	0	0	0	0	0	0	0	0	0	0	0	0	0	0	0	0	0	0	0	0	0	0	0	0,2	0,5	-0,3	-1	-0,3	E2	termica			
SLU-SIS-154	1	1	0	0	0	0	0	0	0	0	0	0	0	0	0	0	0	0	0	0	0	0	0	0	0	0	0	0	0	0	0	0,2	0,5	-0,3	-1	-0,3	E2	termica			

NOME COMB.	G - Permanenti			Q1 - Variabili verticali							Q2 - Avviamento e frenatura							Q3 - Centrifuga							Q4 - Serpeggio							Q5 - Variabili Q6 - Azioni interne Q7 - Effetti d'interazione			E - Azioni sismiche			Descrizione			
	G1	G2	G22	Q11	Q12	Q13	Q14	Q15	Q16	Q17	Q21	Q22	Q23	Q24	Q25	Q26	Q27	Q31	Q32	Q33	Q34	Q35	Q36	Q37	Q41	Q42	Q43	Q44	Q45	Q46	Q47	Q51	Q61	Q71	E1	E2	E3				
SLU-SIS-155	1	1	1	0,2	0	0	0	0	0	0	0	0	0	0	0	0	0	0	0	0	0	0	0	0	0	0	0	0	0	0	0	0	0	0	0	-0,3	-1	-0,3	E2	solo vert	
SLU-SIS-156	1	1	1	0,2	0	0	0	0	0	0	0	0,1	0	0	0	0	0	0,2	0	0	0	0	0	0	0	0,2	0	0	0	0	0	0	0	0,2	0,2	-0,3	-1	-0,3	E2	gruppo 1	
SLU-SIS-157	1	1	1	0	0,2	0	0	0	0	0	0	0	0,1	0	0	0	0	0,2	0	0	0	0	0	0	0	0,2	0	0	0	0	0	0	0,2	0,2	-0,3	-1	-0,3	E2	gruppo 1		
SLU-SIS-158	1	1	1	0	0	0,2	0	0	0	0	0	0	0	0,1	0	0	0	0	0,2	0	0	0	0	0	0	0	0,2	0	0	0	0	0	0,2	0,2	-0,3	-1	-0,3	E2	gruppo 1		
SLU-SIS-159	1	1	1	0	0	0	0,2	0	0	0	0	0	0	0	0,1	0	0	0	0	0,2	0	0	0	0	0	0	0	0,2	0	0	0	0	0,2	0,2	-0,3	-1	-0,3	E2	gruppo 1		
SLU-SIS-160	1	1	1	0	0	0	0	0,2	0	0	0	0	0	0	0,1	0	0	0	0	0	0	0	0,2	0	0	0	0	0	0,2	0	0	0	0	0,2	0,2	-0,3	-1	-0,3	E2	gruppo 1	
SLU-SIS-161	1	1	1	0	0	0	0	0	0	0,2	0	0	0	0	0	0,1	0	0	0	0	0	0	0	0	0	0,2	0	0	0	0	0,2	0	0	0,2	0,2	-0,3	-1	-0,3	E2	gruppo 1	
SLU-SIS-162	1	1	1	0,2	0	0	0	0	0	0	0	0	0	0	0	0	0	0,1	0	0	0	0	0	0	0	0	0	0	0	0	0	0	0	0,2	0,2	-0,3	-1	-0,3	E2	gruppo 3	
SLU-SIS-163	1	1	1	0	0,2	0	0	0	0	0	0	0	0,2	0	0	0	0	0	0,1	0	0	0	0	0	0	0	0	0,1	0	0	0	0	0	0,2	0,2	-0,3	-1	-0,3	E2	gruppo 3	
SLU-SIS-164	1	1	1	0	0	0,2	0	0	0	0	0	0	0	0	0	0	0	0	0,1	0	0	0	0	0	0	0	0	0,1	0	0	0	0	0	0,2	0,2	-0,3	-1	-0,3	E2	gruppo 3	
SLU-SIS-165	1	1	1	0	0	0	0,2	0	0	0	0	0	0	0	0	0	0	0	0	0	0,1	0	0	0	0	0	0	0,1	0	0	0	0	0	0,2	0,2	-0,3	-1	-0,3	E2	gruppo 3	
SLU-SIS-166	1	1	1	0	0	0	0	0,2	0	0	0	0	0	0	0	0,2	0	0	0	0	0	0	0	0	0,1	0	0	0	0,1	0	0	0	0	0,2	0,2	-0,3	-1	-0,3	E2	gruppo 3	
SLU-SIS-167	1	1	1	0	0	0	0	0	0	0,2	0	0	0	0	0	0,2	0	0	0	0	0	0	0	0	0	0,1	0	0	0	0,1	0	0	0,2	0,2	-0,3	-1	-0,3	E2	gruppo 3		
SLU-SIS-168	1	1	0	0	0	0	0	0	0	0	0	0	0	0	0	0	0,2	0	0	0	0	0	0	0	0	0	0,1	0	0	0	0	0,1	0	0,2	0,2	-0,3	-1	-0,3	E2	gruppo 3-2	
SLU-SIS-169	1	1	1	0	0	0	0	0	0	0	0	0	0	0	0	0	0	0	0	0	0	0	0	0	0	0	0	0	0	0	0	0	0	0	0	0	-0,3	-0,3	1	E3	solo perm
SLU-SIS-170	1	1	1	0	0	0	0	0	0	0	0	0	0	0	0	0	0	0	0	0	0	0	0	0	0	0	0	0	0	0	0	0	0	0	0,2	0,5	-0,3	-0,3	1	E3	termica
SLU-SIS-171	1	1	0	0	0	0	0	0	0	0	0	0	0	0	0	0	0	0	0	0	0	0	0	0	0	0	0	0	0	0	0	0	0	0	0,2	0,5	-0,3	-0,3	1	E3	termica
SLU-SIS-172	1	1	1	0,2	0	0	0	0	0	0	0	0	0	0	0	0	0	0	0	0	0	0	0	0	0	0	0	0	0	0	0	0	0	0	0	0	-0,3	-0,3	1	E3	solo vert
SLU-SIS-173	1	1	1	0,2	0	0	0	0	0	0	0	0,1	0	0	0	0	0	0,2	0	0	0	0	0	0	0	0	0,2	0	0	0	0	0	0	0,2	0,2	-0,3	-0,3	1	E3	gruppo 1	
SLU-SIS-174	1	1	1	0	0,2	0	0	0	0	0	0	0	0	0	0	0	0	0	0,2	0	0	0	0	0	0	0	0,2	0	0	0	0	0	0	0,2	0,2	-0,3	-0,3	1	E3	gruppo 1	
SLU-SIS-175	1	1	1	0	0	0,2	0	0	0	0	0	0	0	0	0	0	0	0	0	0,2	0	0	0	0	0	0	0	0,2	0	0	0	0	0	0,2	0,2	-0,3	-0,3	1	E3	gruppo 1	
SLU-SIS-176	1	1	1	0	0	0	0,2	0	0	0	0	0	0	0	0	0	0	0	0	0	0,2	0	0	0	0	0	0	0,2	0	0	0	0	0	0,2	0,2	-0,3	-0,3	1	E3	gruppo 1	
SLU-SIS-177	1	1	1	0	0	0	0	0	0,2	0	0	0	0	0	0,1	0	0	0	0	0	0	0	0	0,2	0	0	0	0	0,2	0	0	0	0	0,2	0,2	-0,3	-0,3	1	E3	gruppo 1	
SLU-SIS-178	1	1	1	0	0	0	0	0	0	0,2	0	0	0	0	0	0,1	0	0	0	0	0	0	0	0	0,2	0	0	0	0	0,2	0	0	0	0,2	0,2	-0,3	-0,3	1	E3	gruppo 1	
SLU-SIS-179	1	1	1	0,2	0	0	0	0	0	0	0	0	0	0	0	0	0	0,1	0	0	0	0	0	0	0	0	0,1	0	0	0	0	0	0	0,2	0,2	-0,3	-0,3	1	E3	gruppo 3	
SLU-SIS-180	1	1	1	0	0,2	0	0	0	0	0	0	0	0,2	0	0	0	0	0	0,1	0	0	0	0	0	0	0	0,1	0	0	0	0	0	0	0,2	0,2	-0,3	-0,3	1	E3	gruppo 3	
SLU-SIS-181	1	1	1	0	0	0,2	0	0	0	0	0	0	0	0	0	0	0	0	0	0,1	0	0	0	0	0	0	0	0,1	0	0	0	0	0	0,2	0,2	-0,3	-0,3	1	E3	gruppo 3	
SLU-SIS-182	1	1	1	0	0	0	0,2	0	0	0	0	0	0	0	0	0	0	0	0	0	0	0	0,1	0	0	0	0	0,1	0	0	0	0	0	0,2	0,2	-0,3	-0,3	1	E3	gruppo 3	
SLU-SIS-183	1	1	1	0	0	0	0	0	0,2	0	0	0	0	0,2	0	0	0	0	0	0	0	0	0	0,1	0	0	0	0,1	0	0	0	0	0	0,2	0,2	-0,3	-0,3	1	E3	gruppo 3	
SLU-SIS-184	1	1	1	0	0	0	0	0	0	0,2	0	0	0	0	0,2	0	0	0	0	0	0	0	0	0,1	0	0	0	0	0,1	0	0	0	0	0,2	0,2	-0,3	-0,3	1	E3	gruppo 3	
SLU-SIS-185	1	1	0	0	0	0	0	0	0	0	0	0	0	0	0	0,2	0	0	0	0	0	0	0	0	0,1	0	0	0	0	0	0	0	0,1	0	0,2	0,2	-0,3	-0,3	1	E3	gruppo 3-2
SLU-SIS-186	1	1	1	0	0	0	0	0	0	0	0	0	0	0	0	0	0	0	0	0	0	0	0	0	0	0	0	0	0	0	0	0	0	0	0	0	-0,3	-0,3	-1	E3	solo perm
SLU-SIS-187	1	1	1	0	0	0	0	0	0	0	0	0	0	0	0	0	0	0	0	0	0	0	0	0	0	0	0	0	0	0	0	0	0	0,2	0,5	-0,3	-0,3	-1	E3	termica	
SLU-SIS-188	1	1	0	0	0	0	0	0	0	0	0	0	0	0	0	0	0	0	0	0	0	0	0	0	0	0	0	0	0	0	0	0	0	0,2	0,5	-0,3	-0,3	-1	E3	termica	
SLU-SIS-189	1	1	1	0,2	0	0	0	0	0	0	0	0	0	0	0	0	0	0	0	0	0	0	0	0	0	0	0	0	0	0	0	0	0	0	0	-0,3	-0,3	-1	E3	solo vert	
SLU-SIS-190	1	1	1	0,2	0	0	0	0	0	0	0	0	0	0	0	0	0	0,2	0	0	0	0	0	0	0	0	0,2	0	0	0	0	0	0	0,2	0,2	-0,3	-0,3	-1	E3	gruppo 1	
SLU-SIS-191	1	1	1	0	0,2	0	0	0	0	0	0	0	0	0	0	0	0	0	0,2	0	0	0	0	0	0	0	0	0,2	0	0	0	0	0	0	0,2	0,2	-0,3	-0,3	-1	E3	gruppo 1

NOME COMB.	G - Permanenti			Q1 - Variabili verticali							Q2 - Avviamento e frenatura							Q3 - Centrifuga							Q4 - Serpeggio							Q5 - Variabili Q6 - Azioni interne Q7 - Effetti d'interazione			E - Azioni sismiche			Descrizione								
	G1	G2	G22	Q11	Q12	Q13	Q14	Q15	Q16	Q17	Q21	Q22	Q23	Q24	Q25	Q26	Q27	Q31	Q32	Q33	Q34	Q35	Q36	Q37	Q41	Q42	Q43	Q44	Q45	Q46	Q47	Q51	Q61	Q71	E1	E2	E3									
SLU-SIS-192	1	1	1	0	0	0,2	0	0	0	0	0	0	0	0,1	0	0	0	0	0,2	0	0	0	0	0	0	0	0,2	0	0	0	0	0	0,2	0,2	0,2	-0,3	-0,3	-1	E3	gruppo 1						
SLU-SIS-193	1	1	1	0	0	0	0,2	0	0	0	0	0	0	0	0	0	0	0	0	0,2	0	0	0	0	0	0	0	0	0,2	0	0	0	0	0,2	0,2	0,2	-0,3	-0,3	-1	E3	gruppo 1					
SLU-SIS-194	1	1	1	0	0	0	0	0,2	0	0	0	0	0	0,1	0	0	0	0	0	0	0	0,2	0	0	0	0	0	0	0,2	0	0	0	0,2	0,2	0,2	-0,3	-0,3	-1	E3	gruppo 1						
SLU-SIS-195	1	1	1	0	0	0	0	0	0,2	0	0	0	0	0	0,1	0	0	0	0	0	0	0	0,2	0	0	0	0	0	0,2	0	0	0	0,2	0,2	0,2	-0,3	-0,3	-1	E3	gruppo 1						
SLU-SIS-196	1	1	1	0,2	0	0	0	0	0	0	0	0	0	0	0	0	0,1	0	0	0	0	0	0	0	0	0	0,1	0	0	0	0	0	0	0,2	0,2	0,2	-0,3	-0,3	-1	E3	gruppo 3					
SLU-SIS-197	1	1	1	0	0,2	0	0	0	0	0	0	0	0	0	0	0	0	0,1	0	0	0	0	0	0	0	0	0	0,1	0	0	0	0	0	0	0,2	0,2	0,2	-0,3	-0,3	-1	E3	gruppo 3				
SLU-SIS-198	1	1	1	0	0	0,2	0	0	0	0	0	0	0	0	0	0	0	0	0	0,1	0	0	0	0	0	0	0	0	0,1	0	0	0	0	0	0,2	0,2	0,2	-0,3	-0,3	-1	E3	gruppo 3				
SLU-SIS-199	1	1	1	0	0	0	0,2	0	0	0	0	0	0	0	0	0	0	0	0	0	0,1	0	0	0	0	0	0	0	0	0,1	0	0	0	0	0,2	0,2	0,2	-0,3	-0,3	-1	E3	gruppo 3				
SLU-SIS-200	1	1	1	0	0	0	0	0,2	0	0	0	0	0	0,2	0	0	0	0	0	0	0	0	0,1	0	0	0	0	0	0,1	0	0	0	0	0,2	0,2	0,2	-0,3	-0,3	-1	E3	gruppo 3					
SLU-SIS-201	1	1	1	0	0	0	0	0	0	0,2	0	0	0	0	0	0,2	0	0	0	0	0	0	0	0,1	0	0	0	0	0,1	0	0	0	0	0,2	0,2	0,2	-0,3	-0,3	-1	E3	gruppo 3					
SLU-SIS-202	1	1	0	0	0	0	0	0	0	0	0	0	0	0	0	0,2	0	0	0	0	0	0	0	0	0,1	0	0	0	0	0	0	0	0,1	0	0,2	0,2	0,2	-0,3	-0,3	-1	E3	gruppo 3-2				
SLE-RAR-001	1	1	1	0	0	0	0	0	0	0	0	0	0	0	0	0	0	0	0	0	0	0	0	0	0	0	0	0	0	0	0	0	0	0	0	0	0	0	0	G1+G2	solo perm					
SLE-RAR-002	1	1	1	0	0	0	0	0	0	0	0	0	0	0	0	0	0	0	0	0	0	0	0	0	0	0	0	0	0	0	0	0	0	0	0	0	0	0	0	Q51	vento					
SLE-RAR-003	1	1	1	0	0	0	0	0	0	0	0	0	0	0	0	0	0	0	0	0	0	0	0	0	0	0	0	0	0	0	0	0	0	0	0	0	0	0	0	Q61	termica					
SLE-RAR-004	1	1	0	0	0	0	0	0	0	0	0	0	0	0	0	0	0	0	0	0	0	0	0	0	0	0	0	0	0	0	0	0	0	0	0	0	0	0	0	Q51	vento					
SLE-RAR-005	1	1	0	0	0	0	0	0	0	0	0	0	0	0	0	0	0	0	0	0	0	0	0	0	0	0	0	0	0	0	0	0	0	0	0	0	0	0	0	Q61	termica					
SLE-RAR-006	1	1	1	1	0	0	0	0	0	0	0	0	0	0	0	0	0	1	0	0	0	0	0	0	0	0	0	1	0	0	0	0	0	0	0	0	0	0	0	0	Q11	gruppo 1				
SLE-RAR-007	1	1	1	0	1	0	0	0	0	0	0	0	0	0	0,5	0	0	0	1	0	0	0	0	0	0	0	0	1	0	0	0	0	0	0	0	0	0	0	0	0	Q12	gruppo 1				
SLE-RAR-008	1	1	1	0	0	1	0	0	0	0	0	0	0	0	0	0	0	0	0	1	0	0	0	0	0	0	0	0	1	0	0	0	0	0	0	0	0	0	0	0	Q13	gruppo 1				
SLE-RAR-009	1	1	1	0	0	0	1	0	0	0	0	0	0	0	0	0	0	0	0	0	1	0	0	0	0	0	0	0	0	1	0	0	0	0	0	0	0	0	0	0	0	Q14	gruppo 1			
SLE-RAR-010	1	1	1	0	0	0	0	1	0	0	0	0	0	0,5	0	0	0	0	0	0	0	0	0	0	0	0	0	0	0	0	0	0	0	0	0	0	0	0	0	0	0	Q15	gruppo 1			
SLE-RAR-011	1	1	1	0	0	0	0	0	0	1	0	0	0	0	0,5	0	0	0	0	0	0	0	0	0	0	0	0	0	0	0	0	0	0	0	0	0	0	0	0	0	0	Q16	gruppo 1			
SLE-RAR-012	1	1	1	1	0	0	0	0	0	0	0	0	0	0	0	0	0	0,5	0	0	0	0	0	0	0	0	0,5	0	0	0	0	0	0	0	0	0	0	0	0	0	0	0	Q11	gruppo 3		
SLE-RAR-013	1	1	1	0	1	0	0	0	0	0	0	0	0	0	0	0	0	0	0,5	0	0	0	0	0	0	0	0	0,5	0	0	0	0	0	0	0	0	0	0	0	0	0	0	0	Q12	gruppo 3	
SLE-RAR-014	1	1	1	0	0	1	0	0	0	0	0	0	0	0	0	0	0	0	0	0,5	0	0	0	0	0	0	0	0	0,5	0	0	0	0	0	0	0	0	0	0	0	0	0	0	Q13	gruppo 3	
SLE-RAR-015	1	1	1	0	0	0	1	0	0	0	0	0	0	0	0	0	0	0	0	0	0,5	0	0	0	0	0	0	0	0,5	0	0	0	0	0	0	0	0	0	0	0	0	0	0	Q14	gruppo 3	
SLE-RAR-016	1	1	1	0	0	0	0	1	0	0	0	0	0	0	0	0	0	0	0	0	0	0	0	0	0	0	0	0,5	0	0	0	0	0	0	0	0	0	0	0	0	0	0	0	0	Q15	gruppo 3
SLE-RAR-017	1	1	1	0	0	0	0	0	0	1	0	0	0	0	0	0	0	0	0	0	0	0	0	0	0	0	0	0	0	0	0	0	0	0	0	0	0	0	0	0	0	0	0	Q16	gruppo 3	
SLE-RAR-018	1	1	0	0	0	0	0	0	0	0	0,5	0	0	0	0	0	1	0	0	0	0	0	0	0	0	0	0	0	0	0	0	0	0	0	0	0	0,5	0	0	0	0	0	0	Q27	gruppo 3-2	
SLE-RAR-019	1	1	1	1	0	0	0	0	0	0	0	0	0	0	0	0	0	1	0	0	0	0	0	0	0	0	0	1	0	0	0	0	0	0	0	0	0	0	0	0	0	0	0	Q11	gruppo 1	
SLE-RAR-020	1	1	1	0	1	0	0	0	0	0	0	0	0	0	0	0	0	0	0	1	0	0	0	0	0	0	0	0	1	0	0	0	0	0	0	0	0	0	0	0	0	0	0	Q12	gruppo 1	
SLE-RAR-021	1	1	1	0	0	1	0	0	0	0	0	0	0	0	0	0	0	0	0	1	0	0	0	0	0	0	0	0	1	0	0	0	0	0	0	0	0	0	0	0	0	0	0	Q13	gruppo 1	
SLE-RAR-022	1	1	1	0	0	0	1	0	0	0	0	0	0	0	0	0	0	0	0	0	1	0	0	0	0	0	0	0	1	0	0	0	0	0	0	0	0	0	0	0	0	0	0	Q14	gruppo 1	
SLE-RAR-023	1	1	1	0	0	0	0	1	0	0	0	0	0	0,5	0	0	0	0	0	0	0	0	0	0	0	0	0	0	0	0	0	0	0	0	0	0	0	0	0	0	0	0	0	Q15	gruppo 1	
SLE-RAR-024	1	1	1	0	0	0	0	0	0	1	0	0	0	0	0,5	0	0	0	0	0	0	0	0	0	0	0	0	0	0	0	0	0	0	0	0	0	0	0	0	0	0	0	0	Q16	gruppo 1	
SLE-RAR-025	1	1	1	1	0	0	0	0	0	0	0	0	0	0	0	0	0	0,5	0	0	0	0	0	0	0	0	0	0,5	0	0	0	0	0	0	0	0	0	0	0	0	0	0	0	0	Q11	gruppo 3

NOME COMB.	G - Permanenti			Q1 - Variabili verticali							Q2 - Avviamento e frenatura							Q3 - Centrifuga							Q4 - Serpeggio							Q5 - Variabili Q6 - Azioni interne Q7 - Effetti d'interazione			E - Azioni sismiche			Descrizione	
	G1	G2	G22	Q11	Q12	Q13	Q14	Q15	Q16	Q17	Q21	Q22	Q23	Q24	Q25	Q26	Q27	Q31	Q32	Q33	Q34	Q35	Q36	Q37	Q41	Q42	Q43	Q44	Q45	Q46	Q47	Q51	Q61	Q71	E1	E2	E3		
SLE-RAR-063	1	1	1	0	0	0	0	0	1	0	0	0	0	0	0,5	0	0	0	0	0	0	1	0	0	0	0	0	0	1	0	0,6	1	0,6	0	0	0	Q16	gruppo 1	
SLE-RAR-064	1	1	1	1	0	0	0	0	0	0	1	0	0	0	0	0	0,5	0	0	0	0	0	0	0	0,5	0	0	0	0	0	0	0,6	1	0,6	0	0	0	Q11	gruppo 3
SLE-RAR-065	1	1	1	0	1	0	0	0	0	0	0	1	0	0	0	0	0	0,5	0	0	0	0	0	0	0	0,5	0	0	0	0	0	0,6	1	0,6	0	0	0	Q12	gruppo 3
SLE-RAR-066	1	1	1	0	0	1	0	0	0	0	0	0	1	0	0	0	0	0	0,5	0	0	0	0	0	0	0	0,5	0	0	0	0,6	1	0,6	0	0	0	Q13	gruppo 3	
SLE-RAR-067	1	1	1	0	0	0	1	0	0	0	0	0	1	0	0	0	0	0	0	0,5	0	0	0	0	0	0	0	0,5	0	0	0,6	1	0,6	0	0	0	Q14	gruppo 3	
SLE-RAR-068	1	1	1	0	0	0	0	1	0	0	0	0	0	1	0	0	0	0	0	0	0	0,5	0	0	0	0	0	0	0,5	0	0	0,6	1	0,6	0	0	0	Q15	gruppo 3
SLE-RAR-069	1	1	1	0	0	0	0	0	1	0	0	0	0	0	1	0	0	0	0	0	0	0	0,5	0	0	0	0	0	0,5	0	0	0,6	1	0,6	0	0	0	Q16	gruppo 3
SLE-RAR-070	1	1	0	0	0	0	0	0	0	0,5	0	0	0	0	0	1	0	0	0	0	0	0	0,5	0	0	0	0	0	0,5	0,6	1	0,6	0	0	0	Q27	gruppo 3-2		
SLE-RAR-071	1	1	1	0,6	0	0	0	0	0	0	0,6	0	0	0	0	0	0,6	0	0	0	0	0	0	0	0,6	0	0	0	0	0	0	0	0	0	0	0	Q11	gruppo 4	
SLE-RAR-072	1	1	1	0	0,6	0	0	0	0	0	0	0,6	0	0	0	0	0	0,6	0	0	0	0	0	0	0	0,6	0	0	0	0	0	0	0	0	0	0	Q12	gruppo 4	
SLE-RAR-073	1	1	1	0	0	0,8	0	0	0	0	0	0	0,8	0	0	0	0	0	0,8	0	0	0	0	0	0	0	0,8	0	0	0	0	0	0	0	0	0	Q13	gruppo 4	
SLE-RAR-074	1	1	1	0	0	0	0,8	0	0	0	0	0	0	0,8	0	0	0	0	0	0	0,8	0	0	0	0	0	0	0,8	0	0	0	0	0	0	0	0	Q14	gruppo 4	
SLE-RAR-075	1	1	1	0	0	0	0	0,6	0	0	0	0	0	0	0,6	0	0	0	0	0	0	0,6	0	0	0	0	0,6	0	0	0	0	0	0	0	0	0	Q15	gruppo 4	
SLE-RAR-076	1	1	1	0	0	0	0	0	0,6	0	0	0	0	0	0,6	0	0	0	0	0	0	0	0,6	0	0	0	0	0,6	0	0	0	0	0	0	0	0	Q16	gruppo 4	
SLE-RAR-077	1	1	0	0	0	0	0	0	0	0,6	0	0	0	0	0	0,6	0	0	0	0	0	0	0	0,6	0	0	0	0	0	0,6	0	0	0	0	0	0	Q17	gruppo 4	
SLE-RAR-078	1	1	1	0,6	0	0	0	0	0	0	0,6	0	0	0	0	0	0,6	0	0	0	0	0	0	0	0,6	0	0	0	0	0	0	0	0	0	0	0	Q11	gruppo 4	
SLE-RAR-079	1	1	1	0	0,6	0	0	0	0	0	0	0,6	0	0	0	0	0	0,6	0	0	0	0	0	0	0	0,6	0	0	0	0	0	0	0	0	0	0	Q12	gruppo 4	
SLE-RAR-080	1	1	1	0	0	0,8	0	0	0	0	0	0	0,8	0	0	0	0	0	0,8	0	0	0	0	0	0	0	0,8	0	0	0	0	0	0	0	0	0	Q13	gruppo 4	
SLE-RAR-081	1	1	1	0	0	0	0,8	0	0	0	0	0	0	0,8	0	0	0	0	0	0,8	0	0	0	0	0	0	0,8	0	0	0	0	0	0	0	0	0	Q14	gruppo 4	
SLE-RAR-082	1	1	1	0	0	0	0	0,6	0	0	0	0	0	0	0,6	0	0	0	0	0	0	0	0,6	0	0	0	0	0,6	0	0	0	0	0	0	0	0	Q15	gruppo 4	
SLE-RAR-083	1	1	1	0	0	0	0	0	0,6	0	0	0	0	0	0,6	0	0	0	0	0	0	0	0,6	0	0	0	0	0,6	0	0,6	0	0	0	0	0	0	Q16	gruppo 4	
SLE-RAR-084	1	1	0	0	0	0	0	0	0	0,6	0	0	0	0	0	0,6	0	0	0	0	0	0	0	0,6	0	0	0	0	0,6	0,6	0	0	0	0	0	0	Q17	gruppo 4	
SLE-RAR-085	1	1	1	0,6	0	0	0	0	0	0	0,6	0	0	0	0	0	0,6	0	0	0	0	0	0	0	0,6	0	0	0	0	0	1	0	0	0	0	0	Q61	gruppo 4	
SLE-RAR-086	1	1	1	0	0,6	0	0	0	0	0	0	0,6	0	0	0	0	0	0,6	0	0	0	0	0	0	0	0,6	0	0	0	0	1	0	0	0	0	0	Q61	gruppo 4	
SLE-RAR-087	1	1	1	0	0	0,8	0	0	0	0	0	0	0,8	0	0	0	0	0	0,8	0	0	0	0	0	0	0	0,8	0	0	0	0	1	0	0	0	0	Q61	gruppo 4	
SLE-RAR-088	1	1	1	0	0	0	0,8	0	0	0	0	0	0	0,8	0	0	0	0	0	0,8	0	0	0	0	0	0	0,8	0	0	0	0	1	0	0	0	0	Q61	gruppo 4	
SLE-RAR-089	1	1	1	0	0	0	0	0,6	0	0	0	0	0	0	0,6	0	0	0	0	0	0	0	0,6	0	0	0	0	0,6	0	0	1	0	0	0	0	0	Q61	gruppo 4	
SLE-RAR-090	1	1	1	0	0	0	0	0	0,6	0	0	0	0	0	0,6	0	0	0	0	0	0	0	0,6	0	0	0	0	0,6	0	0	1	0	0	0	0	0	Q61	gruppo 4	
SLE-RAR-091	1	1	0	0	0	0	0	0	0	0,6	0	0	0	0	0	0,6	0	0	0	0	0	0	0	0,6	0	0	0	0	0,6	0	1	0	0	0	0	0	Q61	gruppo 4	
SLE-RAR-092	1	1	1	0,6	0	0	0	0	0	0	0,6	0	0	0	0	0	0,6	0	0	0	0	0	0	0	0,6	0	0	0	0	0	0,6	0	0	0	0	0	Q11	gruppo 4	
SLE-RAR-093	1	1	1	0	0,6	0	0	0	0	0	0	0,6	0	0	0	0	0	0,6	0	0	0	0	0	0	0	0,6	0	0	0	0	0	0,6	0	0	0	0	Q12	gruppo 4	
SLE-RAR-094	1	1	1	0	0	0,8	0	0	0	0	0	0	0,8	0	0	0	0	0	0,8	0	0	0	0	0	0	0	0,8	0	0	0	0	0	0,6	0	0	0	Q13	gruppo 4	
SLE-RAR-095	1	1	1	0	0	0	0,8	0	0	0	0	0	0	0,8	0	0	0	0	0	0,8	0	0	0	0	0	0	0,8	0	0	0	0	0	0,6	0	0	0	Q14	gruppo 4	
SLE-RAR-096	1	1	1	0	0	0	0	0,6	0	0	0	0	0	0	0,6	0	0	0	0	0	0	0	0,6	0	0	0	0	0,6	0	0	0	0,6	0	0	0	0	Q15	gruppo 4	
SLE-RAR-097	1	1	1	0	0	0	0	0	0,6	0	0	0	0	0	0,6	0	0	0	0	0	0	0	0	0,6	0	0	0	0	0,6	0	0	0,6	0	0	0	0	Q16	gruppo 4	
SLE-RAR-098	1	1	0	0	0	0	0	0	0	0,6	0	0	0	0	0	0,6	0	0	0	0	0	0	0	0	0,6	0	0	0	0	0	0,6	0	0	0	0	0	Q17	gruppo 4	
SLE-RAR-099	1	1	1	0,6	0	0	0	0	0	0	0,6	0	0	0	0	0	0,6	0	0	0	0	0	0	0	0,6	0	0	0	0	0	0,6	1	0,6	0	0	0	Q61	gruppo 4	

NOME COMB.	G - Permanenti			Q1 - Variabili verticali							Q2 - Avviamento e frenatura							Q3 - Centrifuga							Q4 - Serpeggio							Q5 - Variabili Q6 - Azioni interne Q7 - Effetti d'interazione			E - Azioni sismiche			Descrizione		
	G1	G21	G22	Q11	Q12	Q13	Q14	Q15	Q16	Q17	Q21	Q22	Q23	Q24	Q25	Q26	Q27	Q31	Q32	Q33	Q34	Q35	Q36	Q37	Q41	Q42	Q43	Q44	Q45	Q46	Q47	Q51	Q61	Q71	E1	E2	E3			
SLE-RAR-100	1	1	1	0	0,6	0	0	0	0	0	0	0,6	0	0	0	0	0	0,6	0	0	0	0	0	0	0,6	0	0	0	0	0	0,6	1	0,6	0	0	0	Q61	gruppo 4		
SLE-RAR-101	1	1	1	0	0	0,8	0	0	0	0	0	0	0,8	0	0	0	0	0	0	0,8	0	0	0	0	0	0	0,8	0	0	0	0	0	0,6	1	0,6	0	0	0	Q61	gruppo 4
SLE-RAR-102	1	1	1	0	0	0	0,8	0	0	0	0	0	0,8	0	0	0	0	0	0	0,8	0	0	0	0	0	0	0,8	0	0	0	0	0	0,6	1	0,6	0	0	0	Q61	gruppo 4
SLE-RAR-103	1	1	1	0	0	0	0	0,6	0	0	0	0	0	0,6	0	0	0	0	0	0	0,6	0	0	0	0	0	0,6	0	0	0	0,6	1	0,6	0	0	0	Q61	gruppo 4		
SLE-RAR-104	1	1	1	0	0	0	0	0	0,6	0	0	0	0	0	0,6	0	0	0	0	0	0	0,6	0	0	0	0	0	0,6	0	0	0,6	1	0,6	0	0	0	Q61	gruppo 4		
SLE-RAR-105	1	1	0	0	0	0	0	0	0	0,6	0	0	0	0	0	0,6	0	0	0	0	0	0	0,6	0	0	0	0	0	0,6	0,6	1	0,6	0	0	0	Q61	gruppo 4			
SLE-QPE-001	1	1	1	0	0	0	0	0	0	0	0	0	0	0	0	0	0	0	0	0	0	0	0	0	0	0	0	0	0	0	0	0	0	0	0	0	0	G1+G2	solo perm	
SLE-QPE-002	1	1	1	0	0	0	0	0	0	0	0	0	0	0	0	0	0	0	0	0	0	0	0	0	0	0	0	0	0	0	0	1	1	0	0	0	Q61	termica		

ALLEGATO 2
VI06 – PILA 10

1 SOLLECITAZIONI ELEMENTARI A BASE PILA

C.C.E.	Descrizione	F1	F2	F3	M1	M2	M3
		kN	kN	kN	kNm	kNm	kNm
G1	Pesi propri	0	0	-9265	0	0	0
G2	Ballast	0	0	-3500	0	0	0
G2	Permanententi non strutturali	0	0	-1548	0	0	0
Q11	Disposizione 1 (massimizza N)	0	0	-5692	-684	66	0
Q12	Disposizione 2 (massimizza M2)	0	0	-3559	-518	3915	0
Q13	Disposizione 3 (massimizza M1)	0	0	-2962	-5925	66	0
Q14	Disposizione 4 (massimizza M1)	0	0	-2730	-5678	0	0
Q15	Disposizione 5 (massimizza N+M2)	0	0	-5524	-789	1753	0
Q16	Disposizione 6 (massimizza N)	0	0	-5460	-218	0	0
Q17	Disposizione 7 (minimizza N)	0	0	-2977	-1634	3275	0
Q21	Disposizione 1 (massimizza N)	1835	0	0	0	13579	0
Q22	Disposizione 2 (massimizza M2)	2154	0	0	0	15940	0
Q23	Disposizione 3 (massimizza M1)	819	0	0	0	6061	0
Q24	Disposizione 4 (massimizza M1)	1016	0	0	0	7518	0
Q25	Disposizione 5 (massimizza N+M2)	2154	0	0	0	15940	0
Q26	Disposizione 6 (massimizza N)	1995	0	0	0	14763	0
Q27	Disposizione 7 (minimizza N)	2154	0	0	0	15940	0
Q31	Disposizione 1 (massimizza N)	0	473	0	-5902	0	0
Q32	Disposizione 2 (massimizza M2)	0	294	0	-3670	0	0
Q33	Disposizione 3 (massimizza M1)	0	155	0	-1937	0	0
Q34	Disposizione 4 (massimizza M1)	0	318	0	-3965	0	0
Q35	Disposizione 5 (massimizza N+M2)	0	463	0	-5777	0	0
Q36	Disposizione 6 (massimizza N)	0	460	0	-5744	0	0
Q37	Disposizione 7 (minimizza N)	0	226	0	-2823	0	0
Q41	Disposizione 1 (massimizza N)	0	210	0	-2242	0	0
Q42	Disposizione 2 (massimizza M2)	0	210	0	-2243	0	0
Q43	Disposizione 3 (massimizza M1)	0	100	0	-1068	0	0
Q44	Disposizione 4 (massimizza M1)	0	110	0	-1174	0	0
Q45	Disposizione 5 (massimizza N+M2)	0	210	0	-2242	0	0
Q46	Disposizione 6 (massimizza N)	0	210	0	-2242	0	0
Q47	Disposizione 7 (minimizza N)	0	210	0	-2243	0	0
Q51	Vento	0	853	0	-10761	0	0
Q61	Attrito su vincoli	283	0	0	0	2094	0
Q71	Variazioni termiche	280	0	0	0	2072	0
E1	Sisma x	6308	0	0	0	46681	2593
E2	Sisma y	0	5209	0	-49383	0	3907
E3	Sisma z	0	0	-5702	-2069	3776	0

2 SPOSTAMENTI ELEMENTARI IN TESTA PILA

C.C.E.	Descrizione	d1,1	d2,1	d3,1	φ1,1	φ2,1	φ3,1
		mm	mm	mm	1/mm	1/mm	1/mm
G1	Pesi propri	0.00	0.00	-0.20	0.00	0.00	0.00
G2	Ballast	0.00	0.00	-0.07	0.00	0.00	0.00
G2	Permanenti non strutturali	0.00	0.00	-0.03	0.00	0.00	0.00
Q11	Disposizione 1 (massimizza N)	0.00	0.00	-0.12	0.00	0.00	0.00
Q12	Disposizione 2 (massimizza M2)	0.00	0.00	-0.08	0.00	0.00	0.00
Q13	Disposizione 3 (massimizza M1)	0.00	0.00	-0.06	0.00	0.00	0.00
Q14	Disposizione 4 (massimizza M1)	0.00	0.00	-0.06	0.00	0.00	0.00
Q15	Disposizione 5 (massimizza N+M2)	0.00	0.00	-0.12	0.00	0.00	0.00
Q16	Disposizione 6 (massimizza N)	0.00	0.00	-0.12	0.00	0.00	0.00
Q17	Disposizione 7 (minimizza N)	0.00	0.00	-0.06	0.00	0.00	0.00
Q21	Disposizione 1 (massimizza N)	0.79	0.00	0.00	0.00	0.11	0.00
Q22	Disposizione 2 (massimizza M2)	0.92	0.00	0.00	0.00	0.12	0.00
Q23	Disposizione 3 (massimizza M1)	0.35	0.00	0.00	0.00	0.05	0.00
Q24	Disposizione 4 (massimizza M1)	0.44	0.00	0.00	0.00	0.06	0.00
Q25	Disposizione 5 (massimizza N+M2)	0.92	0.00	0.00	0.00	0.12	0.00
Q26	Disposizione 6 (massimizza N)	0.85	0.00	0.00	0.00	0.12	0.00
Q27	Disposizione 7 (minimizza N)	0.92	0.00	0.00	0.00	0.12	0.00
Q31	Disposizione 1 (massimizza N)	0.00	0.06	0.00	0.01	0.00	0.00
Q32	Disposizione 2 (massimizza M2)	0.00	0.04	0.00	0.00	0.00	0.00
Q33	Disposizione 3 (massimizza M1)	0.00	0.02	0.00	0.00	0.00	0.00
Q34	Disposizione 4 (massimizza M1)	0.00	0.04	0.00	0.01	0.00	0.00
Q35	Disposizione 5 (massimizza N+M2)	0.00	0.06	0.00	0.01	0.00	0.00
Q36	Disposizione 6 (massimizza N)	0.00	0.06	0.00	0.01	0.00	0.00
Q37	Disposizione 7 (minimizza N)	0.00	0.03	0.00	0.00	0.00	0.00
Q41	Disposizione 1 (massimizza N)	0.00	0.03	0.00	0.00	0.00	0.00
Q42	Disposizione 2 (massimizza M2)	0.00	0.03	0.00	0.00	0.00	0.00
Q43	Disposizione 3 (massimizza M1)	0.00	0.01	0.00	0.00	0.00	0.00
Q44	Disposizione 4 (massimizza M1)	0.00	0.01	0.00	0.00	0.00	0.00
Q45	Disposizione 5 (massimizza N+M2)	0.00	0.03	0.00	0.00	0.00	0.00
Q46	Disposizione 6 (massimizza N)	0.00	0.03	0.00	0.00	0.00	0.00
Q47	Disposizione 7 (minimizza N)	0.00	0.03	0.00	0.00	0.00	0.00
Q51	Vento	0.00	0.10	0.00	0.01	0.00	0.00
Q61	Attrito su vincoli	0.12	0.00	0.00	0.00	0.02	0.00
Q71	Variazioni termiche	0.12	0.00	0.00	0.00	0.02	0.00
E1	Sisma x	7.61	0.00	0.00	0.00	1.03	0.00
E2	Sisma y	0.00	2.21	0.00	0.30	0.00	0.00
E3	Sisma z	0.00	0.00	-0.12	0.00	0.00	0.00

3 SOLLECITAZIONI COMBinate A BASE PILA

Si riportano a seguire i valori delle sollecitazioni di calcolo combinate secondo i coefficienti di combinazione riportati nell'allegato 1 della presente relazione. I valori seguenti tengono conto degli effetti del secondo ordine indotti dagli spostamenti elementari.

Per ogni gruppo di combinazioni di carico considerato (SLU-STR SLU-GEO, SLV-SIS, SLE-RAR e SLE-QP), sono riportati a seguire i valori delle sollecitazioni corrispondenti alle combinazioni che massimizzano ognuna delle componenti di sollecitazione (F1, F2, F3, M1, M2 e M3).

F1	Forza di taglio in direzione longitudinale [kN]
F2	Forza di taglio in direzione trasversale [kN]
F3	Forza assiale verticale [kN]
M1	Momento flettente attorno all'asse 1 (trasversale)
M2	Momento flettente attorno all'asse 2 (longitudinale)
M3	Momento flettente attorno all'asse 3 (toocente)

SLU-STR	max	Combo.	F1	F2	F3	M1	M2	M3
			kN	kN	kN	kNm	kNm	kNm
<i>max</i>	F1	SLU-STR-065	3786	1136	-25241	-14756	33731	0
<i>max</i>	F2	SLU-STR-019	1340	1758	-28334	-22492	10025	0
<i>max</i>	F3	SLU-STR-004	507	1280	-12765	-16144	3752	0
<i>max</i>	M1	SLU-STR-018	3123	318	-14939	-4892	25523	0
<i>max</i>	M2	SLU-STR-065	3786	1136	-25241	-14756	33731	0
<i>max</i>	M3	SLU-STR-002	507	1280	-20080	-16145	3754	0

SLU-STR	min	Combo.	F1	F2	F3	M1	M2	M3
			kN	kN	kN	kNm	kNm	kNm
<i>min</i>	F1	SLU-STR-002	507	1280	-20080	-16145	3754	0
<i>min</i>	F2	SLU-STR-014	1188	186	-24375	-10785	8896	0
<i>min</i>	F3	SLU-STR-006	1340	990	-28334	-12804	10025	0
<i>min</i>	M1	SLU-STR-022	742	1388	-24039	-25374	5496	0
<i>min</i>	M2	SLU-STR-004	507	1280	-12765	-16144	3752	0
<i>min</i>	M3	SLU-STR-002	507	1280	-20080	-16145	3754	0

SLU-GEO	max	Combo.	F1	F2	F3	M1	M2	M3
			kN	kN	kN	kNm	kNm	kNm
<i>max</i>	F1	SLU-GEO-065	3265	983	-20277	-12769	29080	0
<i>max</i>	F2	SLU-GEO-019	1156	1519	-22943	-19433	8649	0
<i>max</i>	F3	SLU-GEO-004	439	1109	-12765	-13991	3252	0
<i>max</i>	M1	SLU-GEO-018	2693	275	-14641	-4222	22004	0
<i>max</i>	M2	SLU-GEO-065	3265	983	-20277	-12769	29080	0
<i>max</i>	M3	SLU-GEO-002	439	1109	-15828	-13992	3253	0

SLU-GEO	min	Combo.	F1	F2	F3	M1	M2	M3
			kN	kN	kN	kNm	kNm	kNm
<i>min</i>	F1	SLU-GEO-002	439	1109	-15828	-13992	3253	0
<i>min</i>	F2	SLU-GEO-014	1024	161	-19530	-9300	7667	0
<i>min</i>	F3	SLU-GEO-006	1156	854	-22943	-11038	8649	0
<i>min</i>	M1	SLU-GEO-022	640	1200	-19240	-21918	4742	0
<i>min</i>	M2	SLU-GEO-004	439	1109	-12765	-13991	3252	0
<i>min</i>	M3	SLU-GEO-002	439	1109	-15828	-13992	3253	0

SLU-SIS	max	Combo.	F1	F2	F3	M1	M2	M3
			kN	kN	kN	kNm	kNm	kNm
<i>max</i>	F1	SLU-SIS-011	6936	1613	-16736	-16142	53371	3765
<i>max</i>	F2	SLU-SIS-038	2189	5346	-17162	-51807	17383	4685
<i>max</i>	F3	SLU-SIS-087	2089	1563	-7063	-12750	11700	1950
<i>max</i>	M1	SLU-SIS-152	-1892	-5209	-12603	50031	-15166	-4685
<i>max</i>	M2	SLU-SIS-011	6936	1613	-16736	-16142	53371	3765
<i>max</i>	M3	SLU-SIS-034	1892	5209	-16024	-50039	15173	4685

SLU-SIS	min	Combo.	F1	F2	F3	M1	M2	M3
			kN	kN	kN	kNm	kNm	kNm
<i>min</i>	F1	SLU-SIS-102	-6308	-1563	-16024	14205	-45670	-3765
<i>min</i>	F2	SLU-SIS-135	-1892	-5209	-16024	48797	-12908	-4685
<i>min</i>	F3	SLU-SIS-071	1892	1563	-21154	-17035	17841	1950
<i>min</i>	M1	SLU-SIS-041	2107	5295	-16570	-52204	16761	4685
<i>min</i>	M2	SLU-SIS-118	-6308	-1563	-12603	15444	-47909	-3765
<i>min</i>	M3	SLU-SIS-135	-1892	-5209	-16024	48797	-12908	-4685

SLE-RAR	max	Combo.	F1	F2	F3	M1	M2	M3
			kN	kN	kN	kNm	kNm	kNm
<i>max</i>	F1	SLE-RAR-065	2605	764	-17872	-9933	23212	0
<i>max</i>	F2	SLE-RAR-019	918	1195	-20005	-15288	6863	0
<i>max</i>	F3	SLE-RAR-004	338	853	-12765	-10763	2502	0
<i>max</i>	M1	SLE-RAR-018	2154	218	-14254	-3351	17590	0
<i>max</i>	M2	SLE-RAR-065	2605	764	-17872	-9933	23212	0
<i>max</i>	M3	SLE-RAR-002	338	853	-14313	-10763	2502	0

SLE-RAR	min	Combo.	F1	F2	F3	M1	M2	M3
			kN	kN	kN	kNm	kNm	kNm
<i>min</i>	F1	SLE-RAR-002	338	853	-14313	-10763	2502	0
<i>min</i>	F2	SLE-RAR-014	819	128	-17275	-7428	6133	0
<i>min</i>	F3	SLE-RAR-006	918	683	-20005	-8830	6863	0
<i>min</i>	M1	SLE-RAR-022	508	940	-17043	-17276	3763	0
<i>min</i>	M2	SLE-RAR-004	338	853	-12765	-10763	2502	0
<i>min</i>	M3	SLE-RAR-002	338	853	-14313	-10763	2502	0

4 SOLLECITAZIONI COMBinate A BASE PLINTO

Le sollecitazioni combinate alla base della pila sono state riportate ad intradosso plinto (in posizione baricentrica) e sono state incrementate per tenere conto del peso del plinto e del terreno di ricoprimento presente al suo estradosso, nonché della forza inerziale (orizzontale e verticale) associata alla massa del plinto stesso e considerata solidale con il terreno ($T = 0$ sec).

Terreno ricoprimento

dlong	9.6	m
dtrav	13.2	m
hterr	1.135	m
gterr	20	kN/m ³
Wterr	2369	kN

Plinto			Orizzontale			Verticale		
dlong	9.6	m	ag0	0.232	g	ag0	0.151	g
dtrav	13.2	m	S	1.161		S	1.000	
hpl	2.5	m	PGA	0.269	g	PGA	0.151	g
gcls	25	kN/m ³	lplinto_h	2132	kN	lplinto_v	1194	kN
Wplinto	7920	kN						

	F1	F2	F3	M1	M2	M3	Ftot
	kN	kN	kN	kNm	kNm	kNm	kN
SLU-STR-001			-34326				
SLU-STR-002	507	1280	-34326	-19344	5021	0	1376
SLU-STR-003	830	768	-34326	-11606	8228	0	1131
SLU-STR-004	507	1280	-20685	-19343	5019	0	1376
SLU-STR-005	830	768	-20685	-11606	8225	0	1131
SLU-STR-006	1340	990	-42579	-15280	13374	0	1666
SLU-STR-007	1572	731	-39486	-11154	21261	0	1734
SLU-STR-008	598	370	-38621	-13874	6021	0	703
SLU-STR-009	742	621	-38284	-17238	7350	0	967
SLU-STR-010	1572	976	-42336	-15215	18128	0	1851
SLU-STR-011	1456	972	-42243	-14328	14435	0	1751
SLU-STR-012	2661	499	-42579	-8185	26469	0	2707
SLU-STR-013	3123	368	-39486	-5988	36631	0	3145
SLU-STR-014	1188	186	-38621	-11251	11865	0	1202
SLU-STR-015	1473	312	-38284	-12767	14600	0	1506
SLU-STR-016	3123	491	-42336	-8228	33501	0	3162
SLU-STR-017	2893	489	-42243	-7370	28673	0	2934
SLU-STR-018	3123	318	-22859	-5688	33331	0	3139
SLU-STR-019	1340	1758	-42579	-26887	13374	0	2210
SLU-STR-020	1572	1499	-39486	-22760	21261	0	2172

SLU-STR-021	598	1137	-38621	-25481	6021	0	1285
SLU-STR-022	742	1388	-38284	-28845	7350	0	1574
SLU-STR-023	1572	1744	-42336	-26822	18128	0	2348
SLU-STR-024	1456	1739	-42243	-25935	14435	0	2268
SLU-STR-025	2661	1266	-42579	-19792	26469	0	2947
SLU-STR-026	3123	1136	-39486	-17595	36631	0	3323
SLU-STR-027	1188	954	-38621	-22858	11865	0	1523
SLU-STR-028	1473	1080	-38284	-24373	14600	0	1827
SLU-STR-029	3123	1259	-42336	-19835	33501	0	3368
SLU-STR-030	2893	1257	-42243	-18977	28673	0	3154
SLU-STR-031	3123	1086	-22859	-17293	33331	0	3307
SLU-STR-032	1750	990	-42579	-15280	17441	0	2011
SLU-STR-033	1983	731	-39486	-11154	25327	0	2113
SLU-STR-034	1008	370	-38621	-13874	10088	0	1074
SLU-STR-035	1152	621	-38284	-17238	11417	0	1309
SLU-STR-036	1983	976	-42336	-15215	22196	0	2210
SLU-STR-037	1867	972	-42243	-14328	18503	0	2104
SLU-STR-038	3071	499	-42579	-8185	30537	0	3111
SLU-STR-039	3534	368	-39486	-5988	40698	0	3553
SLU-STR-040	1598	186	-38621	-11251	15932	0	1609
SLU-STR-041	1884	312	-38284	-12767	18667	0	1909
SLU-STR-042	3534	491	-42336	-8228	37568	0	3568
SLU-STR-043	3303	489	-42243	-7370	32740	0	3339
SLU-STR-044	3534	318	-22859	-5688	37396	0	3548
SLU-STR-045	1592	990	-42579	-15280	15871	0	1875
SLU-STR-046	1824	731	-39486	-11154	23758	0	1965
SLU-STR-047	850	370	-38621	-13874	8518	0	927
SLU-STR-048	994	621	-38284	-17238	9848	0	1172
SLU-STR-049	1824	976	-42336	-15215	20626	0	2069
SLU-STR-050	1708	972	-42243	-14328	16933	0	1965
SLU-STR-051	2913	499	-42579	-8185	28967	0	2955
SLU-STR-052	3375	368	-39486	-5988	39129	0	3395
SLU-STR-053	1440	186	-38621	-11251	14362	0	1452
SLU-STR-054	1725	312	-38284	-12767	17097	0	1753
SLU-STR-055	3375	491	-42336	-8228	35999	0	3411
SLU-STR-056	3145	489	-42243	-7370	31171	0	3183
SLU-STR-057	3375	318	-22859	-5688	35828	0	3390
SLU-STR-058	2002	1758	-42579	-26887	19939	0	2664
SLU-STR-059	2235	1499	-39486	-22760	27825	0	2691
SLU-STR-060	1260	1137	-38621	-25481	12585	0	1698
SLU-STR-061	1404	1388	-38284	-28845	13914	0	1975
SLU-STR-062	2235	1744	-42336	-26822	24694	0	2834
SLU-STR-063	2119	1739	-42243	-25935	21001	0	2741
SLU-STR-064	3323	1266	-42579	-19792	33035	0	3556
SLU-STR-065	3786	1136	-39486	-17595	43195	0	3952

SLU-STR-066	1850	954	-38621	-22858	18429	0	2081
SLU-STR-067	2136	1080	-38284	-24373	21164	0	2393
SLU-STR-068	3786	1259	-42336	-19835	40066	0	3990
SLU-STR-069	3555	1257	-42243	-18977	35238	0	3771
SLU-STR-070	3786	1086	-22859	-17293	39893	0	3938

	F1	F2	F3	M1	M2	M3	Ftot
	kN	kN	kN	kNm	kNm	kNm	kN
SLU-GEO-001			-26828				
SLU-GEO-002	439	1109	-26828	-16764	4350	0	1193
SLU-GEO-003	718	665	-26828	-10058	7111	0	979
SLU-GEO-004	439	1109	-20685	-16764	4350	0	1193
SLU-GEO-005	718	665	-20685	-10058	7110	0	979
SLU-GEO-006	1156	854	-33943	-13172	11539	0	1437
SLU-GEO-007	1357	630	-31276	-9615	18340	0	1496
SLU-GEO-008	516	319	-30530	-11960	5195	0	606
SLU-GEO-009	640	535	-30240	-14860	6342	0	834
SLU-GEO-010	1357	841	-33733	-13116	15639	0	1597
SLU-GEO-011	1257	838	-33653	-12351	12455	0	1510
SLU-GEO-012	2294	430	-33943	-7063	22813	0	2334
SLU-GEO-013	2693	318	-31276	-5167	31573	0	2711
SLU-GEO-014	1024	161	-30530	-9701	10226	0	1036
SLU-GEO-015	1270	270	-30240	-11010	12583	0	1298
SLU-GEO-016	2693	424	-33733	-7099	28874	0	2726
SLU-GEO-017	2494	422	-33653	-6360	24712	0	2529
SLU-GEO-018	2693	275	-22561	-4908	28736	0	2706
SLU-GEO-019	1156	1519	-33943	-23231	11539	0	1909
SLU-GEO-020	1357	1295	-31276	-19674	18340	0	1876
SLU-GEO-021	516	984	-30530	-22019	5195	0	1111
SLU-GEO-022	640	1200	-30240	-24919	6342	0	1360
SLU-GEO-023	1357	1507	-33733	-23175	15639	0	2028
SLU-GEO-024	1257	1503	-33653	-22410	12455	0	1959
SLU-GEO-025	2294	1096	-33943	-17122	22813	0	2542
SLU-GEO-026	2693	983	-31276	-15226	31573	0	2866
SLU-GEO-027	1024	826	-30530	-19760	10226	0	1315
SLU-GEO-028	1270	935	-30240	-21069	12583	0	1577
SLU-GEO-029	2693	1089	-33733	-17158	28874	0	2905
SLU-GEO-030	2494	1087	-33653	-16419	24712	0	2721
SLU-GEO-031	2693	940	-22561	-14967	28736	0	2852
SLU-GEO-032	1510	854	-33943	-13172	15044	0	1734
SLU-GEO-033	1711	630	-31276	-9615	21845	0	1823
SLU-GEO-034	870	319	-30530	-11960	8700	0	926
SLU-GEO-035	994	535	-30240	-14860	9847	0	1129

SLU-GEO-036	1711	841	-33733	-13116	19145	0	1906
SLU-GEO-037	1611	838	-33653	-12351	15961	0	1815
SLU-GEO-038	2648	430	-33943	-7063	26319	0	2682
SLU-GEO-039	3046	318	-31276	-5167	35078	0	3063
SLU-GEO-040	1378	161	-30530	-9701	13731	0	1387
SLU-GEO-041	1624	270	-30240	-11010	16089	0	1646
SLU-GEO-042	3046	424	-33733	-7099	32379	0	3076
SLU-GEO-043	2848	422	-33653	-6360	28218	0	2879
SLU-GEO-044	3046	275	-22561	-4908	32240	0	3059
SLU-GEO-045	1374	854	-33943	-13172	13703	0	1618
SLU-GEO-046	1575	630	-31276	-9615	20504	0	1697
SLU-GEO-047	734	319	-30530	-11960	7359	0	801
SLU-GEO-048	858	535	-30240	-14860	8506	0	1012
SLU-GEO-049	1575	841	-33733	-13116	17804	0	1786
SLU-GEO-050	1475	838	-33653	-12351	14619	0	1696
SLU-GEO-051	2512	430	-33943	-7063	24977	0	2549
SLU-GEO-052	2911	318	-31276	-5167	33737	0	2928
SLU-GEO-053	1242	161	-30530	-9701	12390	0	1252
SLU-GEO-054	1488	270	-30240	-11010	14747	0	1513
SLU-GEO-055	2911	424	-33733	-7099	31038	0	2942
SLU-GEO-056	2712	422	-33653	-6360	26877	0	2745
SLU-GEO-057	2911	275	-22561	-4908	30899	0	2924
SLU-GEO-058	1728	1519	-33943	-23231	17209	0	2301
SLU-GEO-059	1929	1295	-31276	-19674	24009	0	2324
SLU-GEO-060	1088	984	-30530	-22019	10864	0	1467
SLU-GEO-061	1212	1200	-30240	-24919	12011	0	1706
SLU-GEO-062	1929	1507	-33733	-23175	21309	0	2448
SLU-GEO-063	1829	1503	-33653	-22410	18125	0	2367
SLU-GEO-064	2866	1096	-33943	-17122	28483	0	3068
SLU-GEO-065	3265	983	-31276	-15226	37242	0	3409
SLU-GEO-066	1596	826	-30530	-19760	15895	0	1797
SLU-GEO-067	1842	935	-30240	-21069	18252	0	2066
SLU-GEO-068	3265	1089	-33733	-17158	34544	0	3442
SLU-GEO-069	3066	1087	-33653	-16419	30382	0	3253
SLU-GEO-070	3265	940	-22561	-14967	34404	0	3397

	F1	F2	F3	M1	M2	M3	Ftot
	kN	kN	kN	kNm	kNm	kNm	kN
SLU-SIS-001	9071	2359	-26671	-22088	72741	3765	9373
SLU-SIS-002	9287	2359	-26671	-22088	74884	3765	9582
SLU-SIS-003	9287	2359	-22754	-22087	74871	3765	9582
SLU-SIS-004	9489	2509	-27810	-24407	76908	3765	9815
SLU-SIS-005	9524	2470	-27383	-23781	78099	3765	9839

SLU-SIS-006	9378	2415	-27264	-24193	75796	3765	9683
SLU-SIS-007	9399	2453	-27217	-24704	75996	3765	9714
SLU-SIS-008	9524	2507	-27776	-24397	77626	3765	9849
SLU-SIS-009	9507	2506	-27763	-24262	77067	3765	9832
SLU-SIS-010	9691	2434	-27810	-23323	78908	3765	9992
SLU-SIS-011	9761	2414	-27383	-22991	80446	3765	10055
SLU-SIS-012	9468	2387	-27264	-23793	76689	3765	9764
SLU-SIS-013	9511	2406	-27217	-24021	77103	3765	9811
SLU-SIS-014	9761	2433	-27776	-23330	79974	3765	10060
SLU-SIS-015	9726	2432	-27763	-23199	79242	3765	10026
SLU-SIS-016	9761	2407	-23052	-22944	79928	3765	10054
SLU-SIS-017	9071	2359	-22534	-20720	70221	3765	9373
SLU-SIS-018	9287	2359	-22534	-20720	72363	3765	9582
SLU-SIS-019	9287	2359	-18617	-20719	72350	3765	9582
SLU-SIS-020	9071	2359	-23672	-20871	70245	3765	9373
SLU-SIS-021	9397	2509	-23672	-23039	73471	3765	9726
SLU-SIS-022	9432	2470	-23245	-22412	74662	3765	9750
SLU-SIS-023	9285	2415	-23126	-22825	72360	3765	9594
SLU-SIS-024	9307	2453	-23080	-23336	72559	3765	9625
SLU-SIS-025	9432	2507	-23638	-23029	74190	3765	9759
SLU-SIS-026	9415	2506	-23626	-22894	73631	3765	9742
SLU-SIS-027	9599	2434	-23672	-21955	75471	3765	9903
SLU-SIS-028	9669	2414	-23245	-21623	77009	3765	9966
SLU-SIS-029	9375	2387	-23126	-22424	73252	3765	9674
SLU-SIS-030	9419	2406	-23080	-22652	73667	3765	9721
SLU-SIS-031	9669	2433	-23638	-21962	76537	3765	9970
SLU-SIS-032	9634	2432	-23626	-21831	75805	3765	9936
SLU-SIS-033	9669	2407	-18914	-21576	76491	3765	9964
SLU-SIS-034	2721	7862	-26671	-72033	22695	4685	8320
SLU-SIS-035	2938	7862	-26671	-72033	24837	4685	8393
SLU-SIS-036	2938	7862	-22754	-72029	24833	4685	8393
SLU-SIS-037	2721	7862	-27810	-72186	22712	4685	8320
SLU-SIS-038	3047	8013	-27810	-74354	25939	4685	8572
SLU-SIS-039	3082	7973	-27383	-73727	27132	4685	8548
SLU-SIS-040	2935	7918	-27264	-74139	24830	4685	8445
SLU-SIS-041	2957	7956	-27217	-74650	25030	4685	8488
SLU-SIS-042	3082	8010	-27776	-74344	26658	4685	8583
SLU-SIS-043	3065	8010	-27763	-74209	26099	4685	8576
SLU-SIS-044	3249	7937	-27810	-73270	27939	4685	8577
SLU-SIS-045	3319	7918	-27383	-72938	29480	4685	8585
SLU-SIS-046	3025	7890	-27264	-73739	25723	4685	8450
SLU-SIS-047	3069	7909	-27217	-73967	26138	4685	8484
SLU-SIS-048	3319	7936	-27776	-73277	29005	4685	8602
SLU-SIS-049	3284	7936	-27763	-73147	28273	4685	8589
SLU-SIS-050	3319	7910	-23052	-72887	28973	4685	8578

SLU-SIS-051	2721	7862	-22534	-70659	20194	4685	8320
SLU-SIS-052	2938	7862	-22534	-70659	22336	4685	8393
SLU-SIS-053	2938	7862	-18617	-70655	22332	4685	8393
SLU-SIS-054	2721	7862	-23672	-70812	20212	4685	8320
SLU-SIS-055	3047	8013	-23672	-72980	23438	4685	8572
SLU-SIS-056	3082	7973	-23245	-72353	24631	4685	8548
SLU-SIS-057	2935	7918	-23126	-72766	22329	4685	8445
SLU-SIS-058	2957	7956	-23080	-73276	22529	4685	8488
SLU-SIS-059	3082	8010	-23638	-72970	24157	4685	8583
SLU-SIS-060	3065	8010	-23626	-72835	23598	4685	8576
SLU-SIS-061	3249	7937	-23672	-71896	25437	4685	8577
SLU-SIS-062	3319	7918	-23245	-71564	26978	4685	8585
SLU-SIS-063	3025	7890	-23126	-72365	23222	4685	8450
SLU-SIS-064	3069	7909	-23080	-72593	23637	4685	8484
SLU-SIS-065	3319	7936	-23638	-71903	26504	4685	8602
SLU-SIS-066	3284	7936	-23626	-71773	25771	4685	8589
SLU-SIS-067	3319	7910	-18914	-71513	26472	4685	8578
SLU-SIS-068	2721	2359	-31498	-23684	25612	1950	3601
SLU-SIS-069	2938	2359	-31498	-23684	27755	1950	3767
SLU-SIS-070	2938	2359	-27581	-23683	27751	1950	3767
SLU-SIS-071	2721	2359	-32637	-23835	25629	1950	3601
SLU-SIS-072	3047	2509	-32637	-26003	28857	1950	3947
SLU-SIS-073	3082	2470	-32210	-25377	30050	1950	3949
SLU-SIS-074	2935	2415	-32091	-25789	27748	1950	3801
SLU-SIS-075	2957	2453	-32044	-26300	27948	1950	3842
SLU-SIS-076	3082	2507	-32603	-25993	29576	1950	3973
SLU-SIS-077	3065	2506	-32590	-25858	29016	1950	3959
SLU-SIS-078	3249	2434	-32637	-24919	30857	1950	4059
SLU-SIS-079	3319	2414	-32210	-24588	32398	1950	4104
SLU-SIS-080	3025	2387	-32091	-25389	28641	1950	3854
SLU-SIS-081	3069	2406	-32044	-25617	29055	1950	3899
SLU-SIS-082	3319	2433	-32603	-24926	31923	1950	4115
SLU-SIS-083	3284	2432	-32590	-24796	31191	1950	4087
SLU-SIS-084	3319	2407	-27879	-24540	31891	1950	4100
SLU-SIS-085	2721	2359	-17706	-19124	17277	1950	3601
SLU-SIS-086	2938	2359	-17706	-19124	19419	1950	3767
SLU-SIS-087	2938	2359	-13789	-19123	19415	1950	3767
SLU-SIS-088	2721	2359	-18845	-19275	17294	1950	3601
SLU-SIS-089	3047	2509	-18845	-21443	20520	1950	3947
SLU-SIS-090	3082	2470	-18418	-20816	21713	1950	3949
SLU-SIS-091	2935	2415	-18299	-21229	19412	1950	3801
SLU-SIS-092	2957	2453	-18252	-21739	19612	1950	3842
SLU-SIS-093	3082	2507	-18811	-21433	21239	1950	3973
SLU-SIS-094	3065	2506	-18798	-21298	20680	1950	3959
SLU-SIS-095	3249	2434	-18845	-20359	22519	1950	4059

SLU-SIS-096	3319	2414	-18418	-20027	24060	1950	4104
SLU-SIS-097	3025	2387	-18299	-20828	20304	1950	3854
SLU-SIS-098	3069	2406	-18252	-21056	20719	1950	3899
SLU-SIS-099	3319	2433	-18811	-20365	23586	1950	4115
SLU-SIS-100	3284	2432	-18798	-20235	22853	1950	4087
SLU-SIS-101	3319	2407	-14087	-19980	23554	1950	4100
SLU-SIS-102	-9071	-2359	-26671	20722	-70250	-3765	9373
SLU-SIS-103	-8855	-2359	-26671	20722	-68107	-3765	9164
SLU-SIS-104	-8855	-2359	-22754	20721	-68094	-3765	9164
SLU-SIS-105	-8653	-2208	-27810	18405	-66102	-3765	8930
SLU-SIS-106	-8618	-2248	-27383	19031	-64904	-3765	8906
SLU-SIS-107	-8765	-2303	-27264	18618	-67205	-3765	9062
SLU-SIS-108	-8743	-2265	-27217	18107	-67004	-3765	9032
SLU-SIS-109	-8618	-2211	-27776	18415	-65383	-3765	8897
SLU-SIS-110	-8635	-2211	-27763	18549	-65942	-3765	8914
SLU-SIS-111	-8451	-2284	-27810	19489	-64102	-3765	8754
SLU-SIS-112	-8381	-2303	-27383	19820	-62557	-3765	8692
SLU-SIS-113	-8675	-2331	-27264	19019	-66312	-3765	8982
SLU-SIS-114	-8631	-2312	-27217	18790	-65897	-3765	8936
SLU-SIS-115	-8381	-2285	-27776	19482	-63036	-3765	8687
SLU-SIS-116	-8416	-2285	-27763	19612	-63768	-3765	8721
SLU-SIS-117	-8381	-2311	-23052	19864	-63042	-3765	8694
SLU-SIS-118	-9071	-2359	-22534	22085	-72713	-3765	9373
SLU-SIS-119	-8855	-2359	-22534	22085	-70571	-3765	9164
SLU-SIS-120	-8855	-2359	-18617	22084	-70558	-3765	9164
SLU-SIS-121	-9071	-2359	-23672	21936	-72708	-3765	9373
SLU-SIS-122	-8745	-2208	-23672	19768	-69481	-3765	9020
SLU-SIS-123	-8710	-2248	-23245	20394	-68284	-3765	8996
SLU-SIS-124	-8857	-2303	-23126	19981	-70584	-3765	9152
SLU-SIS-125	-8836	-2265	-23080	19470	-70383	-3765	9121
SLU-SIS-126	-8710	-2211	-23638	19778	-68762	-3765	8987
SLU-SIS-127	-8728	-2211	-23626	19913	-69321	-3765	9004
SLU-SIS-128	-8544	-2284	-23672	20852	-67482	-3765	8844
SLU-SIS-129	-8473	-2303	-23245	21183	-65936	-3765	8781
SLU-SIS-130	-8767	-2331	-23126	20382	-69692	-3765	9072
SLU-SIS-131	-8724	-2312	-23080	20154	-69276	-3765	9025
SLU-SIS-132	-8473	-2285	-23638	20845	-66415	-3765	8776
SLU-SIS-133	-8508	-2285	-23626	20975	-67147	-3765	8810
SLU-SIS-134	-8473	-2311	-18914	21227	-66422	-3765	8783
SLU-SIS-135	-2721	-7862	-26671	70667	-20203	-4685	8320
SLU-SIS-136	-2505	-7862	-26671	70667	-18060	-4685	8252
SLU-SIS-137	-2505	-7862	-22754	70664	-18057	-4685	8252
SLU-SIS-138	-2721	-7862	-27810	70520	-20191	-4685	8320
SLU-SIS-139	-2396	-7712	-27810	68352	-16964	-4685	8076
SLU-SIS-140	-2361	-7751	-27383	68977	-15769	-4685	8103

SLU-SIS-141	-2507	-7806	-27264	68564	-18070	-4685	8199
SLU-SIS-142	-2486	-7768	-27217	68053	-17870	-4685	8156
SLU-SIS-143	-2361	-7714	-27776	68362	-16245	-4685	8067
SLU-SIS-144	-2378	-7715	-27763	68496	-16804	-4685	8073
SLU-SIS-145	-2194	-7787	-27810	69436	-14964	-4685	8090
SLU-SIS-146	-2124	-7807	-27383	69766	-13421	-4685	8091
SLU-SIS-147	-2417	-7834	-27264	68965	-17178	-4685	8199
SLU-SIS-148	-2374	-7815	-27217	68737	-16763	-4685	8168
SLU-SIS-149	-2124	-7788	-27776	69429	-13898	-4685	8073
SLU-SIS-150	-2159	-7789	-27763	69559	-14630	-4685	8082
SLU-SIS-151	-2124	-7814	-23052	69807	-13918	-4685	8098
SLU-SIS-152	-2721	-7862	-22534	72025	-22686	-4685	8320
SLU-SIS-153	-2505	-7862	-22534	72025	-20544	-4685	8252
SLU-SIS-154	-2505	-7862	-18617	72021	-20540	-4685	8252
SLU-SIS-155	-2721	-7862	-23672	71877	-22674	-4685	8320
SLU-SIS-156	-2396	-7712	-23672	69709	-19448	-4685	8076
SLU-SIS-157	-2361	-7751	-23245	70334	-18253	-4685	8103
SLU-SIS-158	-2507	-7806	-23126	69921	-20554	-4685	8199
SLU-SIS-159	-2486	-7768	-23080	69411	-20353	-4685	8156
SLU-SIS-160	-2361	-7714	-23638	69719	-18729	-4685	8067
SLU-SIS-161	-2378	-7715	-23626	69854	-19288	-4685	8073
SLU-SIS-162	-2194	-7787	-23672	70793	-17448	-4685	8090
SLU-SIS-163	-2124	-7807	-23245	71123	-15905	-4685	8091
SLU-SIS-164	-2417	-7834	-23126	70322	-19661	-4685	8199
SLU-SIS-165	-2374	-7815	-23080	70094	-19246	-4685	8168
SLU-SIS-166	-2124	-7788	-23638	70787	-16382	-4685	8073
SLU-SIS-167	-2159	-7789	-23626	70917	-17114	-4685	8082
SLU-SIS-168	-2124	-7814	-18914	71165	-16402	-4685	8098
SLU-SIS-169	-2721	-2359	-31498	19132	-17306	-1950	3601
SLU-SIS-170	-2505	-2359	-31498	19132	-15163	-1950	3441
SLU-SIS-171	-2505	-2359	-27581	19131	-15159	-1950	3441
SLU-SIS-172	-2721	-2359	-32637	18982	-17294	-1950	3601
SLU-SIS-173	-2396	-2208	-32637	16815	-14066	-1950	3258
SLU-SIS-174	-2361	-2248	-32210	17440	-12871	-1950	3260
SLU-SIS-175	-2507	-2303	-32091	17028	-15173	-1950	3404
SLU-SIS-176	-2486	-2265	-32044	16517	-14972	-1950	3363
SLU-SIS-177	-2361	-2211	-32603	16825	-13347	-1950	3234
SLU-SIS-178	-2378	-2211	-32590	16959	-13906	-1950	3247
SLU-SIS-179	-2194	-2284	-32637	17899	-12066	-1950	3167
SLU-SIS-180	-2124	-2303	-32210	18230	-10523	-1950	3133
SLU-SIS-181	-2417	-2331	-32091	17428	-14280	-1950	3358
SLU-SIS-182	-2374	-2312	-32044	17200	-13865	-1950	3313
SLU-SIS-183	-2124	-2285	-32603	17892	-11000	-1950	3119
SLU-SIS-184	-2159	-2285	-32590	18022	-11732	-1950	3143
SLU-SIS-185	-2124	-2311	-27879	18274	-11020	-1950	3138

SLU-SIS-186	-2721	-2359	-17706	23676	-25583	-1950	3601
SLU-SIS-187	-2505	-2359	-17706	23676	-23441	-1950	3441
SLU-SIS-188	-2505	-2359	-13789	23674	-23438	-1950	3441
SLU-SIS-189	-2721	-2359	-18845	23526	-25572	-1950	3601
SLU-SIS-190	-2396	-2208	-18845	21358	-22346	-1950	3258
SLU-SIS-191	-2361	-2248	-18418	21984	-21150	-1950	3260
SLU-SIS-192	-2507	-2303	-18299	21571	-23451	-1950	3404
SLU-SIS-193	-2486	-2265	-18252	21061	-23251	-1950	3363
SLU-SIS-194	-2361	-2211	-18811	21368	-21627	-1950	3234
SLU-SIS-195	-2378	-2211	-18798	21503	-22186	-1950	3247
SLU-SIS-196	-2194	-2284	-18845	22442	-20346	-1950	3167
SLU-SIS-197	-2124	-2303	-18418	22773	-18804	-1950	3133
SLU-SIS-198	-2417	-2331	-18299	21972	-22559	-1950	3358
SLU-SIS-199	-2374	-2312	-18252	21744	-22144	-1950	3313
SLU-SIS-200	-2124	-2285	-18811	22436	-19280	-1950	3119
SLU-SIS-201	-2159	-2285	-18798	22566	-20012	-1950	3143
SLU-SIS-202	-2124	-2311	-14087	22818	-19300	-1950	3138

	F1	F2	F3	M1	M2	M3	Ftot
	kN	kN	kN	kNm	kNm	kNm	kN
SLE-RAR-001			-24602				
SLE-RAR-002	338	853	-24602	-12895	3346	0	917
SLE-RAR-003	563	512	-24602	-7737	5577	0	761
SLE-RAR-004	338	853	-20685	-12895	3346	0	917
SLE-RAR-005	563	512	-20685	-7737	5577	0	761
SLE-RAR-006	918	683	-30294	-10537	9157	0	1144
SLE-RAR-007	1077	504	-28161	-7692	14585	0	1189
SLE-RAR-008	410	255	-27564	-9568	4123	0	482
SLE-RAR-009	508	428	-27332	-11888	5033	0	664
SLE-RAR-010	1077	673	-30126	-10492	12425	0	1270
SLE-RAR-011	998	670	-30062	-9881	9884	0	1202
SLE-RAR-012	1835	342	-30294	-5611	18248	0	1867
SLE-RAR-013	2154	252	-28161	-4105	25256	0	2169
SLE-RAR-014	819	128	-27564	-7747	8180	0	829
SLE-RAR-015	1016	214	-27332	-8783	10066	0	1038
SLE-RAR-016	2154	337	-30126	-5641	23096	0	2180
SLE-RAR-017	1995	335	-30062	-5049	19767	0	2023
SLE-RAR-018	2154	218	-22174	-3896	22975	0	2165
SLE-RAR-019	918	1195	-30294	-18275	9157	0	1506
SLE-RAR-020	1077	1016	-28161	-15429	14585	0	1480
SLE-RAR-021	410	767	-27564	-17305	4123	0	869
SLE-RAR-022	508	940	-27332	-19625	5033	0	1068
SLE-RAR-023	1077	1185	-30126	-18230	12425	0	1601

SLE-RAR-024	998	1182	-30062	-17618	9884	0	1546
SLE-RAR-025	1835	853	-30294	-13348	18248	0	2024
SLE-RAR-026	2154	764	-28161	-11842	25256	0	2285
SLE-RAR-027	819	639	-27564	-15484	8180	0	1039
SLE-RAR-028	1016	726	-27332	-16520	10066	0	1249
SLE-RAR-029	2154	848	-30126	-13378	23096	0	2315
SLE-RAR-030	1995	847	-30062	-12787	19767	0	2167
SLE-RAR-031	2154	730	-22174	-11633	22975	0	2274
SLE-RAR-032	1201	683	-30294	-10537	11961	0	1381
SLE-RAR-033	1360	504	-28161	-7692	17389	0	1450
SLE-RAR-034	693	255	-27564	-9568	6927	0	738
SLE-RAR-035	791	428	-27332	-11888	7837	0	899
SLE-RAR-036	1360	673	-30126	-10492	15229	0	1517
SLE-RAR-037	1281	670	-30062	-9881	12688	0	1445
SLE-RAR-038	2118	342	-30294	-5611	21052	0	2145
SLE-RAR-039	2437	252	-28161	-4105	28060	0	2450
SLE-RAR-040	1102	128	-27564	-7747	10984	0	1109
SLE-RAR-041	1299	214	-27332	-8783	12870	0	1317
SLE-RAR-042	2437	337	-30126	-5641	25900	0	2460
SLE-RAR-043	2278	335	-30062	-5049	22571	0	2303
SLE-RAR-044	2437	218	-22174	-3896	25779	0	2447
SLE-RAR-045	1086	683	-30294	-10537	10822	0	1282
SLE-RAR-046	1245	504	-28161	-7692	16250	0	1343
SLE-RAR-047	578	255	-27564	-9568	5788	0	631
SLE-RAR-048	676	428	-27332	-11888	6697	0	800
SLE-RAR-049	1245	673	-30126	-10492	14089	0	1415
SLE-RAR-050	1166	670	-30062	-9881	11548	0	1344
SLE-RAR-051	2003	342	-30294	-5611	19913	0	2032
SLE-RAR-052	2322	252	-28161	-4105	26920	0	2336
SLE-RAR-053	987	128	-27564	-7747	9845	0	995
SLE-RAR-054	1184	214	-27332	-8783	11730	0	1203
SLE-RAR-055	2322	337	-30126	-5641	24761	0	2346
SLE-RAR-056	2163	335	-30062	-5049	21432	0	2189
SLE-RAR-057	2322	218	-22174	-3896	24639	0	2332
SLE-RAR-058	1369	1195	-30294	-18275	13626	0	1817
SLE-RAR-059	1528	1016	-28161	-15429	19054	0	1835
SLE-RAR-060	861	767	-27564	-17305	8591	0	1153
SLE-RAR-061	959	940	-27332	-19625	9501	0	1343
SLE-RAR-062	1528	1185	-30126	-18230	16894	0	1934
SLE-RAR-063	1449	1182	-30062	-17618	14352	0	1869
SLE-RAR-064	2286	853	-30294	-13348	22717	0	2440
SLE-RAR-065	2605	764	-28161	-11842	29724	0	2715
SLE-RAR-066	1270	639	-27564	-15484	12648	0	1422
SLE-RAR-067	1467	726	-27332	-16520	14534	0	1637
SLE-RAR-068	2605	848	-30126	-13378	27565	0	2740

SLE-RAR-069	2446	847	-30062	-12787	24236	0	2588
SLE-RAR-070	2605	730	-22174	-11633	27443	0	2705
SLE-RAR-071	1101	410	-28018	-6322	10948	0	1175
SLE-RAR-072	1292	302	-26738	-4615	15153	0	1327
SLE-RAR-073	655	204	-26972	-7654	6544	0	686
SLE-RAR-074	813	342	-26786	-9510	8052	0	882
SLE-RAR-075	1292	404	-27917	-6295	13857	0	1354
SLE-RAR-076	1197	402	-27878	-5928	11859	0	1263
SLE-RAR-077	1292	262	-22472	-4675	14768	0	1319
SLE-RAR-078	1101	922	-28018	-14060	10948	0	1436
SLE-RAR-079	1292	814	-26738	-12352	15153	0	1527
SLE-RAR-080	655	716	-26972	-15392	6544	0	970
SLE-RAR-081	813	854	-26786	-17248	8052	0	1179
SLE-RAR-082	1292	916	-27917	-14033	13857	0	1584
SLE-RAR-083	1197	914	-27878	-13666	11859	0	1506
SLE-RAR-084	1292	773	-22472	-12412	14768	0	1506
SLE-RAR-085	1384	410	-28018	-6322	13752	0	1443
SLE-RAR-086	1575	302	-26738	-4615	17956	0	1604
SLE-RAR-087	938	204	-26972	-7654	9348	0	960
SLE-RAR-088	1096	342	-26786	-9510	10856	0	1148
SLE-RAR-089	1575	404	-27917	-6295	16660	0	1626
SLE-RAR-090	1480	402	-27878	-5928	14663	0	1534
SLE-RAR-091	1575	262	-22472	-4675	17571	0	1597
SLE-RAR-092	1269	410	-28018	-6322	12612	0	1334
SLE-RAR-093	1460	302	-26738	-4615	16817	0	1491
SLE-RAR-094	823	204	-26972	-7654	8208	0	848
SLE-RAR-095	981	342	-26786	-9510	9717	0	1039
SLE-RAR-096	1460	404	-27917	-6295	15521	0	1515
SLE-RAR-097	1365	402	-27878	-5928	13524	0	1423
SLE-RAR-098	1460	262	-22472	-4675	16432	0	1484
SLE-RAR-099	1552	922	-28018	-14060	15416	0	1805
SLE-RAR-100	1743	814	-26738	-12352	19621	0	1924
SLE-RAR-101	1106	716	-26972	-15392	11012	0	1318
SLE-RAR-102	1264	854	-26786	-17248	12521	0	1525
SLE-RAR-103	1743	916	-27917	-14033	18325	0	1969
SLE-RAR-104	1648	914	-27878	-13666	16328	0	1884
SLE-RAR-105	1743	773	-22472	-12412	19235	0	1907

	F1	F2	F3	M1	M2	M3	Ftot
	kN	kN	kN	kNm	kNm	kNm	kN
SLE-QPE-001	0	0	-24602	0	0	0	0
SLE-QPE-002	563	0	-24602	0	5577	0	563

5 DISTRIBUZIONE DELLE SOLLECITAZIONI IN TESTA PALI

5.1 GEOMETRIA DELLA PALIFICATA DI FONDAZIONE

Diametro dei pali di fondazione e loro numero:

diam **1.2** m

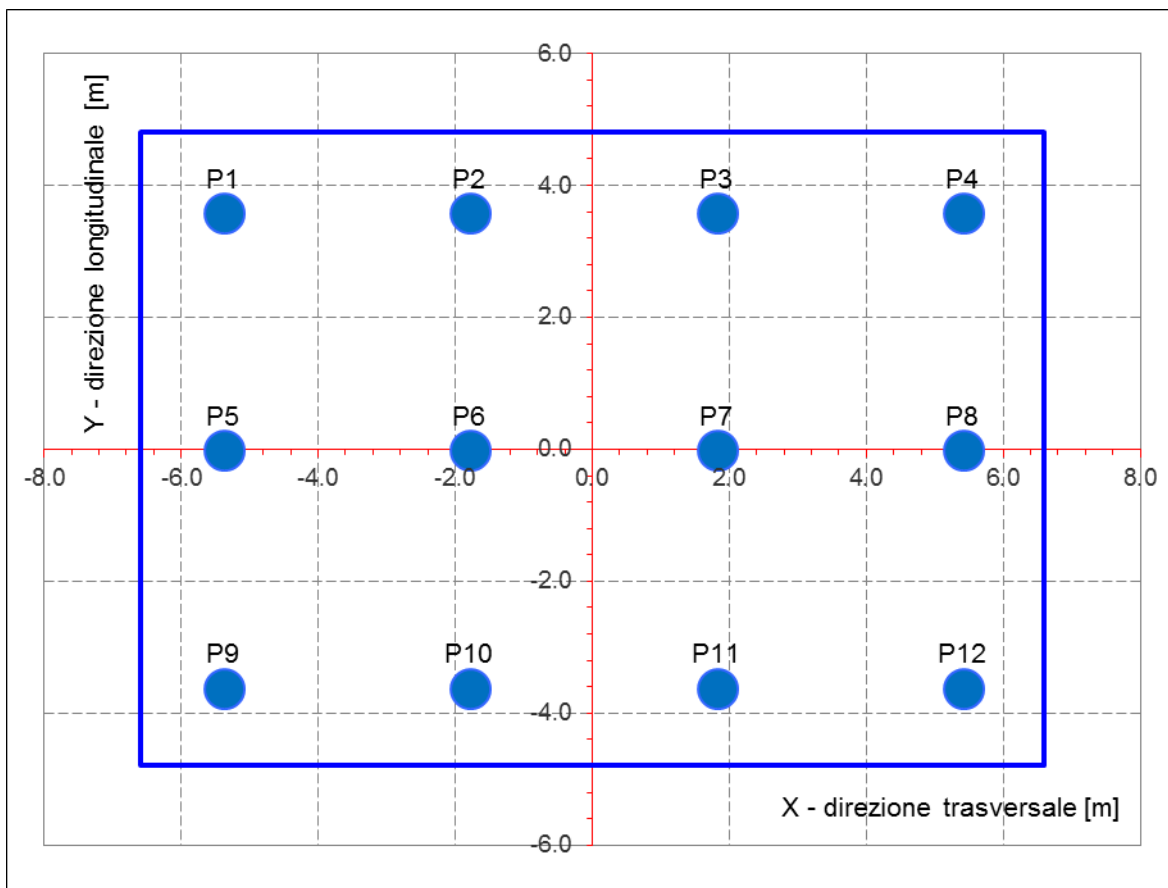
Num tot **12** Numero totale di pali

Geometria del plinto:

dtrasv **13.2** m

dlong **9.6** m

hpl **2.5** m



Le caratteristiche di sollecitazione sul singolo palo sono state determinate a partire dalle sollecitazioni riportate all'intradosso del plinto di fondazione, secondo le seguenti relazioni (*distribuzione rigida delle sollecitazioni*):

$$N_{\max} = F_3 / n_{\text{pali}} + \text{ass}(M_1) / W_{1\text{palificata}} + \text{ass}(M_2) / W_{2\text{palificata}}$$

$$N_{\min} = F_3 / n_{\text{pali}} - \text{ass}(M_1) / W_{1\text{palificata}} - \text{ass}(M_2) / W_{2\text{palificata}}$$

$$H = \sqrt{(F_1 / n_{\text{pali}})^2 + (F_2 / n_{\text{pali}})^2}$$

NB: coordinate riferite al baricentro della palificata

num.	X (trasv)	Y (long)	X2	Y2	WI	Wt
	m	m	m2	m2		
P1	-5.40	3.60	29.2	13.0	2.9E+01	-3.6E+01
P2	-1.80	3.60	3.2	13.0	2.9E+01	-1.1E+02
P3	1.80	3.60	3.2	13.0	2.9E+01	1.1E+02
P4	5.40	3.60	29.2	13.0	2.9E+01	3.6E+01
P5	-5.40	0.00	29.2	0.0	1.0E+99	-3.6E+01
P6	-1.80	0.00	3.2	0.0	1.0E+99	-1.1E+02
P7	1.80	0.00	3.2	0.0	1.0E+99	1.1E+02
P8	5.40	0.00	29.2	0.0	1.0E+99	3.6E+01
P9	-5.40	-3.60	29.2	13.0	-2.9E+01	-3.6E+01
P10	-1.80	-3.60	3.2	13.0	-2.9E+01	-1.1E+02
P11	1.80	-3.60	3.2	13.0	-2.9E+01	1.1E+02
P12	5.40	-3.60	29.2	13.0	-2.9E+01	3.6E+01
P13						
P14						
P15						
P16						
P17						
P18						
P19						
P20						

$\Sigma X2$	$\Sigma Y2$
194.40	103.68
m4	m4

5.2 DISTRIBUZIONE DELLE SOLLECITAZIONI IN TESTA AI PALI

Per ogni palo della fondazione e per ogni combinazione di carico considerata, si riportano a seguire i valori delle forze assiali agenti in testa N_{max} [kN] e N_{min} [kN], il valore del taglio medio incrementato del coefficiente che tiene conto dell'effetto gruppo ($T_{med,gr} = 1.1 * T_{med}$ [kN]), nonché il valore del momento flettente agente alla testa del palo (valore massimo). Per il calcolo di tale valore in funzione del taglio agente alla testa del palo, si rimanda all'elaborato progettuale "IF1N.0.1.E.ZZ.RB.GE.00.0.5.001.A - Relazione geotecnica generale di linea delle opere all'aperto".

D (m)	1.2
kh (kN/m ³)	12500
fck (Mpa)	25
E (Mpa)	31476
J (m ⁴)	0.1018
λ (cm)	540.64

	N_{max}	N_{min}	T_{media}	T_{media_gruppo}	M_{max}
	[kN]	[kN]	[kN]	[kN]	[kNm]
SLU-STR-001	2860	2860	0	0	0
SLU-STR-002	3572	2149	115	126	341
SLU-STR-003	3469	2252	94	104	280
SLU-STR-004	2435	1012	115	126	341
SLU-STR-005	2332	1116	94	104	280
SLU-STR-006	4437	2659	139	153	413
SLU-STR-007	4339	2242	144	159	430
SLU-STR-008	3813	2624	59	64	174
SLU-STR-009	3924	2456	81	89	240
SLU-STR-010	4580	2476	154	170	459
SLU-STR-011	4419	2621	146	160	434
SLU-STR-012	4695	2402	226	248	671
SLU-STR-013	4729	1852	262	288	779
SLU-STR-014	3943	2494	100	110	298
SLU-STR-015	4052	2329	125	138	373
SLU-STR-016	4920	2136	263	290	783
SLU-STR-017	4721	2320	244	269	727
SLU-STR-018	3220	590	262	288	778
SLU-STR-019	4759	2337	184	203	548
SLU-STR-020	4661	1920	181	199	538
SLU-STR-021	4135	2302	107	118	318
SLU-STR-022	4247	2134	131	144	390
SLU-STR-023	4902	2153	196	215	582
SLU-STR-024	4742	2299	189	208	562

SLU-STR-025	5017	2079		246	270	730
SLU-STR-026	5051	1530		277	305	824
SLU-STR-027	4265	2171		127	140	377
SLU-STR-028	4374	2006		152	167	453
SLU-STR-029	5242	1814		281	309	834
SLU-STR-030	5043	1997		263	289	782
SLU-STR-031	3543	267		276	303	819
SLU-STR-032	4578	2518		168	184	498
SLU-STR-033	4480	2101		176	194	524
SLU-STR-034	3954	2483		89	98	266
SLU-STR-035	4066	2315		109	120	324
SLU-STR-036	4721	2335		184	203	548
SLU-STR-037	4561	2480		175	193	521
SLU-STR-038	4836	2261		259	285	771
SLU-STR-039	4870	1711		296	326	880
SLU-STR-040	4084	2353		134	147	399
SLU-STR-041	4193	2188		159	175	473
SLU-STR-042	5061	1995		297	327	884
SLU-STR-043	4862	2179		278	306	827
SLU-STR-044	3361	448		296	325	879
SLU-STR-045	4524	2573		156	172	464
SLU-STR-046	4425	2156		164	180	487
SLU-STR-047	3900	2537		77	85	230
SLU-STR-048	4011	2370		98	107	290
SLU-STR-049	4667	2389		172	190	513
SLU-STR-050	4506	2534		164	180	487
SLU-STR-051	4781	2315		246	271	732
SLU-STR-052	4815	1766		283	311	841
SLU-STR-053	4030	2407		121	133	360
SLU-STR-054	4139	2242		146	161	434
SLU-STR-055	5006	2049		284	313	845
SLU-STR-056	4807	2233		265	292	789
SLU-STR-057	3307	503		283	311	840
SLU-STR-058	4987	2109		222	244	660
SLU-STR-059	4889	1692		224	247	667
SLU-STR-060	4363	2074		141	156	421
SLU-STR-061	4475	1906		165	181	489
SLU-STR-062	5130	1926		236	260	702
SLU-STR-063	4970	2071		228	251	679
SLU-STR-064	5245	1851		296	326	881
SLU-STR-065	5279	1302		329	362	979
SLU-STR-066	4493	1944		173	191	516
SLU-STR-067	4602	1778		199	219	593

SLU-STR-068	5470	1586		332	366	989
SLU-STR-069	5271	1770		314	346	934
SLU-STR-070	3770	39		328	361	976

	N_{max}	N_{min}		T_{media}	T_{media_gruppo}	M_{max}
	[kN]	[kN]		[kN]	[kN]	[kNm]
SLU-GEO-001	2236	2236		0	0	0
SLU-GEO-002	2852	1619		99	109	296
SLU-GEO-003	2762	1709		82	90	243
SLU-GEO-004	2340	1107		99	109	296
SLU-GEO-005	2250	1198		82	90	243
SLU-GEO-006	3595	2062		120	132	356
SLU-GEO-007	3510	1702		125	137	371
SLU-GEO-008	3057	2032		51	56	150
SLU-GEO-009	3153	1887		70	76	207
SLU-GEO-010	3718	1904		133	146	396
SLU-GEO-011	3580	2029		126	138	374
SLU-GEO-012	3817	1840		194	214	578
SLU-GEO-013	3846	1367		226	249	672
SLU-GEO-014	3169	1920		86	95	257
SLU-GEO-015	3263	1777		108	119	322
SLU-GEO-016	4011	1611		227	250	675
SLU-GEO-017	3839	1770		211	232	627
SLU-GEO-018	3014	746		226	248	671
SLU-GEO-019	3874	1783		159	175	473
SLU-GEO-020	3790	1423		156	172	465
SLU-GEO-021	3336	1752		93	102	275
SLU-GEO-022	3432	1608		113	125	337
SLU-GEO-023	3998	1624		169	186	502
SLU-GEO-024	3859	1749		163	180	485
SLU-GEO-025	4096	1561		212	233	630
SLU-GEO-026	4126	1087		239	263	710
SLU-GEO-027	3448	1640		110	121	326
SLU-GEO-028	3542	1498		131	145	391
SLU-GEO-029	4290	1332		242	266	720
SLU-GEO-030	4119	1490		227	249	674
SLU-GEO-031	3294	467		238	261	707
SLU-GEO-032	3717	1940		145	159	430
SLU-GEO-033	3632	1581		152	167	452
SLU-GEO-034	3178	1910		77	85	230
SLU-GEO-035	3275	1765		94	103	280

SLU-GEO-036	3840	1782		159	175	472
SLU-GEO-037	3702	1907		151	166	450
SLU-GEO-038	3939	1719		224	246	665
SLU-GEO-039	3968	1245		255	281	759
SLU-GEO-040	3290	1798		116	127	344
SLU-GEO-041	3384	1656		137	151	408
SLU-GEO-042	4133	1490		256	282	762
SLU-GEO-043	3961	1648		240	264	713
SLU-GEO-044	3136	624		255	280	758
SLU-GEO-045	3670	1987		135	148	401
SLU-GEO-046	3585	1627		141	156	420
SLU-GEO-047	3132	1956		67	73	198
SLU-GEO-048	3228	1812		84	93	251
SLU-GEO-049	3794	1829		149	164	443
SLU-GEO-050	3655	1954		141	156	420
SLU-GEO-051	3892	1765		212	234	632
SLU-GEO-052	3921	1291		244	268	726
SLU-GEO-053	3244	1844		104	115	310
SLU-GEO-054	3338	1702		126	139	375
SLU-GEO-055	4086	1536		245	270	729
SLU-GEO-056	3914	1694		229	252	680
SLU-GEO-057	3089	671		244	268	725
SLU-GEO-058	4071	1586		192	211	570
SLU-GEO-059	3986	1226		194	213	576
SLU-GEO-060	3533	1555		122	134	364
SLU-GEO-061	3629	1411		142	156	423
SLU-GEO-062	4195	1427		204	224	607
SLU-GEO-063	4056	1553		197	217	587
SLU-GEO-064	4293	1364		256	281	760
SLU-GEO-065	4322	890		284	313	845
SLU-GEO-066	3645	1443		150	165	445
SLU-GEO-067	3739	1301		172	189	512
SLU-GEO-068	4487	1135		287	315	853
SLU-GEO-069	4315	1293		271	298	806
SLU-GEO-070	3490	270		283	311	842

	N_{max}	N_{min}	T_{media}	T_{media_grupo}	M_{max}
	[kN]	[kN]			
SLU-SIS-001	5362	-917	781	859	2323
SLU-SIS-002	5436	-991	799	878	2374
SLU-SIS-003	5109	-1317	799	878	2374

SLU-SIS-004	5666	-1031		818	900	2432
SLU-SIS-005	5654	-1090		820	902	2438
SLU-SIS-006	5576	-1032		807	888	2400
SLU-SIS-007	5593	-1057		810	890	2407
SLU-SIS-008	5688	-1058		821	903	2440
SLU-SIS-009	5664	-1036		819	901	2436
SLU-SIS-010	5705	-1070		833	916	2476
SLU-SIS-011	5714	-1150		838	922	2492
SLU-SIS-012	5596	-1052		814	895	2419
SLU-SIS-013	5613	-1076		818	899	2431
SLU-SIS-014	5740	-1110		838	922	2493
SLU-SIS-015	5709	-1082		835	919	2484
SLU-SIS-016	5334	-1492		838	922	2491
SLU-SIS-017	4892	-1136		781	859	2323
SLU-SIS-018	4966	-1210		799	878	2374
SLU-SIS-019	4639	-1536		799	878	2374
SLU-SIS-020	4991	-1046		781	859	2323
SLU-SIS-021	5164	-1218		811	892	2410
SLU-SIS-022	5152	-1278		812	894	2416
SLU-SIS-023	5074	-1219		800	879	2377
SLU-SIS-024	5091	-1244		802	882	2385
SLU-SIS-025	5186	-1246		813	895	2418
SLU-SIS-026	5161	-1224		812	893	2414
SLU-SIS-027	5203	-1258		825	908	2454
SLU-SIS-028	5212	-1337		830	914	2469
SLU-SIS-029	5094	-1239		806	887	2397
SLU-SIS-030	5110	-1264		810	891	2409
SLU-SIS-031	5237	-1298		831	914	2471
SLU-SIS-032	5207	-1270		828	911	2462
SLU-SIS-033	4831	-1679		830	913	2469
SLU-SIS-034	5012	-566		693	763	2062
SLU-SIS-035	5086	-641		699	769	2080
SLU-SIS-036	4759	-967		699	769	2080
SLU-SIS-037	5111	-476		693	763	2062
SLU-SIS-038	5284	-649		714	786	2124
SLU-SIS-039	5272	-708		712	784	2118
SLU-SIS-040	5194	-650		704	774	2093
SLU-SIS-041	5211	-675		707	778	2103
SLU-SIS-042	5305	-676		715	787	2127
SLU-SIS-043	5281	-654		715	786	2125
SLU-SIS-044	5323	-688		715	786	2125
SLU-SIS-045	5332	-768		715	787	2127
SLU-SIS-046	5213	-669		704	775	2094

SLU-SIS-047	5230	-694		707	778	2102
SLU-SIS-048	5357	-728		717	789	2132
SLU-SIS-049	5327	-700		716	787	2128
SLU-SIS-050	4952	-1110		715	786	2126
SLU-SIS-051	4542	-786		693	763	2062
SLU-SIS-052	4616	-861		699	769	2080
SLU-SIS-053	4289	-1187		699	769	2080
SLU-SIS-054	4641	-696		693	763	2062
SLU-SIS-055	4814	-868		714	786	2124
SLU-SIS-056	4802	-928		712	784	2118
SLU-SIS-057	4724	-869		704	774	2093
SLU-SIS-058	4741	-894		707	778	2103
SLU-SIS-059	4836	-896		715	787	2127
SLU-SIS-060	4811	-874		715	786	2125
SLU-SIS-061	4853	-908		715	786	2125
SLU-SIS-062	4862	-988		715	787	2127
SLU-SIS-063	4744	-889		704	775	2094
SLU-SIS-064	4760	-914		707	778	2102
SLU-SIS-065	4887	-948		717	789	2132
SLU-SIS-066	4857	-920		716	787	2128
SLU-SIS-067	4482	-1329		715	786	2126
SLU-SIS-068	4172	1078		300	330	892
SLU-SIS-069	4246	1003		314	345	934
SLU-SIS-070	3920	677		314	345	934
SLU-SIS-071	4272	1168		300	330	892
SLU-SIS-072	4444	995		329	362	978
SLU-SIS-073	4432	936		329	362	979
SLU-SIS-074	4354	994		317	348	942
SLU-SIS-075	4371	969		320	352	952
SLU-SIS-076	4466	968		331	364	984
SLU-SIS-077	4442	990		330	363	981
SLU-SIS-078	4483	956		338	372	1006
SLU-SIS-079	4492	876		342	376	1017
SLU-SIS-080	4374	975		321	353	955
SLU-SIS-081	4391	950		325	357	966
SLU-SIS-082	4518	916		343	377	1020
SLU-SIS-083	4488	944		341	375	1013
SLU-SIS-084	4112	534		342	376	1016
SLU-SIS-085	2607	344		300	330	892
SLU-SIS-086	2681	270		314	345	934
SLU-SIS-087	2354	-56		314	345	934
SLU-SIS-088	2706	434		300	330	892
SLU-SIS-089	2879	262		329	362	978

SLU-SIS-090	2867	203		329	362	979
SLU-SIS-091	2789	261		317	348	942
SLU-SIS-092	2806	236		320	352	952
SLU-SIS-093	2900	235		331	364	984
SLU-SIS-094	2876	257		330	363	981
SLU-SIS-095	2918	223		338	372	1006
SLU-SIS-096	2927	143		342	376	1017
SLU-SIS-097	2808	241		321	353	955
SLU-SIS-098	2825	217		325	357	966
SLU-SIS-099	2952	183		343	377	1020
SLU-SIS-100	2922	211		341	375	1013
SLU-SIS-101	2547	-199		342	376	1016
SLU-SIS-102	5237	-792		781	859	2323
SLU-SIS-103	5163	-718		764	840	2271
SLU-SIS-104	4836	-1044		764	840	2271
SLU-SIS-105	5124	-489		744	819	2213
SLU-SIS-106	5064	-500		742	816	2207
SLU-SIS-107	5123	-579		755	831	2246
SLU-SIS-108	5098	-561		753	828	2238
SLU-SIS-109	5096	-467		741	816	2205
SLU-SIS-110	5119	-491		743	817	2209
SLU-SIS-111	5085	-450		730	802	2169
SLU-SIS-112	5005	-441		724	797	2154
SLU-SIS-113	5103	-559		749	823	2226
SLU-SIS-114	5078	-542		745	819	2214
SLU-SIS-115	5045	-415		724	796	2153
SLU-SIS-116	5073	-445		727	799	2161
SLU-SIS-117	4662	-820		724	797	2154
SLU-SIS-118	5016	-1260		781	859	2323
SLU-SIS-119	4942	-1186		764	840	2271
SLU-SIS-120	4615	-1512		764	840	2271
SLU-SIS-121	5107	-1161		781	859	2323
SLU-SIS-122	4934	-989		752	827	2235
SLU-SIS-123	4875	-1000		750	825	2229
SLU-SIS-124	4933	-1079		763	839	2268
SLU-SIS-125	4908	-1061		760	836	2260
SLU-SIS-126	4907	-967		749	824	2227
SLU-SIS-127	4929	-991		750	825	2231
SLU-SIS-128	4895	-950		737	811	2191
SLU-SIS-129	4815	-941		732	805	2176
SLU-SIS-130	4913	-1059		756	832	2248
SLU-SIS-131	4889	-1042		752	827	2236
SLU-SIS-132	4855	-915		731	804	2175

SLU-SIS-133	4883	-945		734	808	2183
SLU-SIS-134	4472	-1320		732	805	2176
SLU-SIS-135	4887	-442		693	763	2062
SLU-SIS-136	4813	-367		688	756	2045
SLU-SIS-137	4486	-694		688	756	2045
SLU-SIS-138	4977	-342		693	763	2062
SLU-SIS-139	4805	-170		673	740	2001
SLU-SIS-140	4745	-182		675	743	2008
SLU-SIS-141	4804	-260		683	752	2032
SLU-SIS-142	4779	-243		680	748	2021
SLU-SIS-143	4778	-148		672	740	1999
SLU-SIS-144	4800	-173		673	740	2000
SLU-SIS-145	4766	-131		674	742	2005
SLU-SIS-146	4686	-122		674	742	2005
SLU-SIS-147	4784	-240		683	752	2032
SLU-SIS-148	4759	-223		681	749	2024
SLU-SIS-149	4726	-96		673	740	2000
SLU-SIS-150	4754	-127		674	741	2003
SLU-SIS-151	4343	-501		675	742	2007
SLU-SIS-152	4666	-911		693	763	2062
SLU-SIS-153	4592	-836		688	756	2045
SLU-SIS-154	4265	-1162		688	756	2045
SLU-SIS-155	4757	-811		693	763	2062
SLU-SIS-156	4584	-639		673	740	2001
SLU-SIS-157	4525	-650		675	743	2008
SLU-SIS-158	4583	-729		683	752	2032
SLU-SIS-159	4558	-711		680	748	2021
SLU-SIS-160	4557	-617		672	740	1999
SLU-SIS-161	4579	-641		673	740	2000
SLU-SIS-162	4545	-600		674	742	2005
SLU-SIS-163	4465	-591		674	742	2005
SLU-SIS-164	4563	-709		683	752	2032
SLU-SIS-165	4539	-692		681	749	2024
SLU-SIS-166	4505	-565		673	740	2000
SLU-SIS-167	4533	-595		674	741	2003
SLU-SIS-168	4123	-970		675	742	2007
SLU-SIS-169	3757	1493		300	330	892
SLU-SIS-170	3683	1567		287	315	853
SLU-SIS-171	3356	1241		287	315	853
SLU-SIS-172	3848	1592		300	330	892
SLU-SIS-173	3675	1764		272	299	807
SLU-SIS-174	3616	1753		272	299	808
SLU-SIS-175	3674	1674		284	312	844

SLU-SIS-176	3649	1692		280	308	833
SLU-SIS-177	3648	1786		270	296	801
SLU-SIS-178	3670	1762		271	298	805
SLU-SIS-179	3636	1804		264	290	785
SLU-SIS-180	3556	1812		261	287	776
SLU-SIS-181	3654	1694		280	308	832
SLU-SIS-182	3630	1711		276	304	821
SLU-SIS-183	3596	1838		260	286	773
SLU-SIS-184	3624	1808		262	288	779
SLU-SIS-185	3214	1433		262	288	778
SLU-SIS-186	3021	-70		300	330	892
SLU-SIS-187	2947	4		287	315	853
SLU-SIS-188	2621	-322		287	315	853
SLU-SIS-189	3112	29		300	330	892
SLU-SIS-190	2940	201		272	299	807
SLU-SIS-191	2880	190		272	299	808
SLU-SIS-192	2938	111		284	312	844
SLU-SIS-193	2913	129		280	308	833
SLU-SIS-194	2912	223		270	296	801
SLU-SIS-195	2934	199		271	298	805
SLU-SIS-196	2900	241		264	290	785
SLU-SIS-197	2820	249		261	287	776
SLU-SIS-198	2919	131		280	308	832
SLU-SIS-199	2894	148		276	304	821
SLU-SIS-200	2860	275		260	286	773
SLU-SIS-201	2888	245		262	288	779
SLU-SIS-202	2478	-130		262	288	778

	N_{max}	N_{min}	T_{media}	T_{media_gruppo}	M_{max}
	[kN]	[kN]	[kN]	[kN]	[kNm]
SLE-RAR-001	2050	2050	0	0	0
SLE-RAR-002	2525	1576	76	84	227
SLE-RAR-003	2459	1642	63	70	189
SLE-RAR-004	2198	1249	76	84	227
SLE-RAR-005	2132	1315	63	70	189
SLE-RAR-006	3135	1914	95	105	283
SLE-RAR-007	3067	1627	99	109	295
SLE-RAR-008	2706	1888	40	44	120
SLE-RAR-009	2783	1773	55	61	165
SLE-RAR-010	3233	1788	106	116	315
SLE-RAR-011	3123	1888	100	110	298

SLE-RAR-012	3314	1735		156	171	463
SLE-RAR-013	3338	1356		181	199	537
SLE-RAR-014	2796	1798		69	76	205
SLE-RAR-015	2871	1684		87	95	257
SLE-RAR-016	3469	1552		182	200	540
SLE-RAR-017	3332	1679		169	185	501
SLE-RAR-018	2754	942		180	198	536
SLE-RAR-019	3350	1699		126	138	373
SLE-RAR-020	3282	1412		123	136	367
SLE-RAR-021	2921	1673		72	80	215
SLE-RAR-022	2998	1558		89	98	265
SLE-RAR-023	3448	1573		133	147	397
SLE-RAR-024	3338	1673		129	142	383
SLE-RAR-025	3529	1520		169	186	501
SLE-RAR-026	3553	1141		190	209	566
SLE-RAR-027	3011	1583		87	95	257
SLE-RAR-028	3086	1469		104	114	309
SLE-RAR-029	3684	1337		193	212	574
SLE-RAR-030	3547	1464		181	199	537
SLE-RAR-031	2969	727		190	208	564
SLE-RAR-032	3233	1817		115	127	342
SLE-RAR-033	3164	1529		121	133	359
SLE-RAR-034	2803	1791		61	68	183
SLE-RAR-035	2880	1675		75	82	223
SLE-RAR-036	3331	1690		126	139	376
SLE-RAR-037	3220	1790		120	132	358
SLE-RAR-038	3411	1638		179	197	532
SLE-RAR-039	3435	1258		204	225	607
SLE-RAR-040	2894	1700		92	102	275
SLE-RAR-041	2969	1587		110	121	326
SLE-RAR-042	3567	1455		205	226	610
SLE-RAR-043	3429	1581		192	211	571
SLE-RAR-044	2851	845		204	224	606
SLE-RAR-045	3193	1856		107	118	318
SLE-RAR-046	3125	1569		112	123	333
SLE-RAR-047	2764	1830		53	58	156
SLE-RAR-048	2840	1715		67	73	198
SLE-RAR-049	3291	1730		118	130	351
SLE-RAR-050	3181	1830		112	123	333
SLE-RAR-051	3372	1677		169	186	503
SLE-RAR-052	3396	1298		195	214	579
SLE-RAR-053	2854	1740		83	91	247
SLE-RAR-054	2929	1626		100	110	298

SLE-RAR-055	3527	1494		196	215	581
SLE-RAR-056	3390	1621		182	201	542
SLE-RAR-057	2812	884		194	214	578
SLE-RAR-058	3505	1544		151	167	450
SLE-RAR-059	3437	1257		153	168	455
SLE-RAR-060	3076	1518		96	106	286
SLE-RAR-061	3153	1403		112	123	333
SLE-RAR-062	3604	1418		161	177	479
SLE-RAR-063	3493	1517		156	171	463
SLE-RAR-064	3684	1365		203	224	605
SLE-RAR-065	3708	986		226	249	673
SLE-RAR-066	3166	1428		118	130	352
SLE-RAR-067	3241	1314		136	150	406
SLE-RAR-068	3839	1182		228	251	679
SLE-RAR-069	3702	1308		216	237	641
SLE-RAR-070	3124	572		225	248	670
SLE-RAR-071	2891	1779		98	108	291
SLE-RAR-072	2882	1574		111	122	329
SLE-RAR-073	2688	1808		57	63	170
SLE-RAR-074	2776	1688		73	81	219
SLE-RAR-075	2982	1670		113	124	336
SLE-RAR-076	2900	1747		105	116	313
SLE-RAR-077	2515	1230		110	121	327
SLE-RAR-078	3105	1564		120	132	356
SLE-RAR-079	3097	1359		127	140	379
SLE-RAR-080	2902	1593		81	89	240
SLE-RAR-081	2991	1473		98	108	292
SLE-RAR-082	3197	1455		132	145	392
SLE-RAR-083	3115	1532		125	138	373
SLE-RAR-084	2730	1015		126	138	373
SLE-RAR-085	2988	1682		120	132	358
SLE-RAR-086	2980	1476		134	147	398
SLE-RAR-087	2785	1710		80	88	238
SLE-RAR-088	2873	1591		96	105	284
SLE-RAR-089	3080	1573		136	149	403
SLE-RAR-090	2997	1649		128	141	380
SLE-RAR-091	2613	1133		133	146	396
SLE-RAR-092	2948	1721		111	122	330
SLE-RAR-093	2940	1516		124	137	370
SLE-RAR-094	2745	1750		71	78	210
SLE-RAR-095	2834	1631		87	95	257
SLE-RAR-096	3040	1613		126	139	375
SLE-RAR-097	2957	1689		119	130	353

SLE-RAR-098	2573	1172		124	136	368
SLE-RAR-099	3261	1409		150	165	447
SLE-RAR-100	3253	1204		160	176	477
SLE-RAR-101	3058	1438		110	121	326
SLE-RAR-102	3146	1318		127	140	378
SLE-RAR-103	3352	1300		164	181	488
SLE-RAR-104	3270	1377		157	173	467
SLE-RAR-105	2885	860		159	175	473

	N_{max}	N_{min}	T_{media}	T_{media_grupo}	M_{max}
	[kN]	[kN]	[kN]	[kN]	[kNm]
SLE-QPE-001	2050	2050	0	0	0
SLE-QPE-002	2244	1857	47	52	140

6 VERIFICHE STRUTTURALI DEL FUSTO PILA

6.1 GEOMETRIA DELLA SEZIONE ED ARMATURA

Si riporta a seguire una figura che illustra la geometria della sezione di verifica, nella quale è rappresentata una armatura tipologica.

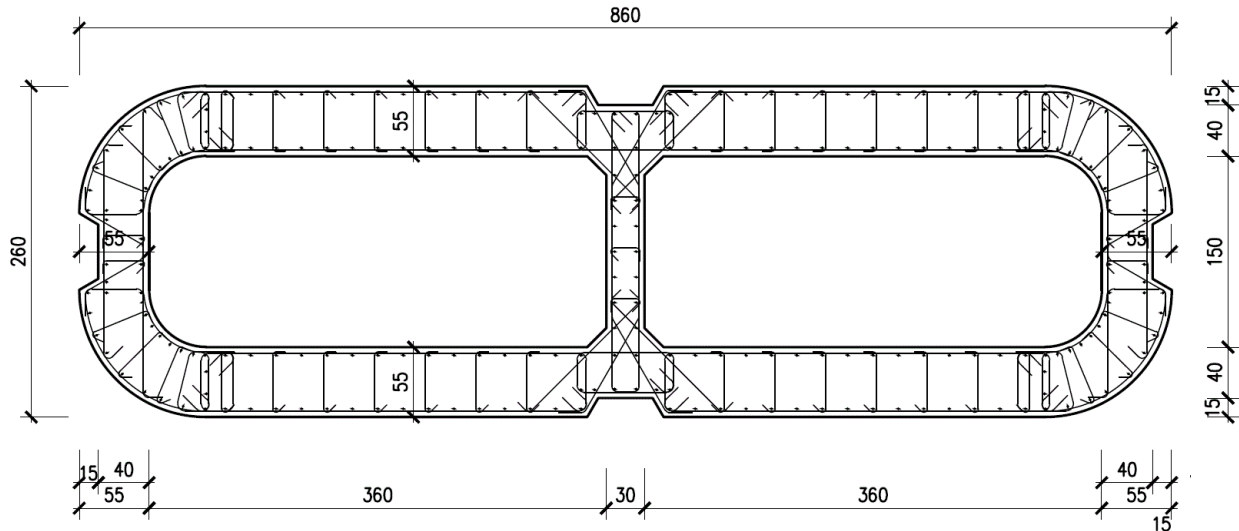


Figura 1 – Geometria della sezione trasversale della pila [cm]

6.1.1 ARMATURA LONGITUDINALE

A seguire è indicata l'armatura flessionale prevista nella sezione di base del fusto pila, in termini di numero di barre presenti nello strato esterno (1° str.), nello strato interno (2° str.), nonché loro diametro f_i [mm].

n barre (1° str.)	124	
f_i barre (1° str.)	22	mm
n barre (2° str.)	122	
f_i barre (2° str.)	22	mm

6.1.2 ARMATURA TRASVERSALE

A seguire è indicata l'armatura a taglio prevista nella sezione di base del fusto pila, all'interno della zona critica.

Direzione longitudinale

Staffe:

Spille:

Spille:

øw	14	mm	øw	8	mm	øw	14	mm
A1b	153.86	mm ²	A1b	50.24	mm ²	A1b	153.86	mm ²
passo	100	mm	passo	100	mm	passo	100	mm
bracci	6		bracci	16		bracci	6	

Direzione trasversale

Staffe:

Spille:

Spille:

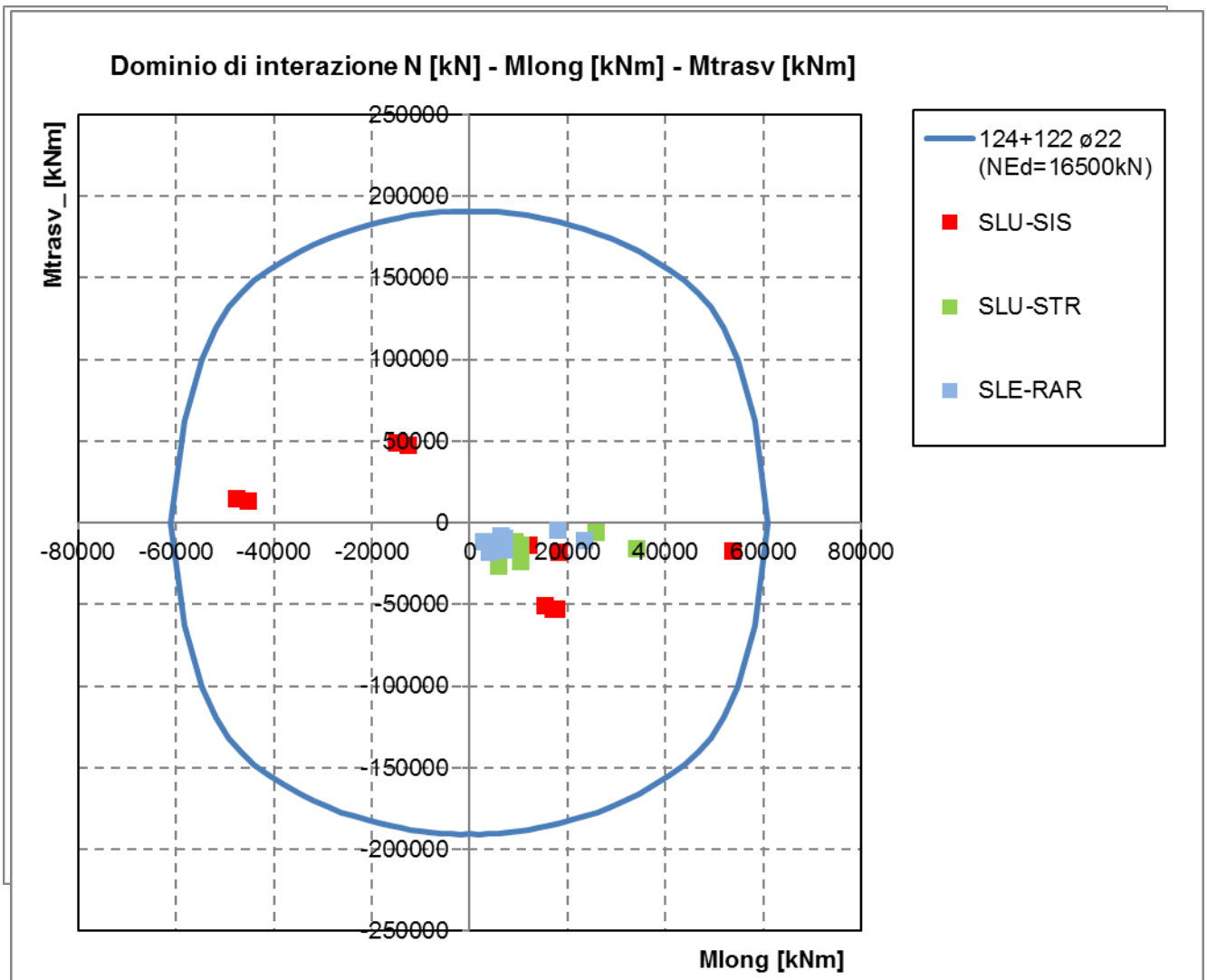
øw	14	mm	øw	8	mm	øw	14	mm
A1b	153.86	mm ²	A1b	50.24	mm ²	A1b	153.86	mm ²
passo	100	mm	passo	100	mm	passo	100	mm
bracci	4		bracci	6		bracci	2	

6.2 VERIFICHE SLU A PRESSOFLESSIONE

La verifica SLU a presso-flessione nelle sezioni critiche si effettua verificando che:

$$FS = (M_{Rd,long}^2 + M_{Rd,trasv}^2)^{0.5} / (M_{Ed,long}^2 + M_{Ed,trasv}^2)^{0.5} \geq 1$$

Sono riportate a seguire le verifiche SLU della sezione di base della pila, espresse in forma sintetica mediante il diagramma di interazione $M_{long} - M_{trasv}$ valutato per una forza assiale corrispondente alla condizione di verifica più severa (SLV-SIS).



Si riportano a seguire le verifiche in forma esplicita nelle due combinazioni di carico più severe, di cui la prima ricadente in condizione statica SLU e la seconda ricadente in condizione sismica SLV.

SLU-STR-065

Verifica C.A. S.L.U. - File: 860x260_246fi22_STR1

File Materiali Opzioni Visualizza Progetto Sez. Rett. Sismica Normativa: NTC 2008 ?

TITOLO :

N° Vertici Zoom N° barre Zoom

N°	x [cm]	y [cm]	N°	As [cm²]	x [cm]	y [cm]
1	-430	30	1	3.8	9	108
2	-427	56	2	3.8	24	109
3	-417	80	3	3.8	35	109
4	-401	101	4	3.8	35	124
5	-380	117	5	3.8	55	124
6	-356	127	6	3.8	75	124

Tipo Sezione

Rettan.re Trapezi
 a T Circolare
 Rettangoli Coord.

Sollecitazioni

S.L.U. Metodo n

N_{Ed} kN
M_{xEd} kNm
M_{yEd}

P.to applicazione N

Centro Baricentro cls
 Coord.[cm] xN yN

Tipo rottura
Lato calcestruzzo - Acciaio snervato

Metodo di calcolo

S.L.U.+ S.L.U.-
 Metodo n

Tipo flessione

Retta Deviata

N° rett.

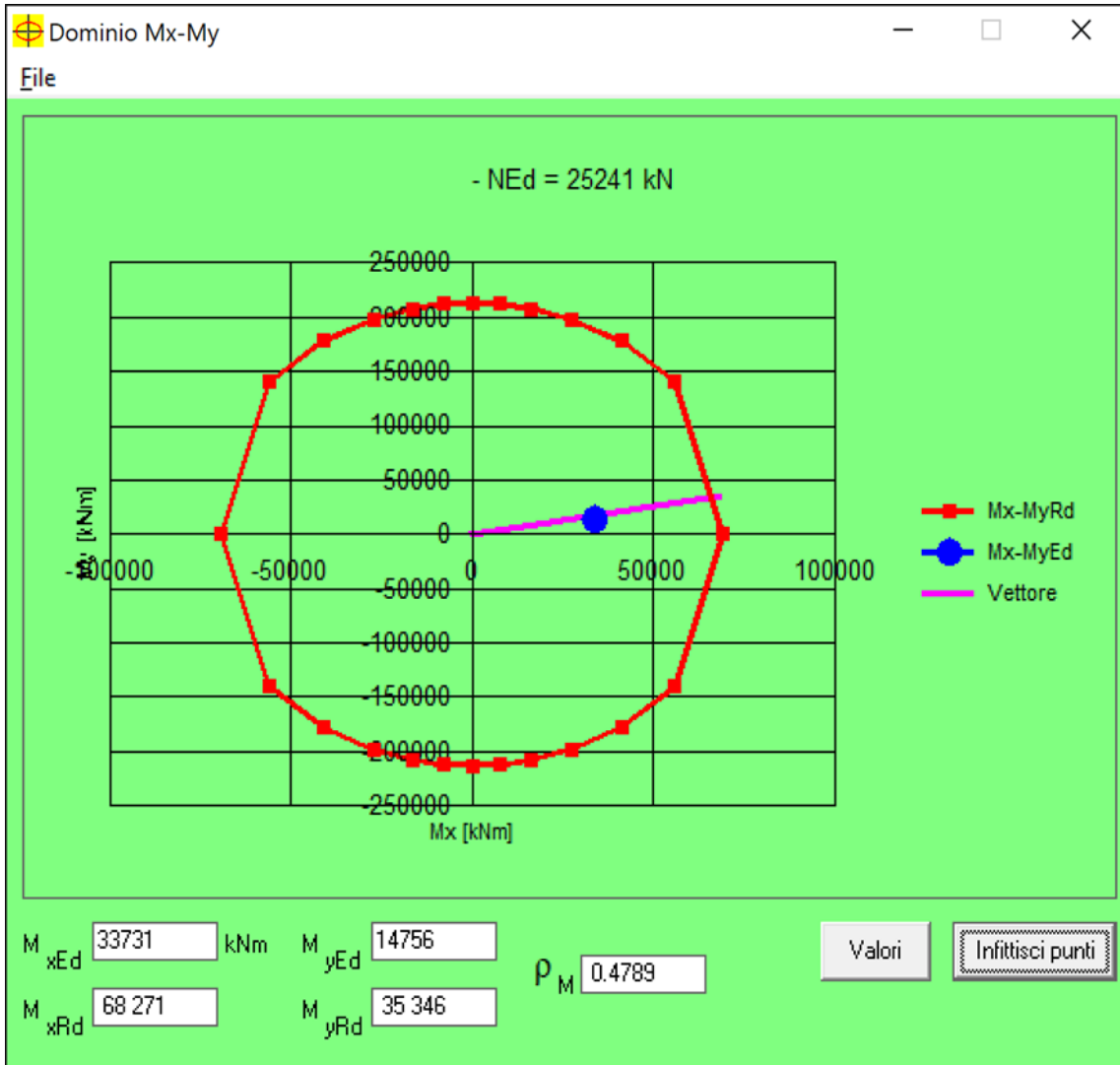
angolo asse neutro θ°

Precompresso

Materiali

ε_{su} ‰ ε_{c2} ‰
f_{yd} N/mm² ε_{cu} ‰
E_s N/mm² f_{cd} ‰
E_s/E_c f_{cc}/f_{cd} ?
ε_{syd} ‰ σ_{c,adm} ‰
σ_{s,adm} N/mm² τ_{co} ‰
τ_{c1} ‰

M_{xRd} kN m
M_{yRd} kN m
σ_c N/mm²
σ_s N/mm²
ε_c ‰
ε_s ‰
d cm
x x/d
δ



ρ_M 0.4789
FS 2.09

SLU-SIS-011

Verifica C.A. S.L.U. - File: 860x260_246fi22_SIS1_

File Materiali Opzioni Visualizza Progetto Sez. Rett. Sismica Normativa: NTC 2008 ?

TITOLO : _____

N° Vertici Zoom N° barre Zoom

N°	x [cm]	y [cm]	N°	As [cm²]	x [cm]	y [cm]
1	-430	30	1	3,8	9	108
2	-427	56	2	3,8	24	109
3	-417	80	3	3,8	35	109
4	-401	101	4	3,8	35	124
5	-380	117	5	3,8	55	124
6	-356	127	6	3,8	75	124

Sollecitazioni: S.L.U. Metodo n

N_{Ed} kN
M_{xEd} kNm
M_{yEd}

P.to applicazione N: Centro Baricentro cls
 Coord.[cm] xN yN

Tipo rottura: Lato calcestruzzo - Acciaio snervato

Metodo di calcolo: S.L.U.+ S.L.U.- Metodo n

Tipo flessione: Retta Deviata

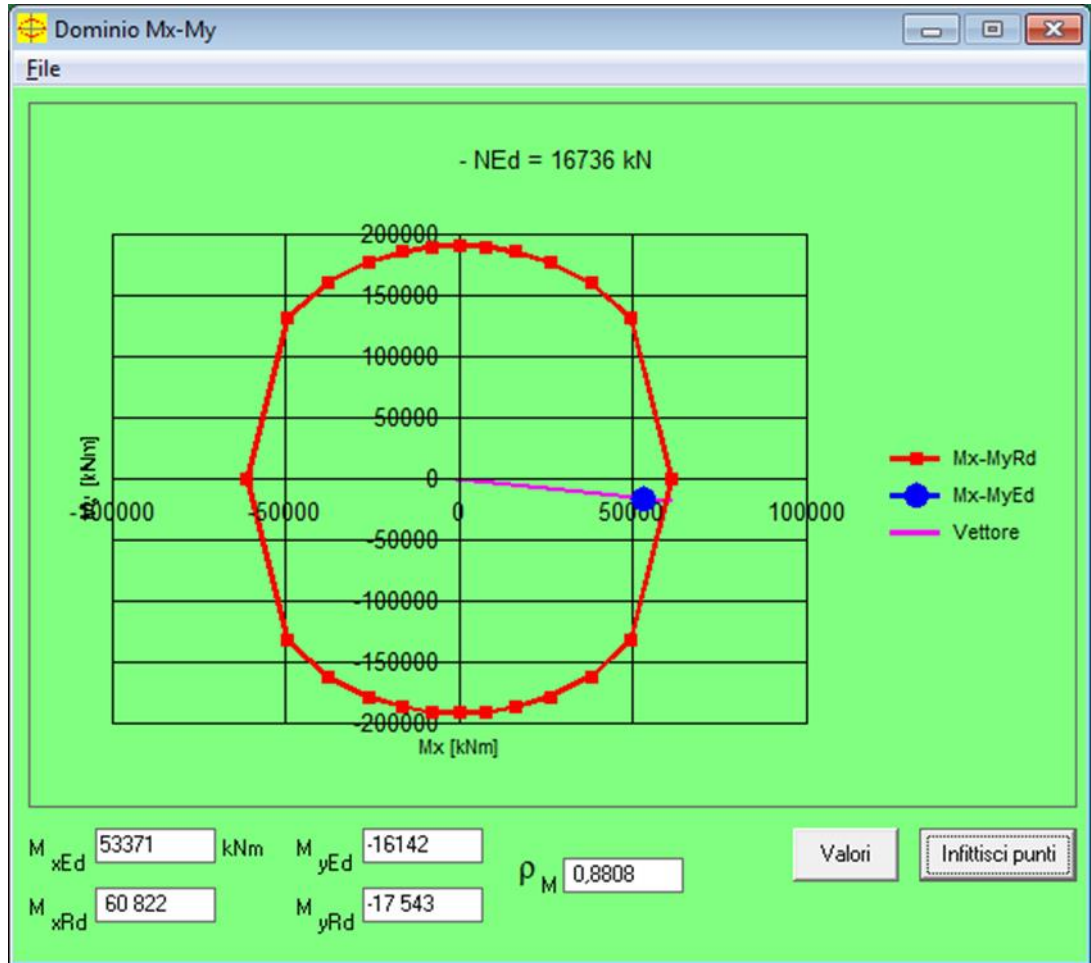
N° rett.

angolo asse neutro θ°
 Precompresso

Materiali

B450C		C32/40	
ϵ_{su}	<input type="text" value="67,5"/> %	ϵ_{c2}	<input type="text" value="2"/> %
f_{yd}	<input type="text" value="391,3"/> N/mm ²	ϵ_{cu}	<input type="text" value="3,5"/>
E_s	<input type="text" value="200 000"/> N/mm ²	f_{cd}	<input type="text" value="18,13"/>
E_s/E_c	<input type="text" value="15"/>	f_{cc}/f_{cd}	<input type="text" value="0,8"/> ?
ϵ_{syd}	<input type="text" value="1,957"/> %	$\sigma_{c,adm}$	<input type="text" value="12,25"/>
$\sigma_{s,adm}$	<input type="text" value="255"/> N/mm ²	τ_{co}	<input type="text" value="0,7333"/>
		τ_{c1}	<input type="text" value="2,114"/>

M_{xRd} kN m
M_{yRd} kN m
 σ_c N/mm²
 σ_s N/mm²
 ϵ_c %
 ϵ_s %
d cm
x x/d
 δ



ρ_M 0.8808

FS 1.14

6.4 VERIFICHE SLU A TAGLIO

Seguono le sollecitazioni di verifica alla base del fusto pile, calcolate secondo il criterio della gerarchia delle resistenze:

Sollecitazioni - Condizione statica STR

SLU-STR	max	Combo.	F1	F2	F3	M1	M2
			kN	kN	kN	kNm	kNm
<i>max</i>	F1	SLU-STR-065	3786	1136	-25241	-14756	33731
<i>max</i>	F2	SLU-STR-019	1340	1758	-28334	-22492	10025
<i>min</i>	F1	SLU-STR-002	507	1280	-20080	-16145	3754
<i>min</i>	F2	SLU-STR-014	1188	186	-24375	-10785	8896

Sollecitazioni - Condizione sismica SIS (da calcolo diretto con $q=1.5$)

SLU-SIS	max	Combo.	F1	F2	F3	M1	M2
			kN	kN	kN	kNm	kNm
<i>max</i>	F1	SLU-SIS-011	6936	1613	-16736	-16142	53371
<i>max</i>	F2	SLU-SIS-038	2189	5346	-17162	-51807	17383
<i>min</i>	F1	SLU-SIS-102	-6308	-1563	-16024	14205	-45670
<i>min</i>	F2	SLU-SIS-135	-1892	-5209	-16024	48797	-12908

Sollecitazioni - Condizione sismica SIS (da G.R.)

SLU-SIS	max	Combo.	F1	F2	F3	M1	M2
			kN	kN	kN	kNm	kNm
<i>max</i>	F1	SLU-SIS-011	6936	1613	-16736	-16142	53371
<i>max</i>	F2	SLU-SIS-038	2189	5346	-17162	-51807	17383
<i>min</i>	F1	SLU-SIS-102	-6308	-1563	-16024	14205	-45670
<i>min</i>	F2	SLU-SIS-135	-1892	-5209	-16024	48797	-12908

MRd,1	MRd,2	Vgr,1	Vgr,2
kNm	kNm	kN	kN
34861	59552	7739	2420
145421	45122	3283	8019
34815	58854	8129	2344
150665	41342	2839	7814

Verifica - Direzione Longitudinale**Verifica a taglio per sezioni rettangolari armate a taglio (D.M. 14/01/2008)**

classe cls	Rck	40	N/mm ²
resist. Caratteristica cilindrica	fck	33	N/mm ²
	fcd	19	
coeff. parziale	γ_c	1.5	
larghezza membratura resistene a V	bw	1100	mm
altezza membratura resistene a V	H	2600	mm
altezza utile	d	2340	mm
area della sezione	As	1E+07	mm ²
sforzo assiale dovuto ai carichi o precompressione	N	1.60E+07	N
	σ_{cp}	5.60	N/mm ²
	α_c	1.25	
Acciaio	fyk	450	N/mm ²
Feb44k	fyd	391	N/mm ²
diametro staffe	ϕ_w	14	mm
Area staffa	A ϕ_w	154	mm ²
0.9 d	z	2106	mm
passo delle staffe (spille)	sw	100	mm
	n° bracci	6	
angolo di inclinazione	θ	32.0	°
deve essere compreso tra 1 e 2.5	cot(θ)	1.60	
angolo di inclinazione armatura rispetto asse palo	α	90	°
	cot(α)	0.00	
	Asw / sw	9.24	mm ² /mm

Taglio resistente per "taglio trazione"	VRsd	12181	kN
Taglio resistente per "taglio compressione"	VRcd	12241	kN

taglio sollecitante	VEd	8129	kN
fattore di sicurezza per GR (par. 7.9.5.2.2)	γ_{Bd}	1.09	
taglio resistente	VRd	11216	kN

VEd < VRd

La verifica è soddisfatta.

FS 1.38

Verifica - Direzione Trasversale**Verifica a taglio per sezioni rettangolari armate a taglio (D.M. 14/01/2008)**

classe cls	Rck	40	N/mm ²
resist. Caratteristica cilindrica	fck	33	N/mm ²
	fcd	19	
coeff. parziale	γ_c	1.5	
larghezza membratura resistene a V	bw	1100	mm
altezza membratura resistene a V	H	8600	mm
altezza utile	d	7740	mm
area della sezione	As	1.1E+07	mm ²
sforzo assiale dovuto ai carichi o precompressione	N	1.7E+07	N
	σ_{cp}	1.81	N/mm ²
	α_c	1.10	
Acciaio	fyk	450	N/mm ²
Feb44k	fyd	391	N/mm ²
diametro staffe	ϕ_w	14	mm
Area staffa	A ϕ_w	154	mm ²
0.9 d	z	6966	mm
passo delle staffe (spille)	sw	100	mm
	n° bracci	4	
angolo di inclinazione	θ	45	°
deve essere compreso tra 1 e 2.5	cot(θ)	1.00	
angolo di inclinazione armatura rispetto asse palo	α	45	°
	cot(α)	1.00	
	Asw / sw	6.16	mm ² /mm

Taglio resistente per "taglio trazione"	VRsd	23737	kN
Taglio resistente per "taglio compressione"	VRcd	79030	kN

taglio sollecitante	VEd	8019	kN
fattore di sicurezza per GR (par. 7.9.5.2.2)	γ_{Bd}	1.25	
taglio resistente	VRd	18989	kN

VEd < VRd

La verifica è soddisfatta.

FS **2.37**

6.6 VERIFICHE SLE DELLE TENSIONI

La verifica SLE di tipo tensionale si effettua controllando che le massime tensioni normali agenti nella sezione risultino inferiori ai seguenti valori limite:

per le combinazioni SLE-RAR:

- tensione limite nel calcestruzzo: $\sigma_c = 0.55 f_{ck}$
- tensione limite nelle barre: $\sigma_s = 0.75 f_{yk}$

per le combinazioni SLE-QPE:

- tensione limite nel calcestruzzo: $\sigma_c = 0.40 f_{ck}$

SLE-RAR-065

Verifica C.A. S.L.U. - File: 860x260_246fi22_RAR1

File Materiali Opzioni Visualizza Progetto Sez. Rett. Sismica Normativa: NTC 2008 ?

Tipo Sezione
 Rettan.re Trapezi
 a T Circolare
 Rettangoli Coord.

N° Vertici Zoom N° barre Zoom

N°	x [cm]	y [cm]	N°	As [cm²]	x [cm]	y [cm]
1	-430	30	1	3.8	9	108
2	-427	56	2	3.8	24	109
3	-417	80	3	3.8	35	109
4	-401	101	4	3.8	35	124
5	-380	117	5	3.8	55	124
6	-356	127	6	3.8	75	124

Sollecitazioni
 S.L.U. Metodo n

N_{Ed} kN
 M_{xEd} kNm
 M_{yEd}

P.to applicazione N
 Centro Baricentro cls
 Coord.[cm] xN yN

Metodo di calcolo
 S.L.U.+ S.L.U.-
 Metodo n

Materiali

 ϵ_{su} ‰ ϵ_{c2} ‰
 f_{yd} N/mm² ϵ_{cu} ‰
 E_s N/mm² f_{cd}
 E_s/E_c f_{cc}/f_{cd} ?
 ϵ_{syd} ‰ $\sigma_{c,adm}$
 $\sigma_{s,adm}$ N/mm² τ_{co}
 τ_{c1}

σ_c N/mm²
 σ_s N/mm²
 ϵ_s ‰
 d cm
 x x/d
 δ

Verifica
 N° iterazioni:
 Precompresso

La verifica è soddisfatta.

SLE-RAR-022

Verifica C.A. S.L.U. - File: 860x260_246fi22_RAR2

File Materiali Opzioni Visualizza Progetto Sez. Rett. Sismica Normativa: NTC 2008 ?

Titolo : _____

N° Vertici Zoom N° barre Zoom

N°	x [cm]	y [cm]	N°	As [cm²]	x [cm]	y [cm]
1	-430	30	1	3.8	9	108
2	-427	56	2	3.8	24	109
3	-417	80	3	3.8	35	109
4	-401	101	4	3.8	35	124
5	-380	117	5	3.8	55	124
6	-356	127	6	3.8	75	124

Rettan.re Trapezi
 a T Circolare
 Rettangoli Coord.

Centro Baricentro cls
 Coord.[cm]

xN yN

S.L.U.+ S.L.U.-
 Metodo n

Materiali

 ϵ_{su} ‰ ϵ_{c2} ‰
 f_{yd} N/mm² ϵ_{cu} ‰
 E_s N/mm² f_{cd} ‰
 E_s/E_c f_{cc}/f_{cd} ?
 ϵ_{syd} ‰ $\sigma_{c,adm}$ ‰
 $\sigma_{s,adm}$ N/mm² τ_{co} ‰
 τ_{c1} ‰

σ_c N/mm²
 ϵ_s ‰

Verifica
 N° iterazioni:

Precompresso

La verifica è soddisfatta.

6.7 VERIFICHE SLE A FESSURAZIONE

La verifica SLE a fessurazione si effettua controllando che il massimo valore di apertura delle fessure risulti inferiore ai seguenti valori limite:

per le combinazioni SLE-RAR:

- apertura fessure limite: $w_{lim} = w_1 = 0.30 \text{ mm}$
- c** pos. baric. strato i-esimo [mm]
- ∅** diametro barre strato i-esimo [mm]
- n** numero barre strato i-esimo []
- $\sigma_{s,max}$** Tensione massima barre strato i-esimo [MPa]
- b_{eff}** larghezza efficace [mm]
- $h_{c,eff}$** altezza efficace [mm]
- $A_{c,eff}$** area efficace relativamente ad una singola barre [mm²]
- $\rho_{p,eff}$** percentuale di armatura relativa a $A_{c,eff}$
- k_t** (0.6 carichi brevi; 0.4 lunga durata)
- k_1** (0.8 barre ad. migliorata; 1.6 liscie)
- k_2** (0.5 per flessione; 1 trazione)

Prima condizione di carico SLE-RAR

INPUT		
Rck	40	Mpa
h	550	mm
c1	72	mm
ϕ_1	22	mm
n1	5.000	
c2		mm
ϕ_2		mm
n2	5.000	1/m
d	478	mm
b_{eff}	200	mm
$\sigma_{s,max1}$	94	Mpa
$\sigma_{s,max2}$		Mpa
$h_{c,eff}$	180.0	mm
$A_{c,eff}$	36000	mm ²
$\rho_{p,eff}$	0.011	
k_t	0.6	
k_1	0.8	
k_2	0.5	
k_3	3.4	
k_4	0.425	

OUTPUT		
diff. def. armature-clc		
$\epsilon_{sm} - \epsilon_{cm}$	2.74E-04	-
distanza max fessure		
$s_{r,max}$	562	mm
ampiezza fessure:		
wk	0.154	mm
wlim	0.200	mm
La verifica è soddisfatta.		

7 VERIFICHE STRUTTURALI DEI PALI DI FONDAZIONE

7.1 GEOMETRIA DELLA SEZIONE ED ARMATURA

GEOMETRIA DELLA SEZIONE

Diametro del palo =	1200	mm
Copriferro netto c =	60	mm
Classe di resistenza calcestruzzo =	C25/30	Mpa
Classe di resistenza delle barre =	B450C	MPa

ARMATURA PER I PRIMI 10 \varnothing

1° strato di armatura longitudinale

Numero barre long.	24	-
Diametro barre long.	26	mm
Copriferro baricentrico arm. long. c' =	87	mm

2° strato di armatura longitudinale

Numero barre long.	24	-
Diametro barre long.	26	mm
Copriferro baricentrico arm. long. c' =	138	mm

Armatura trasversale

Diametro barre trasv.	14	mm
Passo arm. trasv.	150	mm
Diametro corona esterna =	1066	mm

7.2 VERIFICHE SLU A PRESSOFLESSIONE

Sono riportate a seguire le verifiche SLU della sezione di sommità del palo maggiormente sollecitato, espresse in forma sintetica mediante il diagramma di interazione N – M.

Diagramma di interazione N-M con coordinate sollecitazioni indotte da combinazioni di carico SLU-STR

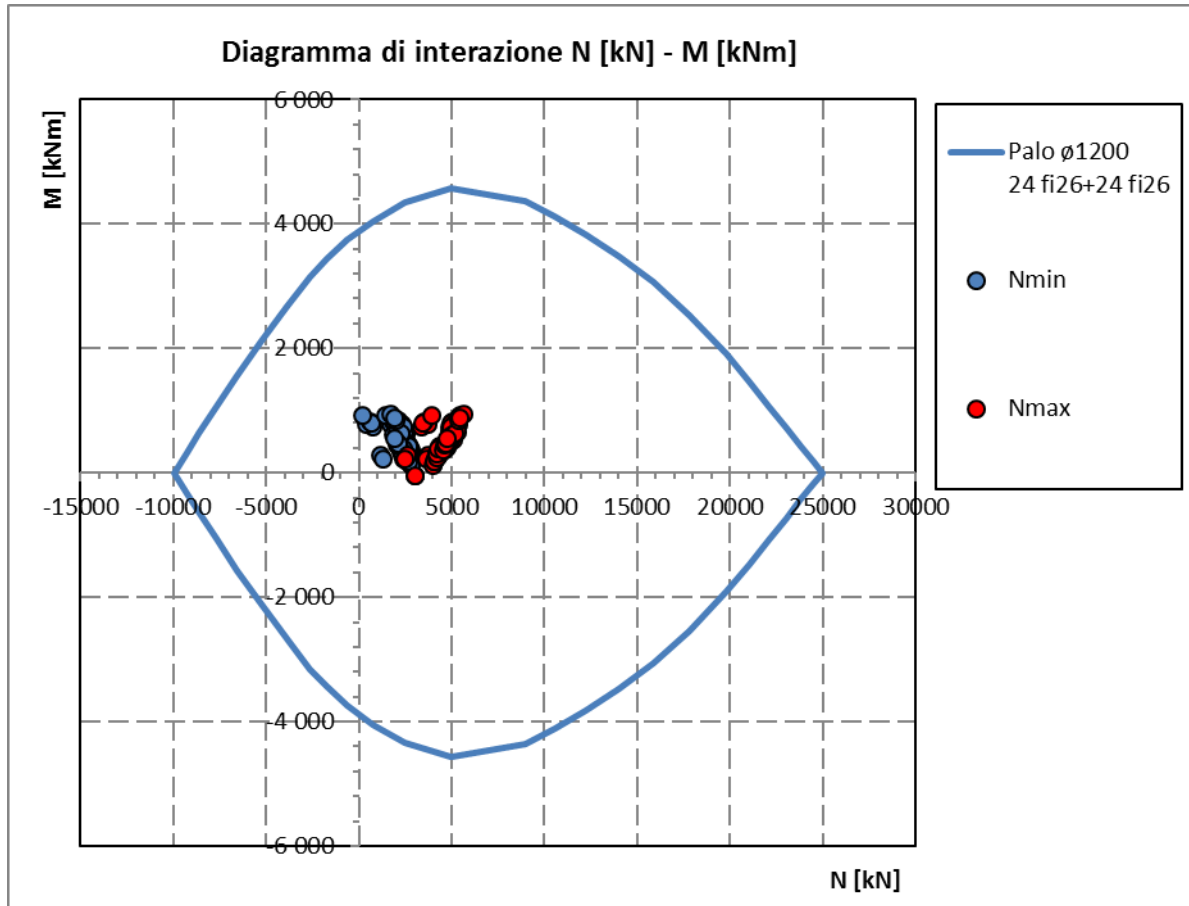
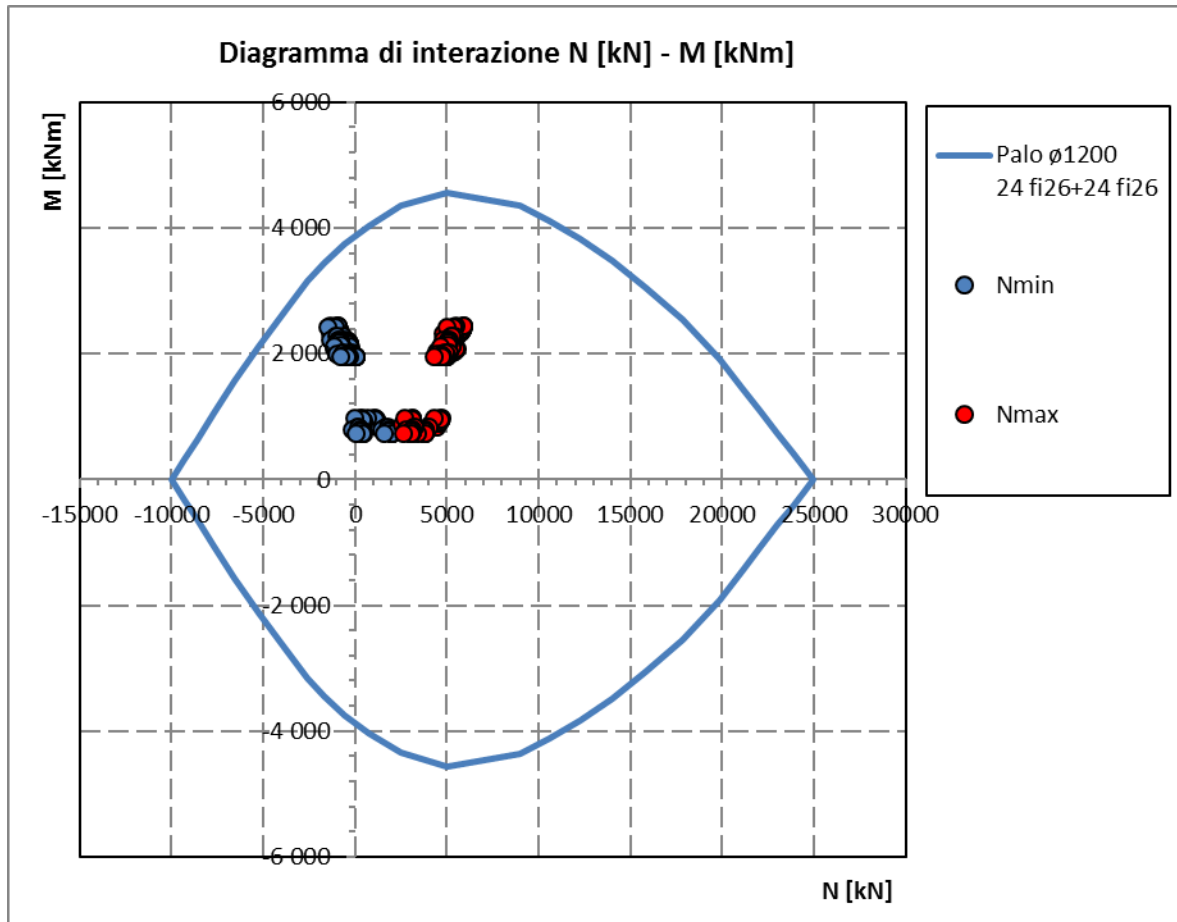


Diagramma di interazione N-M con coordinate sollecitazioni indotte da combinazioni di carico SLU-SIS

La verifica è soddisfatta in quanto le coppie N-M delle sollecitazioni agenti nella sezione di verifica sono interne al dominio di resistenza per ogni condizione di carico indagata.

7.3 VERIFICHE SLU A TAGLIO

Verifica a taglio per sezioni circolari armate a taglio (D.M. 14/01/2008)

classe cls	Rck	30	N/mm ²
resist. Caratteristica cilindrica	fck	25	N/mm ²
	fcd	14	N/mm ²
diametro	F	1200	mm
Area sezione	A	1130973	mm ²
copriferro	c	80	mm
Area sezione rettangolare equivalente	Aeq	941544	mm ²
altezza utile equivalente	d	931	mm
larghezza equivalente	bw	1011	mm
altezza equivalente	heq	1118	mm
sforzo assiale dovuto ai carichi o precompressione	N		N
	scp	0.000	N/mm ²
	acp	1.00	

Acciaio	fyk	450	N/mm ²
B450C	fyd	391	N/mm ²
diametro staffe (spille)	øw	14	mm
Area staffa (spilla)	Aøw	154	mm ²
0.9 d	z	838	mm
passo spirale	sw	150	mm
	n° bracci	2	
angolo di inclinazione biella compressa	q	21.8	°
deve essere compreso tra 1 e 2.5	cot(q)	2.50	
angolo di inclinazione armatura rispetto asse palo	a	90	°
	cot(a)	0.00	
	Asw / sw	2.05	mm ² /mm

Taglio resistente per "taglio trazione"	VRsd	1682	kN
Taglio resistente per "taglio compressione"	VRcd	2061	kN

taglio sollecitante	VEd	922	kN
fattore di sicurezza per GR (par. 7.9.5.2.2)	gRd	1	
taglio resistente	VRd	1682	kN

VEd < VRd

verifica

7.4 VERIFICHE SLE DELLE TENSIONI

La verifica SLE di tipo tensionale si effettua controllando che le massime tensioni normali agenti nella sezione risultino inferiori ai seguenti valori limite:

per le combinazioni SLE-RAR:

- tensione limite nel calcestruzzo: $\sigma_c = 0.55 f_{ck}$
- tensione limite nelle barre: $\sigma_s = 0.75 f_{yk}$

per le combinazioni SLE-QPE:

- tensione limite nel calcestruzzo: $\sigma_c = 0.40 f_{ck}$

SLE-RAR-065

Verifica C.A. S.L.U. - File: palo1200_24fi26+24fi26_RAR1

File Materiali Opzioni Visualizza Progetto Sez. Rett. Sismica Normativa: DM 1996 ?

Titolo: _____

Sezione circolare cava

Raggio esterno: 600 [mm]
 Raggio interno: 0 [mm]
 N° barre uguali: 0
 Diametro barre: 0 [mm]
 Copriferro (baric.): 0 [mm]

N° barre: 48 Zoom

N°	As [mm²]	x [mm]	y [mm]
1	531	0	513
2	531	133	496
3	531	257	444
4	531	363	363
5	531	444	257
6	531	496	133

Tipologia sezione:
 Rettan.re Trapezi
 a T Circolare
 Rettangoli Coord.

Sollecitazioni: S.L.U. Metodo n

N_{Ed}: 0 986 kN
 M_{xEd}: 0 673 kNm
 M_{yEd}: 0 0

P.to applicazione N:
 Centro Baricentro cls
 Coord. [mm] xN: 0 yN: 0

Metodo di calcolo:
 S.L.U.+ S.L.U.-
 Metodo n

Materiali: B450C C25/30

ϵ_{su} : 10 ‰ ϵ_{c2} : 2 ‰
 f_{yd} : 391.3 N/mm² ϵ_{cu} : 3.5 ‰
 E_s : 200 000 N/mm² f_{cd} : 13.28
 E_s/E_c : 15 f_{cc}/f_{cd} : 0.8
 ϵ_{syd} : 1.957 ‰ $\sigma_{c,adm}$: 9.75
 $\sigma_{s,adm}$: 255 N/mm² τ_{co} : 0.6
 τ_{c1} : 1.829

σ_c : -4.195 N/mm²
 σ_s : 54.46 N/mm²
 ϵ_s : 0.2723 ‰
 d: 1 113 mm
 x: 596.6 x/d: 0.536
 δ : 1

Vertici: 50
 Verifica
 N° iterazioni: 4
 Precompresso

La verifica è soddisfatta.

SLE-RAR-018

Verifica C.A. S.L.U. - File: palo1200_24fi26+24fi26_RAR2

File Materiali Opzioni Visualizza Progetto Sez. Rett. Sismica Normativa: DM 1996 ?

Titolo :

Sezione circolare cava

Raggio esterno: 600 [mm]
 Raggio interno: 0 [mm]
 N° barre uguali: 0
 Diametro barre: 0 [mm]
 Copriferro (baric.): 0 [mm]

N° barre: 48 Zoom

N°	As [mm²]	x [mm]	y [mm]
1	531	0	513
2	531	133	496
3	531	257	444
4	531	363	363
5	531	444	257
6	531	496	133

Tipo Sezione

Rettan.re Trapezi
 a T Circolare
 Rettangoli Coord.

Sollecitazioni

S.L.U. Metodo n

N_{Ed}: 0 942 kN
 M_{xEd}: 0 536 kNm
 M_{yEd}: 0 0

P.to applicazione N

Centro Baricentro cls
 Coord.[mm] xN: 0 yN: 0

Metodo di calcolo

S.L.U.+ S.L.U.-
 Metodo n

Materiali

B450C C25/30

ϵ_{su} : 10 ‰ ϵ_{c2} : 2 ‰
 f_{yd} : 391.3 N/mm² ϵ_{cu} : 3.5 ‰
 E_s : 200 000 N/mm² f_{cd} : 13.28
 E_s/E_c : 15 f_{cc}/f_{cd} : 0.8
 ϵ_{syd} : 1.957 ‰ $\sigma_{c,adm}$: 9.75
 $\sigma_{s,adm}$: 255 N/mm² τ_{co} : 0.6
 τ_{c1} : 1.829

σ_c : -3.363 N/mm²
 σ_s : 37.86 N/mm²
 ϵ_s : 0.1893 ‰
 d: 1 113 mm
 x: 635.8 x/d: 0.5713
 δ : 1

Vertici: 50
 Verifica
 N° iterazioni: 4
 Precompresso

La verifica è soddisfatta.

SLE-RAR-068

Verifica C.A. S.L.U. - File: palo1200_24fi26+24fi26_RAR3

File Materiali Opzioni Visualizza Progetto Sez. Rett. Sismica Normativa: DM 1996 ?

Titolo :

Sezione circolare cava

Raggio esterno: 600 [mm]
 Raggio interno: 0 [mm]
 N° barre uguali: 0
 Diametro barre: 0 [mm]
 Copriferro (baric.): 0 [mm]

N° barre: 48 Zoom

N°	As [mm²]	x [mm]	y [mm]
1	531	0	513
2	531	133	496
3	531	257	444
4	531	363	363
5	531	444	257
6	531	496	133

Tipo Sezione
 Rettan.re Trapezi
 a T Circolare
 Rettangoli Coord.

Sollecitazioni
 S.L.U. Metodo n

N_{Ed}: 0 1182 kN
 M_{xEd}: 0 679 kNm
 M_{yEd}: 0 0

P.to applicazione N
 Centro Baricentro cls
 Coord.[mm] xN: 0 yN: 0

Metodo di calcolo
 S.L.U.+ S.L.U.-
 Metodo n

Materiali

B450C C25/30

ϵ_{su} : 10 ‰ ϵ_{c2} : 2 ‰
 f_{yd} : 391.3 N/mm² ϵ_{cu} : 3.5 ‰
 E_s : 200 000 N/mm² f_{cd} : 13.28
 E_s/E_c : 15 f_{cc}/f_{cd} : 0.8
 ϵ_{syd} : 1.957 ‰ $\sigma_{c,adm}$: 9.75
 $\sigma_{s,adm}$: 255 N/mm² τ_{co} : 0.6
 τ_{c1} : 1.829

σ_c : -4.259 N/mm²
 σ_s : 48.35 N/mm²
 ϵ_s : 0.2417 ‰
 d: 1 113 mm
 x: 633.5 x/d: 0.5692
 δ : 1

Vertici: 50
 Verifica
 N° iterazioni: 4
 Precompresso

La verifica è soddisfatta.

7.5 VERIFICHE SLE A FESSURAZIONE

La verifica SLE a fessurazione si effettua controllando che il massimo valore di apertura delle fessure risulti inferiore ai seguenti valori limite:

per le combinazioni SLE-RAR:

- apertura fessure limite: $w_{lim} = w_1 = 0.30 \text{ mm}$

Prima condizione di carico SLE-RAR

INPUT		
Rck	30	Mpa
h	1200	mm
c1	87	mm
ϕ_1	26	mm
n1	7.839	1/m
c2	138	mm
ϕ_2	26	mm
n2	7.839	1/m
d	1088	mm
beff	128	mm
x	596.6	mm
$\sigma_{s,max1}$	55	Mpa
$\sigma_{s,max2}$	55	Mpa
$h_{c,eff}$	201	mm
$A_{c,eff}$	25657	mm ²
$\rho_{p,eff}$	0.041	
kt	0.6	
k1	0.8	
k2	0.5	
k3	3.4	
k4	0.425	

OUTPUT		
diff. def. armature-cla		
$\epsilon_{sm} - \epsilon_{cm}$	1.59E-04	-
distanza max fessure		
$s_{r,max}$	471	mm
ampiezza fessure:		
wk	0.075	mm
wlim	0.300	mm
La verifica è soddisfatta.		

Seconda condizione di carico SLE-RAR

INPUT		
Rck	30	Mpa
h	1200	mm
c1	87	mm
$\phi 1$	26	mm
n1	7.839	1/m
c2	138	mm
$\phi 2$	26	mm
n2	7.839	1/m
d	1088	mm
beff	128	mm
x	635.8	mm
$\sigma_{s,max1}$	38	Mpa
$\sigma_{s,max2}$	38	Mpa
$h_{c,eff}$	188	mm
$A_{c,eff}$	23990	mm ²
$\rho_{p,eff}$	0.044	
kt	0.6	
k1	0.8	
k2	0.5	
k3	3.4	
k4	0.425	

OUTPUT		
diff. def. armature-cls		
$\epsilon_{sm} - \epsilon_{cm}$	1.10E-04	-
distanza max fessure		
$s_{r,max}$	461	mm
ampiezza fessure:		
wk	0.051	mm
wlim	0.300	mm
La verifica è soddisfatta.		

Terza condizione di carico SLE-RAR

INPUT		
Rck	30	Mpa
h	1200	mm
c1	87	mm
ϕ 1	26	mm
n1	7.839	1/m
c2	138	mm
ϕ 2	26	mm
n2	7.839	1/m
d	1088	mm
beff	128	mm
x	633.5	mm
σ S_max1	48	Mpa
σ S_max2	48	Mpa
hc_eff	189	mm
Ac_eff	24088	mm ²
ρ p_eff	0.044	
kt	0.6	
k1	0.8	
k2	0.5	
k3	3.4	
k4	0.425	

OUTPUT		
diff. def. armature-cls		
ϵ sm - ϵ cm	1.41E-04	-
distanza max fessure		
Sf_max	462	mm
ampiezza fessure:		
wk	0.065	mm
wlim	0.300	mm
La verifica è soddisfatta.		

8 VERIFICHE DEL PLINTO DI FONDAZIONE

8.1 VERIFICHE SLU E SLE A TIRANTE-PUNSTONE

Le verifiche SLU e SLE si effettuano controllando che le massime tensioni normali agenti nel tirante di armatura e nella biella compressa di calcestruzzo risultino inferiori ai seguenti valori limite:

per le combinazioni SLU e SLV:

- tensione limite nel calcestruzzo: $\sigma_c = f_{cd}' = 0.5 f_{cd}$
- tensione limite nelle barre: $\sigma_s = f_{yd}$

per le combinazioni SLE-RAR:

- tensione limite nel calcestruzzo: $\sigma_c = 0.55 f_{ck}$
- tensione limite nelle barre: $\sigma_s = 0.75 f_{yk}$

per le combinazioni SLE-QPE:

- tensione limite nel calcestruzzo: $\sigma_c = 0.40 f_{ck}$

Si distinguono due meccanismi di tipo tirante-puntone principali nel plinto di fondazione, illustrati nelle figure seguenti e descritti a seguire:

- un primo meccanismo è innescato dalle azioni trasmesse al plinto dai pali centrali e coinvolge un tirante-puntone parallelo alla direzione longitudinale (evidenziato in verde). Tale meccanismo coinvolge la sola armatura longitudinale inferiore del plinto.
- un secondo meccanismo coinvolge i pali di spigolo ed innesca un tirante-puntone con direzione diagonale (evidenziato in rosso), individuata da un angolo α misurato rispetto alla direzione trasversale. Tale meccanismo coinvolge sia l'armatura longitudinale inferiore del plinto che l'armatura trasversale, pertanto, ai fini delle verifiche del tirante di armatura e della biella di calcestruzzo, si considera composto dalla somma vettoriale di due meccanismi ortogonali disaccoppiati.

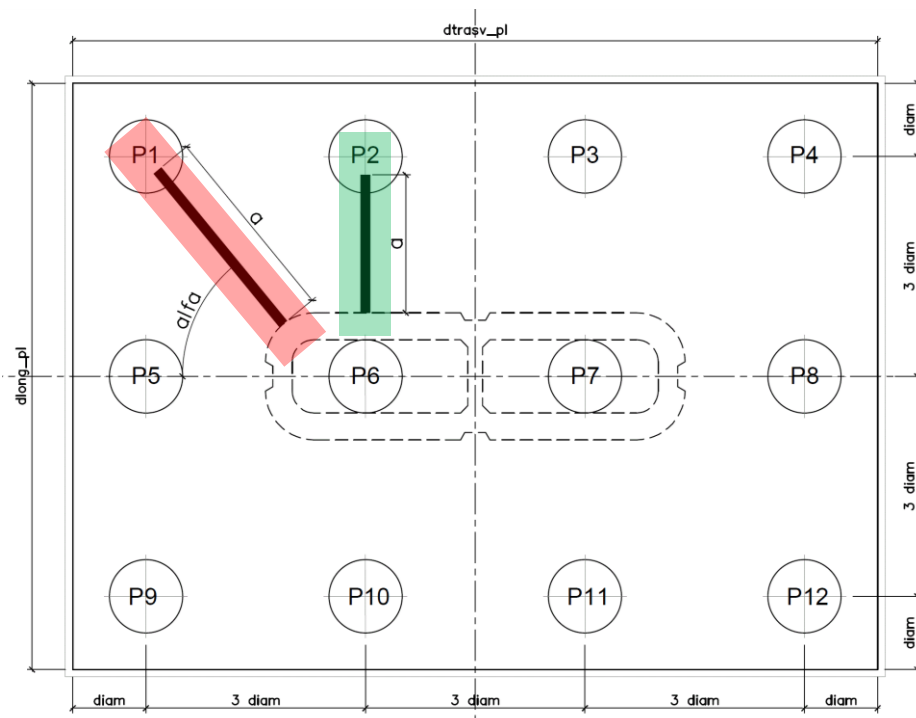


Figura 2 – Vista in pianta - Tirante-puntone longitudinale (verde) e diagonale (rosso)

8.1.1 VERIFICHE RELATIVE AI PALI DI SPIGOLO

Seguono le forze assiali agenti alla testa dei pali nelle condizioni di carico più severe per ogni combinazione di carico:

	Nmax	Nmin
SLU-STR	5470	39
SLU-GEO	4487	270
SIS-SLV	5740	-1679
	kN	kN

	Nmax	Nmin
SLE-QP	2244	1857
SLE-RAR	3839	572
	kN	kN

Seguono le verifiche delle armature superiori ed inferiori del plinto di fondazione:

Armatura inferiore

	Nmax	PEd	T	σ_{s_long}	σ_{s_trasv}	< fyd	C	σ_c	< fcd'
SLU-STR	5470	4613	6601	227	142	VERO	8053	4.9	VERO
SLU-GEO	4487	3630	5194	179	112	VERO	6337	3.9	VERO
SIS-SLV	5740	4882	6986	241	150	VERO	8523	5.2	VERO
	kN	kN	kN	Mpa	Mpa		kN	Mpa	

Armatura superiore

	Nmin	PEd	T	σ_{s_long}	σ_{s_trasv}	< fyd	C	σ_c	< fcd'
SLU-STR	39	-							
SLU-GEO	270	-							
SIS-SLV	-1679	2536	3630	309	284	VERO	4428	2.7	VERO
	kN	kN	kN	Mpa	Mpa		kN	Mpa	

Armatura inferiore

	Nmax	PEd	T	σ_{s_long}	σ_{s_trasv}	< 0.75 fyk	C	σ_c	< 0.40 fck'
SLE-QP	2244	1386	1984	68	43	VERO	2420	1.5	VERO
SLE-RAR	3839	2982	4267	147	92	VERO	5206	3.2	VERO
	kN	kN	kN	Mpa	Mpa		kN	Mpa	

Armatura superiore

	Nmin	PEd	T	σ_{s_long}	σ_{s_trasv}	< 0.75 fyk	C	σ_c	< 0.40 fck'
SLE-QP	1857	-							
SLE-RAR	572	-							
	kN	kN	kN	Mpa	Mpa		kN	Mpa	

Le verifiche sono soddisfatte.

8.1.2 VERIFICHE RELATIVE AI PALI DI INTERMEDI

Forze assiali agenti alla testa dei pali nelle condizioni di carico più severe per ogni combinazione di carico.

	Nmax	Nmin
SLU-STR	5103	360
SLU-GEO	4169	547
SIS-SLV	5308	-1280
	kN	kN

	Nmax	Nmin
SLE-QP	2244	1857
SLE-RAR	3592	787
	kN	kN

Seguono le verifiche delle armature superiori ed inferiori del plinto di fondazione:

Armatura inferiore

	Nmax	PEd	T	σ_{s_long}	σ_{s_trasv}	< fyd	C	σ_c	< fcd'
SLU-STR	5103	4245	3947	178	-	VERO	5797	2.3	VERO
SLU-GEO	4169	3312	3079	139	-	VERO	4522	1.8	VERO
SIS-SLV	5308	4450	4138	187	-	VERO	6077	2.4	VERO
	kN	kN	kN	Mpa	Mpa		kN	Mpa	

Armatura superiore

	Nmin	PEd	T	σ_{s_long}	σ_{s_trasv}	< fyd	C	σ_c	< fcd'
SLU-STR	360	-							
SLU-GEO	547	-							
SIS-SLV	-1280	2137	1987	244	-	VERO	2918	1.2	VERO
	kN	kN	kN	Mpa	Mpa		kN	Mpa	

Armatura inferiore

	Nmax	PEd	T	σ_{s_long}	σ_{s_trasv}	< 0.75 fyk	C	σ_c	< 0.40 fck'
SLE-QP	2244	1386	1289	58	-	VERO	1893	0.8	VERO
SLE-RAR	3592	2734	2542	115	-	VERO	3733	1.5	VERO
	kN	kN	kN	Mpa	Mpa		kN	Mpa	

Armatura superiore

	Nmin	PEd	T	σ_{s_long}	σ_{s_trasv}	< 0.75 fyk	C	σ_c	< 0.40 fck'
SLE-QP	1857	-							
SLE-RAR	787	-							
									VERO
	kN	kN	kN	Mpa	Mpa		kN	Mpa	

Le verifiche sono soddisfatte.

8.2 VERIFICHE SLU A PUNZONAMENTO

Conservativamente, la verifica è stata riferita al palo di bordo maggiormente sollecitato e lo sviluppo del perimetro efficace u è stato definito considerando una distanza dall'impronta caricata (coincidente con la sezione di testa del palo) pari a $d = a \cdot 0.9 H_{pl}$ (H_{pl} = altezza plinto, $a < 2$), come illustrato nella seguente figura.

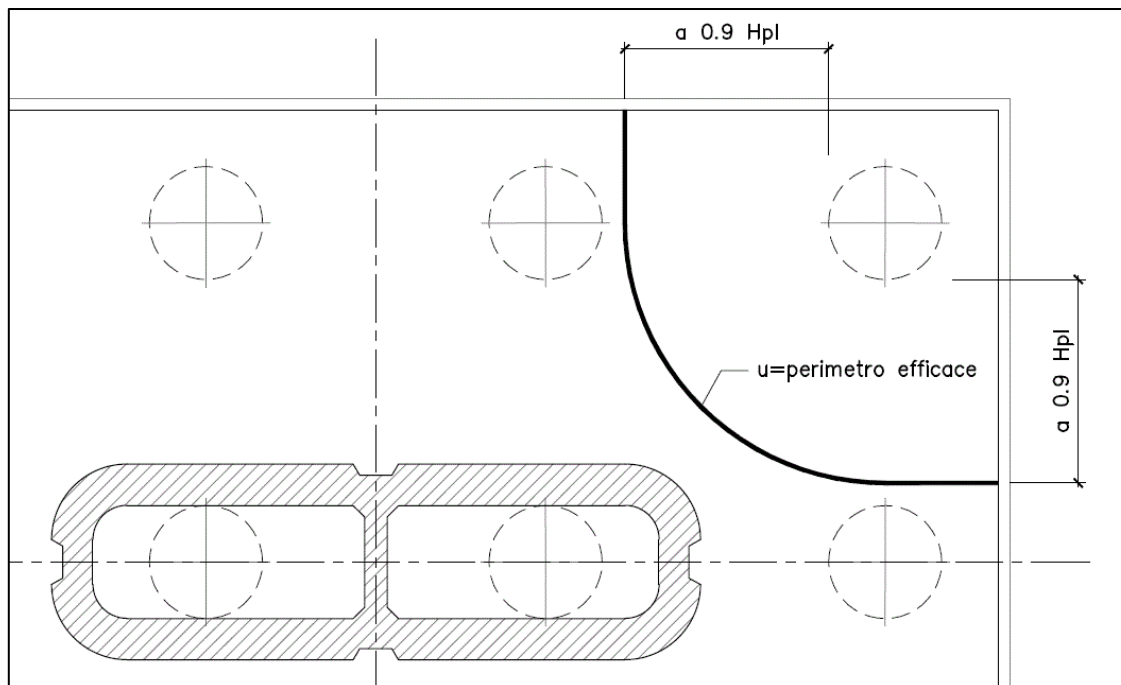


Figura 3 – Perimetro efficace per la verifica a taglio-punzonamento

A seguire si riportano il valore della forza concentrata V_{Ed} [kN] agente alla testa del palo maggiormente sollecitato nella condizione di verifica più severa, il valore del coefficiente a che individua la geometria del perimetro efficace e lo sviluppo u [m] di quest'ultimo.

V_{Ed}	4882	kN
a	1.0	
u	6.9	m

Verifica a punzonamento per sezioni rettangolari SENZA armatura a taglio (NTC08 - EC2-rev05)				
classe cls	C	35	Mpa	
coeff. parziale	γ_c	1.5		
perimetro di verifica	u_1	6900	mm	
altezza soletta	H	2500	mm	
altezza utile	d	2390	mm	
diametro ferro longitudinale teso	ϕ_{lon}	28	mm	
	strati	2		
	passo	150	mm	
percentuale di armatura trasversale teso	ρ_{lx}	0.34%		
diametro ferro trasversale	ϕ_{tra}	28	mm	
	strati	2		
	passo	150	mm	
percentuale di armatura trasv	ρ_{tx}	0.34%		
percentuale di armatura totale	ρ_l	0.34%		
Eventuale compressione long	σ_{c_lon}	0	Mpa	
Eventuale compressione trasv	σ_{c_tra}	0	Mpa	
	σ_c	0.00	N/mm ²	
	k ₁	0.10		
	$C_{r,dc}$	0.12		
	k	1.29		
	v _{min}	0.30	Mpa	
	v_{rd_c}	0.354	Mpa	
	v_{min+k1σ_{cp}}	0.303	Mpa	
Tensione resistente taglio-punzonamento	v_{rd_c}	0.354	N/mm ²	
taglio sollecitante	VE_d	4882	kN	
	vE_d	0.296	Mpa	
La verifica è soddisfatta	v_{rd_c}	>	ved	

8.3 VERIFICHE SLE A FESSURAZIONE

La verifica SLE a fessurazione si effettua controllando che il massimo valore di apertura delle fessure risulti inferiore ai seguenti valori limite:

per le combinazioni SLE-RAR:

- apertura fessure limite: $w_{lim} = w_1 = 0.30 \text{ mm}$

Le verifiche riportate a seguire sono riferite al meccanismo tirante-puntone che coinvolge i pali di spigolo (meccanismo diagonale), ossia il più severo tra i due presi in considerazione.

1. Armatura longitudinale inferiore

INPUT		
Rck	35	Mpa
h	2500	mm
c1	54	mm
$\phi 1$	28	mm
n1	6.667	1/m
c2	110	mm
$\phi 2$	28	mm
n2	6.667	1/m
d	2418	mm
beff	150	mm
σ_{s_max1}	147	Mpa
σ_{s_max2}	147	Mpa
$h_{c,eff}$	205.0	mm
$A_{c,eff}$	30750	mm ²
$\rho_{p,eff}$	0.040	
kt	0.6	
k1	0.8	
k2	1	
k3	3.4	
k4	0.425	

OUTPUT		
diff. def. armature-cls		
$\epsilon_{sm} - \epsilon_{cm}$	4.55E-04	-
distanza max fessure		
$s_{r,max}$	548	mm
ampiezza fessure:		
wk	0.249	mm
wlim	0.300	mm
La verifica è soddisfatta.		

1. Armatura trasversale inferiore

INPUT		
Rck	35	Mpa
h	2500	mm
c1	82	mm
ϕ 1	28	mm
n1	6.667	1/m
c2	138	mm
ϕ 2	28	mm
n2	6.667	1/m
d	2390	mm
beff	150	mm
σ s_max1	92	Mpa
σ s_max2	92	Mpa
hc,eff	275.0	mm
Ac,eff	41250	mm ²
ρ p,eff	0.030	
kt	0.6	
k1	0.8	
k2	1	
k3	3.4	
k4	0.425	

OUTPUT		
diff. def. armature-clc		
ϵ sm - ϵ cm	2.68E-04	-
distanza max fessure		
s Γ ,max	758	mm
ampiezza fessure:		
wk	0.203	mm
wlim	0.300	mm
La verifica è soddisfatta.		